

NGU Rapport 98.058

Kjemisk kvalitet av grunnvann i fast fjell i
Norge

Rapport nr.: 98.058	ISSN 0800-3416	Gradering: Åpen	
Tittel: Kjemisk kvalitet av grunnvann i fast fjell i Norge			
Forfatter: Banks, D. Frengstad, B., Krog, J.R., Midtgård, Aa.K., Strand, T., Lind, B.		Oppdragsgiver: NGU og Statens strålevern i samarbeid med næringsmiddeltilsynene	
Fylke: Alle fylker i Norge		Kommune:	
Kartblad (M=1:250.000)		Kartbladnr. og -navn (M=1:50.000)	
Forekomstens navn og koordinater:		Sidetall: 177 Pris: 225,- Kartbilag:	
Feltarbeid utført: 1996-97	Rapportdato: 28.02.98	Prosjektnr.: 2720.00	Ansværlig: 
Sammendrag:			
<p>"Landsomfattende kartlegging av kjemisk kvalitet av grunnvann i fast fjell" er et samarbeid mellom Statens strålevern (NRPA) og Norges geologiske undersøkelse (NGU). Næringsmiddeltilsynene har stått for prøvetakingen i vannverk og hos private brønneiere og utfylling av prøvetakingsskjema. Der skjemaet har inneholdt tilstrekkelige opplysninger, er de prøvetatte brønnene stedfestet med koordinater i datasettet og deretter koplet til et digitalt berggrunnskart i målestokk 1:3 millioner.</p> <p>Rapporten gir en innføring i variasjon i konsentrasjon av utvalgte grunnstoff i grunnvann i fjell og hvilken helsemessig betydning stoffene kan ha ved inntak. Resultatene av vannanalysene fra hele Norge er presentert grafisk etter inndeling i henholdsvis fylke og bergart, og hovedtrekkene er beskrevet i tekst. I tillegg er det vist kart med geografisk fordeling av analyseresultatene.</p> <p>13,9 % (222 av 1601) av de undersøkte fjellbrønnene har et radoninnhold som overskridet anbefalt tiltaksgrense for radon på 500 Bq/l, og 16,1 % (258 av 1604) har et fluoridinnhold som overskridet drikkevannsgrensen for fluorid på 1,5 mg/l.</p>			
Emneord: Geokjemi	Hydrogeologi	Borebrønn	
Berggrunn	Radonmåling	Grunnvann	
Grunnvannskvalitet	Helse	Kartlegging	

INNHOLD

1. INNLEDNING	6
1.1 Prosjektgruppen.....	7
2. BAKGRUNN FOR UNDERSØKELSEN	7
3. HVORFOR FÅR VI OPPLØSTE STOFFER I GRUNNVANN.....	10
3.1 Nedbør.....	10
3.2 Prosesser i jordsmonnet.....	10
3.3 Forurensning.....	11
3.4 Marine salter.....	11
3.5 Reaksjoner med mineraler i berggrunnen	12
3.6 Reaksjoner i brønn og ledningsnett	14
4. GRUNNVANN OG HELSE	14
4.1 Radon (Rn)	14
4.2 Andre radioelementer; uran (U), thorium (Th)	16
4.3 Fluorid (F)	16
4.4 Natrium (Na) og klorid (Cl)	17
4.5 pH.....	17
4.6 Kalsium (Ca), magnesium (Mg), sulfat (SO_4^{2-}) og alkalitet	18
4.7 Jern (Fe) og mangan (Mn).....	18
4.8 Aluminium (Al).....	19
4.9 Nitrat (NO_3^-), fosfat (PO_4^{3-}) og kalium (K).....	19
4.10 Andre metaller.....	20
5 METODER.....	22
5.1 Prøvetaking.....	22
5.2 Analyser	23
5.3 Databearbeiding	24
5.4 Feilkilder	25
5.5 Datafremstilling.....	26
6 RESULTATER	28
6.1 Radon	28
6.2 Fluorid	31
6.3 Natrium.....	34
6.4 Klorid	37
6.5 pH.....	40
6.6 Kalsium	43
6.7 Magnesium	46
6.8 Sulfat	49
6.9 Alkalitet.....	52
6.9 Jern	55
6.10 Mangan.....	58

6.11 Aluminium	61
6.12 Nitrat.....	64
6.13 Kalium.....	67
6.14 Barium.....	70
6.15 Beryllium.....	73
6.16 Sink	76
6.17 Andre grunnstoffer	79
6.18 Farge.....	84
6.19 Tolkning av datasettet	84
6.20 Feilkilder	90
7. KONKLUSJONER	94
8. REFERANSER	97

FIGURER

- Figur 1 Utvalgte resultater fra tidligere undersøkelser
- Figur 2 Tidsavhengig sammenheng mellom en gitt radonkonsentrasjon i husholdningsvann og avgasset radon til baderomsluft ved dusjing
- Figur 3 Grafisk forklaring av klassisk boksplott
- Figur 4 a, b Presentasjon av resultat for radon i boksplott og i kart
- Figur 5 a, b Presentasjon av resultat for fluorid i boksplott og i kart
- Figur 6 a, b Presentasjon av resultat for natrium i boksplott og i kart
- Figur 7 a, b Presentasjon av resultat for klorid i boksplott og i kart
- Figur 8 a, b Presentasjon av resultat for pH i boksplott og i kart
- Figur 9 a, b Presentasjon av resultat for kalsium i boksplott og i kart
- Figur 10 a, b Presentasjon av resultat for magnesium i boksplott og i kart
- Figur 11 a, b Presentasjon av resultat for sulfat i boksplott og i kart
- Figur 12 a, b Presentasjon av resultat for alkalitet i boksplott og i kart
- Figur 13 a, b Presentasjon av resultat for jern i boksplott og i kart
- Figur 14 a, b Presentasjon av resultat for mangan i boksplott og i kart
- Figur 15 a, b Presentasjon av resultat for aluminium i boksplott og i kart
- Figur 16 a, b Presentasjon av resultat for nitrat i boksplott og i kart
- Figur 17 a, b Presentasjon av resultat for kalium i boksplott og i kart
- Figur 18 a, b Presentasjon av resultat for barium i boksplott og i kart
- Figur 19 a Presentasjon av resultat for beryllium i boksplott
- Figur 20 a, b Presentasjon av resultat for sink i boksplott og i kart
- Figur 21 a Korrelasjon mellom P (ICP-AES) og PO_4^{3-} (IC)
- Figur 21 b,c Ulike x-y plott som belyser tolkning av datasettet
- Figur 21 d Ulike x-y plott av SO_4^{2-} mot pH, Na/Cl og Na/Ca
- Figur 21 e Diagrammer som viser ionebalansefeil
- Figur 21 f, g Ulike x-y plott som viser duplikatanalyser

TABELLER

- Tabell 1: Effektiv dose fra radon i husholdningsvann
Tabell 2: Gruppering av godkjente og ikke-godkjente data.
Tabell 3: Fordeling av ionebalansefeil i datasettet Fjell_korr (N = 1604)
Tabell 4: Oppsummering av andel fjellborebrønner med drikkevann utenfor normene.

VEDLEGG

- Vedlegg 1. Prøvetakingsprosedyre for måling av radon i vann
Vedlegg 2. Registreringsskjema for måling av radon i vann (versjon 1)
Vedlegg 3. Registreringsskjema for måling av radon i vann (versjon 2)
Vedlegg 4. Bergartskoder brukt i digitalt berggrunnskart
Vedlegg 5. Bakgrunnsdata for analysene utført ved NGU-lab.
Vedlegg 6. Figur 4c-20c. Geokjemiske kart for utvalgte elementer
Vedlegg 7. Behandlingsmetoder for radon og fluorid
Vedlegg 8. Figur 22a-42a og 22c-42c. Boksplott og geokjemiske kart for sporelementer

1. INNLEDNING

NGU-prosjekt nr. 2720.00 «Landsomfattende kartlegging av kjemisk kvalitet av grunnvann i fast fjell» er et samarbeid mellom Statens strålevern og NGU.

Tidligere undersøkelser (se kapittel 2) har antydet at en betydelig andel av Norges borebrønner i fast fjell gir vann som:

- (i) ikke tilfredsstiller drikkevannsnormene for enkelte uorganiske-kjemiske parametre, og/eller
- (ii) inneholder mer «eksotiske» grunnstoffer i konsentrasjoner som kan ha helsemessig betydning (f.eks. radon, uran, beryllium, thallium).

Noen av disse tidligere undersøkelsene har blitt kritisert p.g.a. at de var fokusert på landsdeler hvor bergartene ville ventes å gi høye konsentrasjoner av mange uønskede stoffer. Man mente derfor at undersøkelsene overvurderte risikoen hvis man ukritisk anvendte resultatene som representative for andre landsdeler.

På grunn av stor etterspørsel etter målinger og for å skaffe en bedre oversikt over radonnivåer i vann fra borebrønner, gikk Statens strålevern ut sommeren 1996 med et tilbud om samarbeid med de kommunale næringsmiddeltilsynene vedrørende prøvetaking av grunnvann i fjell. De kommunale næringsmiddeltilsynene som gikk inn i dette samarbeidet organiserte prøveinnsamlingen i deres områder. NGU erkjente at dette ga en unik anledning til å hente inn vannprøver til analyse av andre oppløste grunnstoffer og avtalte derfor med Statens strålevern at 500 ml plastflasker skulle sendes ut sammen med flaskene for radonprøvetaking. Disse ble sendt direkte til NGU for analyse. Statens strålevern og NGU har ikke hatt noen innvirkning på prøvetakingens geografiske fordeling, fordi innsending av prøvene er basert på initiativ fra den enkelte brønneier etter tilbud fra det lokale næringsmiddeltilsyn.

Denne rapporten dokumenterer resultatene fra prosjektet for vannprøvene som er sendt inn fra hele landet. Resultatene er også rapportert fylkesvis i rapportene NGU 97.157 til 97.169. Rapporten presenterer kun en statistisk oversikt, samt kart i grov målestokk. Enkeltresultater gjengis ikke av hensyn til lovverket om vern av personlige data. Alle brønneiere som har oppgitt adresse har fått tilsendt analyseresultater fra egen brønn.

Mottak av prøver for kjemisk analyse ved NGU pågikk fram til mai 1997, mens prøvetaking for radonanalyse fortsatt utføres i Statens stråleverns regi.

Et utvalg av prøvene (476) er sendt til den tyske geologiske undersøkelsen (BGR) sitt laboratorium i Hannover for analyse av sporstoffer som vanligvis forekommer i meget små mengder, men som kan ha helsemessige virkninger (f.eks. uran, thallium, beryllium).

Resultatene fra disse 476 prøvene gjengis i en egen landsomfattende rapport om sporelementer.

1.1 Prosjektgruppen

Prosjektleder fra NGUs side har vært David Banks. Aase Kjersti Midtgård har vært ansvarlig for forvaltning av resultatdatabasen. Geir Morland, Sheila Banks, Jan Reidar Krog, Are Gjerde, Bjørn Frengstad og Tor Erik Finne har bidratt til prosessering av data. Helge Skarphagen, Bjørn Frengstad, Aase Kjersti Midtgård, Janice Doherty (Univ. i Sheffield, U.K.) og David Banks har utført feltarbeid i forbindelse med prøveinnsamling i dette prosjektet.

NGUs laboratorium har analysert vannprøvene for alle parametre unntatt radon. Dette omfattende arbeidet har blitt utført av Bård Søberg (mottak og prøvebehandling), Wigdis Sjursen (registrering), Britt Inger Vongraven (ICP), Egil Kvam (IC), Tomm Berg (pH, alkalisitet), Sheila Banks (kvalitetssikring) og deres kolleger.

Fra Statens stråleverns side har prosjektet blitt ledet av Terje Strand, assistert av Bjørn Lind, Gerda Kjølås og Kristiina Aspheim.

Kjell Bjorvatn (Inst. for Odontologi, Univ. i Bergen), Trine Ellefsen og Birger Willumsen (Statens Næringsmiddeltilsyn) og Knut Ellingsen, Clemens "Cliff" Reimann og Erik Rohr-Torp (NGU) har bidratt med rådgivning under prosjektplanlegging og prosjektets gang.

2. BAKGRUNN FOR UNDERSØKELSEN

Tidligere undersøkelser har vist at noen brønner i fast fjell i Norge gir vann som ikke tilfredsstiller drikkevannsnormene.

Før man leser videre, er det viktig å understreke tre ting:

- (i) *Problemene som diskuteres her, skyldes som regel ikke menneskeskapt forurensning. De skyldes vannets naturlige sammensetning.*
- (ii) *De fleste av disse problemene (bl.a. radon, fluor, uran osv.) forekommer vanligvis ikke i brønner i løsmasser. De forekommer i et mindretall brønner i fast fjell.*
- (iii) *De fleste av disse problemene (og spesielt radon) kan også behandles !*

Denne landsomfattende undersøkelsen følger opp tre tidligere undersøkelser:

1992 - en undersøkelse av grunnvannskvalitet i borebrønner i fjell i området ved Oslofjorden og i Trøndelagsfylkene. Den viste at borebrønner i Iddefjordgranitten på Hvaler er spesielt utsatt for høye konsentrasjoner av radon, fluor og leilighetsvis uran (Fig. 1a).

Resultatene er publisert i NGU-rapporter (93.124 og 93.126) samt tidsskriftene «Environmental Geology» og «Applied Geochemistry» (Banks m.fl. 1993a,b; 1995a,b).

1994 - en undersøkelse av kvaliteten i grunnvannet fra flere enn 300 borebrønner i fjell i Vestfold og Hordaland (Fig. 1b). Av disse var det 16 % som oversteg drikkevannsgrensen for fluor (1.5 mg/l) og 17 % som oversteg Statens stråleverns anbefalte tiltaksnivå for radon (500 Bq/l). Ca. 13 % av brønnene oversteg den kanadiske drikkevannsgrensen for uran (20 µg/l). De største problemene fant man i granittiske bergarter. Totalt var det 53% av brønnene som oversteg drikkevannsgrensen for minst en av parametrene pH, U, Rn, F eller Na. Resultatene fra denne undersøkelsen kan gi et noe skjevt bilde av vannkvaliteten i borebrønner på landsbasis. Resultatene er publisert i NGU-rapport 95.161 (Morland m.fl. 1995), i NGU Bulletin 432 (Morland m.fl. 1997) og i tidsskriftet «Science of the Total Environment» (Reimann m.fl. 1996).

1996 - en prøvetaking av samtlige grunnvannsverk som forsyner mer enn 1000 personer. Disse baseres (med et par unntak) på grunnvann i løsmasser. Ingen av vannprøvene ga en radonkonsentrasjon som oversteg 100 Bq/l (sammenlignet med Statens stråleverns anbefalte tiltaksgrense på 500 Bq/l). Dette bekrefter at problemer med radon og fluor som regel ikke forekommer i brønner i løsmasser. Resultatene fra denne undersøkelsen er dokumentert i NGU Rapport 96.080 (Morland m.fl. 1996) og i tidsskriftet «Ground Water» (Morland m.fl. 1998).

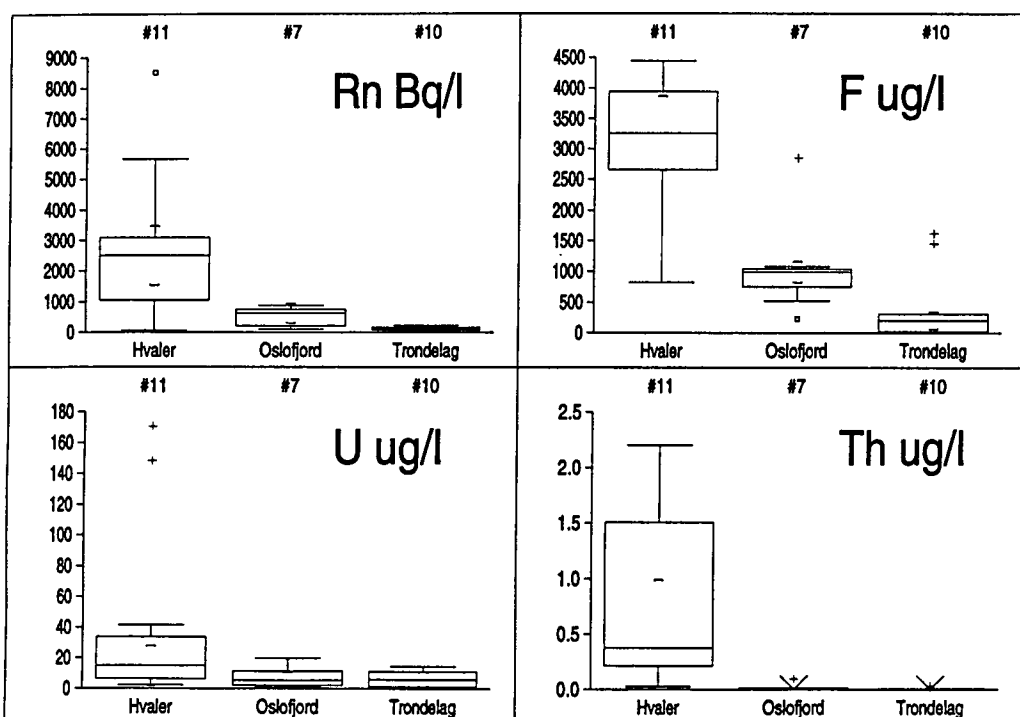
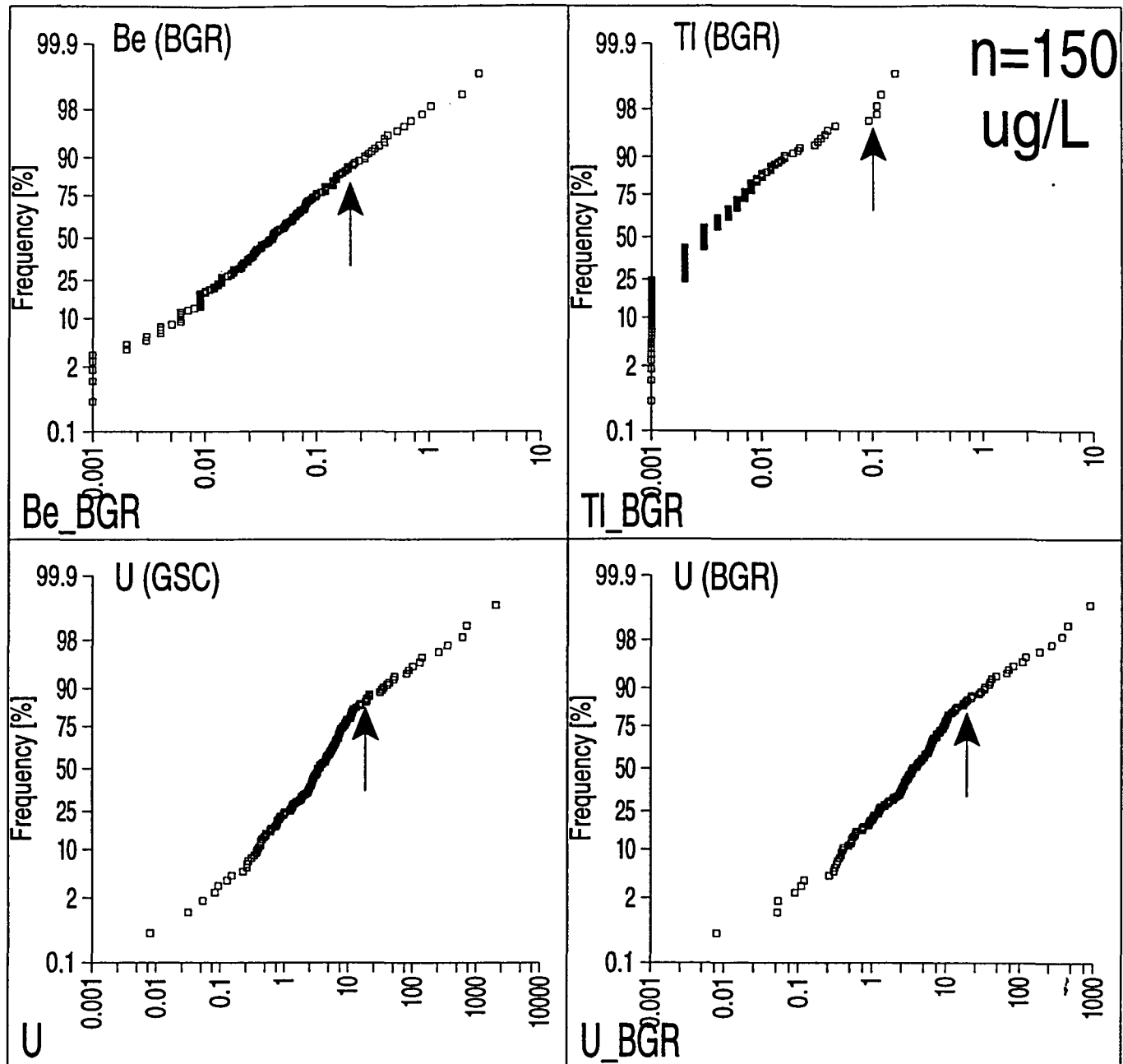


Fig. 1a. Utvalgte resultater fra tidligere undersøkelser av radon (Rn), fluorid (F), uran (U) og thorium (Th) i grunnvann fra borebrønner i fjell fra 3 forskjellige regioner (Hvaler, Oslofjord, Trondelag) - etter data fra Banks et al. (1995a,b)



Figur 1b. Kumulativfrekvensdiagramer som viser fordeling av uran (kanadiske [GSC] og tyske [BGR] ICPMS-analyser), beryllium og thallium (tyske [BGR] ICPMS-analyser) i ufiltrerte prøver av grunnvann fra fast fjell fra Hordaland og Vestfold, tatt i 1994. Piler viser russiske drikkevannsnormer for Be og Tl, og kanadisk norm for U. (Data fra Reimann m.fl. 1996)

3. HVORFOR FÅR VI OPPLØSTE STOFFER I GRUNNVANN

Grunnvann er ikke bare vann. Det inneholder små konsentrasjoner av oppløste stoffer med ulik opprinnelse.

Grunnvann er som regel dannet ved at nedbør siger gjennom jordsmonnet og fyller porerom og sprekker i løsmasser og fjell.

Grunnvannets kjemiske sammensetning vil derfor ofte gjenspeile nedbør, prosesser i jordsmonnet, forurensning, marine salter og reaksjoner med mineraler i berggrunnen. I tillegg kan det skje reaksjoner i brønn og ledningsnett.

3.1 Nedbør

Nedbør er heller ikke bare vann, men inneholder oppløste naturlige gasser (f.eks. CO_2) og forurensning fra industri (sur nedbør). I tillegg kan nedbøren inneholde oppløste stoffer fra vindblåst støv og sjøsalter (natriumklorid - Na^+Cl^-). Sjøsaltinnholdet avtar med økende avstand fra kysten.

Grunnvannets kjemiske sammensetning vil i utgangspunktet gjenspeile nedbørens. Sjøsaltinnholdet i grunnvann avtar derfor ofte med avstand fra kysten. Sulfatinnholdet i grunnvann i Sør-Norge kan trolig være litt høyere enn i Nord-Norge, grunnet nedfall av svovelforbindelser i sur nedbør (selve syren i sur nedbør blir som regel effektivt nøytralisiert i grunnen, slik at sur nedbør sjeldent forårsaker surt grunnvann).

Når nedbør faller på vegetasjon eller på jord, vil en del av vannet fordampe eller brukes opp av planter. Dette medfører at saltene i gjenværende vann oppkonsentreres. Saltene i grunt, nydannet grunnvann har derfor samme innbyrdes forhold som i nedbøren, men konsentrasjonene er flere ganger høyere.

3.2 Prosesser i jordsmonnet

Jordsmonnet er et meget aktivt og levende miljø. Planter suger ut noen næringssalter fra porevannet; f.eks. nitrat og kalium. Selv om sur nedbør er forurenset av nitrat, vil man som oftest ikke finne nitratet igjen i grunnvannet - det er brukt opp av plantene.

Organiske syrer kan vaskes ut fra jordsmonnet (humus). Det gir den karakteristiske brunfargen som overflatevann og grunt grunnvann i Norge har enkelte tider på året.

Organiske stoffer kan kompleksbinde andre stoffer (f.eks. tungmetaller) og kan derfor være viktige for vannets kjemiske sammensetning.

Jordsmonnet inneholder en rekke mikroorganismer som puster. De bruker opp oksygen og produserer karbon i form av CO₂ som løses opp i porevannet og gir en syrlig løsning (kullsyre). Det er CO₂-innholdet i nydannet grunnvann som gjør det aggressivt, slik at det er i stand til å forvitre mineralkorn som det kommer i kontakt med.

3.3 Forurensning

Menneskeskapt forurensning kan påvirke grunnvannskvaliteten. Borebrønnene i fast fjell som dette studiet omhandler, er for det meste boret på landlige steder; ved hytter og gårdsbruk. Man forventer at de fleste prøvene er upåvirket av forurensning fra storbyaktiviteter og industri. Mulige forurensningskilder som likevel kan påvirke grunnvannets kvalitet her er bl.a.:

- (i) jordbruk - spesielt bruk av gjødsel og/eller frigjøring av næringssalter ved pløying av beitemark.
- (ii) lekkasje/avrenning fra septiktank eller kloakksystem
- (iii) veisalt
- (iv) lekkasje av olje og oljederivater fra tanker brukt til fyring

I de to første tilfellene er nitrat en god indikator på mulig forurensning selv om tarmbakterier eller spesifikke indikatorbakterier er det sikreste beviset på disse forurensningstypene.

3.4 Marine salter

Det er nevnt i 3.1 at sjøsalter kan komme inn i grunnvann i små konsentrasjoner med nedbør. Større konsentrasjoner av sjøsalter (bl.a. natriumklorid) kan forekomme i kystnære områder på grunn av:

- (i) inntringing av sjøvann fra havet. Dette kan forekomme hvis brønnen er boret for nær sjøkanten slik at den suger inn sjøvann.
- (ii) inntringing av fossilt sjøvann, som kan ligge på dypt nivå i fast fjell, som resultat av sjøvann som ble «fanget» i sprekker og hulrom i berggrunnen under landhevingen etter slutten av siste istid.
- (iii) utvasking av salter fra marine avsetninger (f.eks. marin leire) som dekker berggrunnen i kystnære strøk. Avsetninger har blitt hevet opp over nåværende havnivå som følge av landhevingen ved slutten av siste istid.

3.5 Reaksjoner med mineraler i berggrunnen

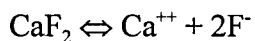
Nydannet grunnvann er surt (inneholder CO₂) og oksiderende (inneholder O₂). De fleste bergartene består av mineraler som er basiske og reduserende. Det er derfor ikke overraskende at nydannet grunnvann reagerer aktivt med berggrunnen og frigjør en del oppløste stoffer.

Løsmasser består av bergartspartikler som allerede er sterkt forvitret. Løsmasseavsetninger består ofte nesten utelukkende av kvarts, som er meget motstandsdyktig mot forvitring. Mineralkorn i løsmasser reagerer derfor mindre med grunnvann enn de gjør i fast fjell. Den kjemiske sammensetningen til grunnvannet fra løsmasser er derfor ofte «mindre spennende» enn kjemien til vannet fra fast fjell.

Reaksjonene som finner sted mellom vann og bergart er av fem hovedtyper:

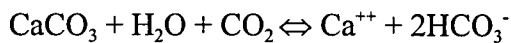
3.5.1 Rene oppløsningsreaksjoner.

Noen mineraler går i oppløsning i vann på samme måte som salt går i oppløsning i vann. De fleste mineraler er langt tyngre løselig enn vanlig salt, og reaksjonene går langt saktere. F.eks. går mineralet fluoritt (CaF₂) i oppløsning og frigjør kalsiumioner og fluoridioner:



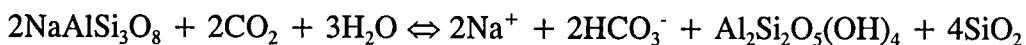
3.5.2 Syre-base reaksjoner

Noen reaksjoner går langt forttere hvis vannet er surt (dvs. inneholder CO₂). For eksempel: kalsitt (kalk CaCO₃) løses opp i surt vann (H₂O + CO₂):



Denne reaksjonen er en av de vanligste i grunnvannssammenheng. Reaksjonen frigjør kalsium og bikarbonat (dvs. alkalitet). Derfor er grunnvann i kalkfjell som regel hardt og alkalisk.

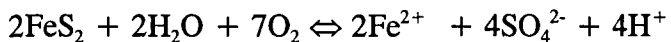
I bergarter som ikke inneholder mye kalk, kan silikatmineraler, slik som feltspat, angripes på lignende måte:



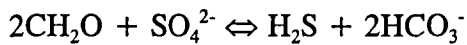
Den reaksjonen frigjør natriumioner, alkalitet og silisium, og produserer kaolinitt (leire) som fast forvitningsprodukt. Grunnvann med natriumbikarbonat-preg er typisk i granitt som inneholder mye natriumfeltsapat.

3.5.3 Oksidasjon-reduksjon (redoks) reaksjoner

Oppløst oksygen i vannet kan reagere med noen reduserende mineraler, slik som metallsulfider, for å frigjøre sulfat, metall og syre. F.eks. svovelkis:

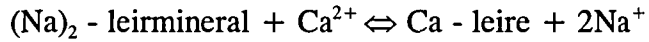


Motsatt reaksjon kan selvfølgelig også forekomme i meget oksygenfattig vann, hvor sulfat blir redusert av organisk stoff (CH_2O) til hydrogensulfid (H_2S). Denne oppløste gassen gir den karakteristiske lukten av «råtne egg» som finnes i enkelte borebrønner:



3.5.4 Ionebytte-reaksjoner

Noen mineraler, f.eks. zeolitt eller leirmineraler, opptrer som naturlige ionebytttere. Disse kan f.eks. fjerne kalsium fra grunnvann og erstatte den med natrium. Det er akkurat samme reaksjon som finner sted i ionebytttere som brukes til å behandle hardt vann.



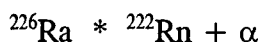
Man finner også mineraler som fungerer som ionebytttere for negativt-ladede ioner (anioner), slik som fluorid. Glimmer, apatitt og amfiboler opptrer trolig på den måten:



I alkalisk vann innebærer den reaksjonen at hydroksydionet adsorberes på glimmerkornet og erstatter fluoriden som frigis til vannet.

3.5.5 Desintegrasjon av radioaktive stoffer

I alle typer bergarter finnes naturlige radioaktive grunnstoffer, f.eks. uran og thorium. Nuklidene brytes sakte ned til andre grunnstoffer. F.eks. brytes uran-238 ned, gjennom en spaltingskjede, til radium-226. Radium er lite løselig i vann, men dens datternuklid, radon-222, er meget løselig. Derfor finner man radon i grunnvann fra bergarter som er anriket på uran og/eller radium. Det dreier seg her mest om granitter, gneis og enkelte andre bergarter, slik som alunskifre.



Ved radioaktiv nedbrytning av radium avgis det også alfapartikler fra kjernen. Alfapartikler er heliumkjerner som er stabile og derfor akkumuleres i grunnvannet. Heliuminnholdet i grunnvannet kan si mye om grunnvannets oppholdstid. Radon brytes videre ned med en halveringstid på knapt fire dager. Om man finner radon i brønnvann avhenger derfor av hvor rask grunnvannsstrømningen er i bergrunnen. Det avhenger med andre ord av hydrodynamiske faktorer, i tillegg til uran/radium-innholdet i bergarten.

3.6 Reaksjoner i brønn og ledningsnett

Vannet som er prøvetatt i denne undersøkelsen er som regel ikke tatt direkte fra brønnen, men fra en kran et eller annet sted på ledningsnettet. Mye kan hende under overføring fra brønn til kran:

- (i) Radon kan avgasses.
- (ii) Overflatevann kan trenge inn i brønnen.
- (iii) Mineraler kan felles ut i brønn eller ledningsnett.
- (iv) Grunnstoffer slik som kobber kan løses ut fra rør i ledningsnettet.
- (v) Vannet kan være behandlet. (Dette har vi bedt om opplysninger om fra brønneierene. Prøver av kjemisk behandlet vann skal derfor ikke ha kommet inn i datasettet som omtales i denne rapporten).

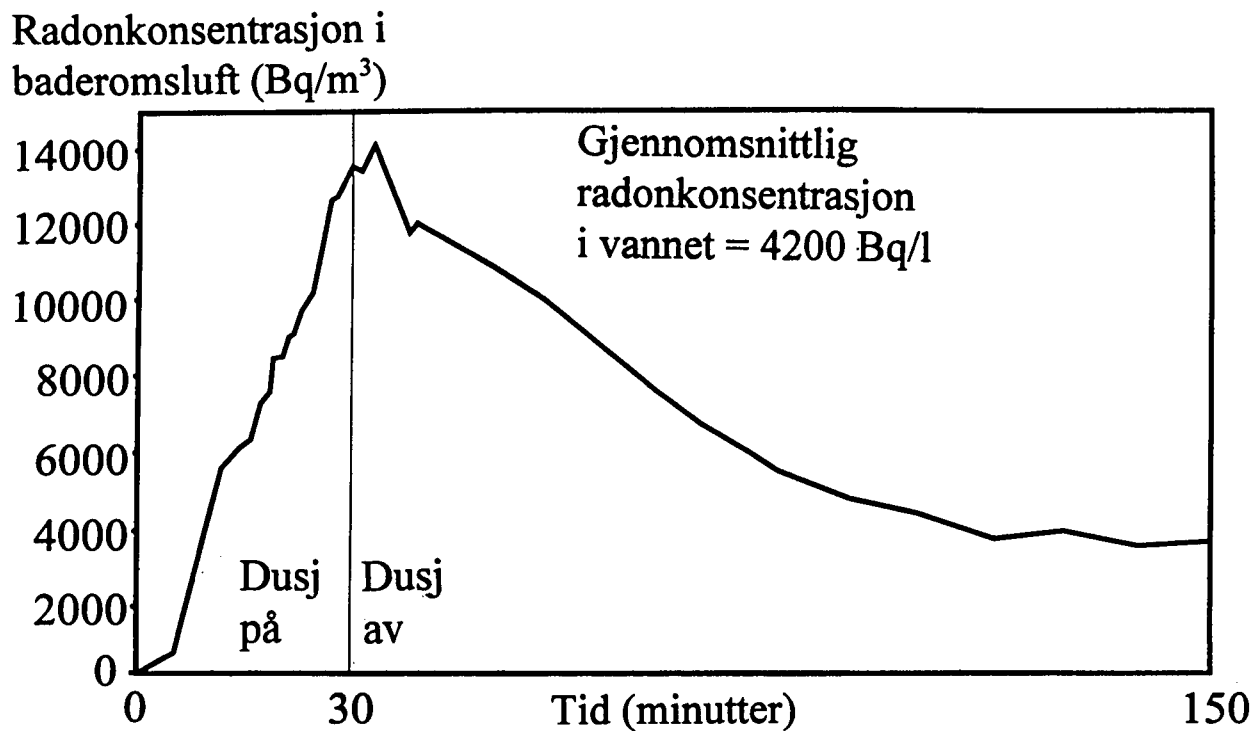
4. GRUNNVANN OG HELSE

I dette kapittelet gis en kort oppsummering av beviste og antatte sammenhenger mellom helse og drikkevannets kjemiske innhold, basert på ulike veileddningshefter og uttalelser fra fagpersoner (SIFF 1987, Statens strålevern 1995, 1996, USEPA 1997; Prof. K. Bjorvatn, Univ. i Bergen, pers. medd.). For ytterligere spørsmål av helsemessig art, bør en ta kontakt med kommunelege eller næringsmiddeltilsyn.

4.1 Radon (Rn)

Man har funnet korrelasjoner mellom radonkonsentrasjoner i inneluft og lungekreft. Omrent 30 studier av denne sammenhengen er utført i gruver (bl. a. urangruver) og ca. 30 studier i boliger, hvorav de viktigste er omtalt av ICRP (1993), UNSCEAR (1994), Lubin m.fl. (1994), WHO (1996) and Lubin & Boice (1997). Korrelasjoner mellom sykdom og radon i drikkevann er vanskeligere å påvise, men en viss risiko kan trolig være tilstede, både fra:

- (i) inntak av radon direkte fra drikkevann
- (ii) avgassing av radon fra vann til inneluft f.eks. fra dusj eller vaskemaskin og deretter innånding av avgasset radon (se figur 2).



Figur 2: *Tidsavhengig sammenheng mellom en gitt radonkonsentrasjon i husholdningsvann og avgasset radon til baderomsluft ved dusjing.*

Det er nå publisert epidemiologiske studier som antyder en mulig korrelasjon mellom radon i drikkevann og magekreft (Mose m.fl. 1990). Teoretiske studier antyder at særlig unge barn kan få betydelige stråledoser fra radonrikt vann: (UNSCEAR 1993, Swedjemark 1993).

Maksimum radonkonsentrasjoner som er målt i grunnvann i henholdsvis Sverige og Finland er 57 000 Bq/l (Åkerblom & Lindgren 1996) og 77 500 Bq/l (Salonen 1994).

Tabell 1. Den effektive dosen fra radon i husholdningsvann. Tabellen sammenligner andel av dosen fra avgasset (og innåndet) radon med andelen fra inntak av vannet. Totaldosen bør ikke overskride 1 $\text{mSv}/\text{år}$ i gjennomsnitt gjennom livet. Kilder: Swedjemark (1993) og Statens strålskyddsinstitut (1996).

Radon i vann Bq/l	Type person	Dose fra innånding $\text{mSv}/\text{år}$	Dose fra drikking $\text{mSv}/\text{år}$	Totalt $\text{mSv}/\text{år}$
100	Barn 1 år	0.4	0.7	1.1
	Barn 10 år	0.4	0.15	0.55
	Voksen	0.4	0.05	0.45
1000	Barn 1 år	4	7	11
	Barn 10 år	4	1.5	5.5
	Voksen	4	0.5	4.5

Sverige opererer med et tiltaksnivå på 100 Bq/l for radon i kommunal vannforsyning og 500 Bq/l for vannforsyninger til enkelthusholdninger. Ved overskridelse av dette nivået, anbefales det at mulige tiltak vurderes. Sverige har også en største tillatte konsentrasjon for radon i drikkevann på 1000 Bq/l. Ved overskridelse av dette nivået bør tiltak iverksettes (SIFF 1987). Norge har nylig innført et anbefalt tiltaksnivå på 500 Bq/l (NRPA 1995, 1996). Dette nivået er basert på stråledoser til barn og voksne gjennom radon i drikkevann, samt innånding av avgasset radon. For barn er det inntak direkte fra drikkevann som gir de største stråledosene; for voksne er det innånding av avgasset radon som har størst betydning (tabell 1).

4.2 Andre radioelementer; uran (U), thorium (Th)

Uran er lite løselig i oksygenfritt, reduserende miljø, men kan være lett løselig i oksiderende vann, spesielt hvis vannet har lav pH (surt vann). Løseligheten øker ytterligere ved kompleksdannelse med andre kjemiske grunnstoffer og forbindelser. Man har funnet mer enn 14 mg/l uran i grunnvann i granitt i Helsinki-området i Finland (Asikainen & Kahlos 1979).

Naturlig uran har, i motsetning til kunstig anriket uran, nokså beskjeden radioaktivitet. Faktisk er urans kjemiske giftighet sannsynligvis noe høyere enn den skadenvirkningen som strålingen kan medføre (Milvy & Cothern 1990). Det er ikke satt noen drikkevannsgrense for uran i Norge, men Canada og USA benytter en grense på 20 µg/l dvs. 0,02 mg/l (Barnes 1986, Fetter 1994). Dette er faktisk høyere enn grensen for både bly og kadmiump! Det kan være av interesse at den russiske drikkevannsgrensen for uran er satt til 1700 µg/l eller 1,7 mg/l (Kirjuhin m.fl. 1993).

Thoriums helseeffekter i drikkevann, vet vi veldig lite om. Thorium er, i motsetning til uran, svært uløselig under de fleste forhold, og forekommer derfor vanligvis i langt mindre konsentrasjoner. Derimot er thorium sannsynligvis noe mer giftig enn uran, og vi kan ikke uten videre si at de små konsentrasjonene som finnes i grunnvann ikke har noen helsevirkning. Det er ikke satt noen drikkevannsgrense for thorium i vann.

4.3 Fluorid (F)

WHO har tatt fluor med på listen over «essensielle grunnstoffer» og har dermed signalisert at fluor - i riktige mengder - har en positiv effekt på helsen, og særlig på tannhelsen. Det er en klar sammenheng mellom fluoridinnhold i drikkevannet og utvikling av tannråte (karies). Mange steder i verden justeres derfor vannets fluoridinnhold opp til ca. 1,0 mg /l for å bedre tannhelsen.

For mye fluor kan føre til skader (dental fluorose) på tannemaljen i tenner som er under dannning. Fluoridinnholdet i drikkevann som gis til barn, bør derfor ikke være høyere enn

1,5 mg/l. Tenner som allerede er på plass i munnen, kan ikke skades av fluor, men ved årelangt bruk av vann med svært høyt fluoridinnhold kan det bli skader, f.eks. på benvev.

Drikkevannet er ikke vår eneste fluorkilde. Det kan derfor være nødvendig å redusere bruk av fluortabletter og/eller fluortannkrem selv der drikkevannet inneholder moderate fluormengder. Kjell Bjorvatn (Inst. For Odontologi, Universitetet i Bergen) anbefaler å ta kontakt med tannlege eller helsesøster dersom vann med høyere fluoridinnhold enn ca. 0,5 mg/l skal brukes til barn.

4.4 Natrium (Na) og klorid (Cl)

Det er ikke knyttet negative effekter til inntak av klorid alene (SIFF 1987). Både grunnvannskilder og overflatevannskilder her i landet har normalt lavt innhold av klorid (lavere enn 25 mg/l). Innhold av salt i berggrunnen og løsmassene og tilførsel fra nedbør bestemmer normalt innholdet. I brønner under marin grense og brønner nær kysten hvor det skjer påvirkning av havvann, kan imidlertid innholdet av klorid komme over 100 mg/l. Forurensning via veisalt vil også kunne gi et bidrag. Natrium kan i tillegg til ovennevnte kilder ha sitt opphav i forvitring av natriumholdige mineraler (f.eks feltspat). Det finnes derfor ofte et overskudd av natrium i grunnvann sammenliknet med klorid.

Både dyreeksperimenter, kliniske observasjoner og epidemiologiske studier har vist at natrium (i form av NaCl, bordsalt) påvirker blodtrykket. Høyt blodtrykk gir økt risiko for hjertekarsykdommer. Til pasienter på særlig natriumfattig diett (mindre enn 0,5 g/dag) kreves drikkevann med mindre enn 20 mg/l. For personer som er på diett med natriuminntak lavere enn 2 g/dag, bør ikke drikkevannet inneholde mer enn 100 mg/l (SIFF, 1987).

4.5 pH

pH er vannets surhetsgrad, et mål på mengden hydrogenioner (H^+) i vannet. Nøytralt vann har pH=7, uforentset nedbør er noe sur (pH=5), mens sur nedbør kan ha en pH lavere enn 3. pH synker altså med økende surhetsgrad. Fordi berggrunnen nøytraliserer surheten i nedbør, har grunnvann ofte en nøytral eller svakt alkalisk pH (i størrelsesorden 7 eller 8).

pH i grunnvannet i basiske bergarter (grønnstein, kalkstein, gabbro) antas ofte å være litt høyere enn i lysere silisiumrike granitter og gneisbergarter. En høy pH kan også gjenspeile lang oppholdstid eller reduserende forhold i vannet.

pH i naturlig vann har ingen direkte betydning for menneskelig helse. Det er bare når man kommer ned i pH-verdier på 1, eller opp i verdier høyere enn 11 at væsken begynner å

«brenne» kroppen. Det største problemet med vann med lav pH er at mange uønskede metaller er lettere løselige ved lav pH. Dette inkluderer både estetisk uønskede metaller som jern og mangan og potensielt giftige metaller som uran, bly, kadmium og kobber. Metallene kan løses i vannet enten p.g.a. forvitring av bergrunnen eller ved at surt vann tærer på ledningsnettet.

4.6 Kalsium (Ca), magnesium (Mg), sulfat (SO_4^{2-}) og alkalitet

Det er ikke registrert negative helseeffekter av kalsium i drikkevannet. Kalsium sammen med magnesium forårsaker hardt vann. Bruksmessige problemer blir særlig merkbare når kalsiuminnholdet øker utover 25 mg/l, og problemene blir større med økende hardhet. Høy hardhet forårsaker redusert vaskeeffekt på grunn av utfelling av uløselig kalksåpe. Videre kan kjelstein (kalsiumkarbonat) felles ut ved oppvarming av vannet. Dette vil kunne forårsake skade på elektriske varmeelementer.

Noen epidemiologiske studier antyder at hardt vann (mye Ca og Mg) kan beskytte mot noen typer hjertesykdommer. Resultatene betraktes som kontroversielle og det er ikke faglig enighet om sammenhengen gjenspeiler en direkte årsakssammenheng eller sekundære faktorer.

Alkaliteten gjenspeiler vannets innhold av bikarbonationer (HCO_3^-). Det er ikke registrert negative helseeffekter fra bikarbonat. Tvert i mot kan alkalitet i vann ha en viss gunstig virkning fordi alkalisk vann som regel er mindre korrosivt, og mange tungmetaller er mindre løselige i alkalisk vann.

Det er heller ikke registrert alvorlige helsemessige virkninger av sulfat i vannet. Høye konsentrasjoner med sulfat kan imidlertid ha en laksativ (avførende) effekt, særlig i kombinasjon med magnesium (dvs. Epsom salter). Ifølge SIFF (1987) kan denne effekten oppstå ved konsentrasjoner på 300 mg/l magnesiumsulfat (MgSO_4), tilsvarende ca. 50 mg/l magnesium (Mg^{2+}) eller 250 mg/l sulfat (SO_4^{2-}). Hos spedbarn og følsomme personer kan diaré forekomme ved lavere konsentrasjoner. Mange mineralvannstyper og såkalte helsebringende vanntyper er sulfatrike. Av hensyn til laksativeffekten, har Norge en største tillatte konsentrasjon på 100 mg/l sulfat for drikkevann.

4.7 Jern (Fe) og mangan (Mn)

Inntak av jern fra drikkevann har ingen helseskadelige effekter, men utfelt jern i vannet vil kunne redusere desinfeksjonseffekten. Ved UV-anlegg kan partiklene skjerme for UV-strålene, og mikroorganismer slipper gjennom anlegget. Jern kan gi vekstmuligheter for

jernbakterier. Disse er ikke sykdomsfremkallende, men vekst av slike bakterier kan føre til at det dannes store mengder rustslam i ledninger og bassenger. Vann som er grumsete av jernutfellinger, er lite estetisk og smaker dårlig. Jernholdig vann kan være sterkt farget. Vann med høyere jerninnhold enn 0,2 mg/l, kan misfarge klær ved klesvask og føre til brune utfellinger på sanitærutstyr.

Inntak av mangan i drikkevannet har ingen direkte helseeffekter, men utfelt mangan i vannet kan på samme måte som jern redusere desinfeksjonseffekten i UV-anlegg og medføre estetiske problemer.

4.8 Aluminium (Al)

Aluminium finnes i mange mineraler, og det er ikke overraskende at det også kan finnes i overflatevann og grunnvann. Løseligheten er sterkt avhengig av pH (surhetsgrad), slik at oppløst aluminium fortrinnsvis finnes i vann med lav eller meget høy pH. Grunnvann, med nøytral pH, inneholder ofte mindre mengder aluminium. Aluminium kan forekomme i grunnvann med lav pH (< 5,5), og kan også forekomme i overflatevann eller renset vann hvor aluminiumforbindelser er brukt i renseprosessen.

Mange forbinder aluminium med Alzheimers sykdom, siden aluminium kan være oppkonsentrert i visse deler av hjernen hos disse pasientene. Det er imidlertid ikke påvist noen årsakssammenheng mellom aluminium og Alzheimers sykdom.

Aluminiumrikt vann kan ha ugunstige effekter på nyresyke personer, og spesielt spedbarn og pasienter som bruker vannet som dialysevæske. Ifølge SIFF (1987) bør dialysevæsken ikke inneholde mer enn 0,01 mg/l.

4.9 Nitrat (NO_3^-), fosfat (PO_4^{3-}) og kalium (K)

Høye konsentrasjoner av nitrat og fosfat i drikkevann skyldes vanligvis forurensning enten fra jordbruk (gjødsling eller oppløying av beitemark/skogmark) eller lekkasje fra septiktank/kloakk/avfallsfylling. Det kan også skyldes innsig av overflatevann på grunn av dårlig sikring rundt brønntoppen. Kalium kommer delvis fra forvitring av silikatmineraler i berggrunnen, men kan også komme fra samme kilder som nitrat eller fosfat. Disse stoffene beskrives ofte som næringssalter, fordi de er viktige næringsstoffer for planter. Det er imidlertid viktig å være klar over at disse stoffene kan komme fra naturgjødsel såvel som fra kunstgjødsel.

Finner man høye konsentrasjoner av disse parametrene i drikkevannet, anbefales det at det også foretas analyser av bakterieinnhold og ammonium i vannet.

Høye konsentrasjoner av nitrat kan forårsake sykdommen methemoglobinemi. Spedbarn er spesielt utsatt fordi nitrat kan danne et kjemisk stoff hos spedbarn som binder seg til hemoglobin og setter ned blodets evne til å transportere oksygen rundt i kroppen. Sykdommen er observert i forbindelse med drikkevann som inneholder nitrat i størrelsesorden 200 mg/l NO_3^- . Den norske grenseverdien er satt betydelig lavere (44 mg/l NO_3^-). Man bør spesielt unngå å benytte vann med høyt nitratinnhold i morsmelkerstatning til spedbarn.

Det er videre mistanke om at nitrat i høye konsentrasjoner kan omdannes til kreftfremkallende nitroso-forbindelser i kroppen. Det er aldri blitt dokumentert noen overbevisende sammenheng mellom kreft og nitrat i drikkevann. Inntak av røkt fisk og spekemat medfører sannsynligvis en langt høyere dose med nitroso-dannende kjemikalier enn inntak av nitratholdig drikkevann i Norge.

Nitrat i vann er et stort problem på det europeiske kontinentet, siden grunnvannsmagasiner ofte finnes i jordbruksområder. I Norge er ikke nitratforurensning i grunnvann så utbredt siden en mindre del av landarealet er oppdyrket, og borebrønner lettere kan legges utenfor jordbruksområder.

Fosfor og kalium har ingen kjente helsemessige ulemper i de beskjedne konsentrasjonene de forekommer i grunnvann.

4.10 Andre metaller

Det eksisterer en rekke metaller som potensielt kan ha negative helsevirkninger. De kan leilighetsvis forekomme i grunnvann i bergarter som er anriket på metaller eller i surt grunnvann hvor metallene er mer løselige. Blant de mer problematiske metallene finner vi barium, beryllium, bly, kadmium, kobber, sink og thallium.

4.10.1 Barium (Ba)

Barium kan ha negative helseeffekter på hjerte, blodkar og nerver (SIFF 1987). Bariumsulfat har liten løsighet og barium forekommer derfor i grunnvann med lite sulfat (f.eks i reduserende grunnvann hvor sulfat er omdannet til sulfid). Sosial- og helsedepartementet (1995) har satt en veileddende grenseverdi på 100 µg/l for barium i drikkevann.

4.10.2 Beryllium (Be)

Det finnes ingen drikkevannsgrense for beryllium i Norge. Det er imidlertid bevist at langvarig eksponering i drikkevann kan medføre skade på beinvevet og lungene. Det er også antydet at beryllium kan være kreftfremkallende. Beryllium forekommer oftere i sure enn i basiske bergarter og gjerne i forbindelse med feltspatmineraler og pegmatittganger. Elementet er forholdsvis uløselig og forekommer sjeldent over 1 µg/l. USEPA (miljøvernmyndighetene i USA) har innført en maksimumsgrense på 4 µg/l beryllium (Fetter, 1994).

4.10.3 Bly (Pb)

Bly akkumuleres i kroppen og kan ha negative virkninger på nervesystemet, bloddannelse og nyrerne, spesielt hos små barn (SIFF, 1987). Bly kan komme fra ledningsnett, men blyrør er lite utbredt i Norge. Bly kan i noen tilfeller komme fra blymineralisering i bergrunnen. Bly er spesielt løselig i bløtt, surt vann.

4.10.4 Kadmium (Cd)

Kadmium akkumuleres i kroppen og har giftvirkning på en rekke organer. Det er mistanke om at elementet er kreftfremkallende (SIFF 1987). Kadmium kan komme fra gamle armaturer på ledningsnettet eller i noen tilfeller fra kadmiummineralisering i bergrunnen. Kadmium er spesielt løselig i bløtt, surt vann.

4.10.5 Kobber (Cu)

Kroppen trenger beskjedne mengder kobber. Det er ingen undersøkelser som dokumenterer en klar negativ helsemessig virkning fra de kobberkonsentrasjoner som vanligvis finnes i drikkevann. Høye doser kan, ifølge USEPA (miljøvernmyndighetene i USA) skade flere organer i kroppen. Personer med Wilsons sykdom kan være spesielt utsatt for ugunstige virkninger fra kobber. Kobber i drikkevann kommer i hovedsak fra kobberrør i ledningsnettet. Mindre mengder kan komme fra bergrunnen.

4.10.6 Sink (Zn)

Beskjedne mengder sink er nødvendig for kroppen. Det er ikke påvist negative helsemessige virkninger fra sink i drikkevann, ifølge SIFF (1987). Meget høye konsentrasjoner med sink kan forårsake en ubehagelig smak på vannet.

4.10.7 Thallium (Tl)

Thallium er et metall som forekommer i malmer sammen med kobber, sink, kadmium og gull. Det finnes i mindre mengder i andre bergarter, spesielt i kalium- og rubidiumrike mineraler. Thallium i drikkevann kan forårsake ubehag i tarmkanalen og skade på nerver, blod, lever, nyrer og testikler, samt hårtap. USEPA har definert en veiledende verdi på 0.5 µg/l og en tillatt maksimumskonsentrasjon på 2 µg/l, i USA (USEPA, 1997).

5 METODER

5.1 Prøvetaking

Sommeren 1996 gikk Statens strålevern ut offentlig med et tilbud om radonanalyser av drikkevann. Tilbuddet ble tatt opp av landets næringsmiddeltilsyn og enkelte kommuner og privatpersoner. På dette tidspunktet ble NGU koblet inn i prosjektet, og det ble samtidig sendt ut flasker til vannprøvetaking for fysisk-kjemisk analyse.

Et 20 ml glass (fylt på forhånd med 10 ml scintillasjonsvæske) for radonprøvetaking ble sendt ut til næringsmiddeltilsynene sammen med instruks for prøvetaking (vedlegg 1). For de øvrige vannanalyser ble det sendt ut en 500 ml polyeten plastflaske. Det ble anbefalt å la springen renne i minst 5 minutter før prøvetaking. Prøvene ble i de fleste tilfellene tatt av næringsmiddeltilsynene og sendt med post til Statens strålevern og NGU for henholdsvis radonanalyse og øvrige analyser. Vannprøvene ble ikke filtrert av to årsaker:

- (i) for å gjøre det enkelt for personer som var ukjent med denne type vannprøvetaking
- (ii) for å få et mål på totalinnhold av forskjellige elementer i drikkevann i oppløst, kolloidal og partikulær form.

Noen av næringsmiddeltilsynene misoppfattet prosjektets formål og tok prøver av overflatevann og grunnvann fra løsmasser i tillegg til grunnvann fra fast fjell. Dette ble registrert og håndtert under databearbeiding.

Ved prøvetaking ble det fylt ut et skjema som ga opplysninger om brønnens lokalitet, bruk og evt. vannbehandling. På det første skjemaet (vedlegg 2) var det ikke anledning til å kommentere vannbehandling. Dette ble mulig på en senere versjon av skjemaet (vedlegg 3).

5.2 Analyser

5.2.1 Radon

Prøvene ble registrert ved ankomst på Statens strålevern. Analysene ble foretatt ved scintillasjonstelling. Så langt det var mulig ble alle prøver analysert innen 3 dager etter prøvetaking. Resultatene ble deretter korrigert for å gi radoninnholdet i vannet ved prøvetakingstidspunktet. Deteksjonsgrensen er oppgitt til 10 Bq/l.

Prøver med spesielt høye verdier ble kjørt om igjen og i noen tilfeller prøvetatt på nytt.

5.2.2 Øvrige parametre

Ved ankomst på NGU ble prøvene registrert og lagret i et mørkt kjølerom ved 4°C. Vannets farge ble vurdert (K = ingen farge, B = noe brunt, BB = ganske brunt vann). Dette gir et kvalitativt mål på humusstoffer og/eller utfelt jernhydroksid i vannet. Så snart som mulig etter ankomst ble prøven rystet forsiktig og ca. 100 ml vann ble dekantert til en ny polyetenflaske. De resterende 400 ml vann i den opprinnelige flasken ble tilsatt 4 ml 65% konsentrert Suprapur salpetersyre for å holde metaller i løsning (løse opp allerede adsorberte/utfelte metaller).

Vannprøven i 100 ml flasken ble ikke behandlet på noen måte og ble benyttet for bestemmelse av:

- (i) pH ved kalibrert pH-elektrode av type pHC 2701.
- (ii) alkalitet ved titrering mot saltsyre til pH 8.2 (p-alkalitet) og 4.3 (t-alkalitet)
- (iii) bestemmelse av 7 anioner (Cl^- , Br^- , NO_3^- , NO_2^- , SO_4^{2-} , F^- og PO_4^{3-}) ved ionelektronkromatografi (IC)

Resterende 400 ml surgjort prøve ble brukt til analyse av ca. 30 elementer med induktivt koblet plasma atomisk emisjonsspektroskopi (ICP-AES). Metodene og kvalitetssikringsrutiner er gjengitt i laboratoriets kvalitetshåndbok (NGU-Lab. 1997). Analyseusikkerhet og nedre deteksjonsgrense er gjengitt i vedlegg 5. Duplikatanalyser av hver 20. prøve ble kjørt som kontroll.

ICP-AES analysene kunne i de fleste tilfeller kjøres noen få dager etter prøveankomst. IC, pH og alkalitetsmålinger tar lengre tid. I de travleste periodene kunne det gå et par måneder mellom prøvetaking og analyse. For enkelte parametere, slik som nitrat, pH og alkalitet, kan verdiene endre seg under lagring (p.g.a. nedbrytning av nitrat, avgassing av CO_2 osv.). NGU tar derfor forbehold om resultatene for disse parametrene.

5.3 Databearbeiding

En database ble opprettet hos NGU. Databasen inneholder opplysninger fra innsendte skjemaer om bl.a. gårds-/bruksnummer, prøvenummer, brønndyp, grunnforhold samt analyseresultater. Kommunenummer og fylke ble identifisert og lagt inn. Noen data måtte forkastes p.g.a. mangefullt utfylte skjema, eller uoverensstemmelser i prøvenummerering. Dette gjelder spesielt i Vest-Agder fylke.

27 prøver som ble tatt i Trøndelag sommeren 1996 av student Janice Doherty fra Universitetet i Sheffield, Storbritannia ble inkludert i datasettet (Doherty, 1997). Etter at alle registreringer var lagt inn, hadde man opplysninger om 1924 vannprøver.

De fleste registreringsskjemaene inneholdt opplysninger om kommune, gårdsnummer og bruksnummer. En fil med disse dataene ble sendt til Statens Kartverk v/Jon Kaasa for konvertering til UTM-koordinater i sone 32. Basert på en feltkontroll i Egersundområdet, må nøyaktigheten sies å være bra. I noen tilfeller var ikke konverteringen vellykket, sannsynligvis på grunn av feil oppgitt gårds-/bruksnummer.

UTM-koordinatene ble koblet opp i Arcview-software mot NGUs digitale berggrunnskart over Norge i målestokk 1:3 000 000 (Sigmond m.fl. 1992). Den koblingen ga hvert prøvetakingspunkt en bergartskode som tilsvarer tegnforklaringen på kartet. Vedlegg 4 gjengir de 27 bergartskodene som er representerte, 8 av disse har mindre enn 5 prøver.

Brønnene ble tildelt ulike koder:

- Kode 0: brønn/kilde i løsmasse
- Kode 1: brønn/kilde i fjell
- Kode 2: overflatevann
- Kode 3: grunnforhold ikke oppgitt, men brønndyp større enn 20 m er antatt å være i fjell
- Kode 4: oppgitt løsmasse, men brønndyp større enn 20 m er antatt å være i fjell
(med løsmassedekke)
- Kode 5: ikke oppgitt dyp eller fjell/løsmasse

Prøver fra overflatevann ble forkastet fra datasettet. Dette dreide seg om 7 prøver på landsbasis. Prøver fra løsmassebrønner og prøver der brønntype ikke lot seg identifisere fra registreringsskjemaet ble også skilt ut før den videre statistiske behandlingen. Det var da 1756 prøver fra borebrønner i fjell i datasettet. Videre ble prøver fra borebrønner med vannbehandling og prøver med partikkelinnhold merket og forkastet fra datasettet. Dette dreide seg om 152 prøver. Innhold av partikler kan forstyrre vannanalysen. Dersom ingen opplysninger om vannbehandling ble oppgitt (inkl. prøvene hvor skjemaet ikke ga mulighet for opplysninger), ble det antatt at ingen vannbehandling fant sted.

Etter dette, ble 1604 prøver igjen fra brønner i fjell (koder 1, 3 og 4), hvorav 1337 hadde UTM koordinat og 1334 kunne gis en bergartskode (vedlegg 4).

Tabell 2: Gruppering av godkjente og ikke-godkjente data.

Kriterium	Landsomfattende datasett
Total datasett	1924
Løsmassebrønner (kode 0)	-88
Overflatevann (kode 2)	-7
Uten opplysninger (kode 5,-9999)	-73
Fjellborehull (kode 1, 3 og 4)	1756
Prøver av behandlet vann	-141
Prøver med høyt partikkellinnhold	-11
Fjellborehull, korrigert datasett	1604
hvorav brønner med UTM koordinat	1337
hvorav brønner med bergartskode	1334
Løsmassebrønner, korrigert datasett	72

5.4 Feilkilder

De viktigste feilkildene er som følger:

- (i) Kontaminering av prøver ved prøvetaking. Dette har vi ikke hatt oversikt over, men de fleste prøvetakerne har vært fagfolk fra næringsmiddeltilsynene som antas å ha vært forsiktige med prøvetakingen.
- (ii) Feilregistrering av prøver, spesielt feilnummerering. Hos noen næringsmiddeltilsyn har prøvetakeren ikke forstått at nummeret på radonflasken skal tilsvare nummeret på vannflasken. I de fleste tilfellene mener vi å ha oppdaget dette og foretatt en riktig kobling. En kan selvfølgelig ikke utelukke at noen tilfeller har gått uoppdaget.
- (iii) Uforsvarlig lang lagringstid. Dette gjelder i hovedsak parametrerne alkalitet, pH og nitrat. Resultatene for disse parametrerne oppgis her, men med et visst forbehold.
- (iv) Unøyaktigheter i forbindelse med konvertering av gårds-/bruksnummer til UTM. Feltkontroll i Egersundområdet viser god nøyaktighet. Statens Kartverks konverteringsprogram tar brukets sentrum som referansepunkt. Ved større eiendommer, vil brønnen ikke nødvendigvis ligge i sentrum, noe som gir en viss feil. Brønner nær kysten og på små øyer kan derfor bli plottet i havet.
- (v) Unøyaktigheter ved kobling til bergartskode. Det digitale kartets målestokk er grov og det kan ha oppstått feil i kartets digitalisering. For å kontrollere unøyaktigheter, ble NGUs

1:250.000 kartblad Oslo valgt ut som kontroll. Alle prøvetakingspunkt ble plottet manuelt på dette detaljerte kartet og bergrunnen registrert. En uoverensstemmelse på maksimum 7% ble registrert i bergartskode mellom digital kobling og manual plotting. Ved fornuftig bruk av statistiske teknikker er dette til å leve med.

5.5 Datafremstilling

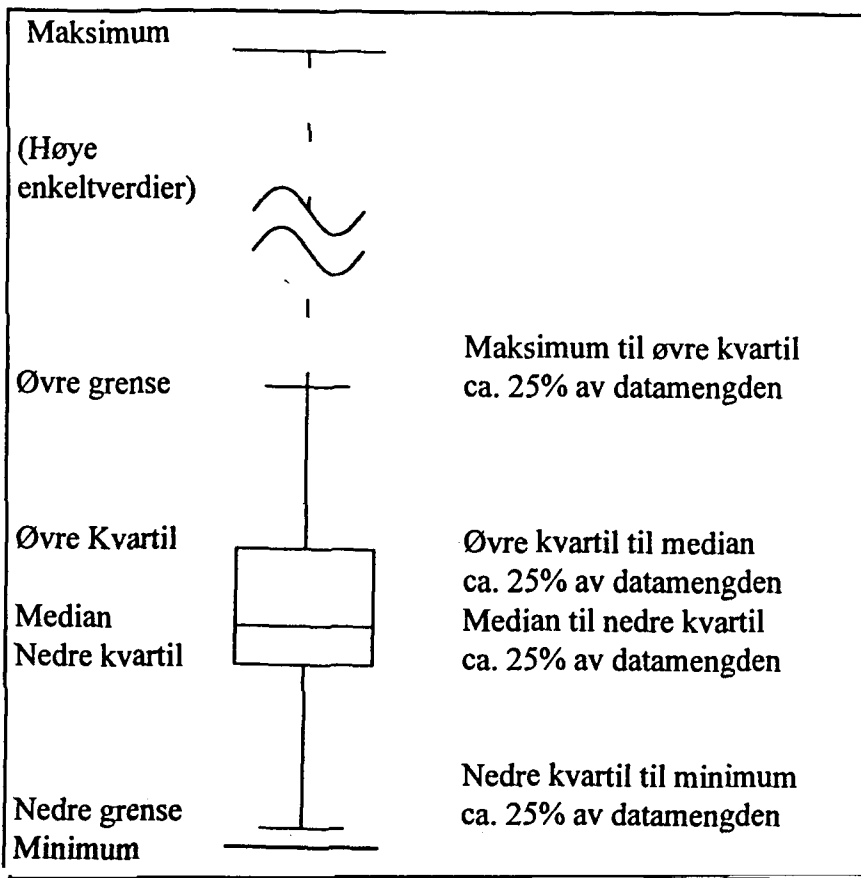
Resultatene er fremstilt på 3 ulike måter for å få frem ulike aspekter ved dataene. I figur 4a til 42a er boksplott benyttet for å vise statistisk fordeling etter fylke og bergart. I figur 4b til 20b er dataene presentert i kart der symbolene er relatert til Forskrift for vannforsyning og drikkevann m.m. (Sosial- og helsedepartementet, 1995) som gjelder for vann til drikkevann- og næringsmiddelformål. De samme resultatene er presentert i vedlegg 6 og 8 (figur 4c til 42c) med en geokjemisk statistisk vinkling. Det er svært få prøver fra Nord-Norge (Fjell_korr, n=22) og vi har bare mottatt opplysninger om gårds- og bruksnr. for 9 av disse. Følgelig er det bare de sistnevnte prøvene som er koordinatfestet og knyttet til bergart. Resultatene av prøvene fra denne landsdelen er tatt med i den statistiske behandlingen og i boksplottene, men er ikke fremstilt på kart.

Resultatene er i hovedsak basert på det korrigerte datasettet for fjellbrønner (Fjell_korr, n = 1604; n = 1601 for radon). Datasettene for fylkene og bergartsgruppene er undersett av Fjell_korr. Det totale datasettet for fjellbrønner (Fjell_tot, n = 1756), det korrigerte datasettet for løsmassebrønner (Losm_korr, n = 72), det korrigerte datasettet for innsendte overflatevannsprøver (Overfl_korr; n = 7) og det korrigerte datasettet for vannprøver av ukjent opprinnelse (men trolig fjellbrønner; Ukjent_korr; n = 45) er også tatt med på boksplottene for sammenlikning. Alle analyseresultater lavere enn den analytiske deteksjonsgrensen er plottet som en verdi lik halve deteksjonsgrensen på alle kart og boksplott (dvs. <10 Bq/l er plottet som 5 Bq/l).

Leseren bør bruke disse resultatene forsiktig. Resultatene for mange fylker/bergarter bygger på et noe spinkelt statistisk grunnlag, og bør derfor ikke brukes til å trekke generelle konklusjoner. Koncentrasjoner har ofte stor spredning: i de fleste bergarter vil det være mulig å bore både brønner som overskrides drikkevannsgrensene og brønner som tilfredsstiller dem.

5.5.1 Boksplott

Boksplott er en fremstillingsmåte som gir en rask oversikt over dataenes fordeling og sentrale statistiske parametre. Den eigner seg derfor meget godt der en ønsker å sammenligne to eller flere datasett. For at et boksplott skal kunne lages og for at betydningsfulle medianverdier kan sammenlignes, kreves det minst 5 verdier i datasettet. For enkelte fylker og bergarter er ikke dette kravet oppfylt, og dataene er da presentert som enkeltpunkter. I figur 3 neste side vises de viktigste parametrene som kan leses ut av et boksplott.



Figur 3: *Grafisk forklaring av boksplot*

Medianen er den midterste verdien i tallsettet, dvs at halvparten av verdiene er høyere og halvparten er lavere. Medianen angis ved en strek som deler selve boksen i to. Ved sammenlikning av data fra ulike fylker, er medianen et bedre sammenlikningsgrunnlag enn f.eks høyeste enkeltmåling eller et gjennomsnitt av datasettet.

Øvre kvartil representerer den verdien i datasettet der 75 % av verdiene er lavere og 25% er høyere. Tilsvarende er 75 % av verdiene høyere og 25% av verdiene lavere enn **nedre kvartil**. Øvre og nedre kvartil fremstilles som henholdsvis toppen og bunnen av selve boksen. Boksen inneholder dermed de midtre 50% av datasettets verdier og størrelsen på boksen gir et bilde av spredningen i disse verdiene.

Strekene (kalt «whiskers» dvs. værhår) viser spredningen av dataene utenfor boksen. I geokjemiske data er det vanlig at noen få verdier er mye høyere (eller eventuelt mye lavere) enn de midterste 50%. I boksplot settet det en **øvre grense** for streken når verdien plottes lengre fra øvre kvartil enn 1,5 ganger boksens lengde. Høyere verdier plottes som enkle punkt og utelukkes av og til fra grafiske fremstillinger fordi de trekker ut skalaen og reduserer oppløsningen. Tilsvarende er **nedre grense** for streken satt 1,5 ganger boksens lengde fra nedre kvartil, og lavere verdier enn dette vil bli plottet som enkle punkt. Boksplot er nyttig til å avsløre asymmetri i datasettet og tilstedeværelsen av verdier som ligger mye høyere eller mye lavere enn medianen.

6 RESULTATER

6.1 Radon

Utfra de innsamlede vannprøvene har brønner i bergartsgruppe 92 (prekambriske granitter) de generelt høyeste konsentrasjoner (median for gruppen = 698 Bq/l). Bergartsgruppene 86 og 93 (hhv. kaledonske og prekambriske anortositt/charnockitt-bergarter) gir de generelt laveste radonkonsentrasjonene (medianverdien < 10 Bq/l).

Figur 4a indikerer at fylket Vestfold har den høyeste median radon-konsentrasjonen i grunnvann fra fjellbrønner (236 Bq/l). Østfold har også en høy mediankonsentrasjon (212 Bq/l). Dette skyldes de granittiske bergartene som forekommer i disse fylkene. Laveste medianverdi (< 10 Bq/l) forekommer i Rogaland, hvor en stor andel av prøvene kommer fra bergartsgruppe 93.

13,9 % (222 av 1601) av de undersøkte fjellbrønnene overskridt anbefalt tiltaksgrense på 500 Bq/l for radon. Median radonkonsentrasjon for datasettet (Fjell_korr) er 88 Bq/l. Høyeste registrerte verdi er 19900 Bq/l fra et borehull i Iddefjordgranitten (bergart 92) i Østfold.

Resultatene bekrefter at radon er stort sett et problem i de sure granitt- og gneisbergartene i sør-Norge. I de kaledonske metasedimentene og metavulkanittene i Midt- og Nord-Norge, er radon sjeldnere et problem.

I de 72 undersøkte løsmassebrønnene er radoninnholdet generelt lavere enn i fjellbrønnene, med en medianverdi på 22 Bq/l (målt maksimumskonsentrasjon 410 Bq/l). I overflatevannsprøvene ligger radonkonsentrasjonen under deteksjonsgrensen.

Figur 4a viser hvordan analyseresultatene fordeler seg statistisk i hvert fylke og i forhold til bergart/brønntype. For en kort innføring i tolkning av boksplott-diagrammer vises det til avsnitt 5.5.1 og figur 3.

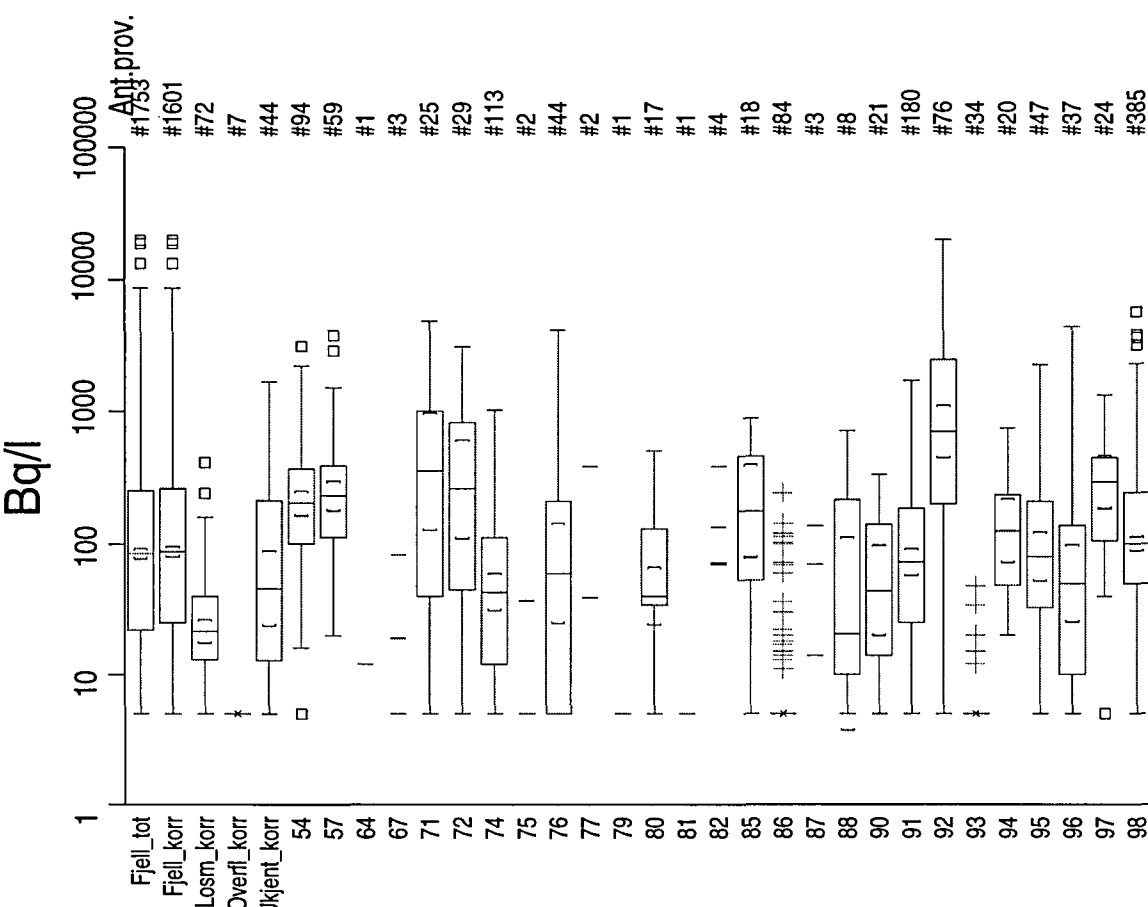
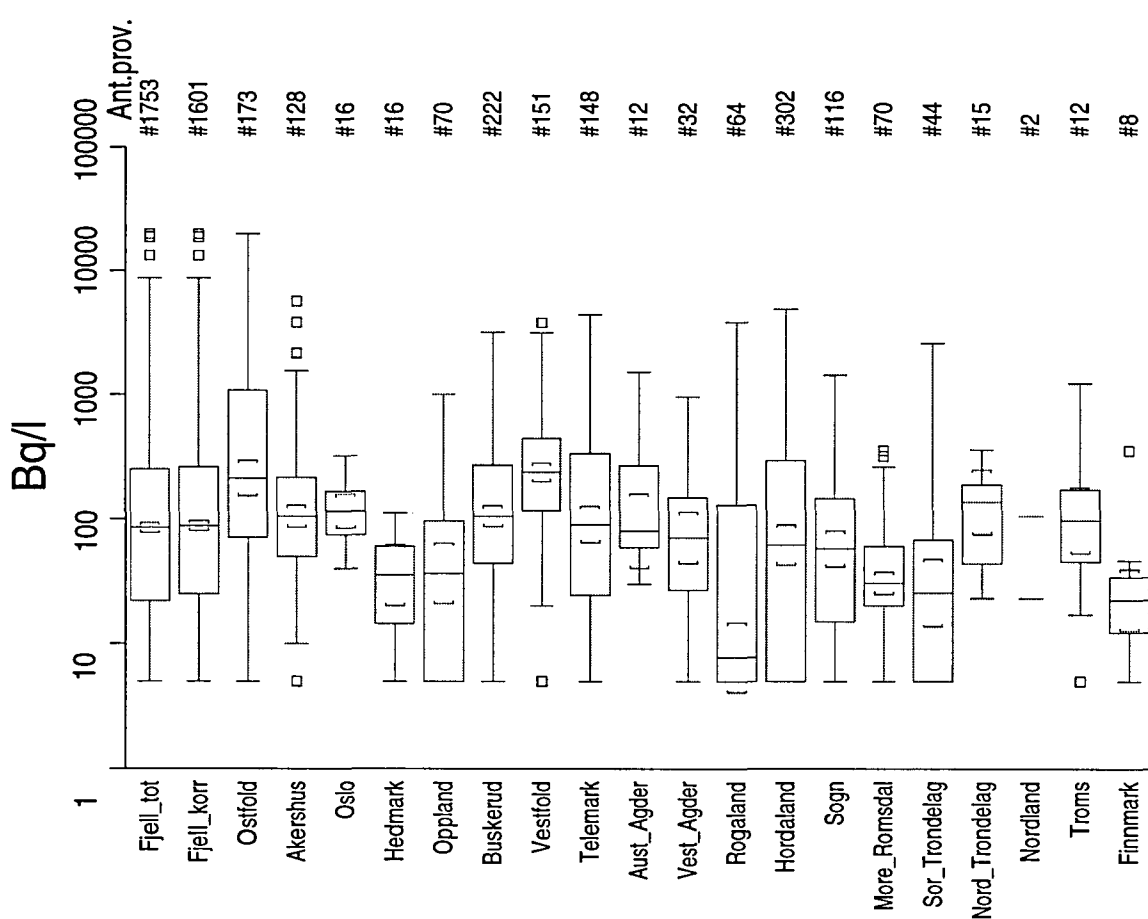
Figur 4b viser den geografiske fordelingen av analyseresultatene sett i forhold til myndighetenes anbefalte tiltaksgrense for radon på 500 Bq/l (Statens strålevern, 1995). I tillegg er det i nedre venstre hjørne av figuren vist et frekvensdiagram som gir et bilde av den prosentvise fordelingen av de ulike konsentrasjonene.

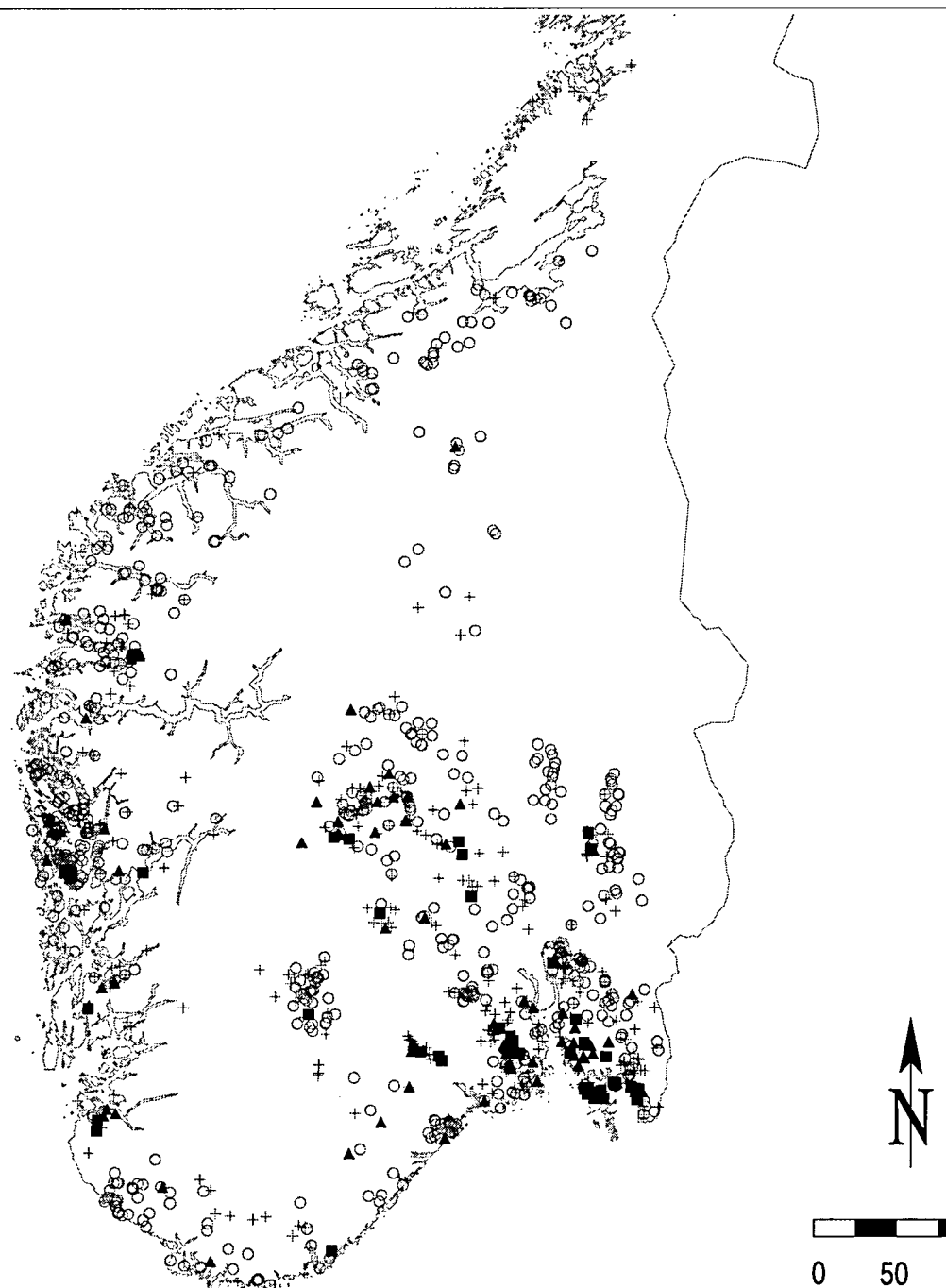
NORGE (Landsomfattende)

Grunnvannskjemi i fjellbronner

RADON

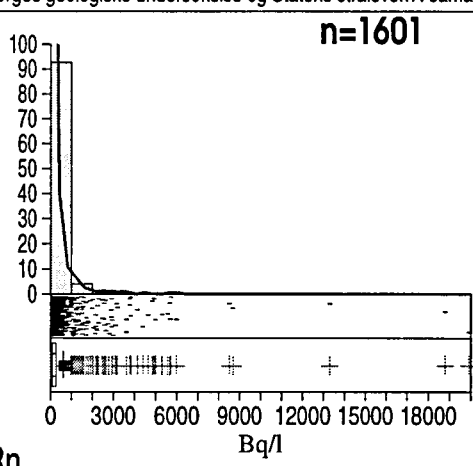
Fordeling i bergart og bronntype



SOR-NORGE*Grunnvannskjemi i fjellbronner***RADON**

Norges geologiske undersøkelse og Statens stralevern i samarbeid med de kommunale næringsmiddelsyn

11/1997



■ 1500 - 20000

▲ 500 - 1500

+ 100 - 500

○ 5 - 100

Kartsymbolene er relatert til
Statens straleverns anbefalte
tiltaksgrense

■ over 3 ganger tiltaksgrensen

▲ overskridet tiltaksgrensen

○ + under tiltaksgrensen

Tilsvarande kart med annen statistisk fremstilling er gitt i vedlegg

Rn

Rn

Bq/l

Bq/l

6.2 Fluorid

Ufra de innsamlede vannprøvene har brønner i bergartsgruppe 72 (aledonsk gabbro, dioritt og ultramafiske bergarter) den høyeste mediankonsentrasjonen for fluor (median for gruppen = 1,89 mg/l), mens bergartsgruppe 92 (prekambriske granitt) har en medianverdi på 1,69 mg/l. Bergartsgruppe 93 (prekambriske anortositt/charnockitt-bergarter) gir de generelt laveste fluoridkonsentrasjonene (medianverdien < 0,05 mg/l).

Figur 5a indikerer at fylket Vest Agder har den høyeste median fluorid-konsentrasjonen i grunnvann fra fjellbrønner (1,05 mg/l). Østfold har også en høy mediankonsentrasjon (0,68 mg/l). Dette skyldes de granittiske bergartene som forekommer i disse fylkene. Laveste medianverdi (< 0,05 mg/l) forekommer i Rogaland, hvor en stor andel av prøvene kommer fra bergartsgruppe 93.

16,1 % (258 av 1604) av de undersøkte fjellbrønnene overskrider drikkevannsnormen på 1,5 mg/l for fluorid. Median fluoridkonsentrasjon for datasettet (Fjell_korr) er 0,28 mg/l. Høyeste registrerte verdi er 8,26 mg/l fra et borehull i bergartsgruppe 72 i Hordaland.

Resultatene bekrefter at fluorid ofte er et problem i de sure granitt- og gneisbergartene i Sør-Norge, men også i basiske bergarter hvor man trolig kan finne fluor i forbindelse med glimmer/amfibol/pyrokseinen (?) mineraler. I de kaledonske bergartene i Midt- og Nord-Norge er fluorid sjeldnere et problem.

I de 72 undersøkte løsmassebrønnene er fluoridinnholdet generelt lavere enn i fjellbrønnene, med en medianverdi på 0,05 mg/l (målt maksimumskonsentrasjon 1,03 mg/l). I overflatevannsprøvene ligger fluoridkonsentrasjonene enda lavere.

Figur 5a viser hvordan analyseresultatene fordeler seg statistisk i hvert fylke og i forhold til bergart/brønntype. For en kort innføring i tolkning av boksplott-diagrammer vises det til avsnitt 5.5.1 og figur 3.

Figur 5b viser den geografiske fordelingen av analyseresultatene sett i forhold til myndighetenes kvalitetskrav til drikkevann (Sosial- og helsedepartementet, 1995). I tillegg er det i nedre venstre hjørne av figuren vist et frekvensdiagram som gir et bilde av den prosentvise fordelingen av de ulike konsentrasjonene.

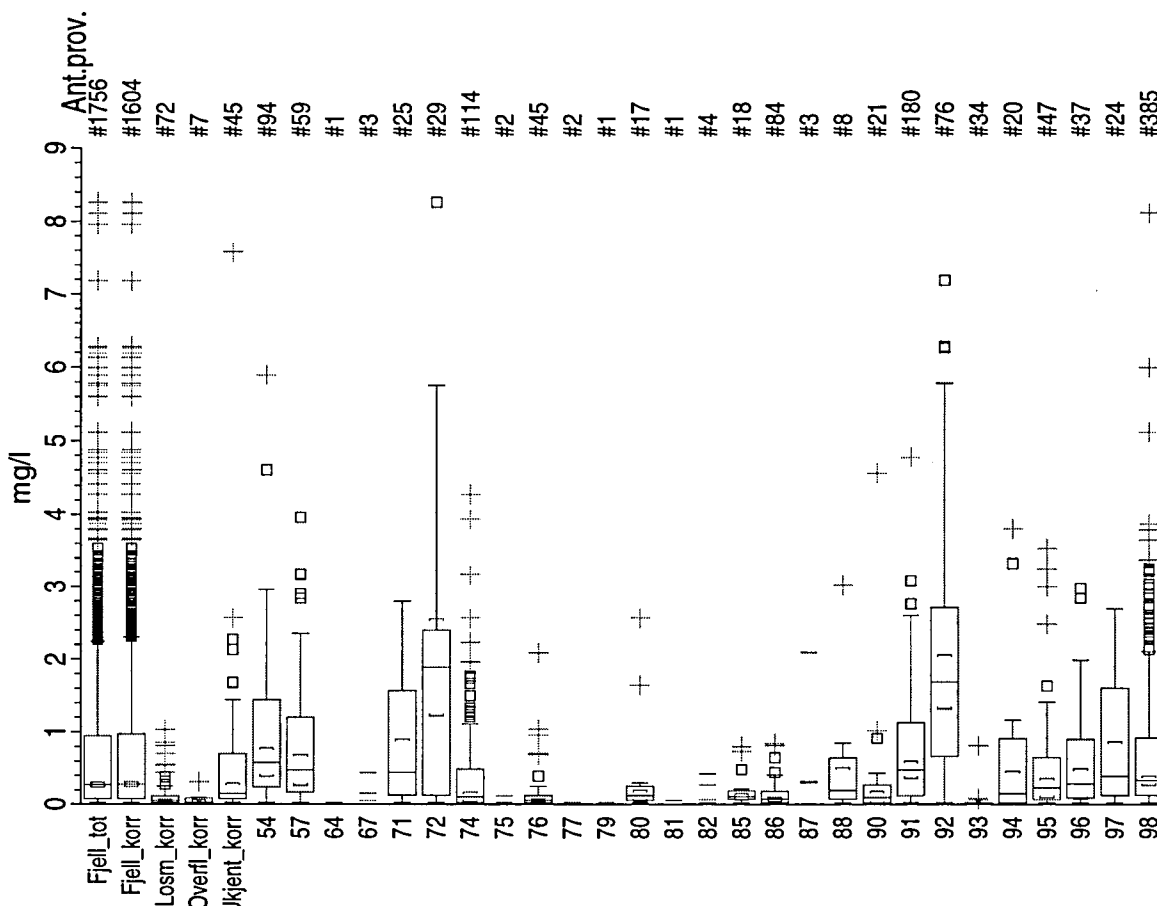
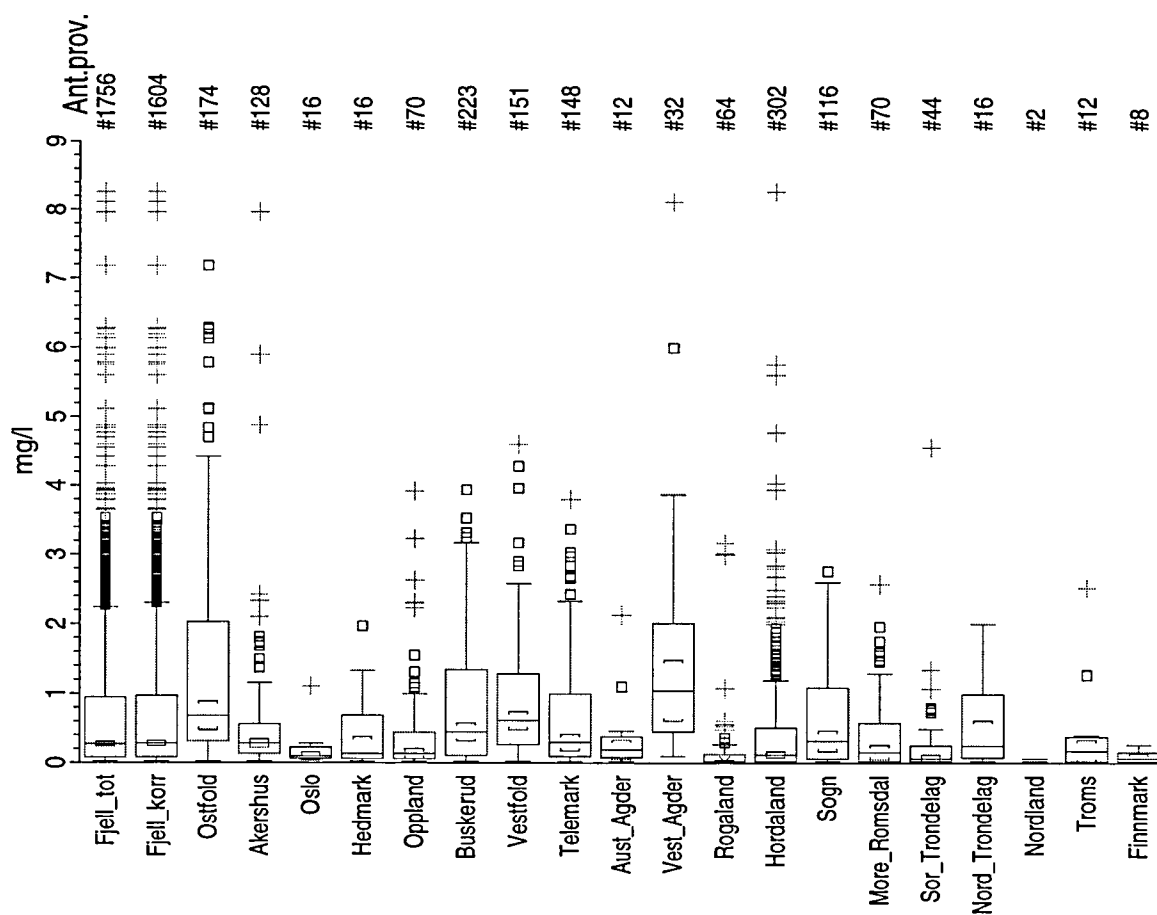
Figur 5a

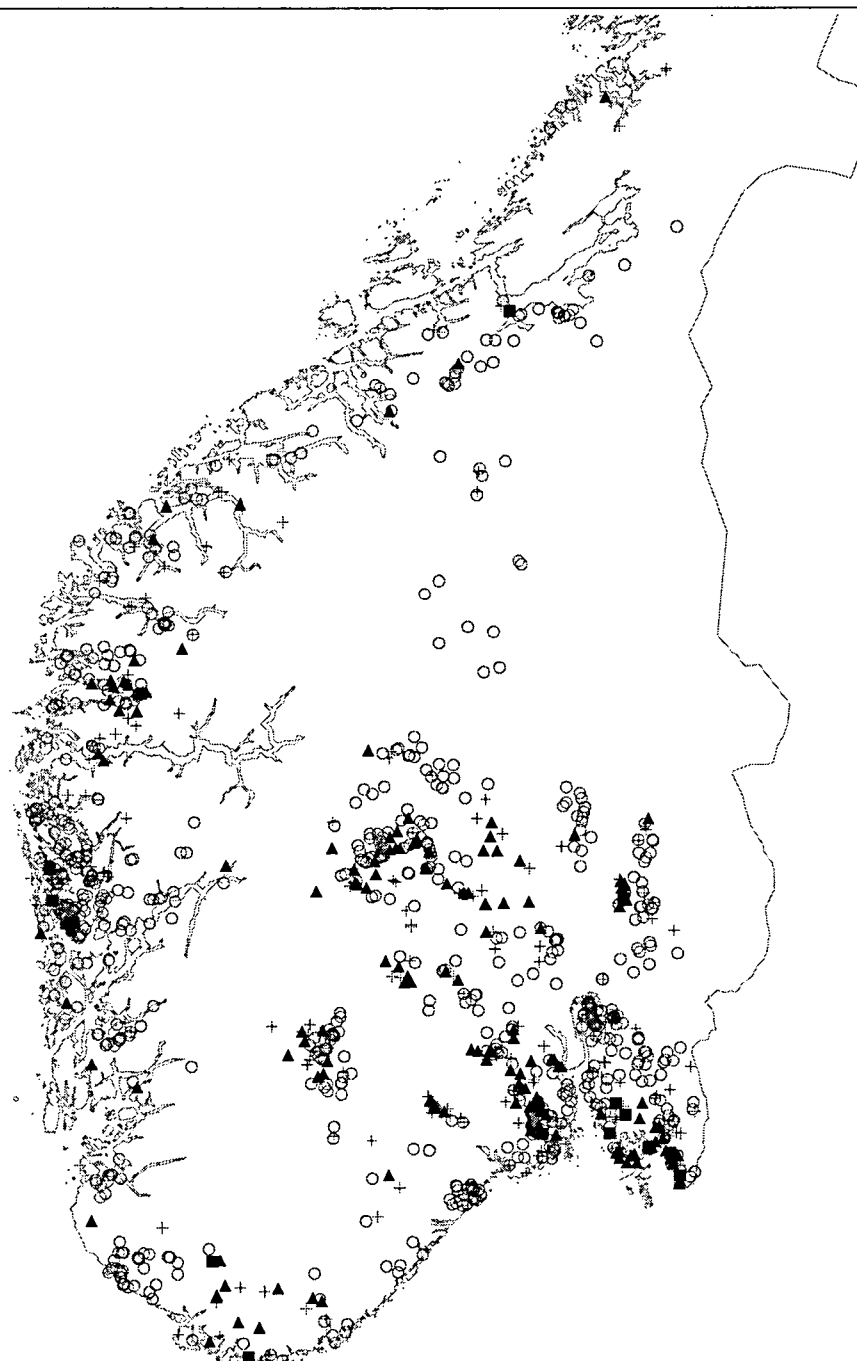
NORGE (Landsomfattende)

Grunnvannskjemi i fjellbronner

FLUORID

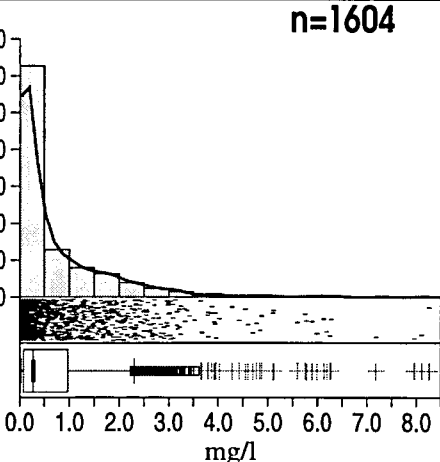
Fordeling i bergart og bronntype



SOR-NORGE*Grunnvannskjemi i fjellbronner***FLUORID**

Norges geologiske undersøkelse og Statens stralevern i samarbeid med de kommunale næringsmiddeltilsyn

11/1997



- 4.50 - 8.3
- ▲ 1.50 - 4.5
- + 0.50 - 1.5
- 0.03 - 0.5
- + tilfredsstiller kravene i normen

Kartsymbolene er relatert til
de norske drikkevannsnormene

- over 3 ganger hoyeste tillatte verdi
- ▲ overskrides hoyeste tillatte verdi
- + tilfredsstiller kravene i normen

Tilsvarende kart med annen statistisk fremstilling er gitt i vedlegg

6.3 Natrium

Utfra de innsamlede vannprøvene har brønner i bergartsgruppe 72 (kaledonsk gabbro, dioritt og ultramafiske bergarter) den høyeste mediankonsentrasjonen for natrium (median for gruppen = 32,1 mg/l), mens bergartsgruppe 92 (prekambriske granitt) har en medianverdi på 31,1 mg/l. Den høye verdien fra bergartsgruppe 72 er noe overraskende siden mafiske bergarter vanligvis er natriumfattige, men det kan være en sammenheng med en mulig overvekt av brønner med sjønær beliggenhet i Vest-Norge i den gruppen. Bergartsgruppe 97 (prekambriske metaryolitt / metaryodacitt) gir den laveste mediankonsentrasjonen for natrium (medianverdien 4,09 mg/l).

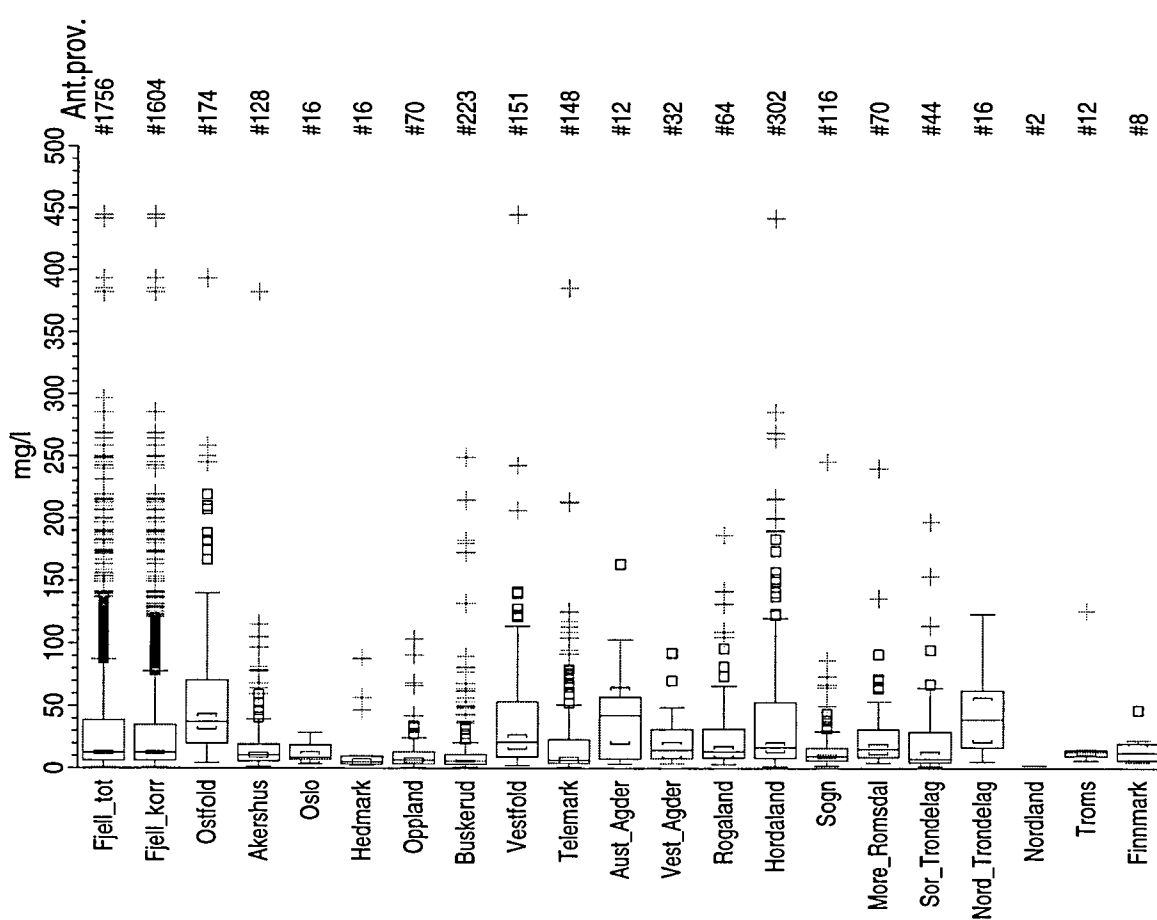
Figur 6a indikerer at fylket Aust Agder har den høyeste median natrium-konsentrasjonen i grunnvann fra fjellbrønner (42,3 mg/l). Østfold har også en høy mediankonsentrasjon. Natrium i grunnvann kommer både fra havsalter og forvitring av natrium-rike mineraler. At man har høye natriumkonsentrasjoner i disse fylkene skyldes trolig både sjønær beliggenhet og en overvekt av sure granitt-/gneisbergarter. Laveste medianverdi (5,08 mg/l) forekommer i Hedmark. 36,1 % (579 av 1604) av de undersøkte fjellbrønnene overskridet veilegende verdi på 20 mg/l for natrium, mens kun 2,9 % (46 av 1604) overskridet drikkevannsmaksimum på 150 mg/l for natrium. Median natriumkonsentrasjon for datasettet (Fjell_korr) er 12,5 mg/l. Høyeste registrerte verdi er 3100 mg/l fra et borehull i bergartsgruppe 92 i Østfold, som trolig skyldes inntringing av sjøvann. Laveste registrerte konsentrasjon i en fjellbrønn er 0,76 mg/l.

I de 72 undersøkte løsmassebrønnene er natriuminneholdet generelt lavere enn i fjellbrønnene, med en medianverdi på 4,06 mg/l (målt maksimumskonsentrasjon 35,5 mg/l). I overflatevannsprøvene ligger natriumkonsentrasjonene på samme nivå (median 5,18 mg/l). Den store forskjellen mellom overflatevann/grunnvann i løsmasse og grunnvann i fjell antyder at natriuminneholdet i sistnevnte kommer i betydelig grad fra forvitring av mineraler (feltspatforvitring eller ionebytting) i tillegg til sjøsalter i nedbør eller inntringing av sjøvann. Fig. 6c antyder imidlertid at de aller høyeste natrium-konsentrasjonene ligger langs kysten, slik at de høyeste natriumkonsentrasjonene i noen brønner kan komme fra påvirkning av sjøsalter.

Figur 6a viser hvordan analyseresultatene fordeler seg statistisk i hvert fylke og i forhold til bergart/brønntype. For en kort innføring i tolkning av bokspott-diagrammer vises det til avsnitt 5.5.1 og figur 3. Figur 6b viser den geografiske fordelingen av analyseresultatene sett i forhold til myndighetenes kvalitetskrav til drikkevann (Sosial- og helsedepartementet, 1995). I tillegg er det i nedre venstre hjørne av figuren vist et frekvensdiagram som gir et bilde av den prosentvise fordelingen av de ulike konsentrasjonene.

Fordeling innen hvert fylke

Fordeling i bergart og bronntype



1 hoy verdi fra Ostfold er ikke plottet (3100 mg/l)

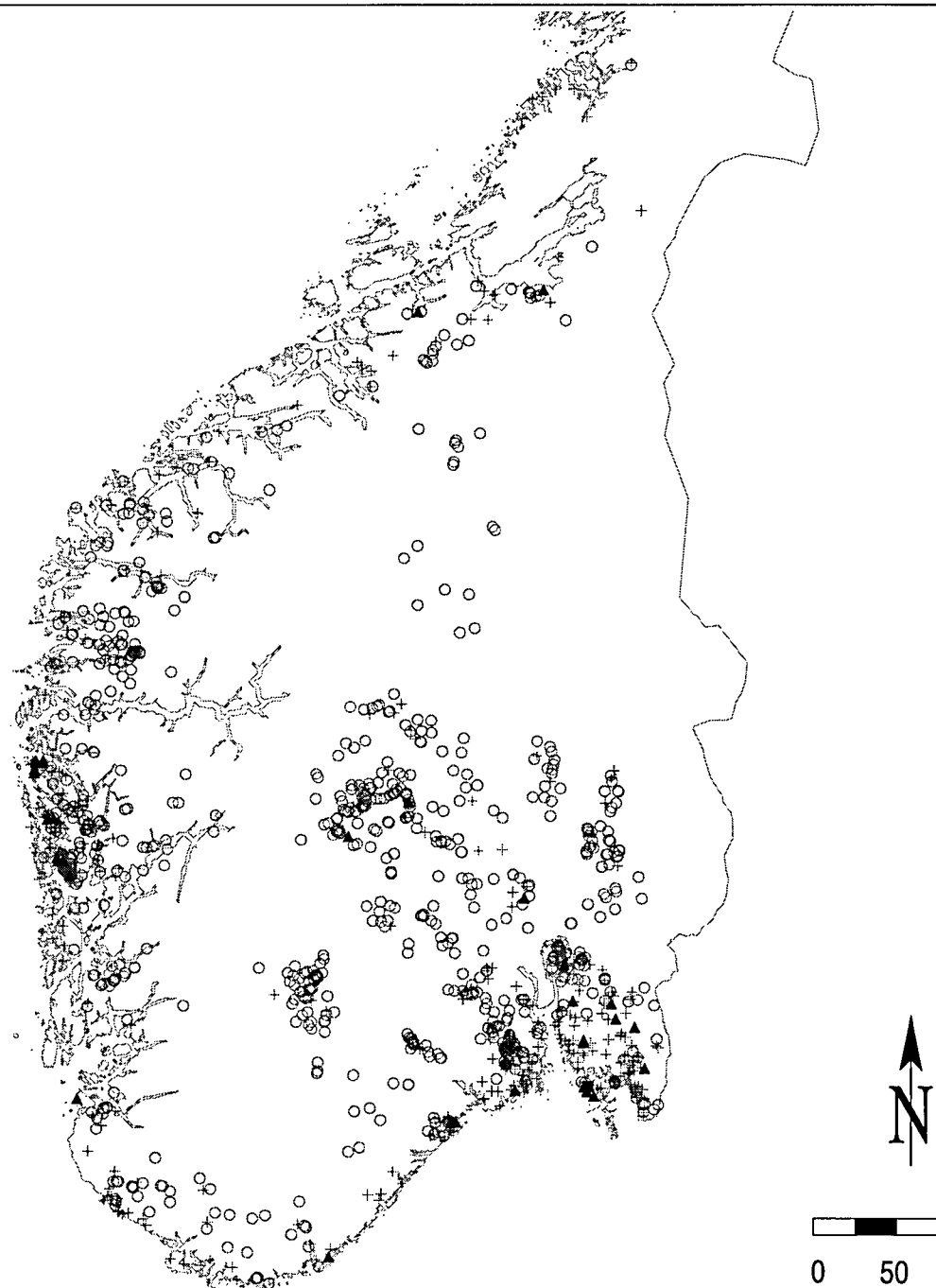
1 hoy verdi fra Bergart 92 er ikke plottet (3100 mg/l)

NORGE (Landsomfattende) *Grunnvannskjemi i fjellbronner*

NATRIUM

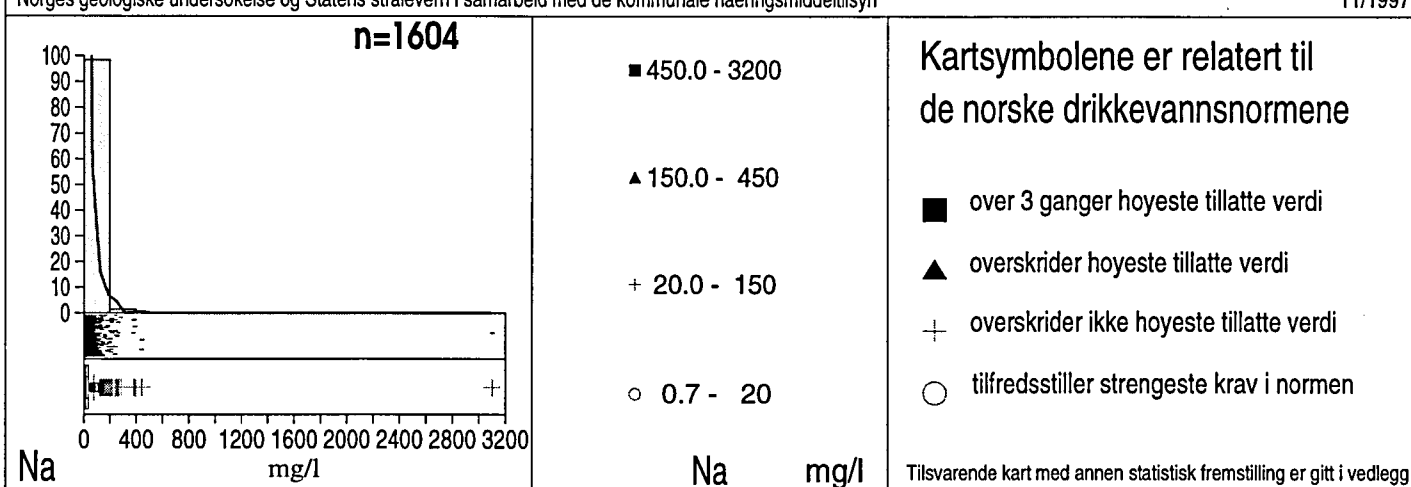
Figur 6a

Figur 6b

SOR-NORGE*Grunnvannskjemi i fjellbronner***NATRIUM**

Norges geologiske undersøkelse og Statens stralevern i samarbeid med de kommunale næringsmiddeltilsyn

11/1997



6.4 Klorid

Utfra de innsamlede vannprøvene har brønner i bergartsgruppe 92 (prekambrisk granitt) den høyeste mediankonsentrasjonen for klorid (median for gruppen = 21,8 mg/l), mens bergartsgruppe 93 (prekambrisk anortositt/charnockitt) har en medianverdi på 21,6 mg/l. At man ikke har spesielt høye Cl-verdier i bergartsgruppe 72, indikerer at de høye natriumkonsentrasjonene (se 6.3) i denne gruppen virkelig har en litologisk opprinnelse. Bergartsgruppe 97 (prekambriske metaryolitt / metaryodacitt) gir den laveste mediankonsentrasjonen for klorid (medianverdien 2,4 mg/l).

Figur 7a indikerer at fylket Østfold har den høyeste median klorid-konsentrasjon i grunnvann fra fjellbrønner (20,6 mg/l). Laveste medianverdi (3,42 mg/l) forekommer i Buskerud (innlandslokalisering medfører lite påvirkning fra havsalter).

16,5 % (264 av 1604) av de undersøkte fjellbrønnene overskridet veilegende verdi på 25 mg/l for klorid i drikkevann. Det er ikke fastsatt noen største tillatte konsentrasjon, men drikkevannsnormen antyder at konsentrasjoner > 200 mg/l klorid kan være uheldige (Sosial- og helsedepartementet, 1995). Median kloridkonsentrasjon for datasettet (Fjell_korr) er 9,75 mg/l. Høyeste registrerte verdi er 9531 mg/l fra et borehull i bergartsgruppe 92 i Østfold, som trolig skyldes inntring av havvann. Laveste registrerte konsentrasjon i en fjellbrønn er < 0,1 mg/l.

I de 72 undersøkte løsmassebrønnene er kloridinnholdet kun litt lavere enn i fjellbrønnene, med en medianverdi på 4,92 mg/l (maksimum 46,5 mg/l). I overflatevannsprøvene ligger kloridkonsentrasjonene på omrent samme nivå (median 6,83 mg/l). At man har lignende konsentrasjoner av både Na og Cl (se 6.3) i grunnvann fra løsmasser tyder på at sjøsalter i nedbør er en viktigere natriumkilde enn forvitring. Fig. 7c antyder at de høyeste kloridkonsentrasjonene ligger langs kysten, og kommer fra påvirkning av sjøsalter.

Figur 7a viser hvordan analyseresultatene fordeler seg statistisk i hvert fylke og i forhold til bergart/brønntype. For en kort innføring i tolkning av bokspott-diagrammer vises det til avsnitt 5.5.1 og figur 3.

Figur 7b viser den geografiske fordelingen av analyseresultatene sett i forhold til myndighetenes kvalitetskrav til drikkevann (Sosial- og helsedepartementet, 1995). I tillegg er det i nedre venstre hjørne av figuren vist et frekvensdiagram som gir et bilde av den prosentvise fordelingen av de ulike konsentrasjonene.

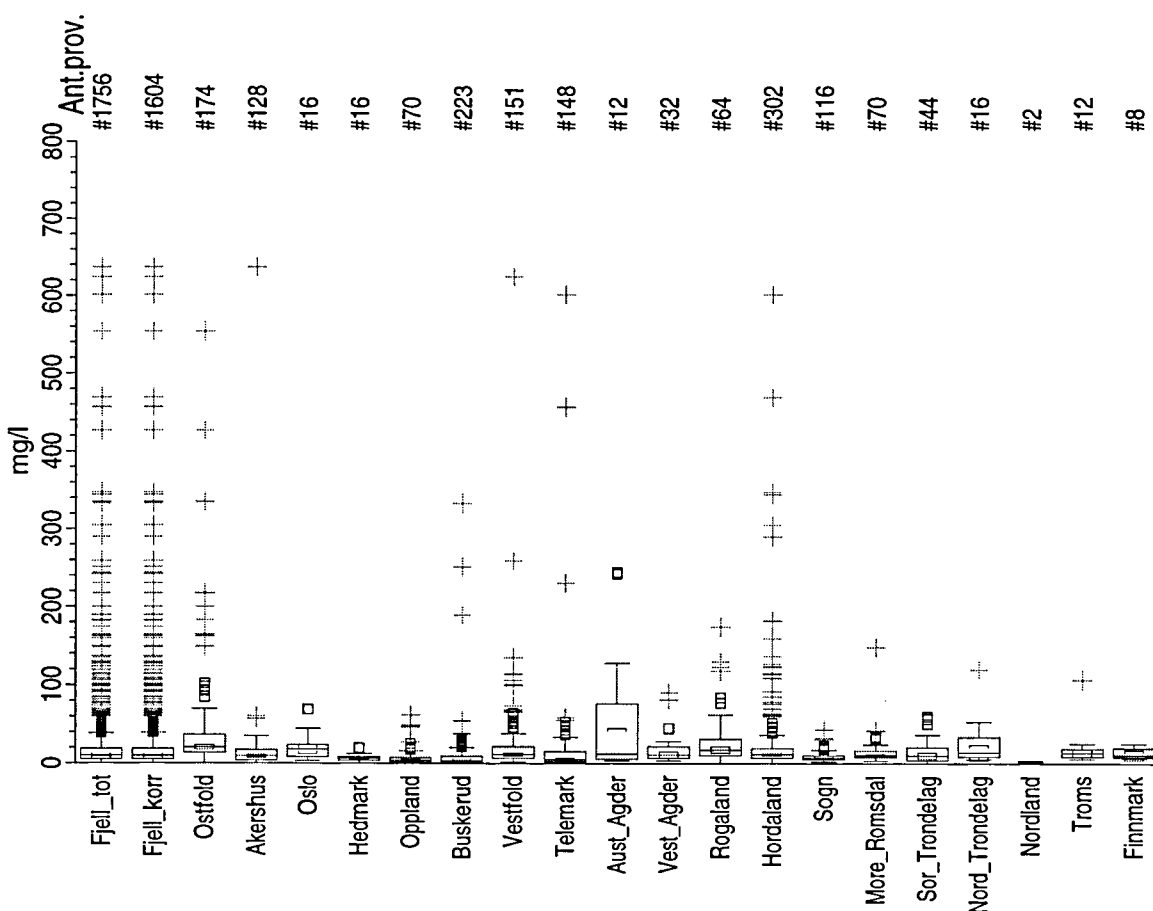
Figur 7a

NORGE (Landsomfattende)

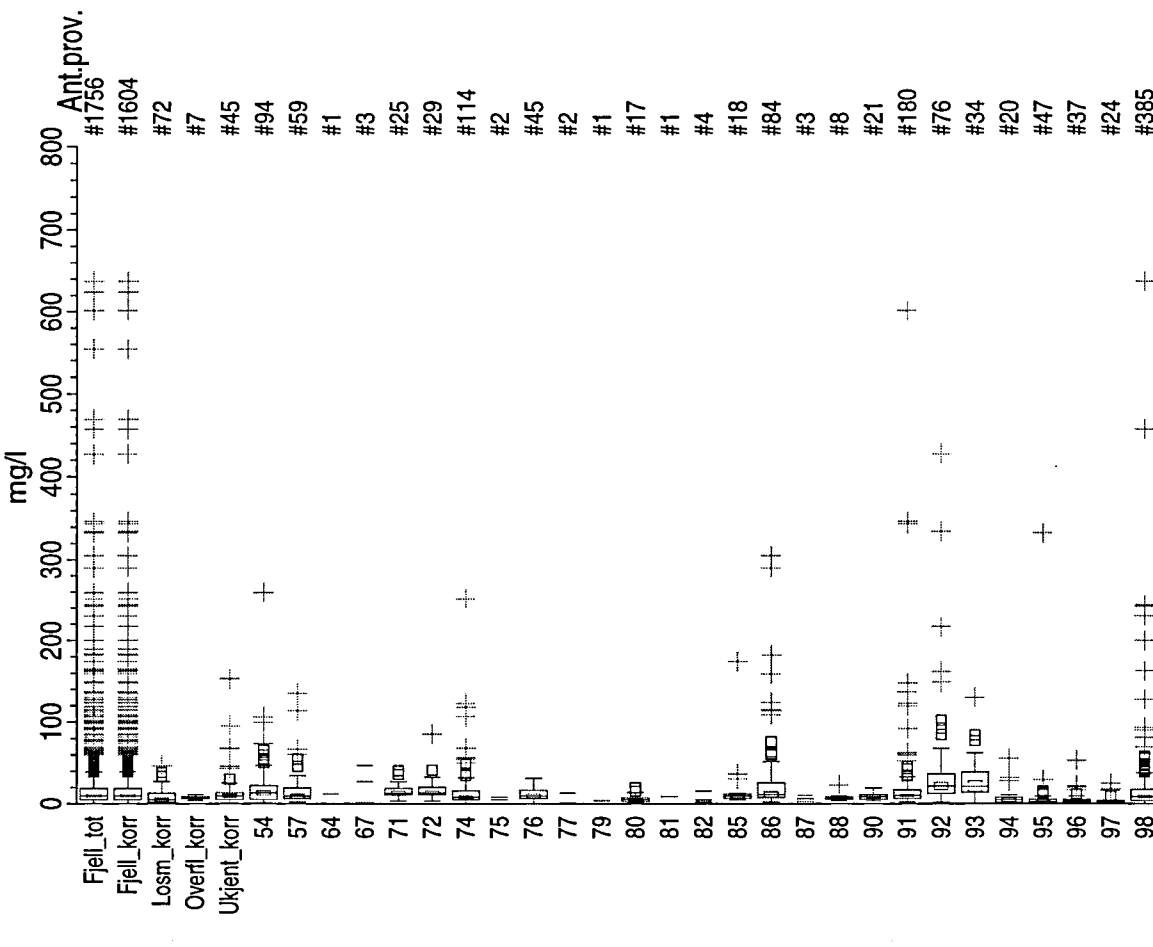
Grunnvannskjemi i fjellbronner

KLORID

Fordeling innen hvert fylke

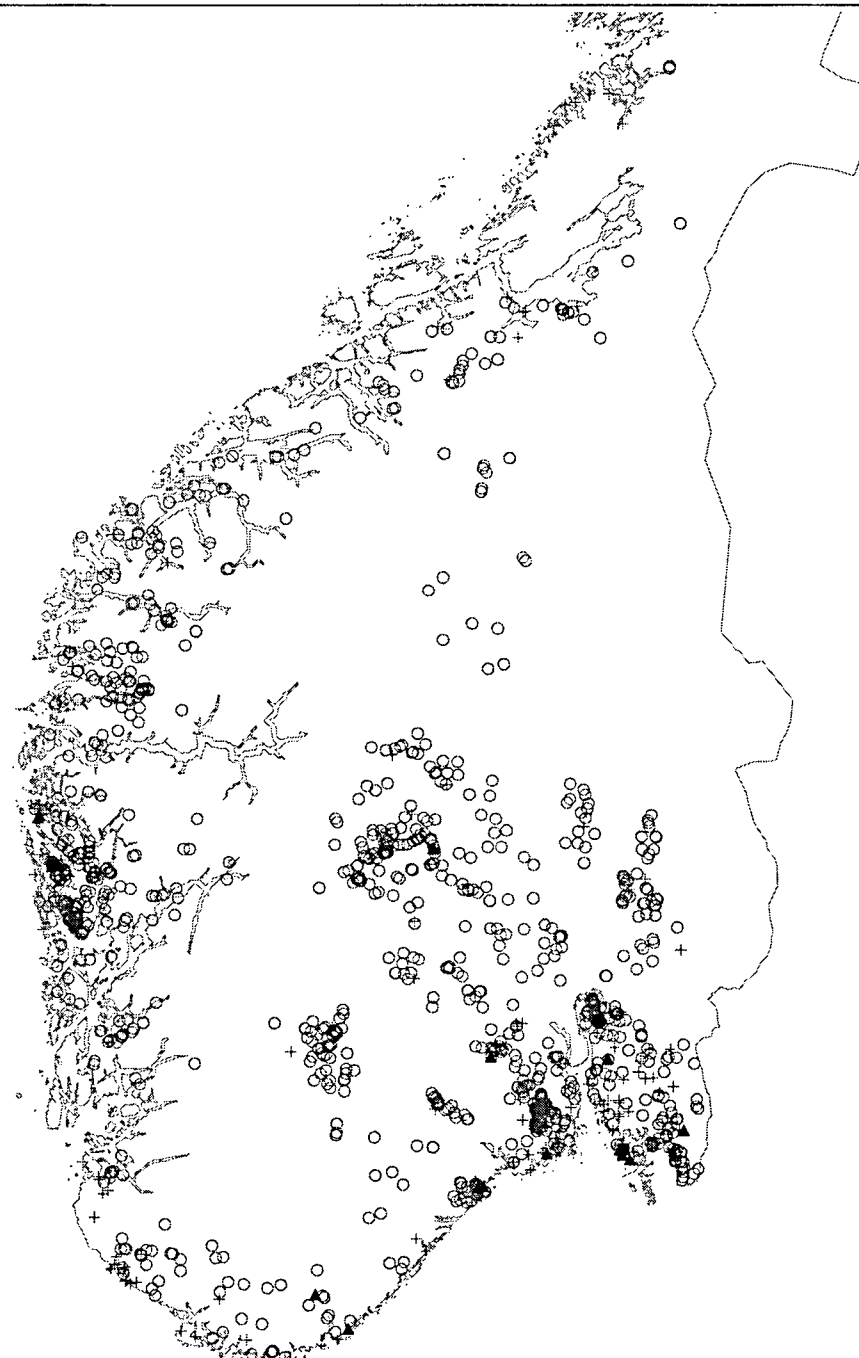


1 hoy verdi fra Østfold er ikke plottet (9531 mg/l)



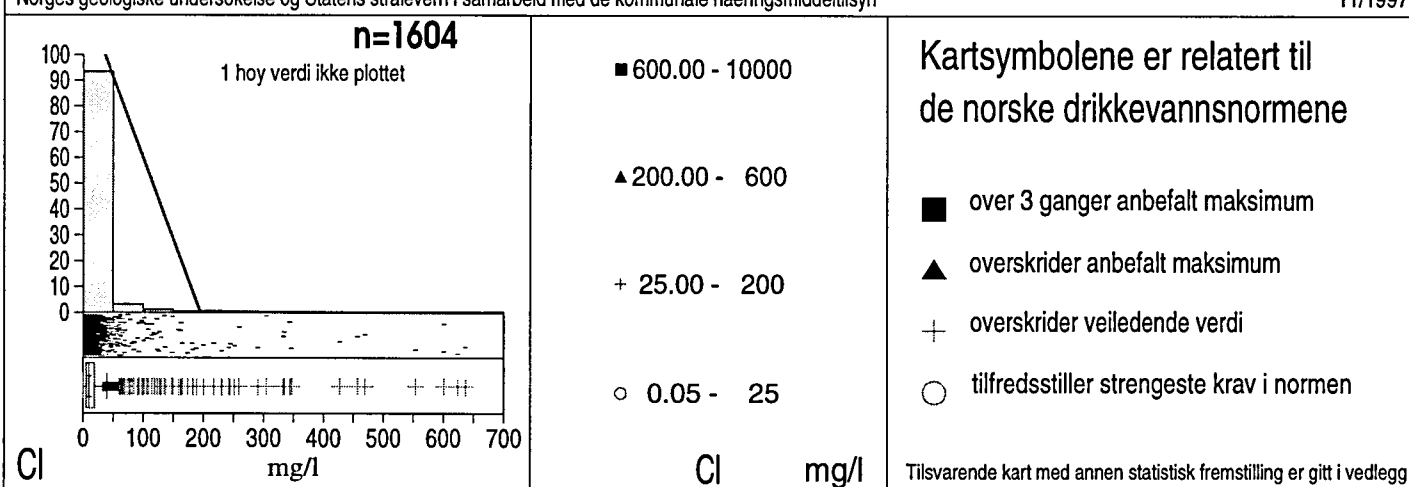
1 hoy verdi fra Bergart 92 er ikke plottet (9531 mg/l)

Figur 7b

SOR-NORGE*Grunnvannskjemi i fjellbronner***KLORID**

Norges geologiske undersøkelse og Statens stralevern i samarbeid med de kommunale næringsmiddeltilsyn

11/1997



6.5 pH

Utfra de innsamlede vannprøvene har brønner i bergartsgruppe 72 (kaledonsk gabbro, dioritt, ultramafiske bergarter) den høyeste median-pH-verdien (median = 8,17). Bergartsgruppe 88 (prekambriske amfibolitt og gneis) gir den laveste medianverdien for pH (median = 7,84). Generelt er det overraskende lite spredning i medianverdiene for pH.

Figur 8a indikerer at fylket Aust Agder har den høyeste median pH-verdien i grunnvann fra fjellbrønner (8,24), mens Nord-Trøndelag har 8,23. Laveste medianverdi (7,65) forekommer i Oslo.

6,0 % (97 av 1604) av de undersøkte fjellbrønnene overskridet største tillatte pH på 8,5 for drikkevann. Kun 1,1 % (18 av 1604) har pH mindre enn laveste tillatte pH på 6,5. Median pH for hele datasettet (Fjell_korr) er 8,07 mg/l. Høyeste registrerte verdi er 9,83 fra et borehull i bergartsgruppe 91 (prekambrisk gneis - Nordvestre gneisregion) i Møre og Romsdal. Laveste registrerte pH i en fjellbrønn er 5,43 fra bergartsgruppe 98 i Rogaland (prekambrisk gneis).

I de 72 undersøkte løsmassebrønnene er pH betydelig lavere enn i fjellbrønnene, med en medianverdi på 7,37 (maksimum 8,65; minimum 5,41). I overflatevannsprøvene ligger pH enda litt lavere (median 7,26). Grunnvann i løsmasser er vanligvis mer gruntliggende, mindre modent og har kortere oppholdstid enn grunnvann i fjell. pH-forskjellen kan altså være naturlig. Fig. 8c antyder at de høyeste pH-verdiene ligger langs kysten. Forfatterne har hittil ingen særlig god forklaring på dette fenomenet, men flere hypoteser kan lanseres:

- (i) at kystområdene har flatere topografi enn områder lengre inn i landet. Dette kan medføre lavere grader, mindre grunnvannsstrømning, lengre oppholdstid og mer modent grunnvann med høyere pH.
- (ii) at kystområdene har blitt hevet over havnivå først etter den siste istiden, slik at de i mindre grad har blitt eksponert for grunnvannssirkulasjon, forvitring og fjerning av basiske mineraler.
- (iii) at kystområder er naturlige grunnvannsutstrømningsområder i regional sammenheng; de ligger muligens ved enden av lange, dype strømningsveier med lang oppholdstid.
- (iv) at den høye pH-verdien skyldes påvirkning av porevann fra marine leirer. Slikt porevann pleier å være alkalisk og har natrium-karbonat-klorid sammensetning (Hilmo 1989).

Figur 8a viser hvordan analyseresultatene fordeler seg statistisk i hvert fylke og i forhold til bergart/brønntype. For en kort innføring i tolkning av boksplot-diagrammer vises det til avsnitt 5.5.1 og figur 3. Figur 8b viser den geografiske fordelingen av analyseresultatene sett i forhold til myndighetenes kvalitetskrav til drikkevann (Sosial- og helsedepartementet, 1995). I tillegg er det i nedre venstre hjørne av figuren vist et frekvensdiagram som gir et bilde av den prosentvise fordelingen av de ulike pH-nivåene.

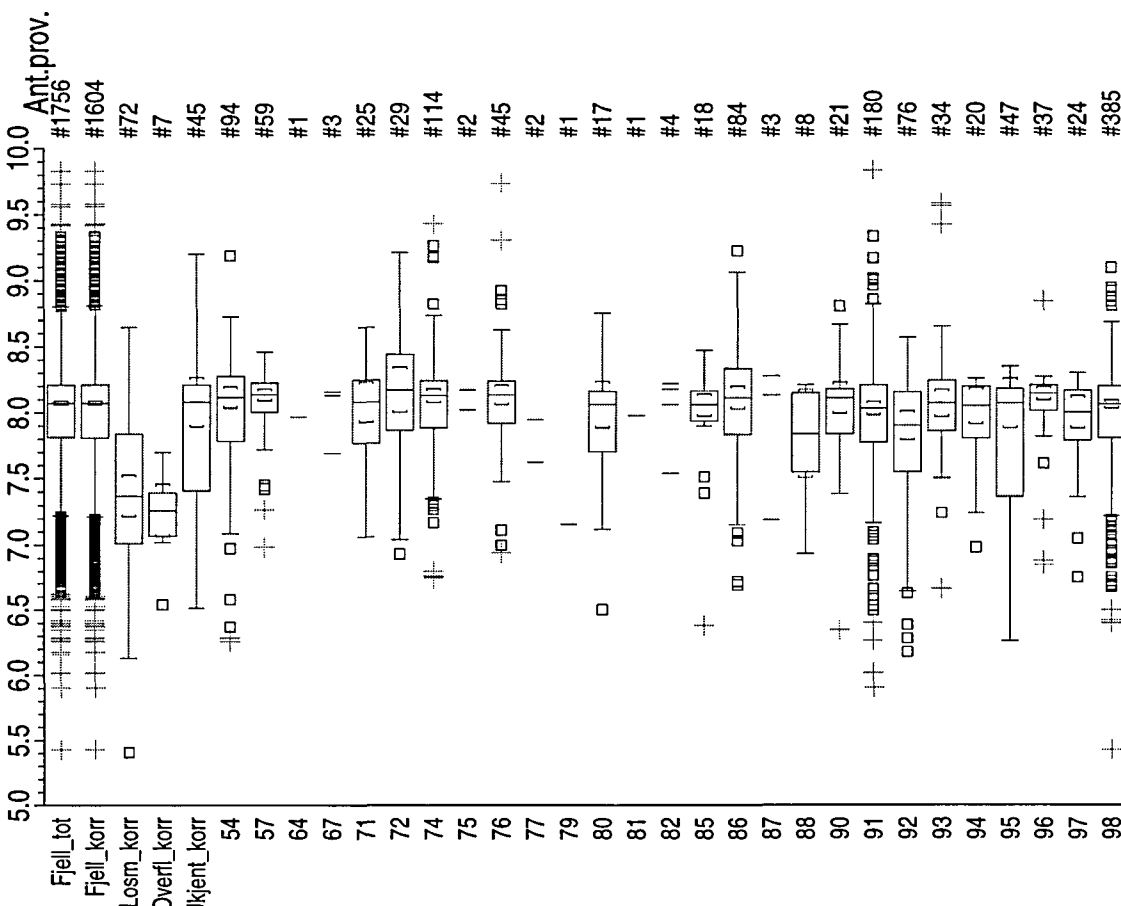
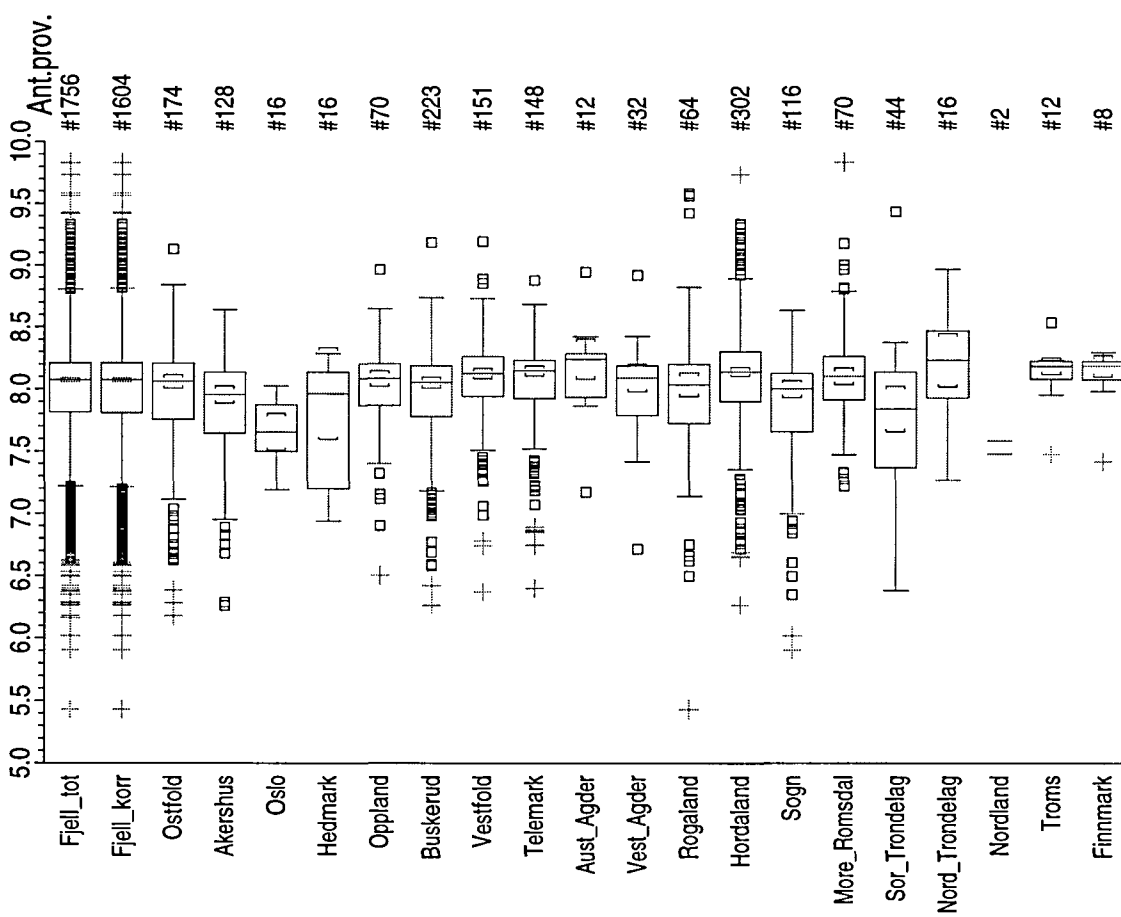
Figur 8a

NORGE (Landsomfattende)

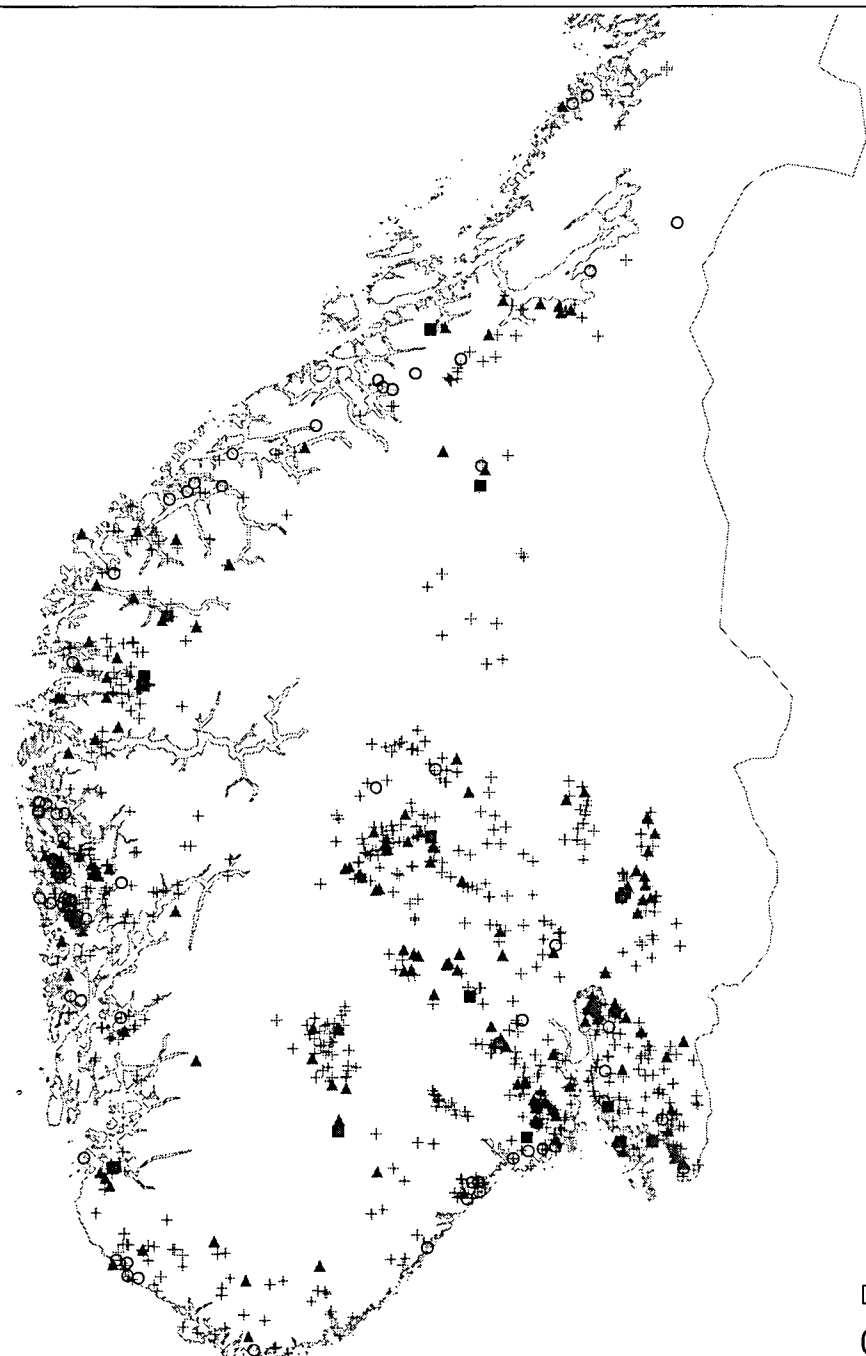
Grunnvannskjemi i fjellbronner

pH

Fordeling innen hvert fylke



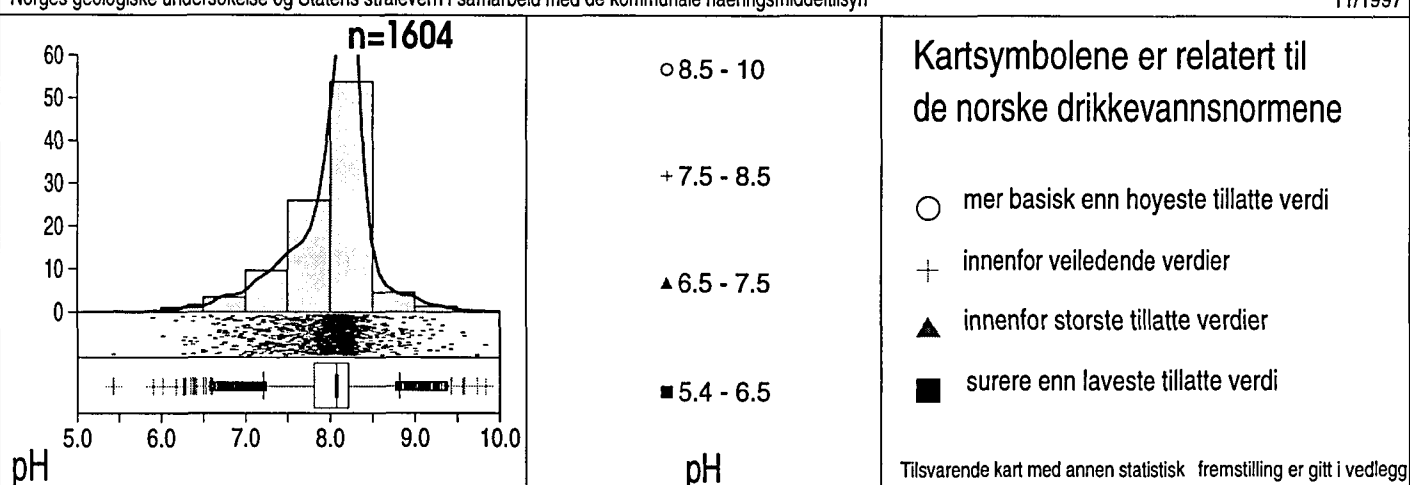
Figur 8b

SOR-NORGE*Grunnvannskjemi i fjellbronner***pH**

0 50 100 km

Norges geologiske undersøkelse og Statens stralevern i samarbeid med de kommunale næringsmiddeltilsyn

11/1997



- mer basisk enn hoyeste tillatte verdi
- + innenfor veilederende verdier
- ▲ innenfor største tillatte verdier
- surere enn laveste tillatte verdi

6.6 Kalsium

Utfra de innsamlede vannprøvene har brønner i bergartsgruppe 80 (senprekambriske sedimentærbergarter) den høyeste mediankonsentrasjonen for kalsium (median for gruppen = 40,2 mg/l). Bergartsgruppe 92 (prekambrisk granitt) gir den laveste mediankonsentrasjonen for kalsium (medianverdi 15,6 mg/l), mens bergartsgruppene 72 (aledonsk gabbro/dioritt/ultramafiske bergarter) og 93 (prekambrisk anortositt/charnockitt) gir også mediankonsentrasjoner (hhv. 16,6 og 17,3 mg/l) som er overraskende lave for slike (antakeligvis) kalsium-rike bergarter.

Figur 9a indikerer at fylket Akershus har den høyeste median kalsium-konsentrasjonen i grunnvann fra fjellbrønner (36,6 mg/l), mens Troms fylke har en median på 36,2 mg/l. Laveste medianverdi (18,5 mg/l) forekommer i Rogaland.

Medianverdien for hele datasett (Fjell_korr) er 27,3 mg/l. Maksimumsverdien (423 mg/l) kommer fra bergartsgruppe 92 i Østfold og skyldes trolig inntringing av havvann. Minimumsverdien (<0,02 mg/l) kommer fra bergart 74 (aledonske metasedimenter) i Buskerud fylke.

Hele 81,6 % (1309 av 1604) av de undersøkte fjellbrønnene (Fjell_korr) er utenfor veiledende drikkevannsnorm for kalsium som anbefaler at konsentrasjonen skal være mellom 15 og 25 mg/l. Av disse 1309 prøvene har 422 en konsentrasjon < 15 mg/l, og 887 en konsentrasjon > 25 mg/l. Kun 295 prøver (18,4 %) har en konsentrasjon innenfor normene.

I de 72 undersøkte løsmassebrønnene ligger mediankonsentrasjonen for kalsium i grunnvann på et betydelig lavere nivå enn i fjellbrønnene (median 10,6 mg/l; minimum 1,58 mg/l; maksimum 90,5 mg/l). Overflatevann har enda lavere kalsiuminnhold (median 6,05 mg/l).

Figur 9a viser hvordan analyseresultatene fordeler seg statistisk i hvert fylke og i forhold til bergart/brønntype. For en kort innføring i tolkning av bokspott-diagrammer vises det til avsnitt 5.5.1 og figur 3.

Figur 9b viser den geografiske fordelingen av analyseresultatene sett i forhold til myndighetenes kvalitetskrav til drikkevann (Sosial- og helsedepartementet, 1995). I tillegg er det i nedre venstre hjørne av figuren vist et frekvensdiagram som gir et bilde av den prosentvise fordelingen av de ulike konsentrasjonene.

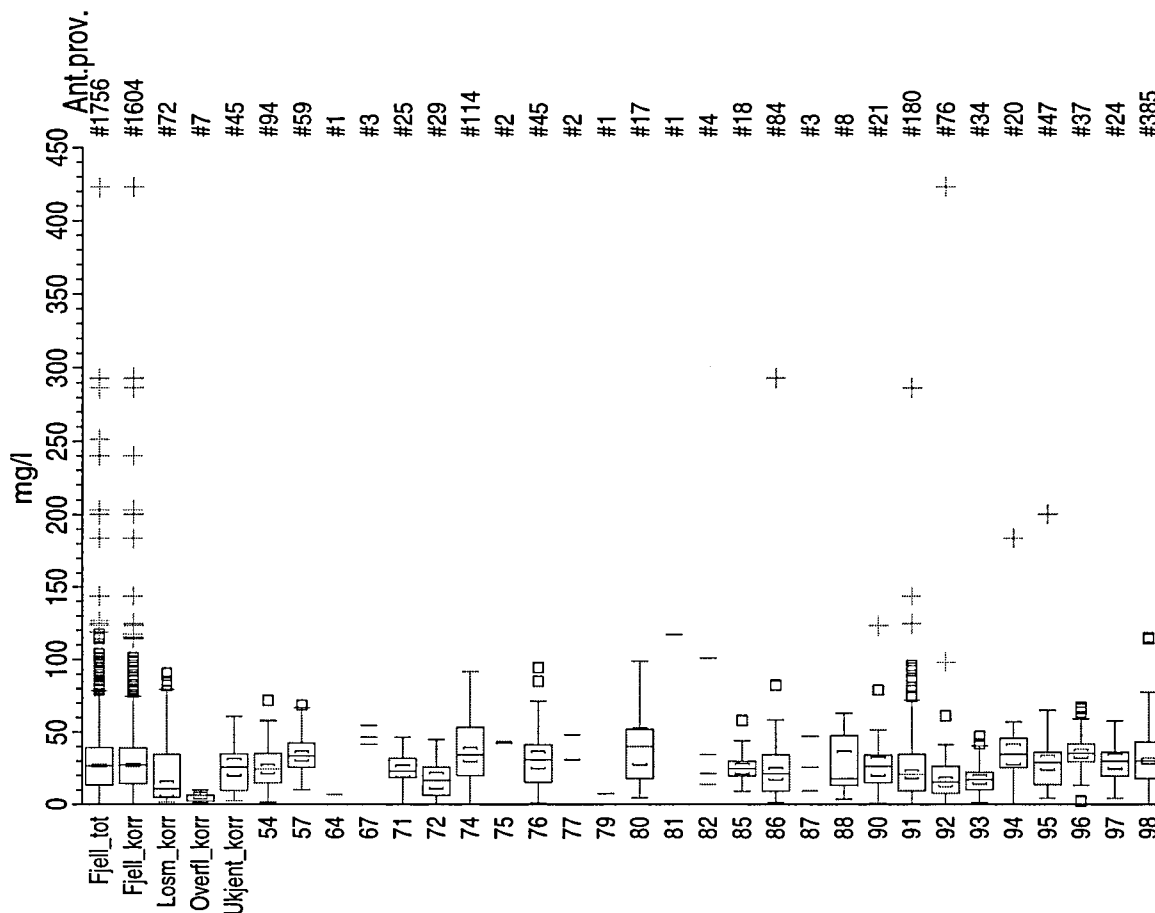
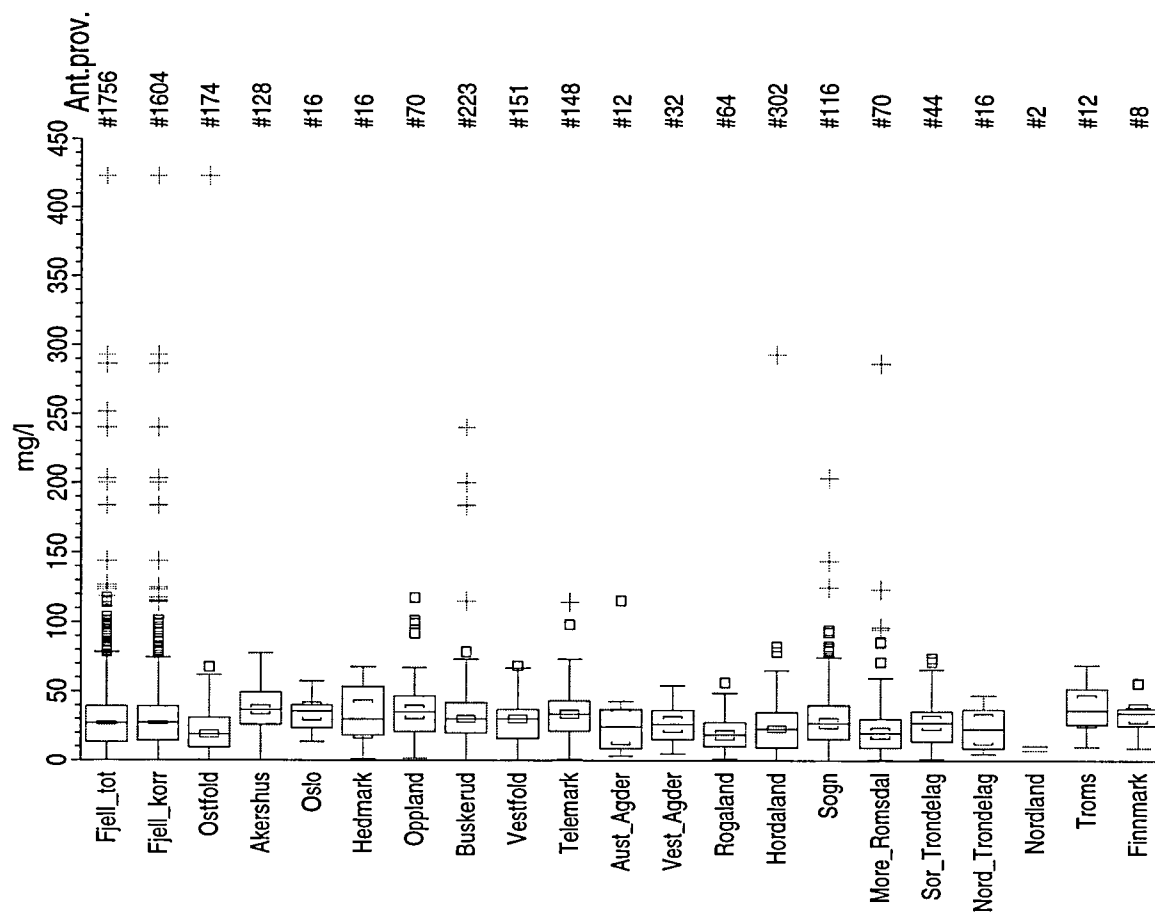
Figur 9a

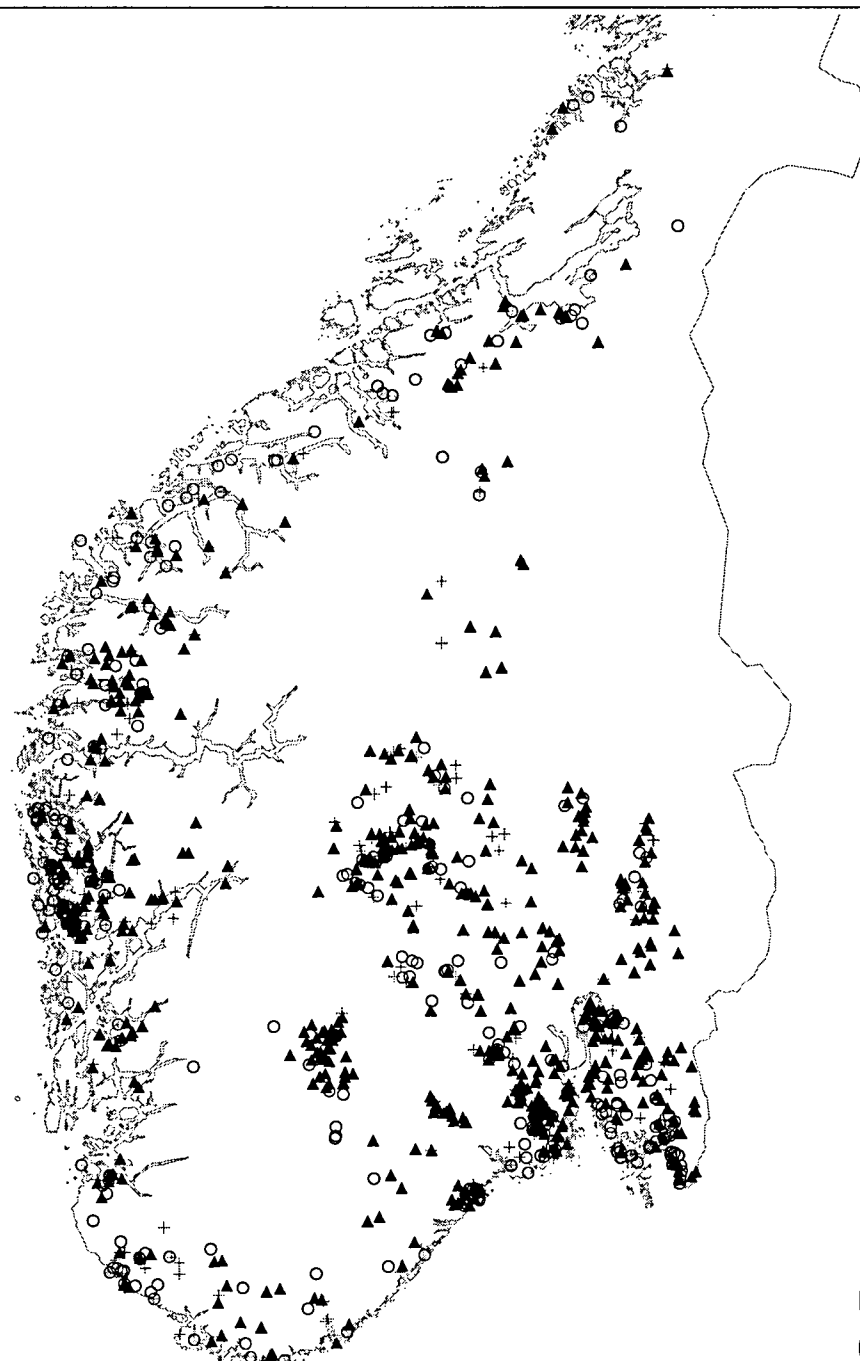
NORGE (Landsomfattende)

Grunnvannskjemi i fjellbronner

KALSIUM

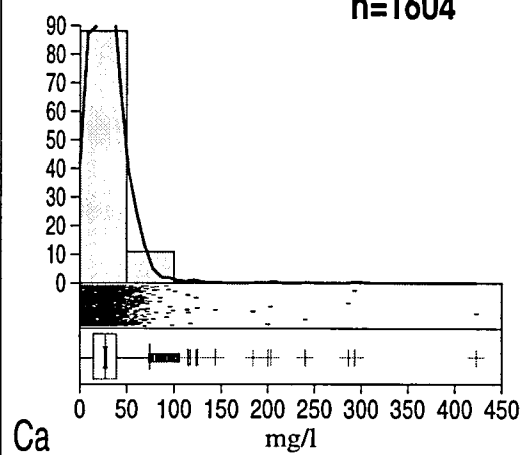
Fordeling i bergart og bronntype



SOR-NORGE*Grunnvannskjemi i fjellbronner***KALSIUM**

Norges geologiske undersøkelse og Statens stralevern i samarbeid med de kommunale næringsmiddeltilsyn

11/1997

n=1604

▲ 25.00 - 430

+ 15.00 - 25

○ 0.01 - 15

Ca mg/l

Kartsymbolene er relatert til
de norske drikkevannsnormene

▲ hoyere enn veilegende verdier

+ innenfor veilegende verdier

○ lavere enn veilegende verdier

Tilsvarande kart med annen statistisk fremstilling er gitt i vedlegg

6.7 Magnesium

Utfra de innsamlede vannprøvene har brønner i bergartsgruppe 57 (permiske vulkanske og sedimentære bergarter i Oslofeltet) den høyeste mediankonsentrasjonen for magnesium (median for gruppen = 7,45 mg/l). Bergartsgruppe 97 (prekambrisisk metaryolitt/ryodacitt) gir den laveste mediankonsentrasjonen for magnesium (medianverdien 1,25 mg/l).

Figur 10a indikerer at fylket Troms har den høyeste median magnesium-konsentrasjonen i grunnvann fra fjellbrønner (6,95 mg/l). Laveste medianverdi (2,16 mg/l) forekommer i Møre og Romsdal.

Medianverdien for hele datasett (Fjell_korr) er 3,37 mg/l. Maksimumsverdien (371 mg/l) kommer fra bergartsgruppe 92 i Østfold og skyldes trolig innstrenging av havvann. Minimumsverdien (<0,05 mg/l) finnes i seks brønner fra Buskerud, Hordaland og Sogn og Fjordane i ulike bergarter. Dette inkluderer også brønnen som hadde laveste kalsiumkonsentrasjon i bergart 74 (aledonske metasedimenter) i Buskerud fylke (se 6.6).

Kun 1,1 % (18 av 1604) av de undersøkte fjellbrønnene overskridet drikkevannsnormen for magnesium på 20 mg/l.

I de 72 undersøkte løsmassebrønnene ligger mediankonsentrasjonen for magnesium i grunnvann på et betydelig lavere nivå enn i fjellbrønnene (median 1,56 mg/l; minimum 0,20 mg/l; maksimum 12,1 mg/l). Overflatevann har enda lavere magnesiuminnhold (median 0,80 mg/l).

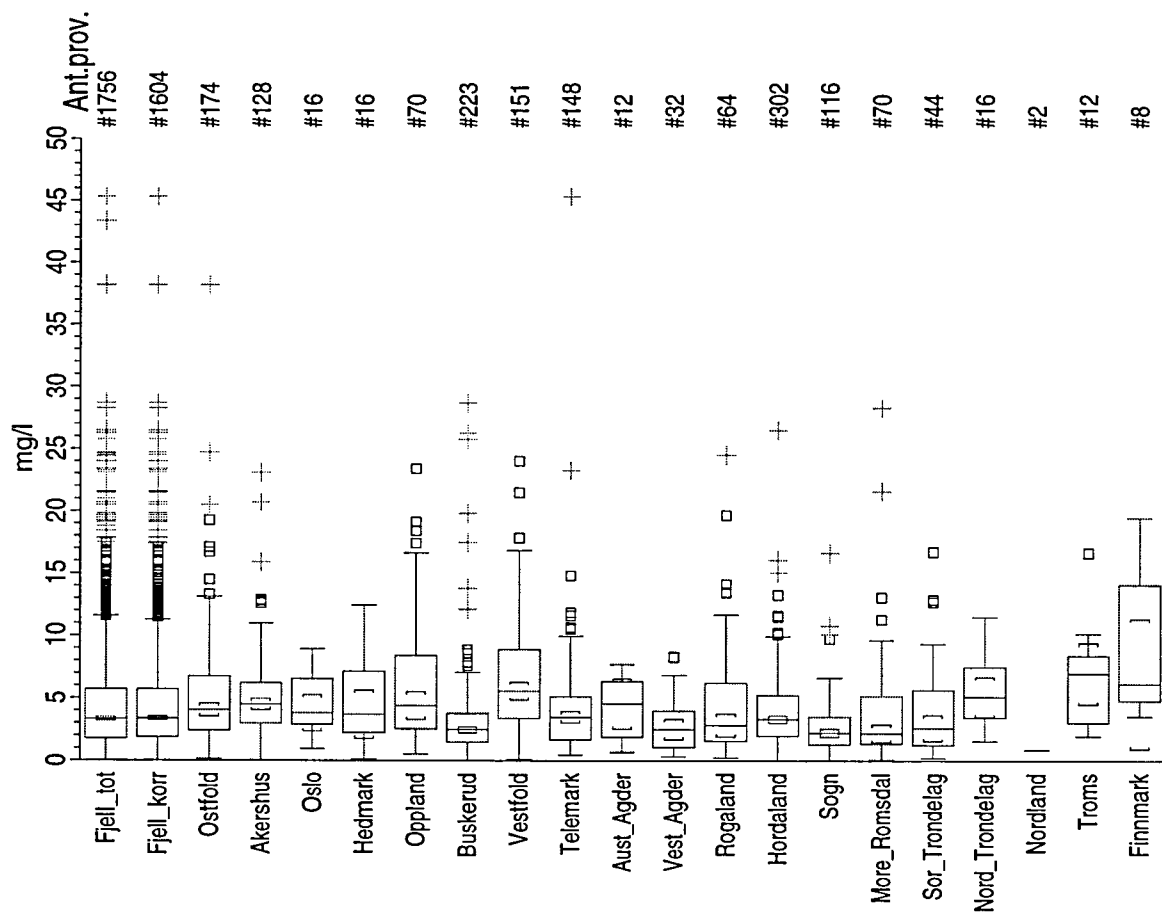
Figur 10a viser hvordan analyseresultatene fordeler seg statistisk i hvert fylke og i forhold til bergart/brønntype. For en kort innføring i tolkning av boksplot-diagrammer vises det til avsnitt 5.5.1 og figur 3.

Figur 10b viser den geografiske fordelingen av analyseresultatene sett i forhold til myndighetenes kvalitetskrav til drikkevann (Sosial- og helsedepartementet, 1995). I tillegg er det i nedre venstre hjørne av figuren vist et frekvensdiagram som gir et bilde av den prosentvise fordelingen av de ulike konsentrasjonene.

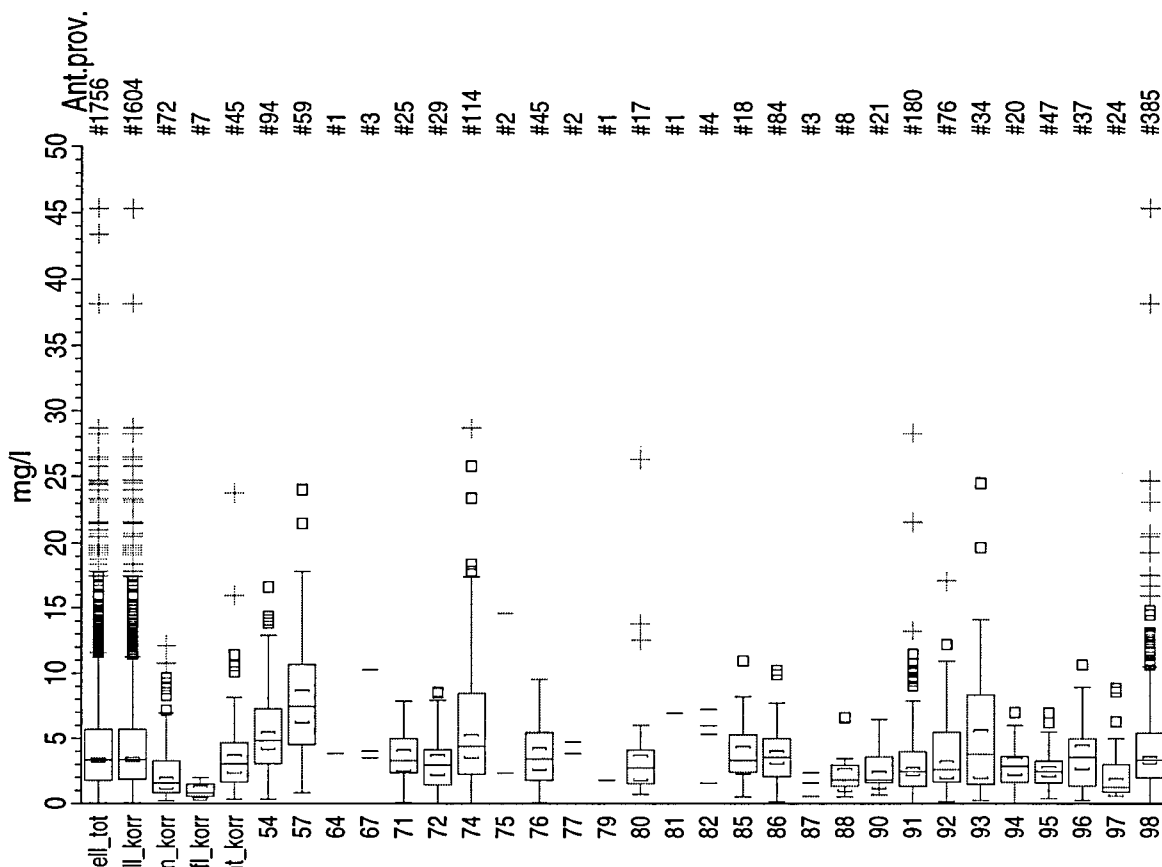
Figur 10a

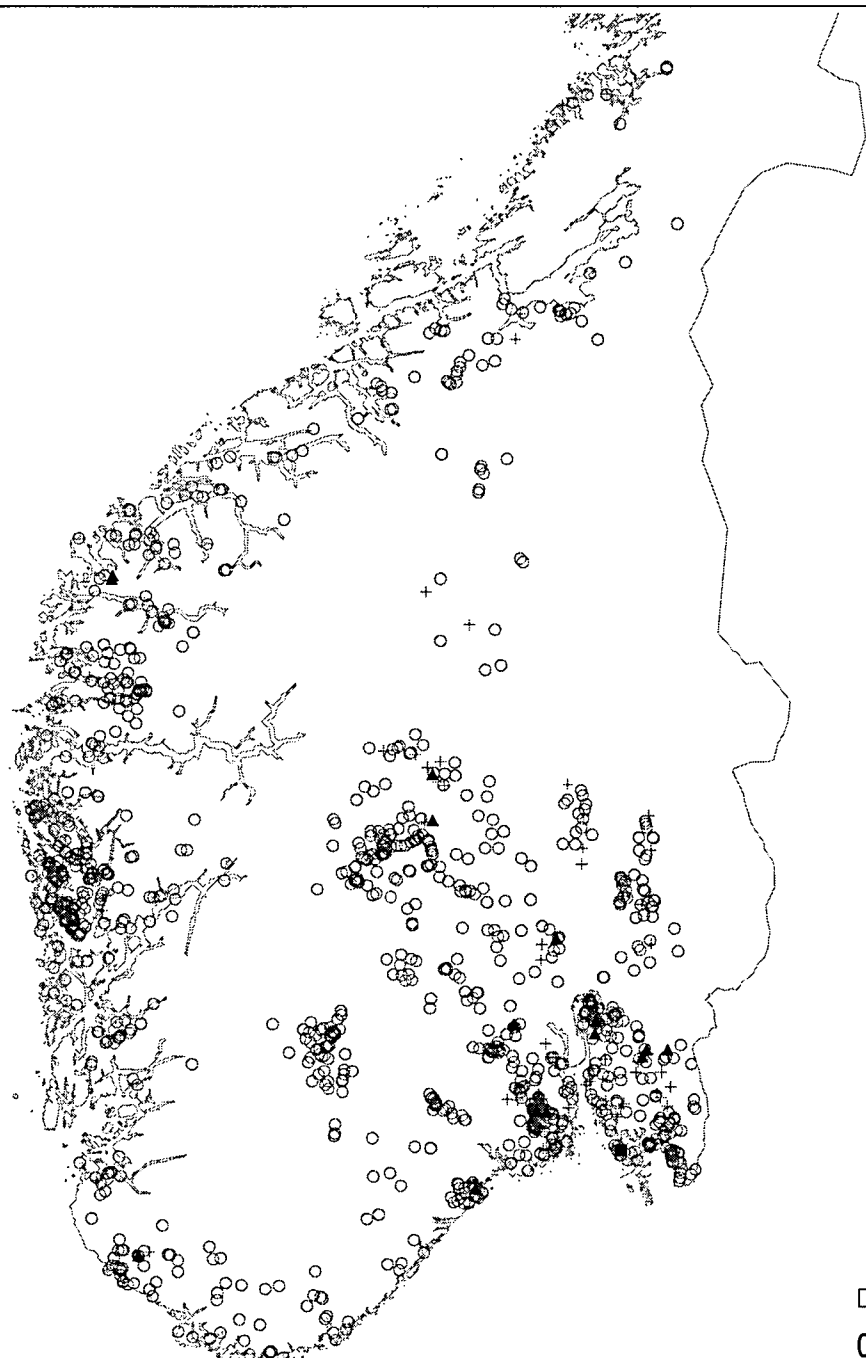
NORGE (Landsomfattende) *Grunnvannskjemi i fjellbronner*

MAGNESIUM



1 hoy verdi fra Ostfold er ikke plottet (371 mg/l)



SOR-NORGE*Grunnvannskjemi i fjellbronner***MAGNESIUM**

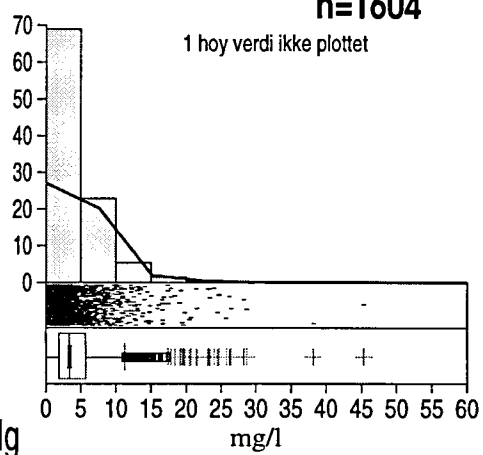
0 50 100 km

Norges geologiske undersøkelse og Statens stralevern i samarbeid med de kommunale næringsmiddelsyn

11/1997

n=1604

1 hoy verdi ikke plottet



■ 60.00 - 380

▲ 20.00 - 60

+ 10.00 - 20

○ 0.03 - 10

Mg mg/l

Kartsymbolene er relatert til
de norske drikkevannsnormene

■ over 3 ganger høyeste tillatte verdi

▲ overskrides høyeste tillatte verdi

○ + tilfredsstiller kravene i normen

Tilsvarande kart med annen statistisk fremstilling er gitt i vedlegg

6.8 Sulfat

Utfra de innsamlede vannprøvene (Fjell_korr) har brønner i bergartsgruppe 88 (prekambrisisk amfibolitt / gneis) den høyeste mediankonsentrasjonen for sulfat (median for gruppen = 21,3 mg/l). Bergartsgruppe 74 (kaledonske metasedimenter) har også en høy medianverdi på 20,1 mg/l. Bergartsgruppe 95 (prekambriske sedimentære bergarter og gneis) gir den laveste mediankonsentrasjonen for sulfat (medianverdien 6,4 mg/l).

Figur 11a indikerer at fylkeskommunen Oslo har den høyeste median sulfat-konsentrasjonen i grunnvann fra fjellbrønner (26,4 mg/l), mens Finnmark har også en høy mediankonsentrasjon på 25,8 mg/l. Laveste medianverdi (9,3 mg/l) forekommer i Telemark.

Medianverdien for hele datasett (Fjell_korr) er 13,1 mg/l. Maksimumsverdien (779 mg/l) kommer fra bergartsgruppe 92 i Østfold og skyldes trolig inntringing av havvann. Minimumsverdien (<0,1 mg/l) finnes i en brønn i kaledonske metasedimenter (bergartsgruppe 74) i Oppland. Vannets høye Fe-innhold (ca. 0,5 mg/l) kan tyde på reduserende forhold (sulfatreduksjon ?).

Kartene i fig. 11b og 11c antyder ingen overbevisende korrelasjon mellom høyt sulfatinnhold og sjønær beliggenhet. Kartet antyder heller ikke høyere sulfat innhold i grunnvann i det området i sørvestlige Norge som er utsatt for sur nedbør (tvert imot). Det ser derfor ut til at berggrunnen, med mulig redokskontrollfaktorer, er en viktigere kilde til sulfat i grunnvann i fjell enn sur nedbør og sjøsalter.

Kun 2,7 % (44 av 1604) av de undersøkte fjellbrønnene overskridt drikkevannsnormen for sulfat på 100 mg/l.

I de 72 undersøkte løsmassebrønnene ligger mediankonsentrasjonen for sulfat i grunnvann på et signifikant lavere nivå enn i fjellbrønnene (median 7,48 mg/l; minimum 1,85 mg/l; maksimum 79,2 mg/l). Overflatevann har enda lavere sulfatinnhold (median 4,33 mg/l). Dette bekrefter nok en gang at grunnvann i fjell sannsynligvis ikke er påvirket av sur nedbør (man ville ellers ha ventet enda høyere SO_4^- konsentrasjoner i løsmasse-grunnvann). Sulfat synes å ha en betydelig litologisk kilde i grunnvann i fast fjell.

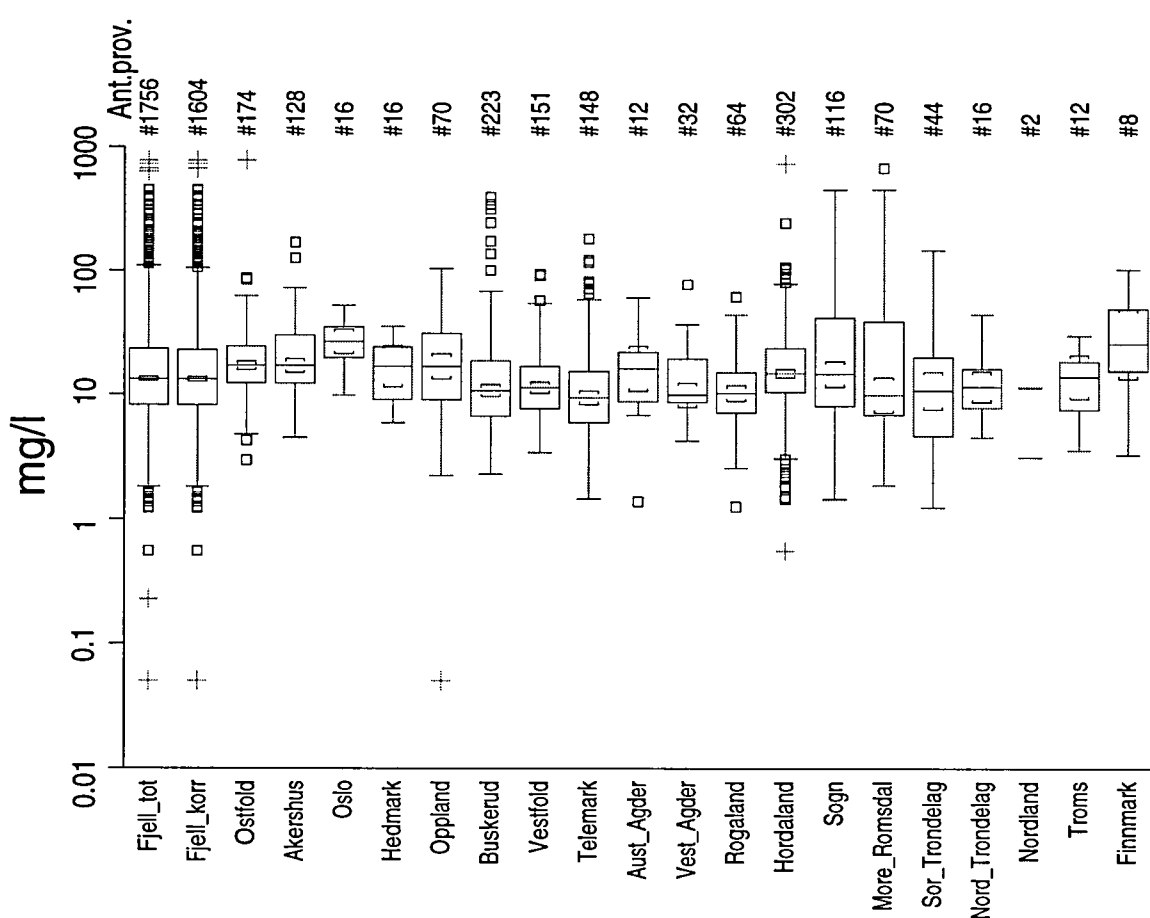
Figur 11a viser hvordan analyseresultatene fordeler seg statistisk i hvert fylke og i forhold til bergart/brønntype. For en kort innføring i tolkning av boksplot-diagrammer vises det til avsnitt 5.5.1 og figur 3. Figur 11b viser den geografiske fordelingen av analyseresultatene sett i forhold til myndighetenes kvalitetskrav til drikkevann (Sosial- og helsedepartementet, 1995). I tillegg er det i nedre venstre hjørne av figuren vist et frekvensdiagram som gir et bilde av den prosentvise fordelingen av de ulike konsentrasjonene.

NORGE (Landsomfattende)

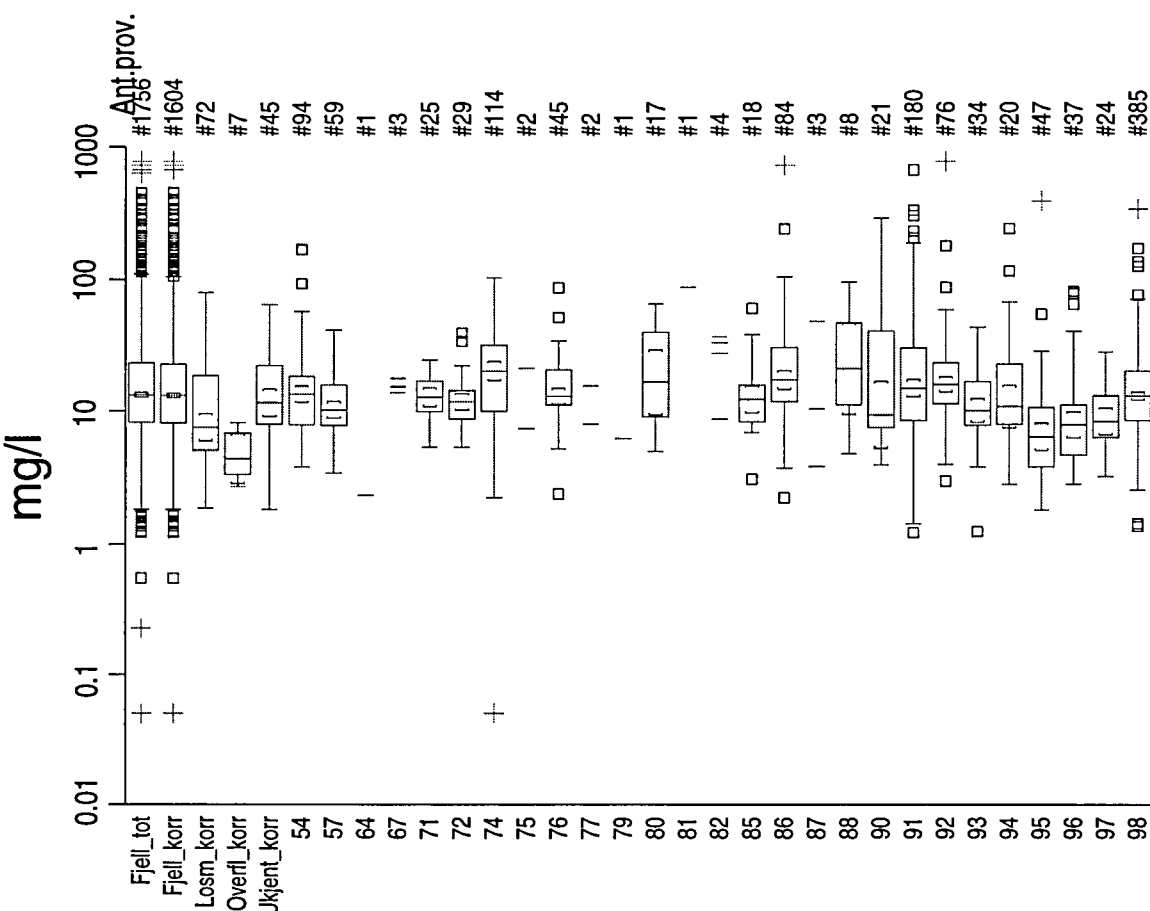
Grunnvannskjemi i fjellbronner

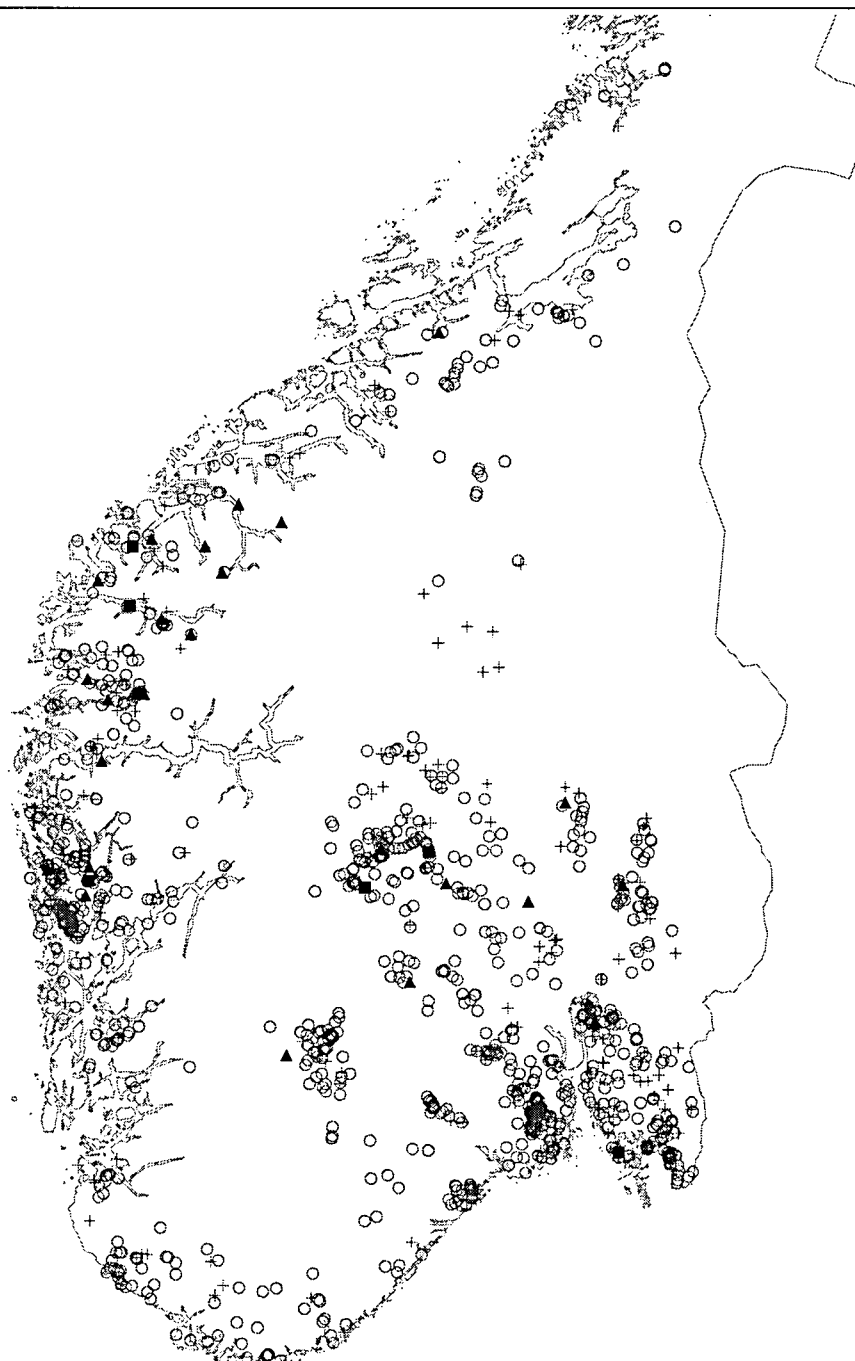
SULFAT

Fordeling i bergart og bronntype



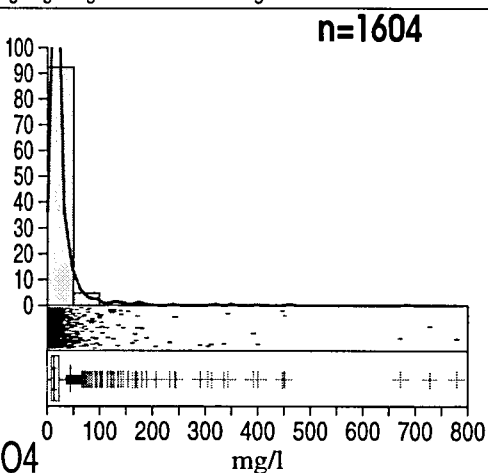
Fordeling innen hvert fylke



SOR-NORGE*Grunnvannskjemi i fjellbronner***SULFAT**

Norges geologiske undersøkelse og Statens strølevn i samarbeid med de kommunale næringsmiddeltilsyn

11/1997



- 300.00 - 780
- ▲ 100.00 - 300
- + 25.00 - 100
- 0.05 - 25

 $\text{SO}_4 \text{ mg/l}$

Kartsymbolene er relatert til
de norske drikkevannsnormene

- over 3 ganger høyeste tillatte verdi
- ▲ overskridet høyeste tillatte verdi
- + overskridet ikke høyeste tillatte verdi
- tilfredsstiller strengeste krav i normen

Tilsvarande kart med annen statistisk fremstilling er gitt i vedlegg

6.9 Alkalitet

Utfra de innsamlede vannprøvene (Fjell_korr) har brønner i bergartsgruppe 57 (permiske vulkanske og sedimentære bergarter fra Oslofeltet) den høyeste mediankonsentrasjonen for alkalitet (median for gruppen = 2,74 mekv/l). Bergartsgruppe 88 (prekambrisk amfibolitt og gneis) gir den laveste mediankonsentrasjonen for alkalitet (medianverdien 1,15 mekv/l).

Figur 12a indikerer at fylket Vestfold har den høyeste median alkaliteten i grunnvann fra fjellbrønner (2,71 mekv/l), men Nord-Trøndelag har også en høy mediankonsentrasjon på 2,70 mekv/l. Laveste medianverdi (1,27 mekv/l) forekommer i Rogaland.

Medianverdien for hele datasett (Fjell_korr) er 2,05 mekv/l. Maksimumsverdien (9,43 mekv/l) kommer fra bergartsgruppe 98 (prekambrisk gneis) i Østfold. Minimumsverdien (<0,04 mekv/l) finnes i en brønn i Bergartsgruppe 91 (Nordvestre gneisregion) i Sogn og Fjordane.

92,3 % av de undersøkte fjellbrønnene er utenfor veiledende drikkevannsnorm som anbefaler alkalitet mellom 0,6 og 1,0 mekv/l. De aller fleste (1319 av 1604) har høyere alkalitet enn 1,0 mekv/l, mens 161 av 1604 har lavere alkalitet enn 0,6 mekv/l. Kun 124 av 1604 (7,7 %) prøver har alkalitet innenfor de veiledende verdiene.

I de 72 undersøkte løsmassebrønnene (Losm_korr) ligger mediankonsentrasjonen for alkalitet (0,46 mekv/l) i grunnvann på et signifikant lavere nivå enn i fjellbrønnene. Maksimums- og minimumsalkalitet i løsmassebrønner var henholdsvis 4,45 og <0,04 mekv/l. Dette skyldes at grunnvannsmagasiner i fjell vanligvis er dypere, inneholder mer modent vann med lengre oppholdstid og flere basiske, nøytraliserende mineraler, enn grunnvannsmagasiner i løsmasser. Overflatevann har enda lavere medianalkalitet på 0,26 mekv/l.

Figur 12a viser hvordan analyseresultatene fordeler seg statistisk i hvert fylke og i forhold til bergart/brønntype. For en kort innføring i tolkning av boksplott-diagrammer vises det til avsnitt 5.5.1 og figur 3.

Figur 12b viser den geografiske fordelingen av analyseresultatene sett i forhold til myndighetenes kvalitetskrav til drikkevann (Sosial- og helsedepartementet, 1995). I tillegg er det i nedre venstre hjørne av figuren vist et frekvensdiagram som gir et bilde av den prosentvise fordelingen av de ulike alkalitetsnivåene.

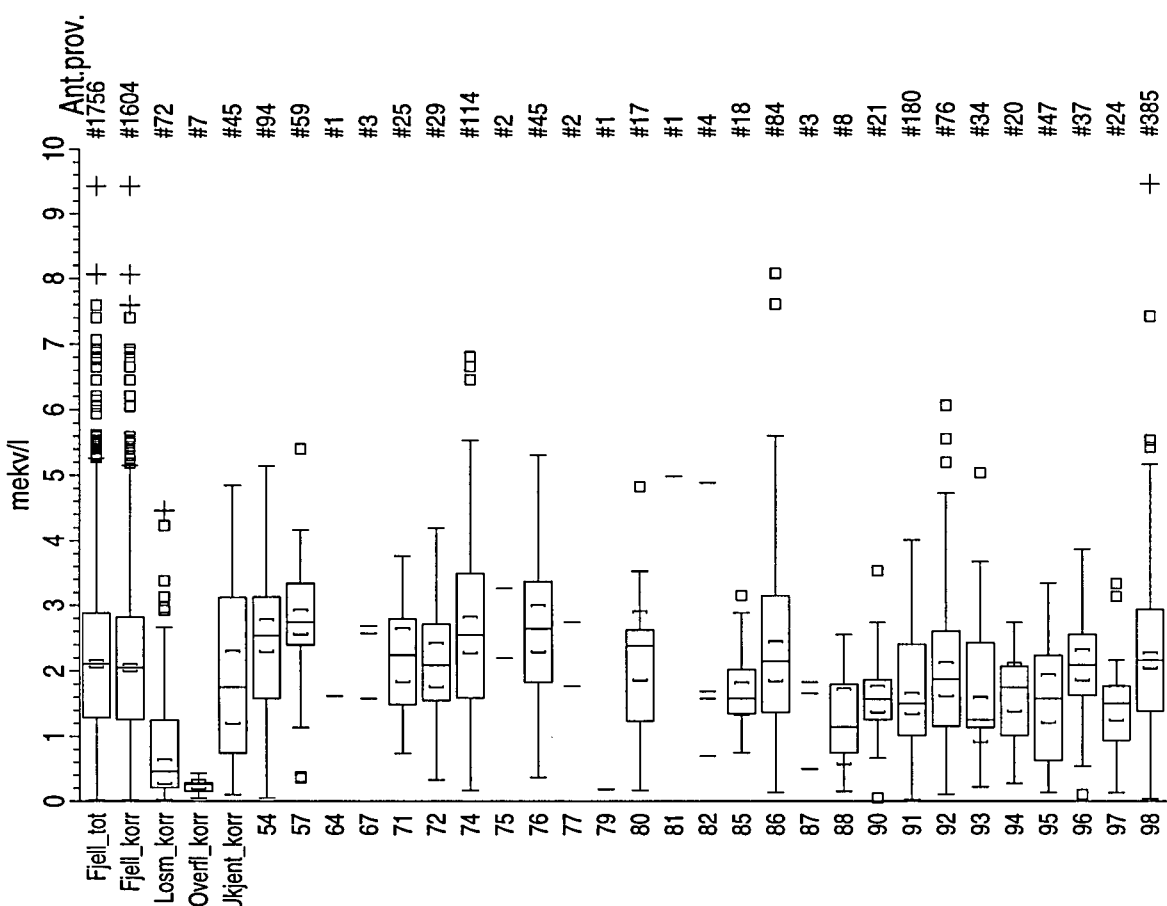
Figur 12a

NORGE (Landsomfattende)

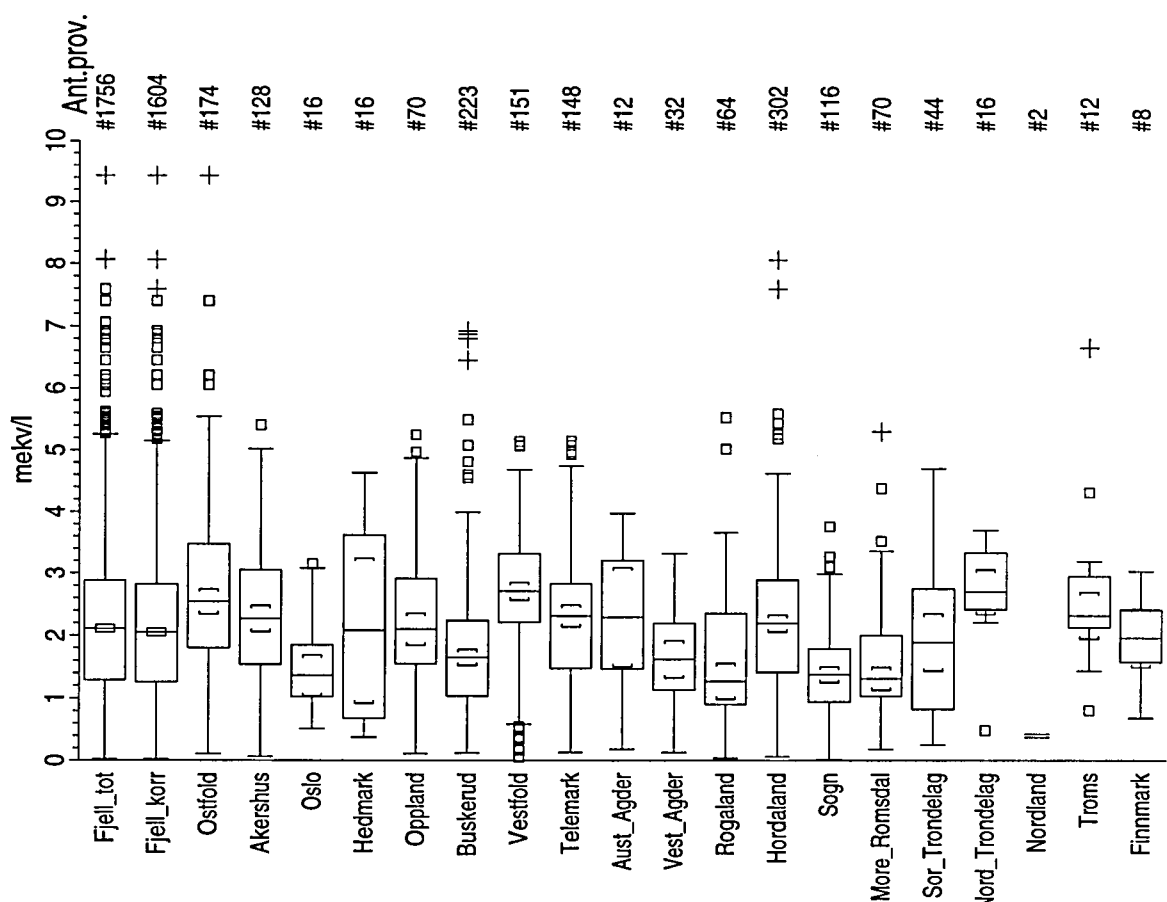
Grunnvannskjemi i fjellbronner

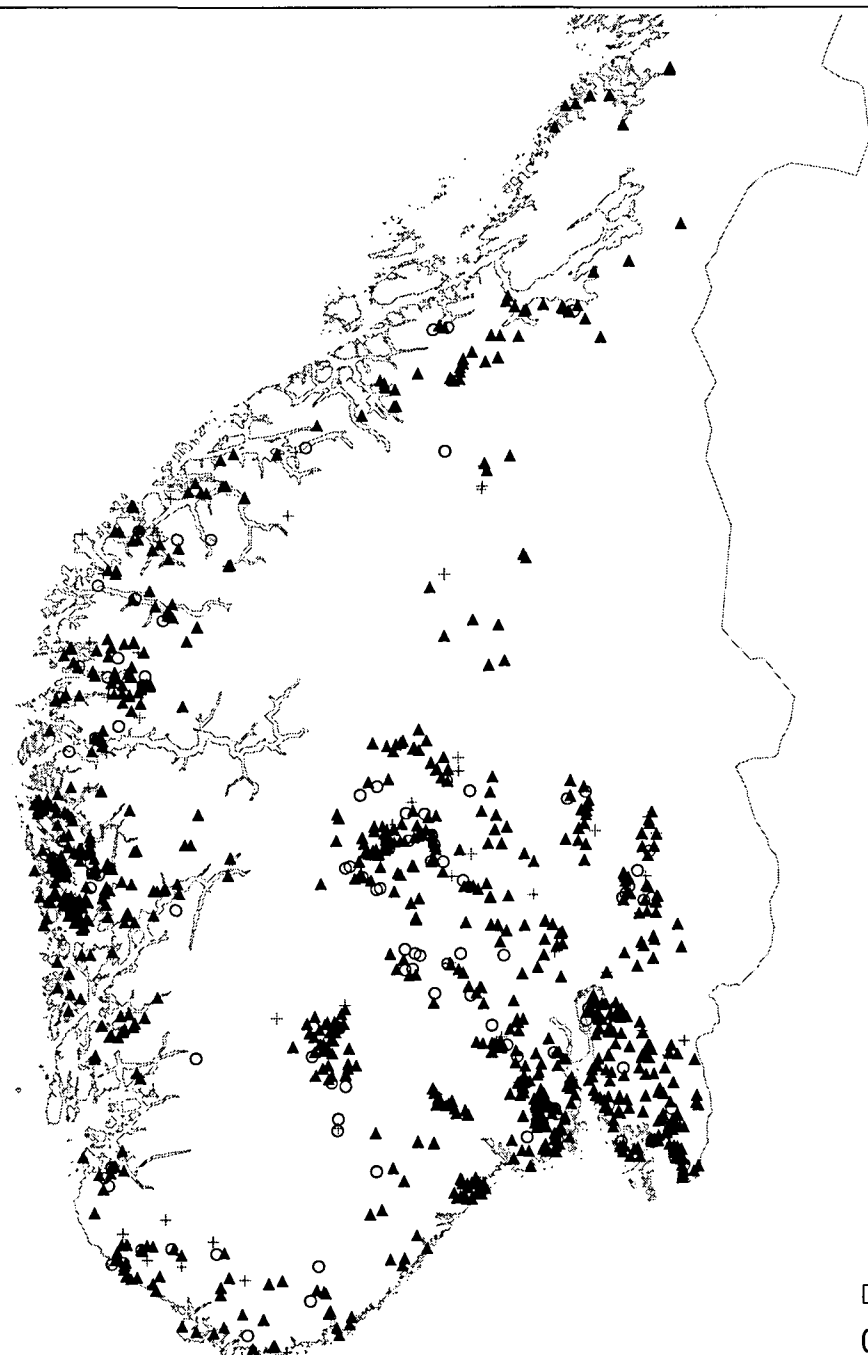
ALKALITET

Fordeling i bergart og bronntype



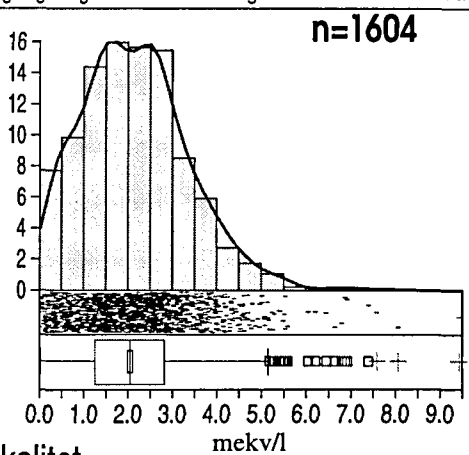
Fordeling innen hvert fylke



SOR-NORGE*Grunnvannskjemi i fjellbronner***ALKALITET**

Norges geologiske undersøkelse og Statens stralevern i samarbeid med de kommunale næringsmiddeltilsyn

11/1997



▲ 1.00 - 9.5

+ 0.60 - 1.0

○ 0.02 - 0.6

Alkalitet mekv/l

Kartsymbolene er relatert til
de norske drikkevannsnormene

▲ hoyere enn veilegende verdier

+ innenfor veilegende verdier

○ lavere enn veilegende verdier

Tilsvarande kart med annen statistisk fremstilling er gitt i vedlegg

6.9 Jern

Utfra de innsamlede vannprøvene (Fjell_korr) har brønner i bergartsgruppe 88 (prekambrisisk amfibolitt/gneis) den høyeste mediankonsentrasjonen for jern (median for gruppen = 218 µg/l). Bergartsgruppe 92 (prekambrisisk granitt) har også en høy medianverdi (135 µg/l). Bergartsgruppe 57 (permiske vulkanske og sedimentære bergarter fra Oslofeltet) gir den laveste mediankonsentrasjonen for jern (mindre enn deteksjonsgrensen på 10 µg/l).

Figur 13a indikerer at fylket Østfold har den høyeste mediankonsentrasjon for jern i grunnvann fra fjellbrønner (120 µg/l). Laveste medianverdi (mindre enn deteksjonsgrensen på 10 µg/l) forekommer i Finnmark.

Medianverdien for hele datasett (Fjell_korr) er 31 µg/l. Maksimumsverdien (9,72 mg/l) kommer fra bergartsgruppe 98 (prekambrisisk gneis) i Østfold. Minimumsverdien (mindre enn deteksjonsgrensen på 10 µg/l) finnes i 386 av de 1604 fjellborehullene.

17,1 % (274 av 1604) av de undersøkte fjellbrønnene (Fjell_korr) overskridet drikkevannsnormen på 0,2 mg/l (200 µg/l) for jern. Andelen er også 17 % (12 av 72) for løsmassebrønnene (Losm_korr).

I de undersøkte løsmassebrønnene ligger mediankonsentrasjonen for jern (21 µg/l) i grunnvann på et litt lavere nivå enn i fjellbrønnene, men forskjellen er ikke signifikant. Medianverdien i overflatevann (Overfl_korr) er 48 µg/l. Denne medianverdien er heller ikke signifikant forskjellig fra grunnvann fra fjell- eller løsmassebrønner.

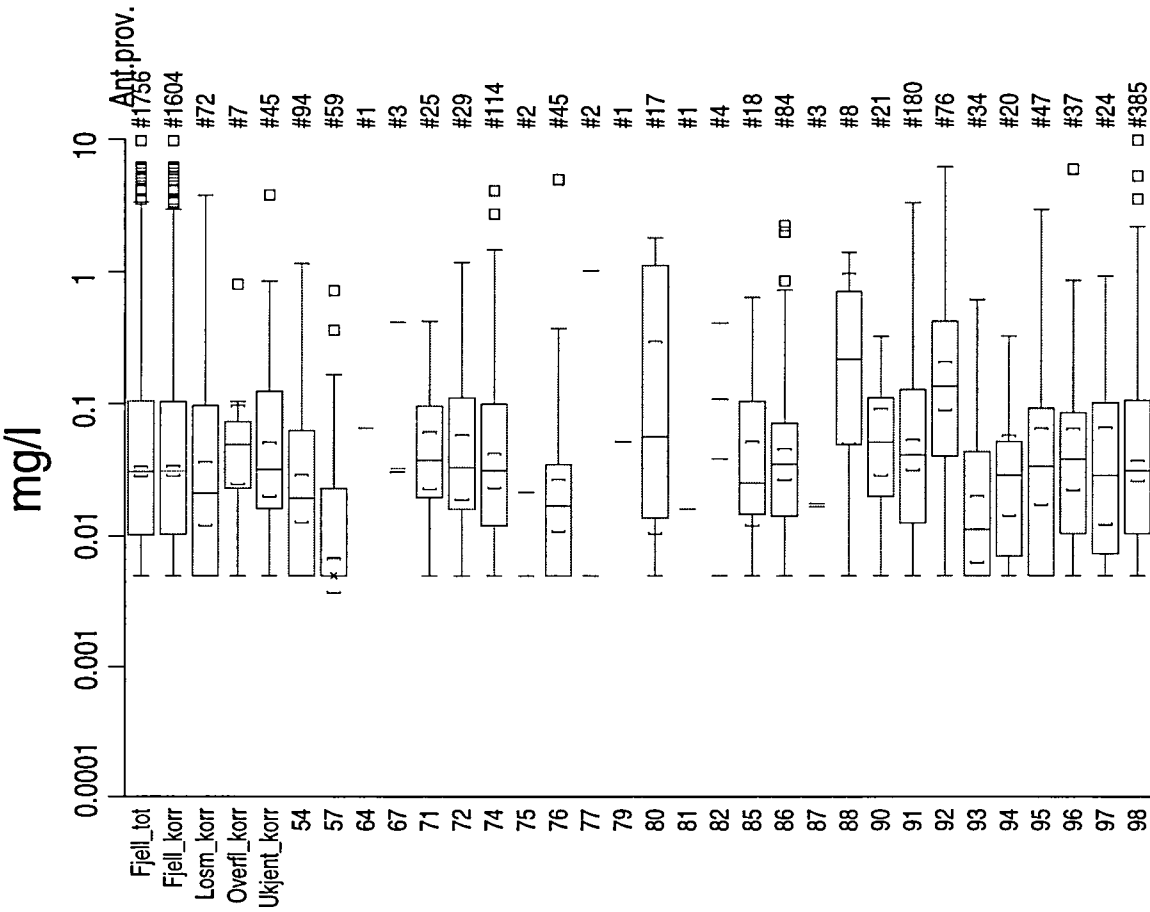
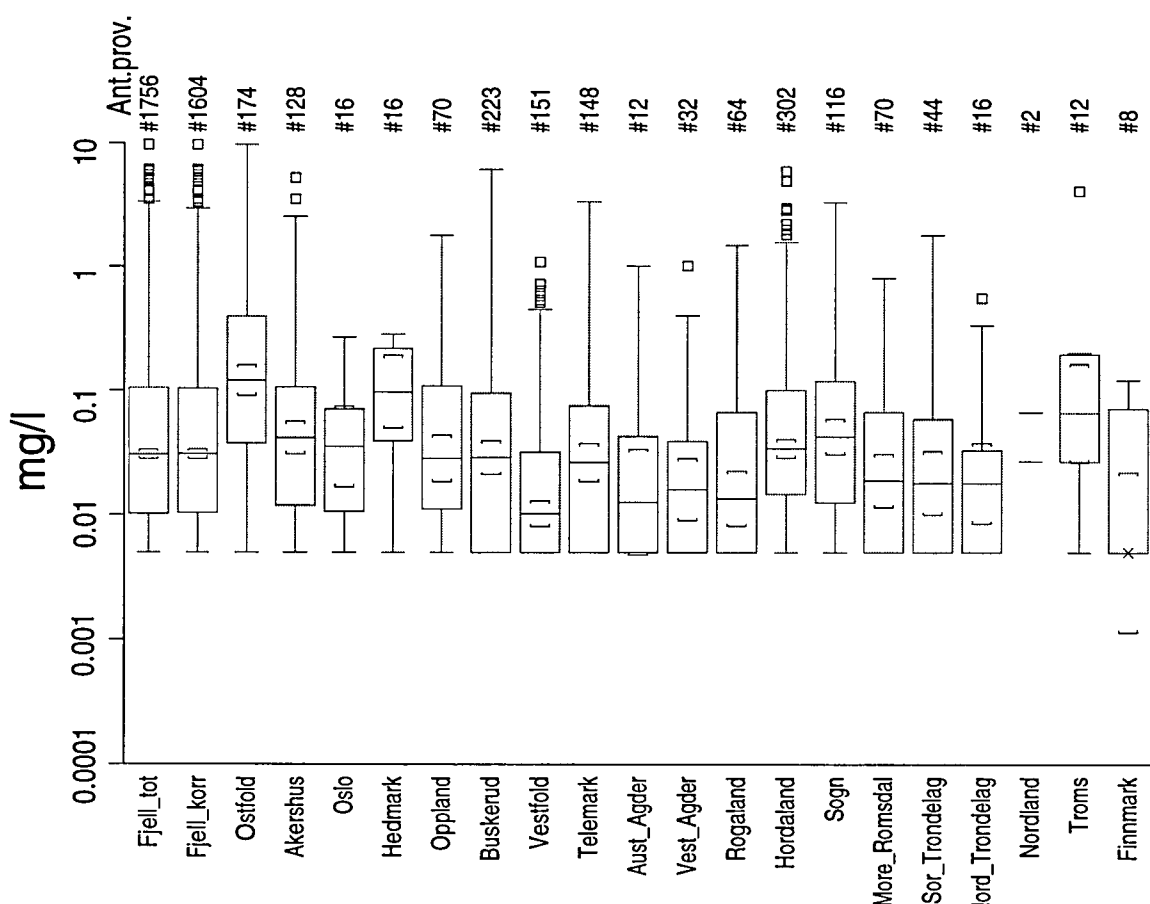
Figur 13a viser hvordan analyseresultatene fordeler seg statistisk i hvert fylke og i forhold til bergart/brønntype. For en kort innføring i tolkning av bokspill-diagrammer vises det til avsnitt 5.5.1 og figur 3.

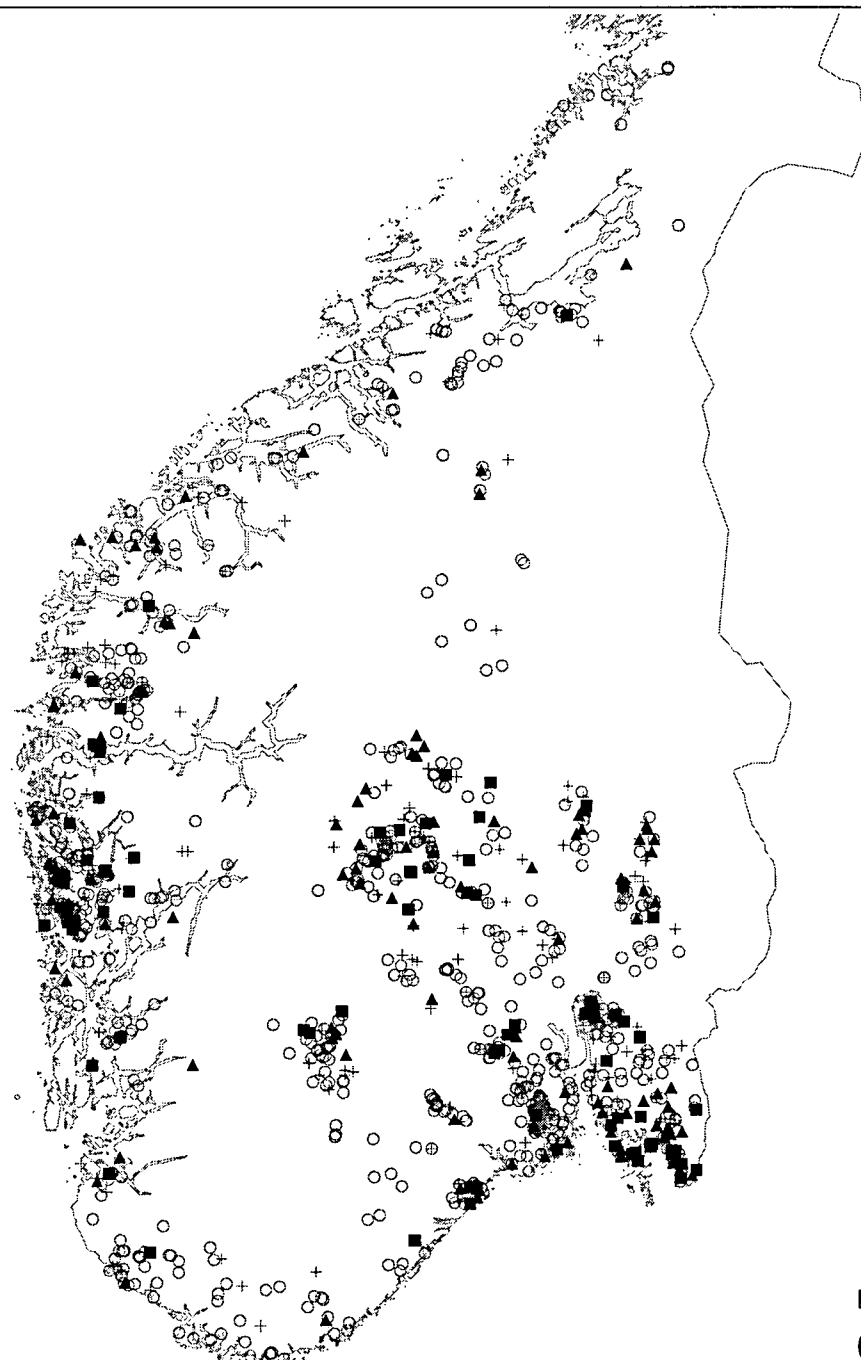
Figur 13b viser den geografiske fordelingen av analyseresultatene sett i forhold til myndighetenes kvalitetskrav til drikkevann (Sosial- og helsedepartementet, 1995). I tillegg er det i nedre venstre hjørne av figuren vist et frekvensdiagram som gir et bilde av den prosentvise fordelingen av de ulike konsentrasjonene.

Figur 13a

NORGE (Landsomfattende) *Grunnvannskjemi i fjellbronner*

JERN



SOR-NORGE*Grunnvannskjemi i fjellbronner***JERN**

n=1328

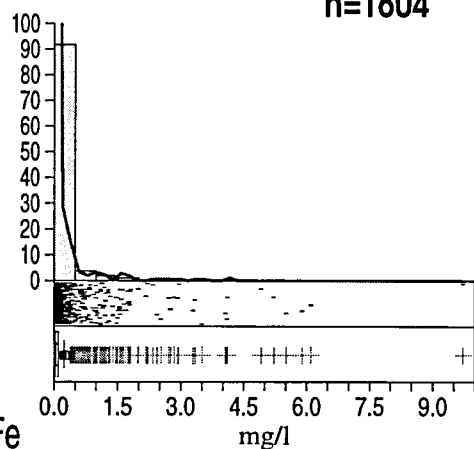


0 50 100 km

Norges geologiske undersøkelse og Statens stralevern i samarbeid med de kommunale næringsmiddeltilsyn

11/1997

n=1604



- 0.600 - 9.80
- ▲ 0.200 - 0.60
- + 0.050 - 0.20
- 0.005 - 0.05

Kartsymbolene er relatert til
de norske drikkevannsnormene

- over 3 ganger hoyeste tillatte verdi
- ▲ overskridet hoyeste tillatte verdi
- + overskridet ikke hoyeste tillatte verdi
- tilfredsstiller strengeste krav i normen

Tilsvarende kart med annen statistisk fremstilling er gitt i vedlegg

6.10 Mangan

Utfra de innsamlede vannprøvene (Fjell_korr) har brønner i bergartsgruppe 80 (senprekambriske sedimentære bergarter) den høyeste mediankonsentrasjonen for mangan (median for gruppen = 56 µg/l). Bergartsgruppe 92 (prekambriske granitter) har også en høy medianverdi (38 µg/l). Bergartsgruppe 93 (prekambriske anortositt/charnockitt) gir den laveste mediankonsentrasjonen for mangan (ca. 2 µg/l).

Figur 14a indikerer at fylket Østfold har den høyeste mediankonsentrasjon for mangan i grunnvann fra fjellbrønner (53 µg/l). Laveste medianverdi (ca. 2 µg/l) forekommer i Møre og Romsdal.

Medianverdien for hele datasett (Fjell_korr) er 14 µg/l. Maksimumsverdien (5,61 mg/l) kommer fra bergartsgruppe 76 (kaledonsk grønstein/grønnskifre/metaandesitt/amfibolitt) i Møre og Romsdal. Minimumsverdien (mindre enn deteksjonsgrensen på 1 µg/l) finnes i 239 av de 1604 fjellborehullene.

27,7 % (445 av 1604) av de undersøkte fjellbrønnene (Fjell_korr) overskridet drikkevannsnormen på 0,05 mg/l (50 µg/l) for mangan. Andelen er 14 % (10 av 72) for løsmassebrønnene (Losem_korr).

I de undersøkte løsmassebrønnene ligger mediankonsentrasjonen for mangan (3 µg/l) i grunnvann på et signifikant lavere nivå enn i fjellbrønnene. Medianverdien i overflatevann (Overfl_korr) er 7 µg/l.

Figur 14a viser hvordan analyseresultatene fordeler seg statistisk i hvert fylke og i forhold til bergart/brønntype. For en kort innføring i tolkning av bokspill-diagrammer vises det til avsnitt 5.5.1 og figur 3.

Figur 14b viser den geografiske fordelingen av analyseresultatene sett i forhold til myndighetenes kvalitetskrav til drikkevann (Sosial- og helsedepartementet, 1995). I tillegg er det i nedre venstre hjørne av figuren vist et frekvensdiagram som gir et bilde av den prosentvise fordelingen av de ulike konsentrasjonene.

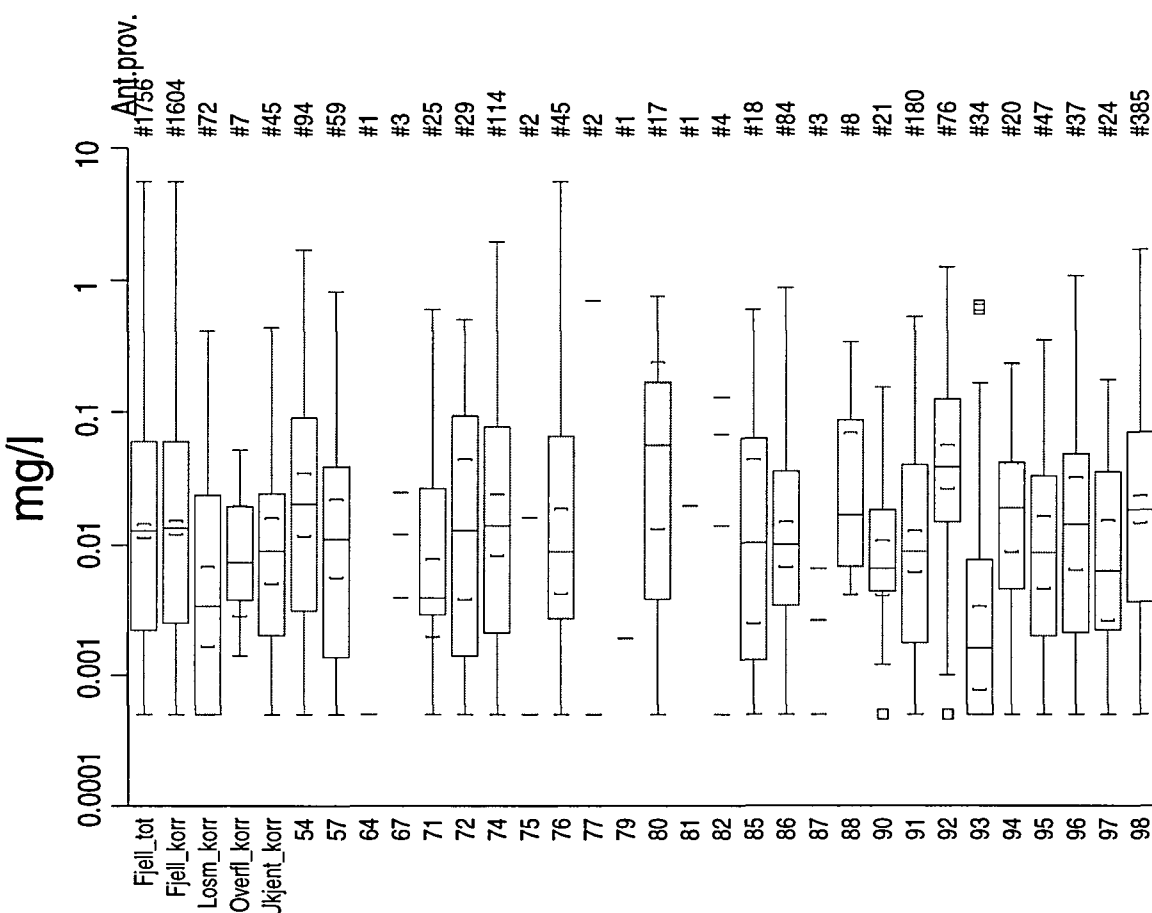
Figur 14a

NORGE (Landsomfattende)

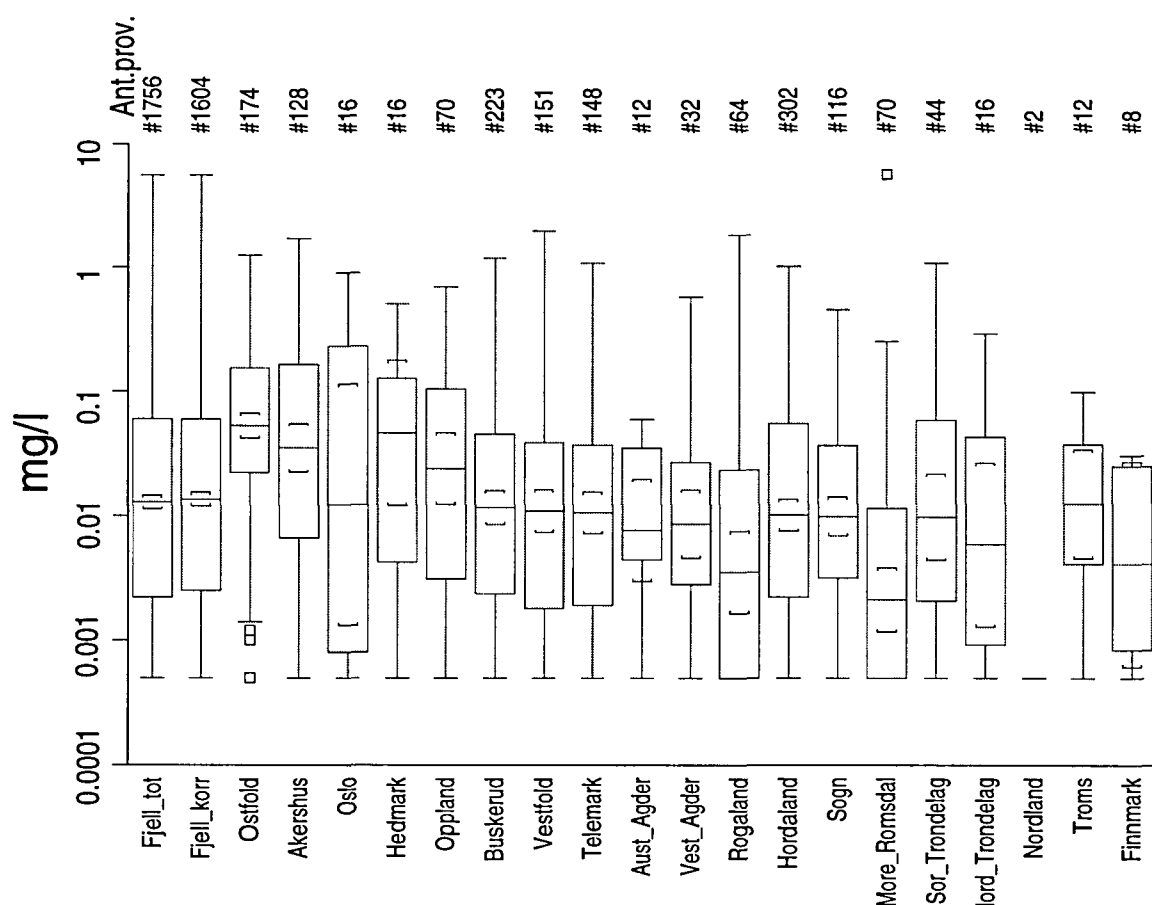
Grunnvannskjemi i fjellbronner

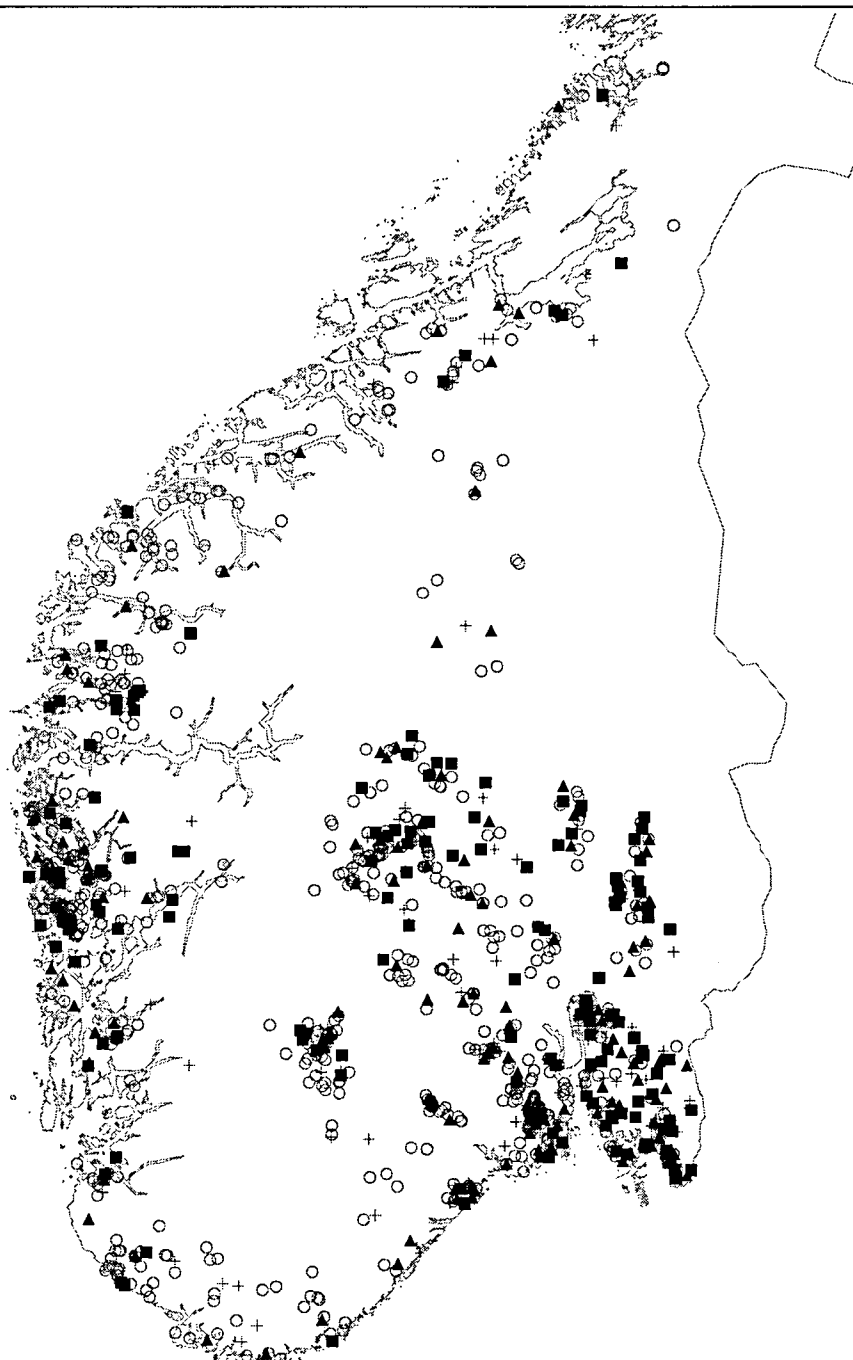
MANGAN

Fordeling i bergart og bronntype



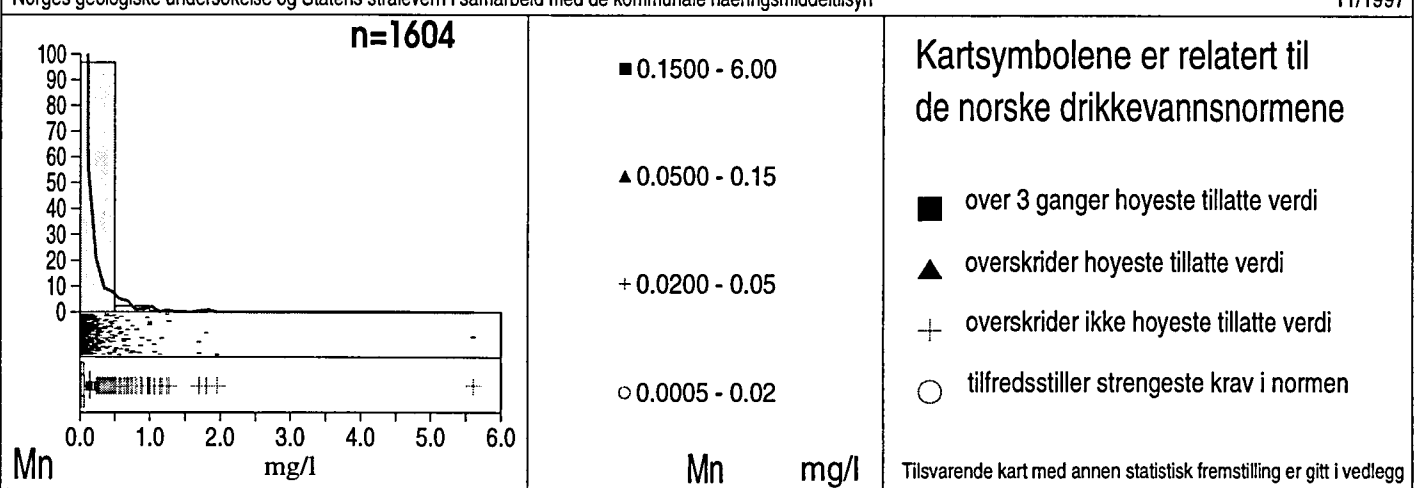
Fordeling innen hvert fylke



SOR-NORGE*Grunnvannskjemi i fjellbronner***MANGAN**

Norges geologiske undersøkelse og Statens stralevern i samarbeid med de kommunale næringsmiddeltilsyn

11/1997



6.11 Aluminium

Utfra de innsamlede vannprøvene (Fjell_korr) har brønner i bergartsgruppe 88 (prekambrisisk amfibolitt / gneis) den høyeste mediankonsentrasjonen for aluminium (median for gruppen = 54 µg/l). Flere bergartsgrupper har mediankonsentrasjoner for aluminium som er under den analytiske deteksjonsgrensen (< 20 µg/l).

Figur 15a indikerer at fylket Sogn og Fjordane har den høyeste mediankonsentrasjon for aluminium i grunnvann fra fjellbrønner (34 µg/l). Alle andre fylker (unntatt Møre og Romsdal) har medianverdi under den analytiske deteksjonsgrensen (< 20 µg/l). Den geografiske plasseringen av fylkene med generelt høyt Al-innhold (Midt/Vest-Norge, se kart 15c) gjør det usannsynlig at høyt aluminiuminnhold i grunnvann i fjell har noen regional forbindelse med sur nedbør.

Medianverdien for hele datasett (Fjell_korr) er under deteksjonsgrensen (< 20 µg/l). Maksimumsverdien (3,92 mg/l) kommer fra en fjellbrønn i Vestfold med ukjent geologi (pga. manglende koordinatfesting). Minimumsverdien (mindre enn deteksjonsgrensen på 20 µg/l) finnes i 999 av de 1604 fjellborehullene.

4,4 % (70 av 1604) av de undersøkte fjellbrønnene (Fjell_korr) overskridet drikkevannsnormen på 0,2 mg/l (200 µg/l) for aluminium. Andelen er 11 % (8 av 72) for løsmassebrønnene (Losm_korr).

I de undersøkte løsmassebrønnene ligger mediankonsentrasjonen for aluminium (22 µg/l) i grunnvann på et høyere nivå enn i fjellbrønnene. Medianverdien i overflatevann (Overfl_korr) er enda høyere, på 84 µg/l. Dette er fordi aluminiumets løselighet avhenger av pH. Overflatevann og grunt grunnvann, med generelt lavere pH enn dypt grunnvann, har vanligvis høyere aluminiumskonsentrasjoner.

Figur 15a viser hvordan analyseresultatene fordeler seg statistisk i hvert fylke og i forhold til bergart/brønntype. For en kort innføring i tolkning av boksplott-diagrammer vises det til avsnitt 5.5.1 og figur 3.

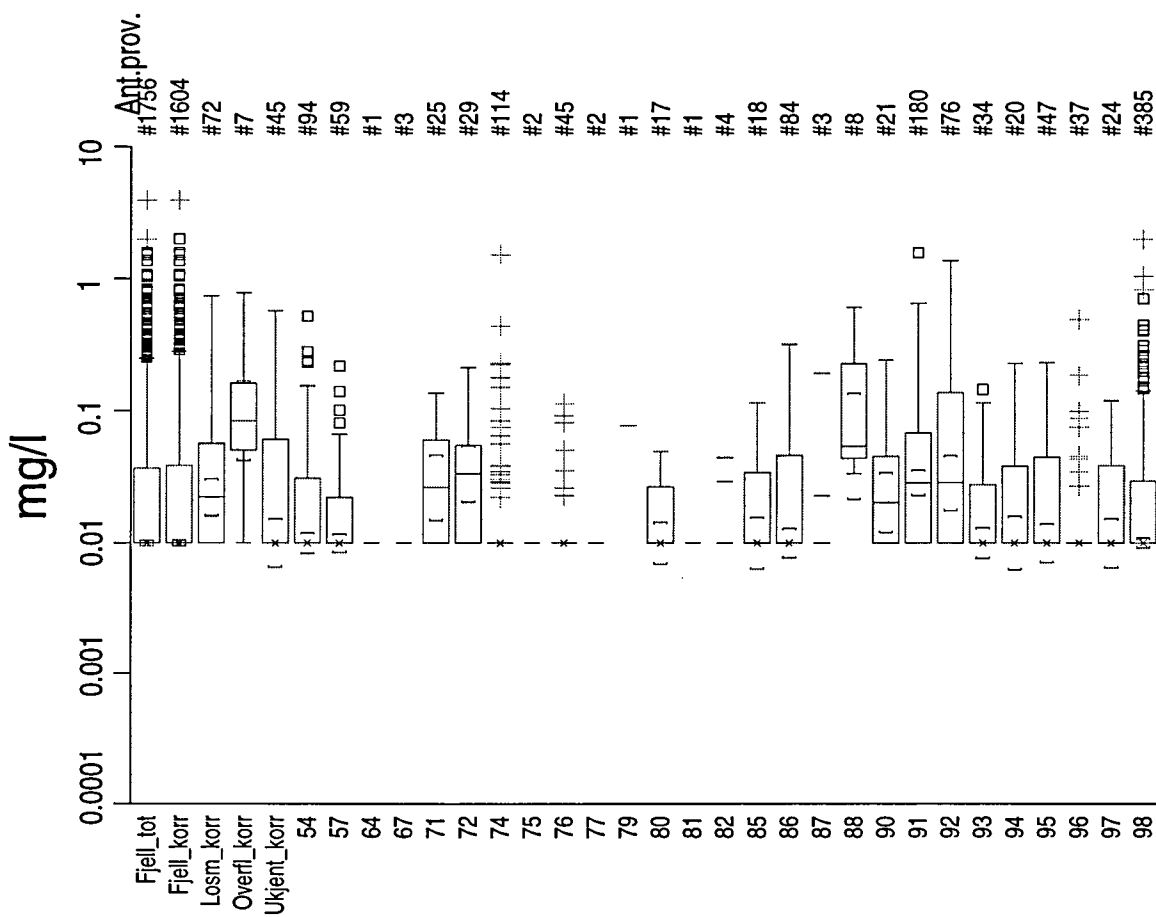
Figur 15b viser den geografiske fordelingen av analyseresultatene sett i forhold til myndighetenes kvalitetskrav til drikkevann (Sosial- og helsedepartementet, 1995). I tillegg er det i nedre venstre hjørne av figuren vist et frekvensdiagram som gir et bilde av den prosentvise fordelingen av de ulike konsentrasjonene.

NORGE (Landsomfattende)

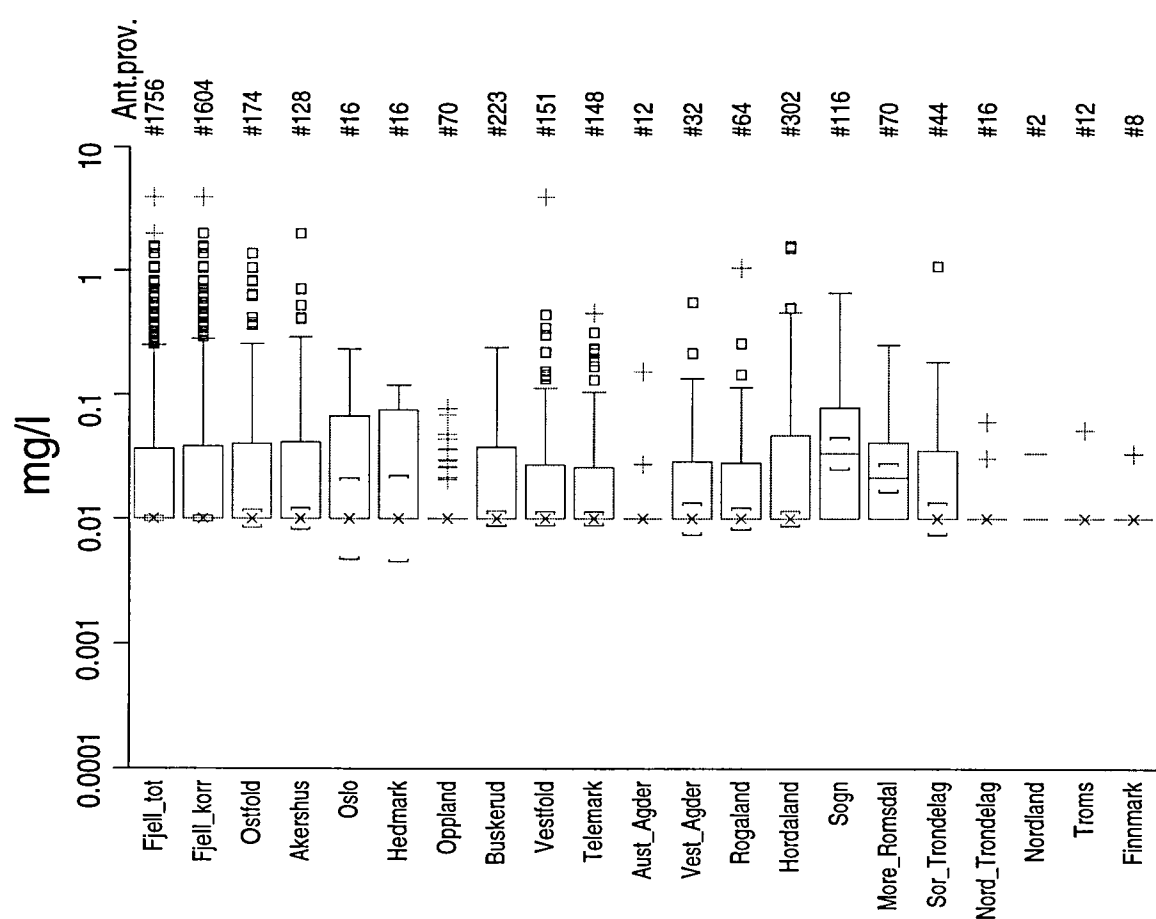
Grunnvannskjemi i fjellbronner

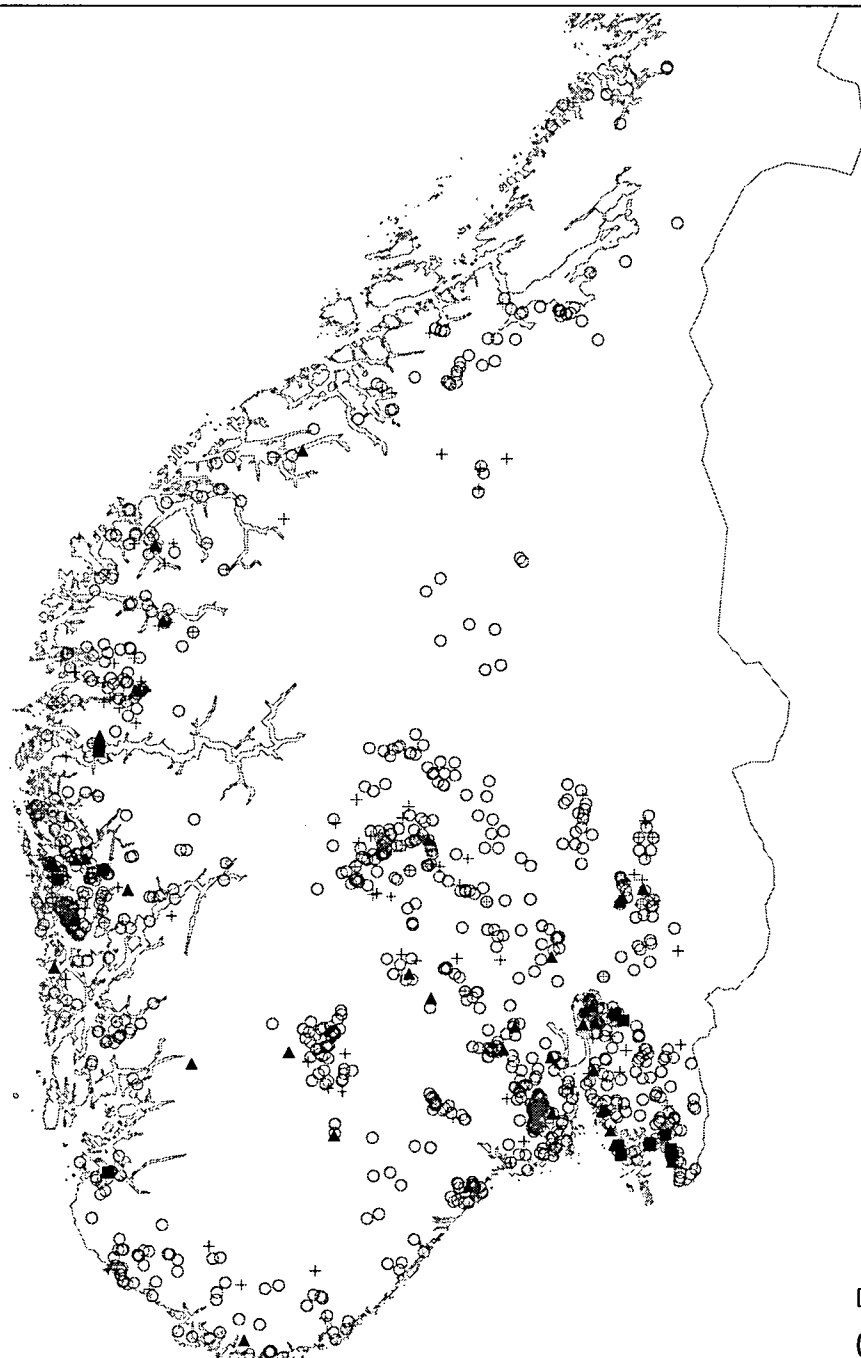
ALUMINIUM

Fordeling i bergart og bronntype



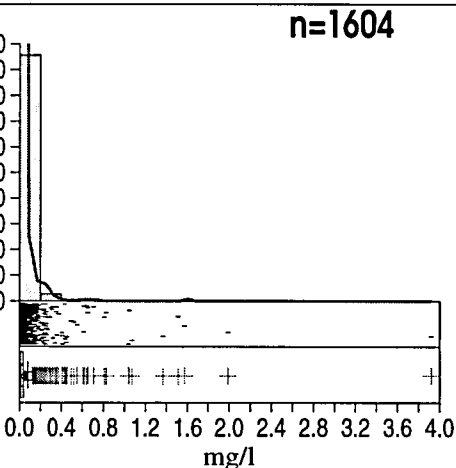
Fordeling innen hvert fylke



SOR-NORGE*Grunnvannskjemi i fjellbronner***ALUMINIUM**

Norges geologiske undersøkelse og Statens stralevern i samarbeid med de kommunale næringsmiddeltilsyn

11/1997



- 0.60 - 4.00
- ▲ 0.20 - 0.60
- + 0.05 - 0.20
- 0.01 - 0.05

Kartsymbolene er relatert til
de norske drikkevannsnormene

- over 3 ganger høyeste tillatte verdi
- ▲ overskider høyeste tillatte verdi
- + overskider ikke høyeste tillatte verdi
- tilfredsstiller strengeste krav i normen

Tilsvarande kart med annen statistisk fremstilling er gitt i vedlegg

6.12 Nitrat

Ufra de innsamlede vannprøvene (Fjell_korr) har brønner i bergartsgruppe 93 (prekambriske anortositt / charnockitt) den høyeste mediankonsentrasjonen for nitrat (median for gruppen = 4,65 mg/l). Bergartsgruppe 57 (permiske vulkanske og sedimentære bergarter fra Oslofeltet) har også en høy medianverdi (3,86 mg/l). Nitrat kommer vanligvis ikke fra berggrunnen; slik at de høye verdiene i disse bergartene skyldes deres geografiske beliggenhet (hhv. Egersund-området og Oslofeltet) hvor det muligens kan finnes enten stor tetthet av hytter med kloakkutslipp eller intens jordbruksaktivitet. Bergartsgruppe 94 (prekambriske gabbro/amfibolitt/ultramafiske bergarter) gir den laveste mediankonsentrasjonen for nitrat (0,16 mg/l).

Figur 16a indikerer at fylket Oslo har den høyeste mediankonsentrasjon for nitrat i grunnvann fra fjellbrønner (6,46 mg/l). Dette kan enten skyldes stor tetthet av hytter med kloakkutslipp, kloakklekkasje i bebygde områder eller jordbruksaktivitet. Laveste medianverdi (mindre enn analytisk deteksjonsgrense; < 0,05 mg/l) forekommer i Nord-Trøndelag.

Medianverdien for hele datasett (Fjell_korr) er 0,46 mg/l. Maksimumsverdien (86,8 mg/l) kommer fra bergartsgruppe 74 (kaledonske metasedimenter) i Oppland. Minimumsverdien (mindre enn deteksjonsgrensen på 0,05 mg/l) finnes i 467 av de 1604 fjellborehullene.

ca. 1 % (13 av 1604) av de undersøkte fjellbrønnene (Fjell_korr) overskridet drikkevannsnormen på 44 mg/l (NO_3^-) for nitrat (tilsvarer 10 mg/l nitrat målt som N). Andelen er 4 % (3 av 72) for løsmassebrønnene (Losm_korr).

I de undersøkte løsmassebrønnene (Losm_korr) ligger mediankonsentrasjonen for nitrat (1,19 mg/l) i grunnvann på et signifikant høyere nivå enn i fjellbrønnene. Maksimumsverdien for nitrat i grunnvann fra løsmassebrønnene er 161 mg/l fra en brønn i Hedmark. Medianverdien i overflatevann (Overfl_korr) er 1,28 mg/l.

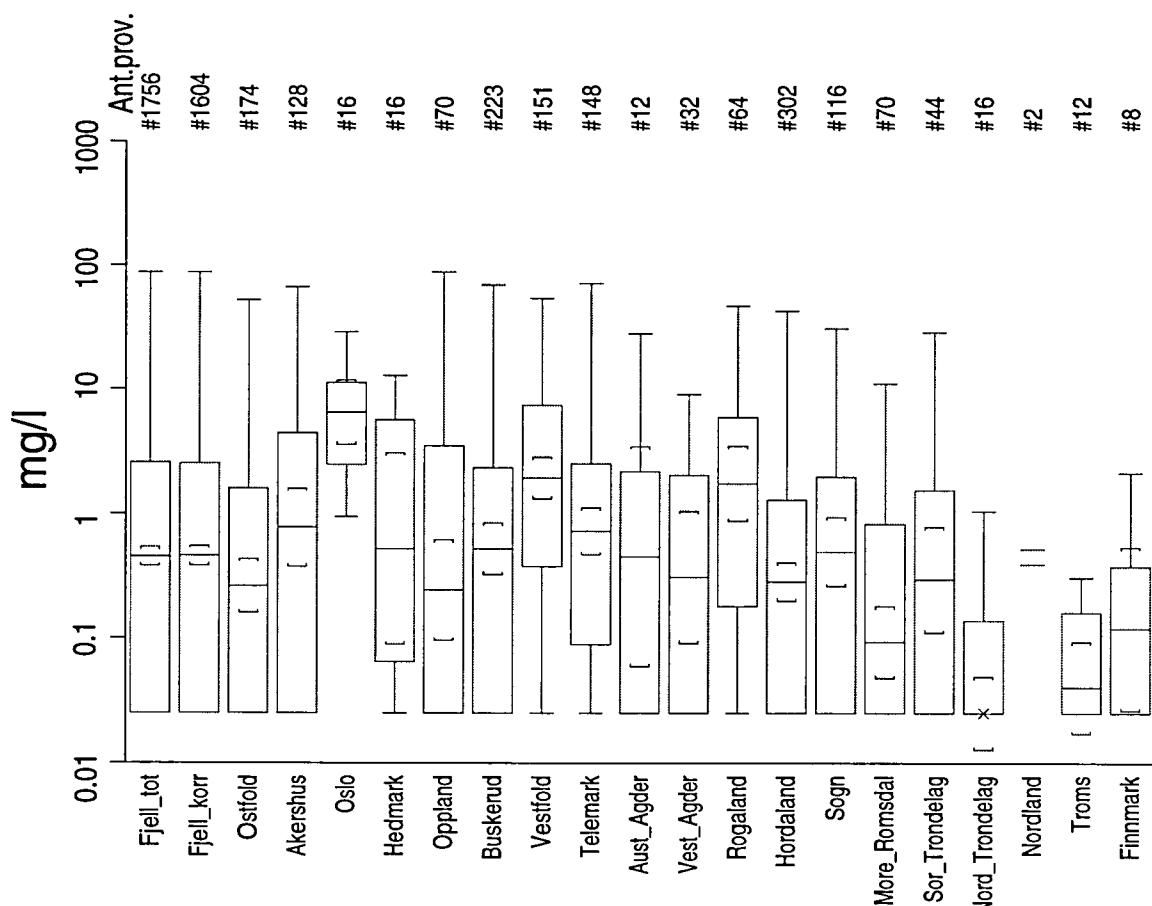
Figur 16a viser hvordan analyseresultatene fordeler seg statistisk i hvert fylke og i forhold til bergart/brønntype. For en kort innføring i tolkning av bokspillt-diagrammer vises det til avsnitt 5.5.1 og figur 3.

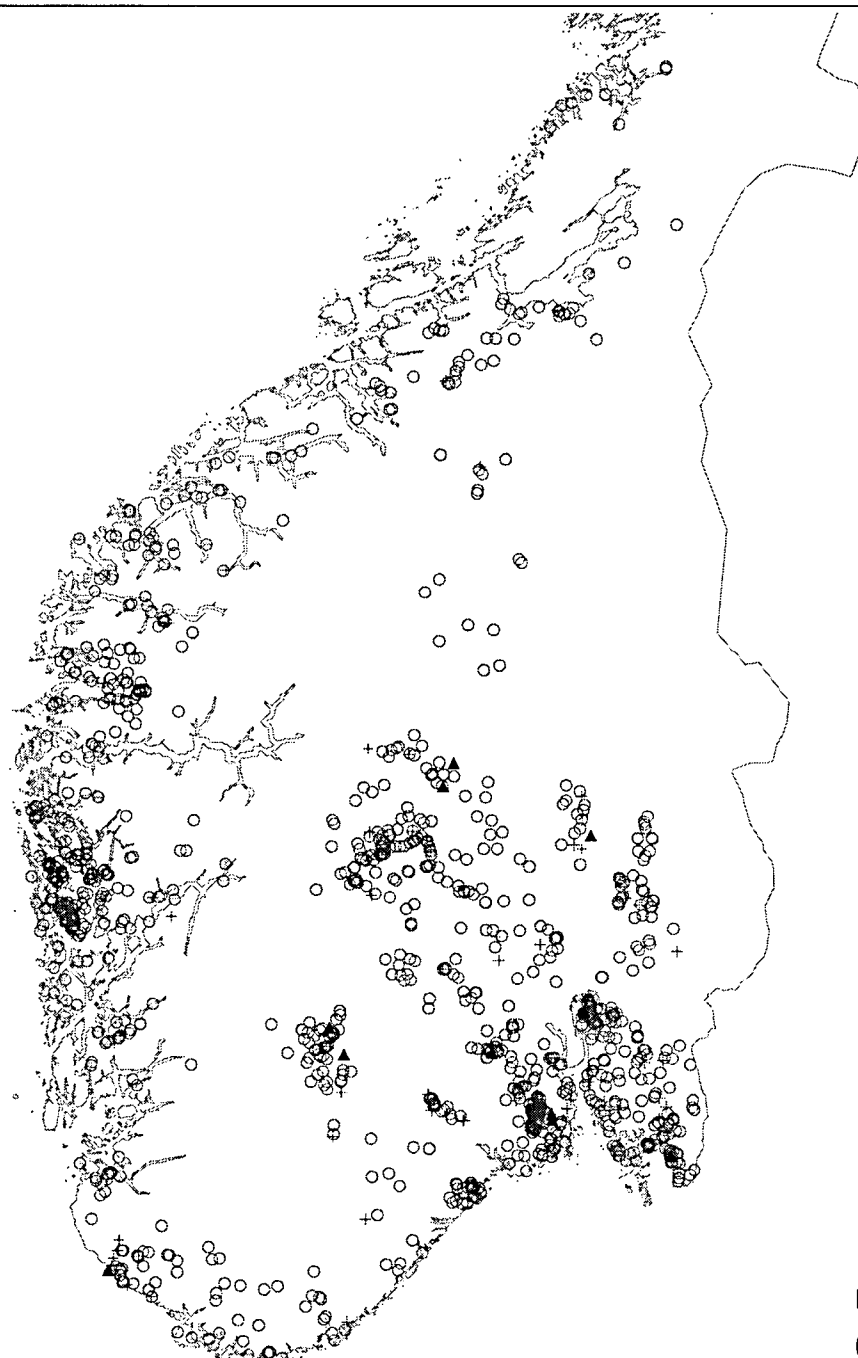
Figur 16b viser den geografiske fordelingen av analyseresultatene sett i forhold til myndighetenes kvalitetskrav til drikkevann (Sosial- og helsedepartementet, 1995). I tillegg er det i nedre venstre hjørne av figuren vist et frekvensdiagram som gir et bilde av den prosentvise fordelingen av de ulike konsentrasjonene.

Figur 16a

NORGE (Landsomfattende) *Grunnvannskjemi i fjellbronner*

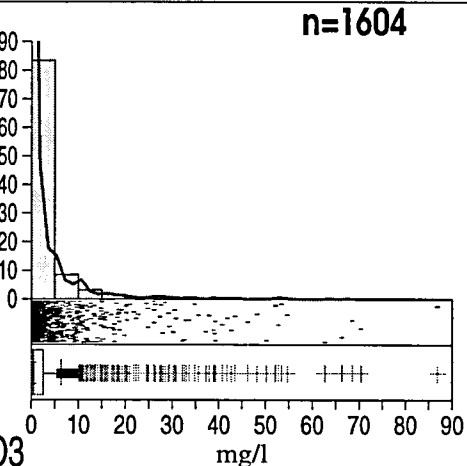
NITRAT



SOR-NORGE*Grunnvannskjemi i fjellbronner***NITRAT**

Norges geologiske undersøkelse og Statens stralevern i samarbeid med de kommunale næringsmiddeltilsyn

11/1997



■ 132.00 - 200

▲ 44.00 - 132

+ 10.00 - 44

○ 0.03 - 10

NO3 mg/l

Kartsymbolene er relatert til
de norske drikkevannsnormene

■ over 3 ganger hoyeste tillatte verdi

▲ overskridet hoyeste tillatte verdi

○ + tilfredsstiller kravene i normen

Tilsvarande kart med annen statistisk fremstilling er gitt i vedlegg

6.13 Kalium

Utfra de innsamlede vannprøvene (Fjell_korr) har brønner i bergartsgruppe 88 (prekambrisisk amfibolitt / gneis) den høyeste mediankonsentrasjonen for kalium (median for gruppen = 4,14 mg/l). Bergartsgruppe 93 (prekambrisisk anortositt/charnockitt) gir den laveste mediankonsentrasjonen for kalium (0,91 mg/l).

Figur 17a indikerer at fylket Nord Trøndelag har den høyeste mediankonsentrasjon for kalium i grunnvann fra fjellbrønner (4,11 mg/l). Laveste medianverdi (1,09 mg/l) forekommer i Rogaland, mens Oslo også har en lav medianverdi på 1,21 mg/l. Tendensen er motsatt for nitrat (høyt nitratinnhold i Oslo og Rogaland, og lavt i Nord Trøndelag). Dette antyder at kalium i all hovedsak kommer fra geologien heller enn fra kloakk / landbruksforurensning.

Medianverdien for hele datasett (Fjell_korr) er 2,36 mg/l. Maksimumsverdien (68,1 mg/l) kommer fra bergartsgruppe 92 i Østfold og skyldes sannsynligvis inntringing av saltvann fra havet. Nest høyeste verdi (24,3 mg/l) kommer fra bergartsgruppe 76 (aledonsk grønnstein/grønnskifre/ metaandesitt/amfibolitt) i Møre og Romsdal (ved denne brønnen er det også høyt nitratinnhold, som tyder på forurensning som kilde for K). Minimumsverdien (mindre enn deteksjonsgrensen på 0,5 mg/l) finnes i 91 av de 1604 fjellborehullene.

1 % (16 av 1604) av de undersøkte fjellbrønnene (Fjell_korr) overskridet drikkevannsnormen på 12 mg/l for kalium. Andelen er 0 % (0 av 72) for løsmassebrønnene (Lasm_korr).

I de undersøkte løsmassebrønnene (Lasm_korr) ligger mediankonsentrasjonen for kalium (1,40 mg/l) i grunnvann på et signifikant lavere nivå enn i fjellbrønnene. Medianverdien i overflatevann (Overfl_korr) er mindre enn den analytiske deteksjonsgrensen (< 0,5 mg/l). Dette bekrefter at berggrunnen er en viktigere kilde til kalium enn forurensning i de aller fleste brønnene.

Figur 17a viser hvordan analyseresultatene fordeler seg statistisk i hvert fylke og i forhold til bergart/brønntype. For en kort innføring i tolkning av boksplott-diagrammer vises det til avsnitt 5.5.1 og figur 3.

Figur 17b viser den geografiske fordelingen av analyseresultatene sett i forhold til myndighetenes kvalitetskrav til drikkevann (Sosial- og helsedepartementet, 1995). I tillegg er det i nedre venstre hjørne av figuren vist et frekvensdiagram som gir et bilde av den prosentvise fordelingen av de ulike konsentrasjonene.

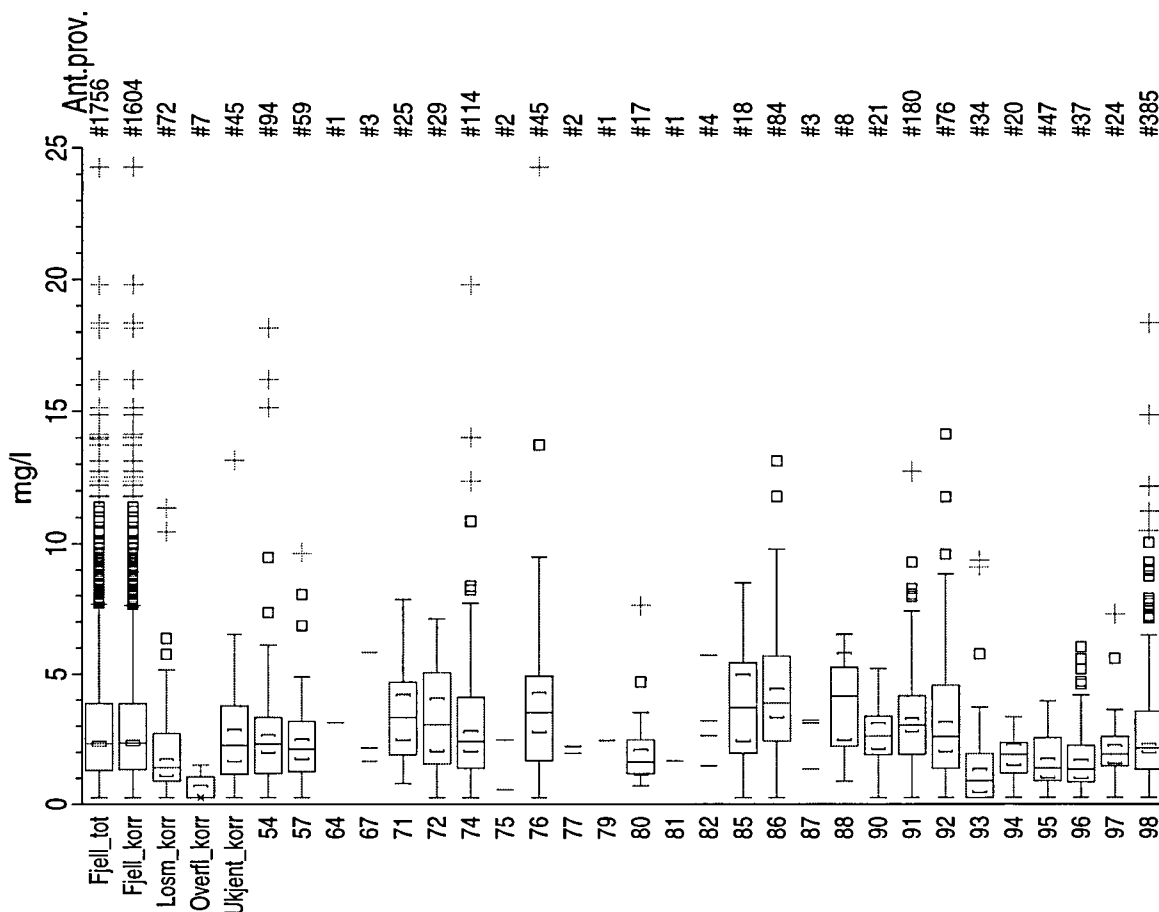
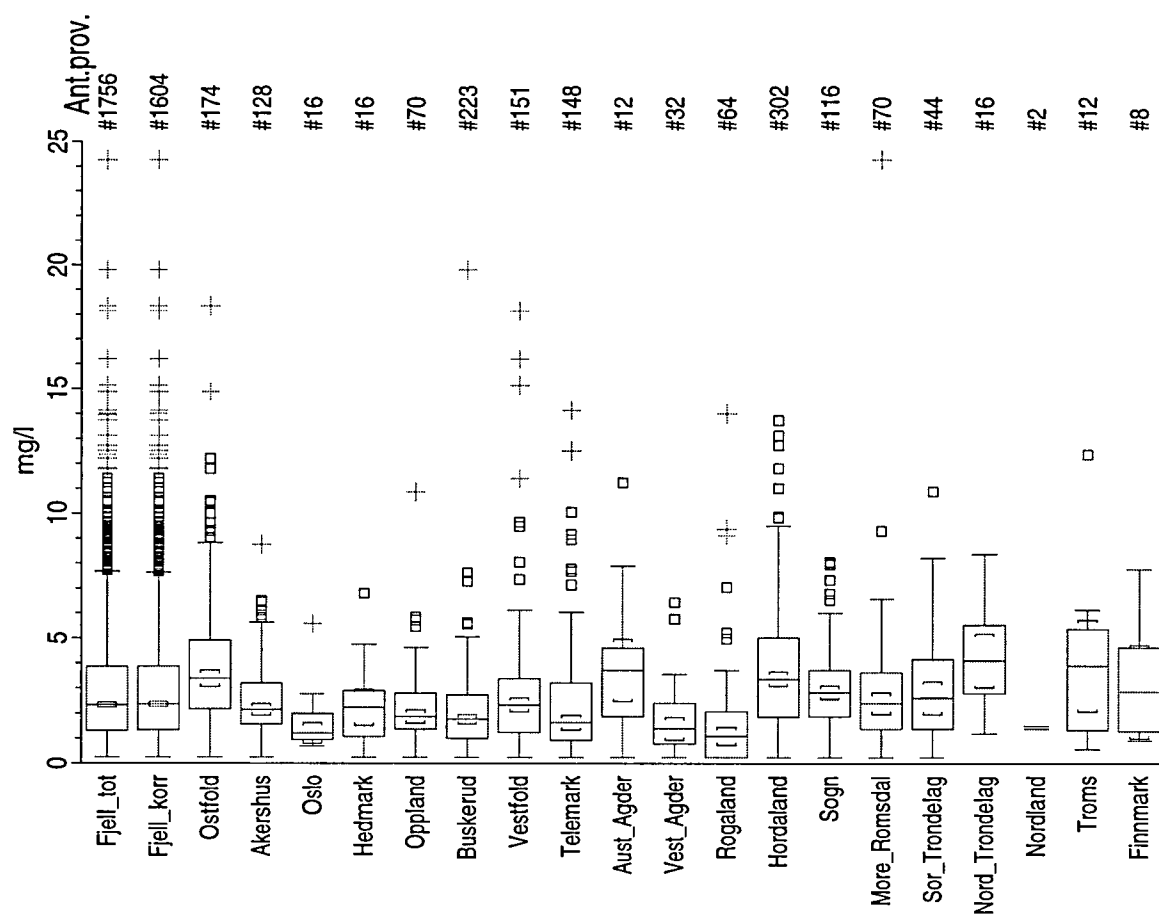
Figur 17a

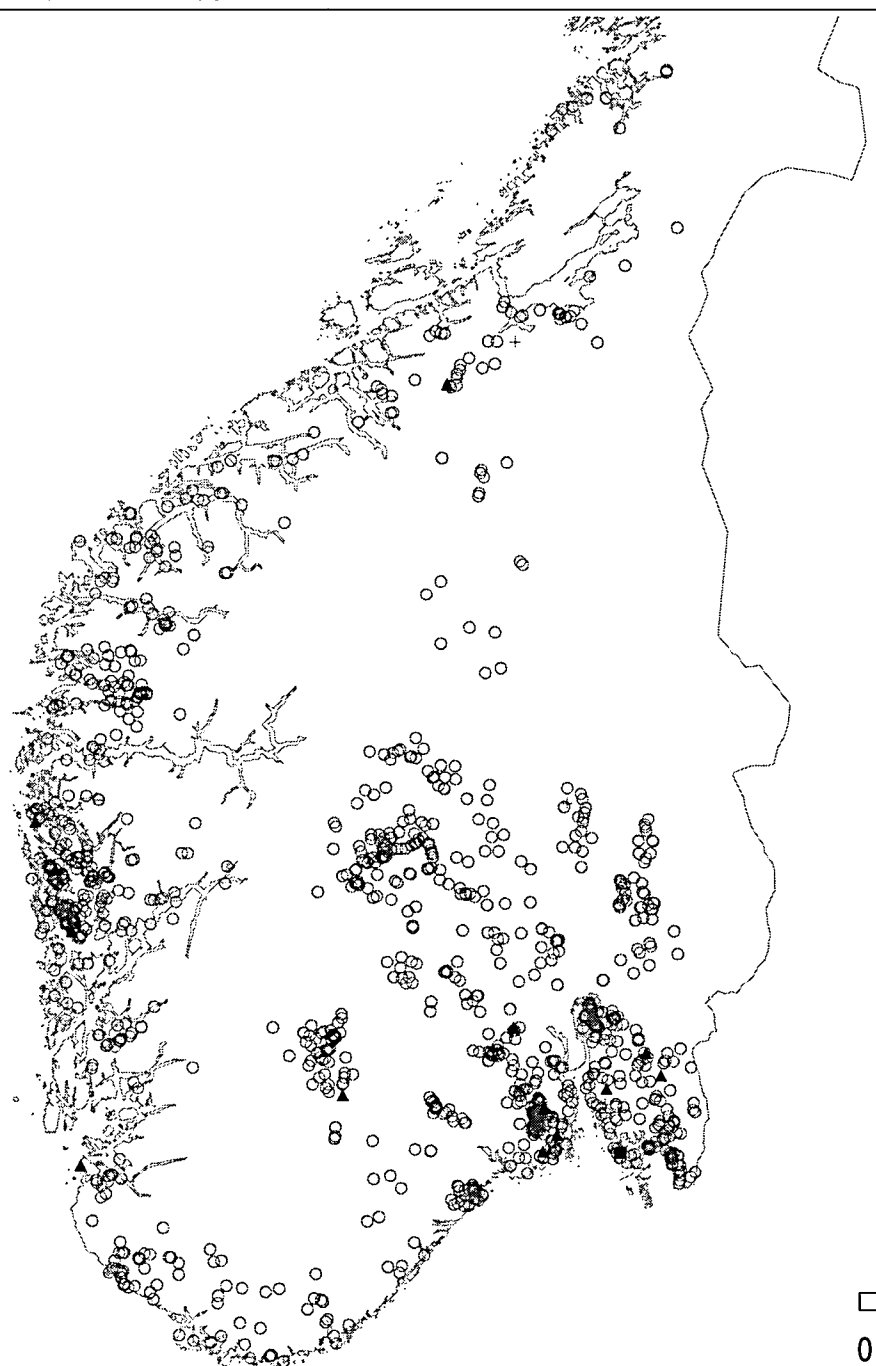
NORGE (Landsomfattende)

Grunnvannskjemi i fjellbronner

KALIUM

Fordeling i bergart og bronntype

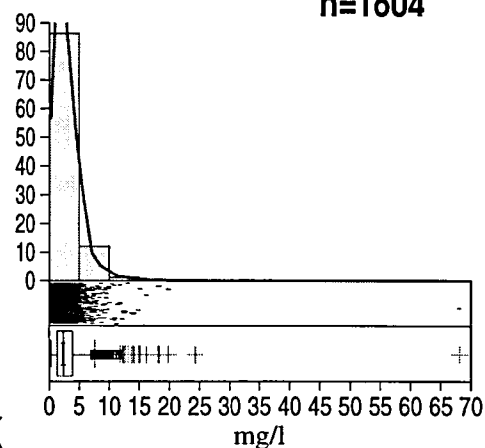


SOR-NORGE*Grunnvannskjemi i fjellbronner***KALIUM**

Norges geologiske undersøkelse og Statens stralevern i samarbeid med de kommunale næringsmiddeltilsyn

11/1997

n=1604



■ 36.0 - 70

▲ 12.0 - 36

+ 10.0 - 12

○ 0.3 - 10

K mg/l

Kartsymbolene er relatert til
de norske drikkevannsnormene

■ over 3 ganger høyeste tillatte verdi

▲ overskridet høyeste tillatte verdi

+ overskridet ikke høyeste tillatte verdi

○ tilfredsstiller strengeste krav i normen

Tilsvarende kart med annen statistisk fremstilling er gitt i vedlegg

K

6.14 Barium

Uftra de innsamlede vannprøvene (Fjell_korr) har brønner i bergartsgruppe 88 (prekambrisisk amfibolitt / gneis) den høyeste mediankonsentrasjonen for barium (median for gruppen = 90 µg/l). Bergartsgruppe 93 (prekambrisisk anortositt/charnockitt) gir den laveste mediankonsentrasjonen for barium (3 µg/l).

Figur 18a indikerer at fylket Hedmark har den høyeste mediankonsentrasjon for barium i grunnvann fra fjellbrønner (119 µg/l). Fylkene Vest Agder og Finnmark har også høye mediankonsentrasjoner. Laveste medianverdi (mindre enn den analytiske deteksjonsgrensen; < 2 µg/l) forekommer i Møre og Romsdal.

Medianverdien for hele datasett (Fjell_korr) er 13 µg/l. Maksimumsverdien (3,09 mg/l) kommer fra en borebrønn i Oppland fylke, hvor geologien ikke er kjent (manglende koordinatfesting). Den konsentrasjonen virker uvanlig høy og forfatterne har ingen god forklaring på dette. Minimumsverdien (mindre enn deteksjonsgrensen; < 2 µg/l) finnes i 279 av de 1604 fjellborehullene.

7,6 % (122 av 1604) av de undersøkte fjellbrønnene (Fjell_korr) overskridet veiledede drikkevannsnorm på 0,1 mg/l (100 µg/l) for barium. Andelen er 8 % (6 av 72) for løsmassebrønnene (Losem_korr).

I de undersøkte løsmassebrønnene (Losem_korr) ligger mediankonsentrasjonen for barium (11 µg/l) i grunnvann på omtrent samme nivå som for fjellbrønnene. Medianverdien i overflatevann (Overfl_korr) er lavere (5 µg/l).

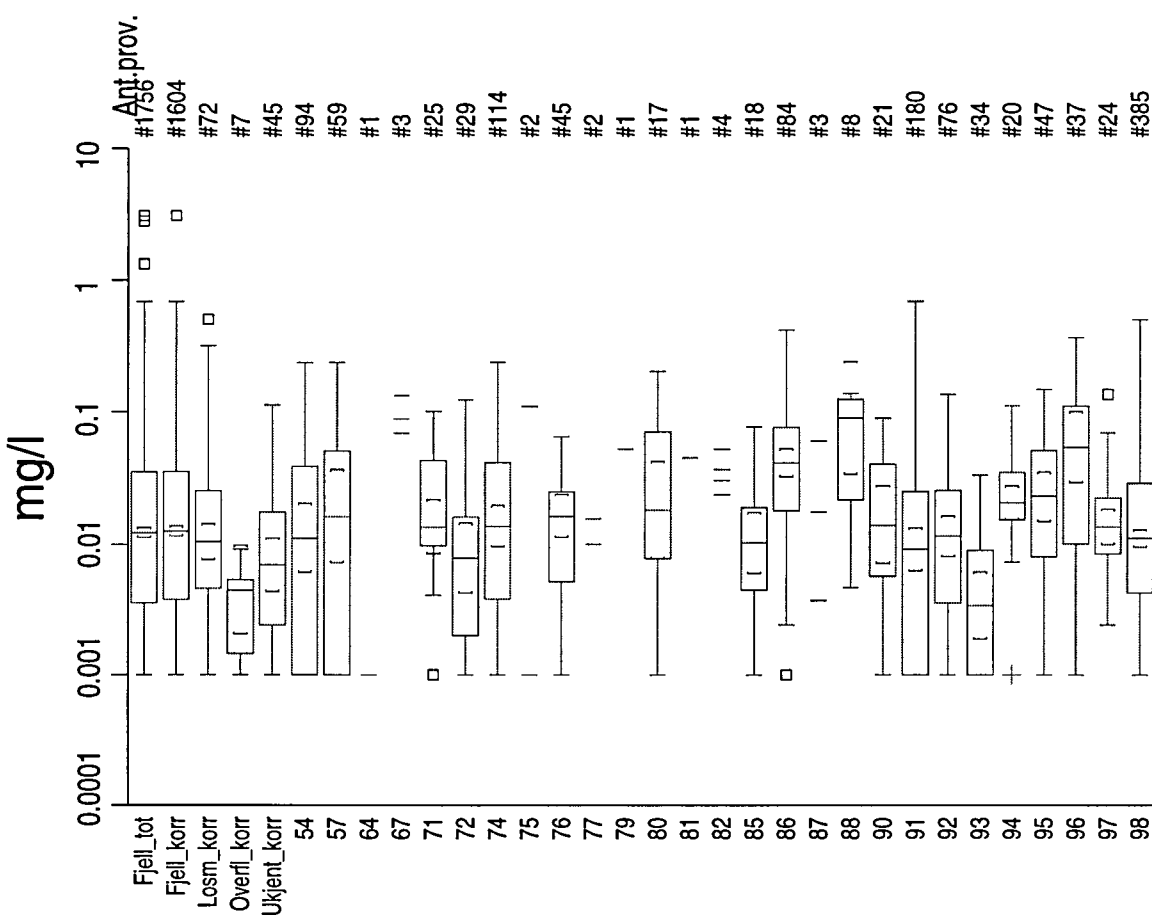
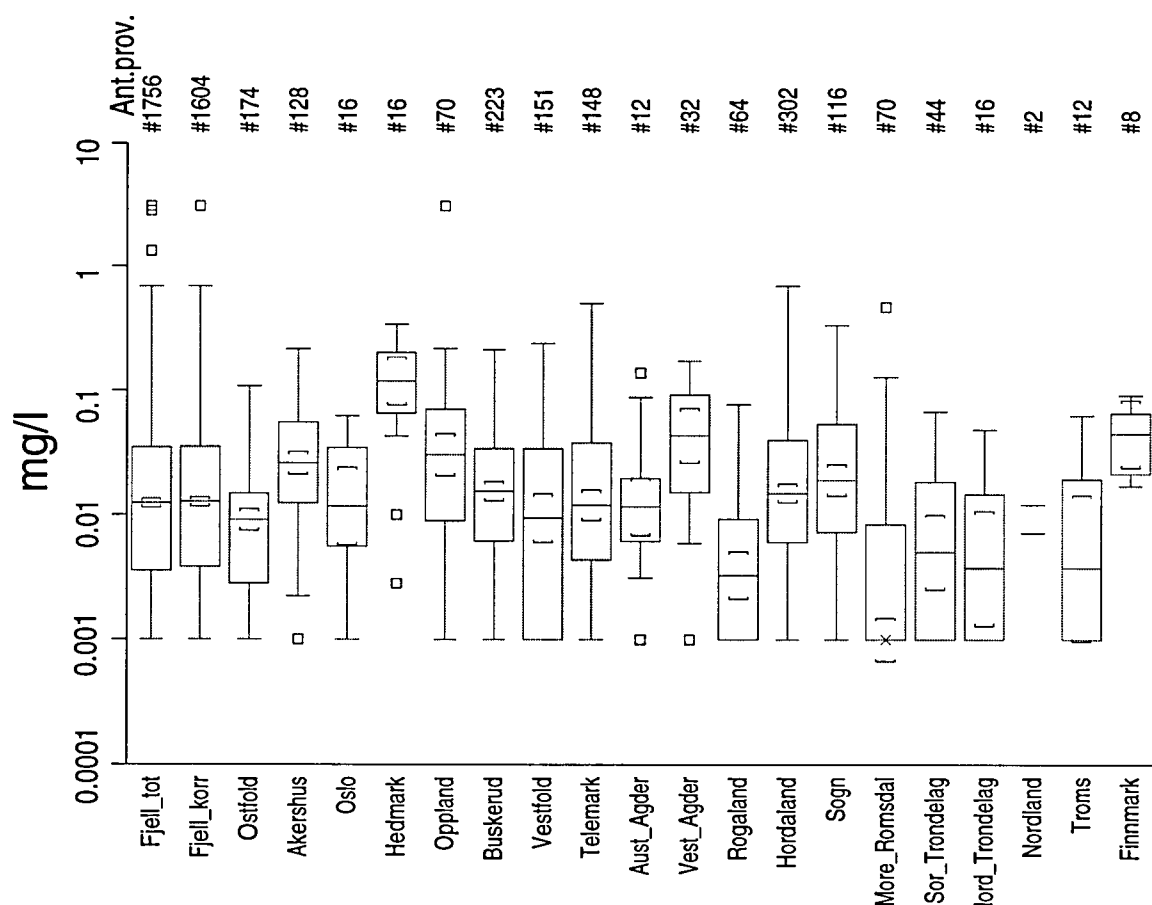
Figur 18a viser hvordan analyseresultatene fordeler seg statistisk i hvert fylke og i forhold til bergart/brønntype. For en kort innføring i tolkning av boksplot-diagrammer vises det til avsnitt 5.5.1 og figur 3.

Figur 18b viser den geografiske fordelingen av analyseresultatene sett i forhold til myndighetenes kvalitetskrav til drikkevann (Sosial- og helsedepartementet, 1995). I tillegg er det i nedre venstre hjørne av figuren vist et frekvensdiagram som gir et bilde av den prosentvise fordelingen av de ulike konsentrasjonene.

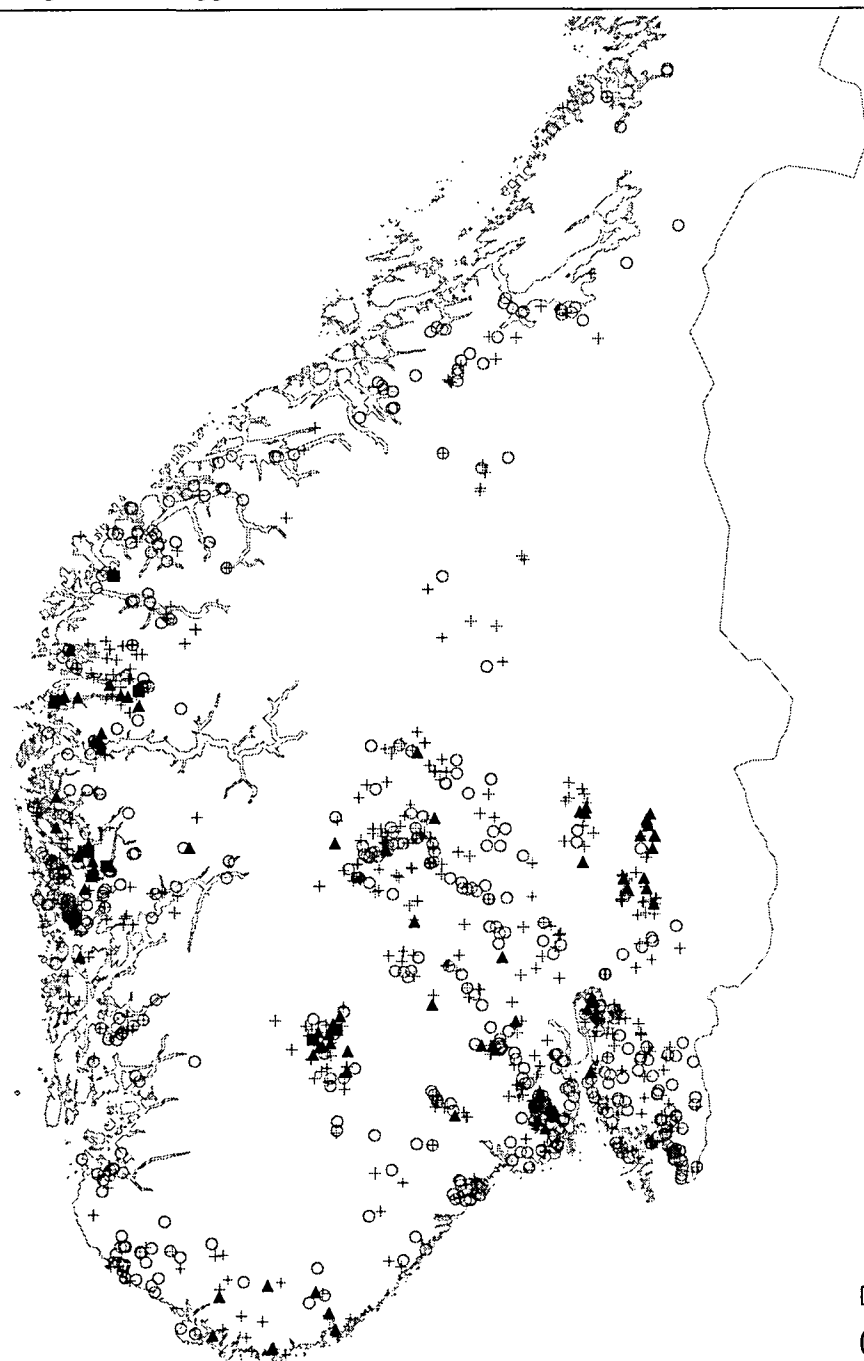
Figur 18a

NORGE (Landsomfattende) *Grunnvannskjemi i fjellbronner*

BARIUM



Figur 18b

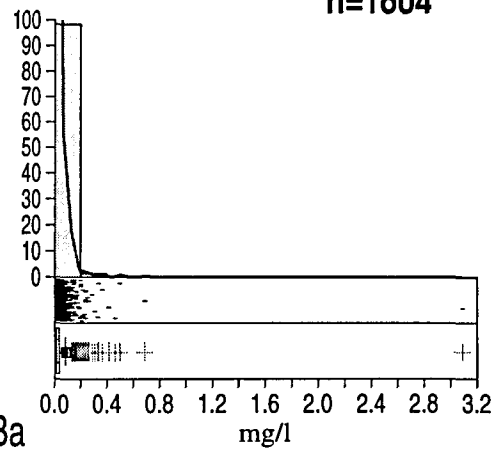
SOR-NORGE*Grunnvannskjemi i fjellbronner***BARIUM**

0 50 100 km

Norges geologiske undersøkelse og Statens strølevn i samarbeid med de kommunale næringsmiddeltilsyn

06/1998

n=1604



- 0.300 - 3.100
- ▲ 0.100 - 0.300
- + 0.010 - 0.100
- 0.001 - 0.010

Ba mg/l

Kartsymbolene er relatert til
de norske drikkevannsnormene

■ over 3 ganger veilegende verdi

▲ overskridet veilende verdi

○ + overskridet ikke veilende verdi

Tilsvarande kart med annen statistisk fremstilling er gitt i vedlegg

6.15 Beryllium

Utfra de innsamlede vannprøvene (Fjell_korr) er det meget vanskelig å si noe om signifikante forskjeller mellom fylker og bergartsgrupper, siden medianverdien for alle gruppene er mindre enn den analytiske deteksjonsgrensen (dvs. $< 1 \mu\text{g/l}$). Totalt kunne laboratoriet ikke påvise Be i 1513 av 1604 prøver (dvs. $< 1 \mu\text{g/l}$). Det kan antydes at det finnes uvanlig mange brønner med påviselig Be i bergartsgruppe 92 og i Østfold (dvs. Iddefjordgranitten), sammenlignet med ellers i Norge. I Iddefjordgranitten har 14 av 57 (25 %) borebrønner påviselig innhold av Be, i motsetning til 5,7 % på landsbasis. Fig. 19c synes å bekrefte dette, og det synes også å være klynger av brønner med høyt Be-innhold rundt Gol, i Vestfold, ved Bergen og ved Etne. Det er behov for ICP-MS analyser får å få et mer detaljert bilde av berylliumets opptreden i grunnvann i fjell.

Medianverdien for hele datasett (Fjell_korr) er $< 1 \mu\text{g/l}$. Maksimumsverdien (13 $\mu\text{g/l}$) kommer fra en borebrønn i bergartsgruppe 92 i Østfold fylke (dvs. Iddefjordgranitten).

0,4 % (6 av 1604) av de undersøkte fjellbrønnene (Fjell_korr) overskridet den amerikanske drikkevannsnormen på 4 $\mu\text{g/l}$ for beryllium. Andelen er 0 % (0 av 72) for løsmassebrønnene (Losm_korr). Med en deteksjonsgrense på 1 $\mu\text{g/l}$ for ICP-AES analysemетодen, kan vi ikke si hvor mange som overskridet den russiske drikkevannsnormen på 0,2 $\mu\text{g/l}$.

Figur 19a viser hvordan analyseresultatene fordeler seg statistisk i hvert fylke og i forhold til bergart/brønnstype. For en kort innføring i tolkning av boksplott-diagrammer vises det til avsnitt 5.5.1 og figur 3.

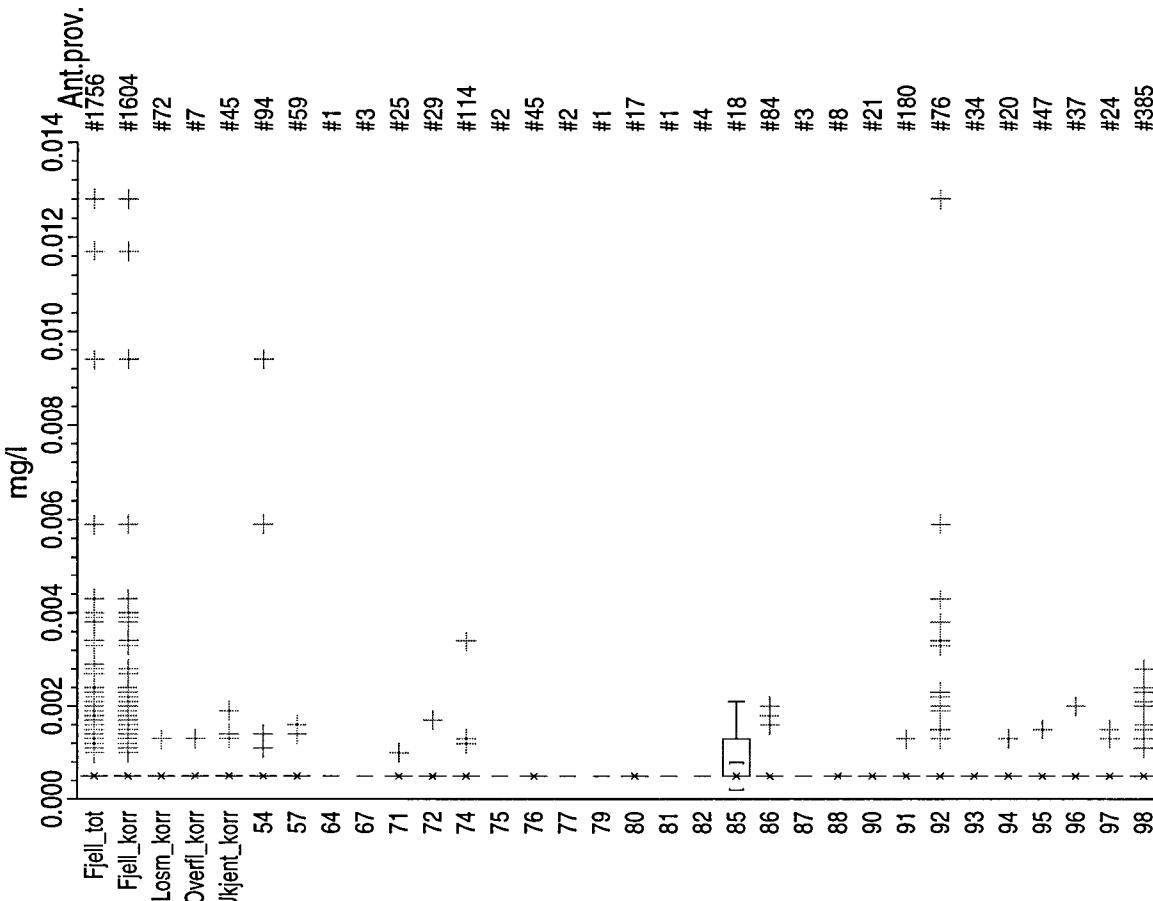
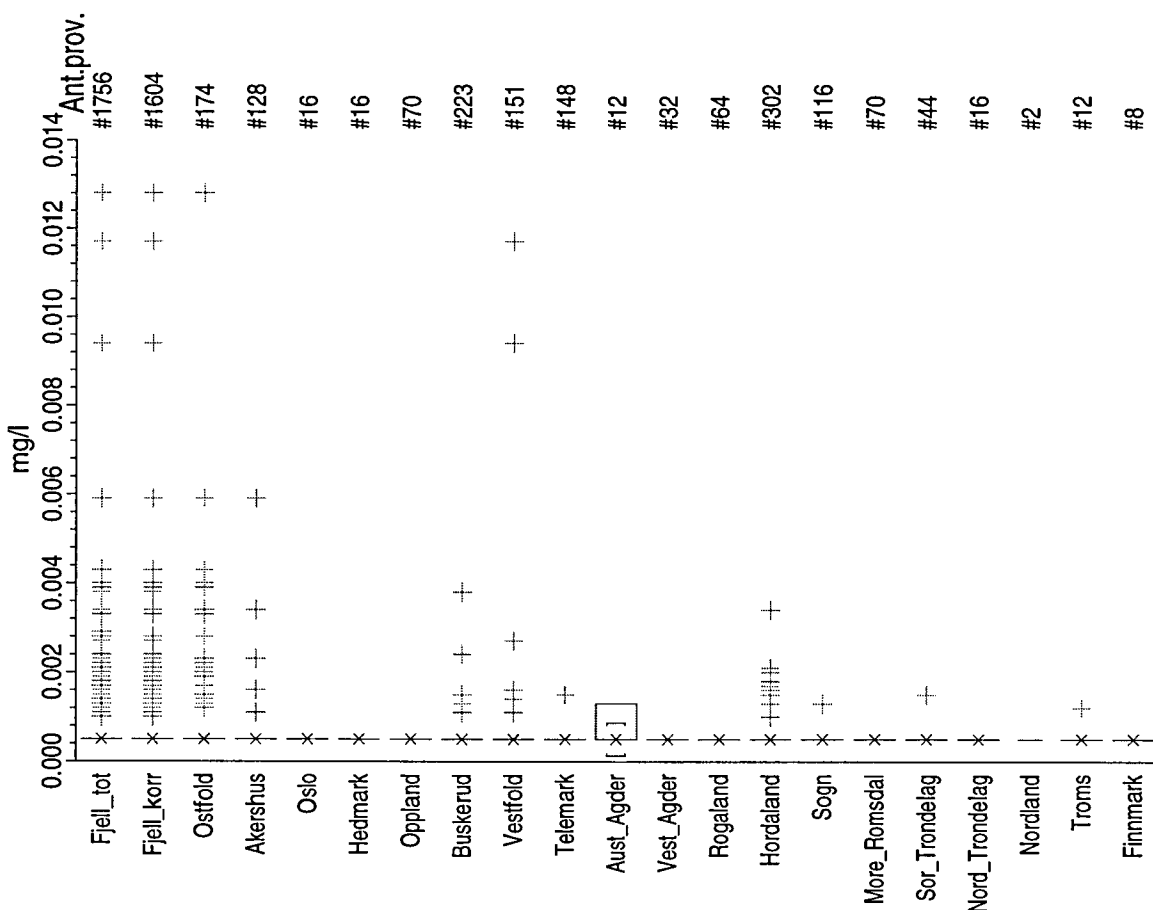
Figur 19a

NORGE (Landsomfattende)

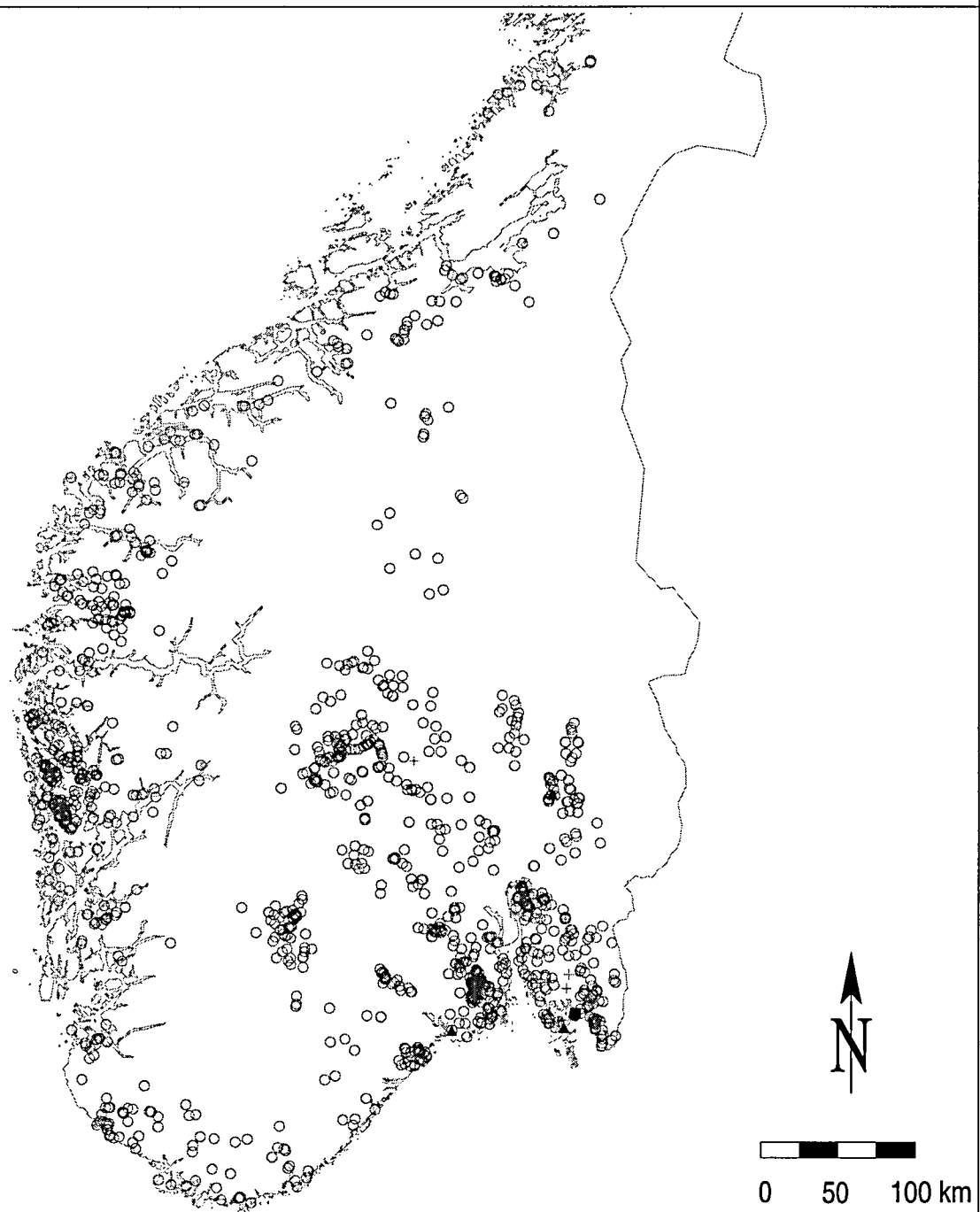
Grunnvannskjemi i fjellbronner

BERYLLIUM

Fordeling i bergart og bronntype

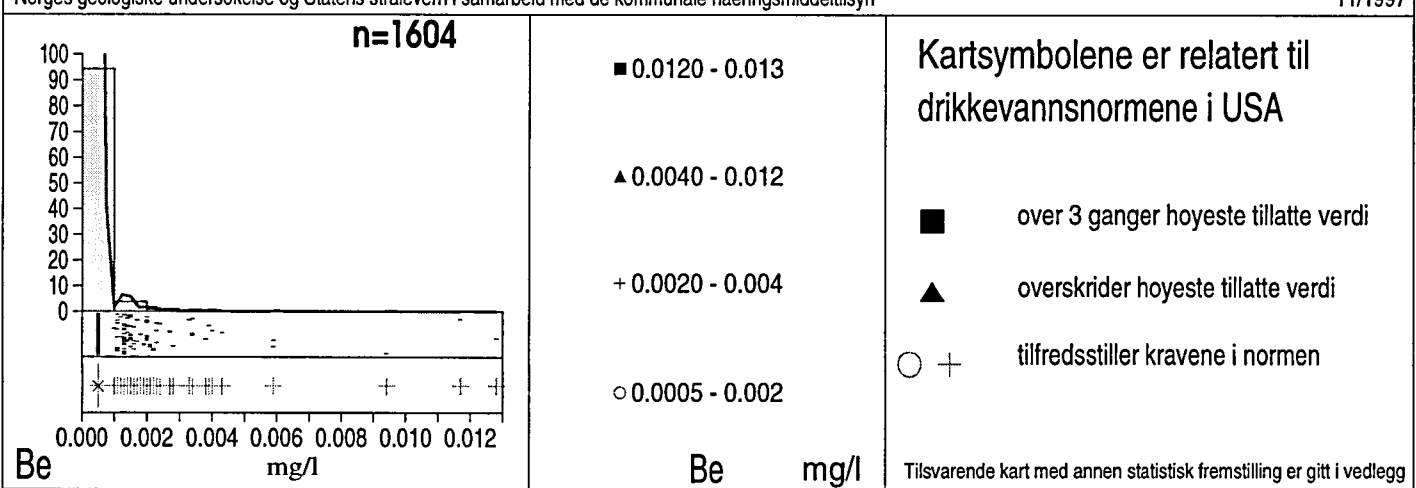


Figur 19b

SOR-NORGE*Grunnvannskjemi i fjellbronner***BERYLLIUM**

Norges geologiske undersøkelse og Statens stralevern i samarbeid med de kommunale næringsmiddeltilsyn

11/1997



6.16 Sink

Utfra de innsamlede vannprøvene (Fjell_korr) har brønner i bergartsgruppe 54 (permiske dyp- og gangbergarter i Oslofeltet) den høyeste mediankonsentrasjonen for sink (median for gruppen = $33 \mu\text{g/l}$). Bergartsgruppe 92 (prekambriske granitt) har også en høy mediankonsentrasjon på $31 \mu\text{g/l}$. Bergartsgruppe 85 (ulike prekambriske bergarter i de kaledonske dekkene) gir den laveste mediankonsentrasjonen for sink ($5 \mu\text{g/l}$).

Figur 20a indikerer at fylket Oslo har den høyeste mediankonsentrasjon for sink i grunnvann fra fjellbrønner ($68 \mu\text{g/l}$). Laveste medianverdi (mindre enn den analytiske deteksjonsgrensen; < $2 \mu\text{g/l}$) forekommer i Nord-Trøndelag.

Medianverdien for hele datasett (Fjell_korr) er $12 \mu\text{g/l}$. Maksimumsverdiene ($5,43$ og $5,28 \text{ mg/l}$) kommer henholdsvis fra en borebrønn bergartsgruppe 57 (permiske vulkanske og sedimentære bergarter i Oslofeltet) i Vestfold fylke, og en borebrønn med ukjent geologi (manglende koordinatfesting) i Østfold. Konsentrasjonene virker uvanlig høye og kan muligens skyldes kontaminasjon fra ledningsnettet. Minimumsverdien (mindre enn deteksjonsgrensen; < $2 \mu\text{g/l}$) finnes i 225 av de 1604 fjellborehullene.

3,1 % (50 av 1604) av de undersøkte fjellbrønnene (Fjell_korr) overskridet drikkevannsnormen på $0,3 \text{ mg/l}$ ($300 \mu\text{g/l}$) for sink. Andelen er 7 % (5 av 72) for løsmassebrønnene (Losm_korr).

I de undersøkte løsmassebrønnene (Losm_korr) ligger mediankonsentrasjonen for sink ($18 \mu\text{g/l}$) i grunnvann på et litt høyere nivå enn for fjellbrønnene, men forskjellen er ikke statistisk signifikant. Medianverdien i overflatevann (Overfl_korr) er lavere ($10 \mu\text{g/l}$).

Figur 20a viser hvordan analyseresultatene fordeler seg statistisk i hvert fylke og i forhold til bergart/brønn type. For en kort innføring i tolkning av boksplot-diagrammer vises det til avsnitt 5.5.1 og figur 3.

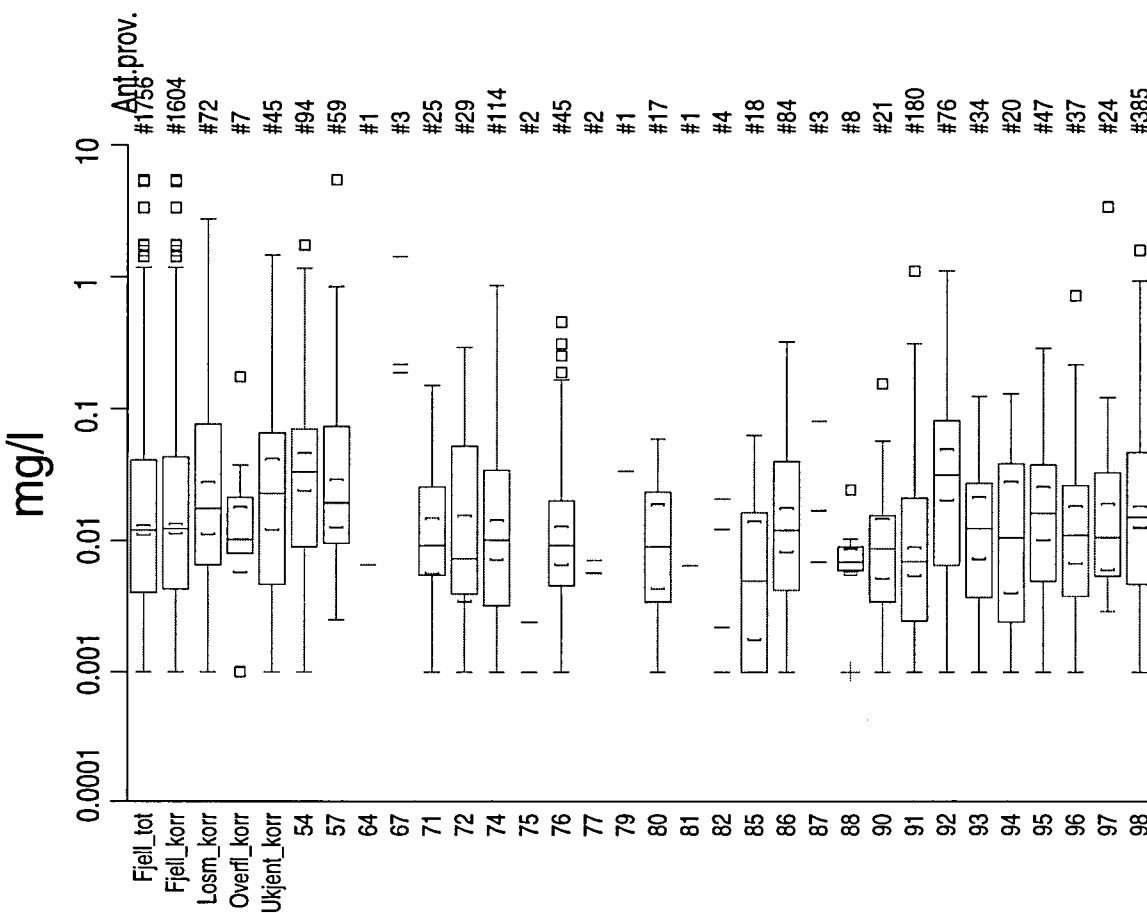
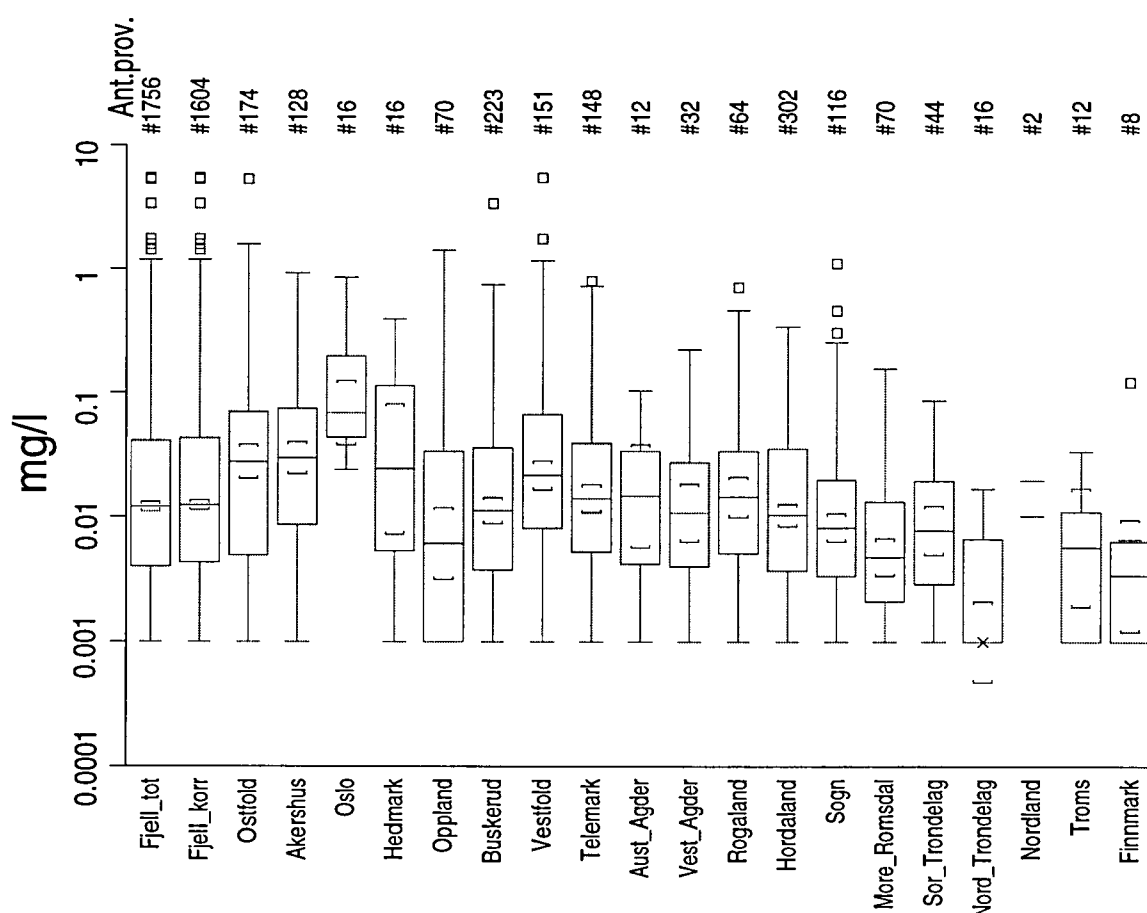
Figur 20b viser den geografiske fordelingen av analyseresultatene sett i forhold til myndighetenes kvalitetskrav til drikkevann (Sosial- og helsedepartementet, 1995). I tillegg er det i nedre venstre hjørne av figuren vist et frekvensdiagram som gir et bilde av den prosentvise fordelingen av de ulike konsentrasjonene.

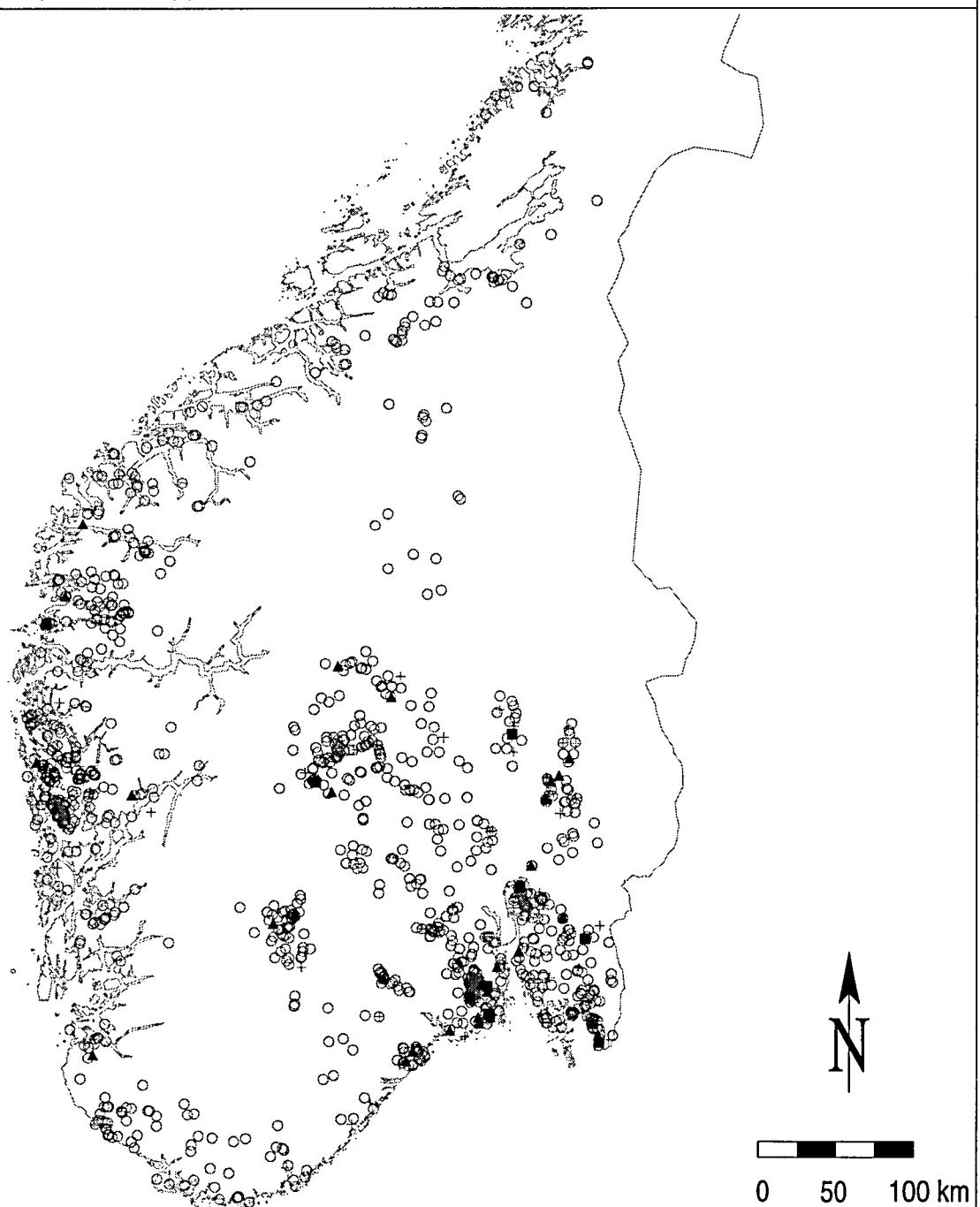
NORGE (Landsomfattende)

Grunnvannskjemi i fjellbronner

SINK

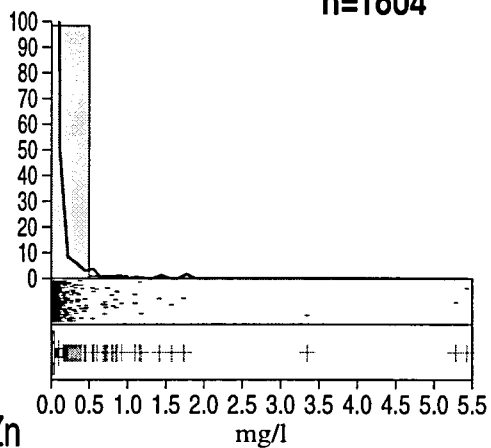
Fordeling i bergart og bronntype



SOR-NORGE*Grunnvannskjemi i fjellbronner***SINK**

Norges geologiske undersøkelse og Statens stralevern i samarbeid med de kommunale næringsmiddeltilsyn

11/1997

n=1604

- 0.900 - 5.50
- ▲ 0.300 - 0.90
- + 0.100 - 0.30
- 0.001 - 0.10

Zn mg/l

Kartsymbolene er relatert til
de norske drikkevannsnormene

- over 3 ganger høyeste tillatte verdi
- ▲ overskridet høyeste tillatte verdi
- + overskridet ikke høyeste tillatte verdi
- tilfredsstiller strengeste krav i normen

Tilsvarande kart med annen statistisk fremstilling er gitt i vedlegg

6.17 Andre grunnstoffer

Figurene 22a-42a, og 22c-42c gjengis i vedlegg 8. Figurene gir en oversikt over forekomsten av en rekke andre parametre som ble analysert på vannprøvene med ICP-AES eller IC (ionekromatografi). Vi vil ikke presentere en dyptgående omtale av disse parametrene. I mange tilfeller ligger målte konsentrasjoner helt ned mot den analytiske deteksjonsgrensen, slik at resultatene må brukes med forsiktighet. En kort oppsummering av resultatene følger:

Sølv: Resultatene for alle 1924 prøver var under den analytiske deteksjonsgrensen på $10 \mu\text{g/l}$. Bokspill eller kart presenteres ikke.

Bor: Bor finnes i 947 av 1604 vannprøver i datasettet (Fjell_korr) i større mengder enn den analytiske deteksjonsgrensen på $10 \mu\text{g/l}$. Medianverdien for Fjell_korr ligger på $15 \mu\text{g/l}$, mens maksimumkonsentrasjonen på $831 \mu\text{g/l}$ kommer fra en brønn i prekambrisisk gneis (bergartsgruppe 98) i Østfold fylke. Generelt høye konsentrasjoner finnes i bergartsgruppe 92 (prekambrisisk granitt). Sammenlignet med fjellbrønnene har grunnvann i løsmasser og overflatevann signifikanlt lavere konsentrasjoner.

Bromid: Bromidkonsentrasjoner har en rimelig god sammenheng med klorid, og har sin opprinnelse i havsalter. Mediankonsentrasjonen ligger lavere enn den analytiske deteksjonsgrensen ($< 0,1 \text{ mg/l}$) i alle bergartsgrupper.

Kadmium: Forekommer sjeldent i konsentrasjoner større enn den analytiske deteksjonsgrensen på $5 \mu\text{g/l}$. 9 av de 10 prøvene hvor $\text{Cd} > 5 \mu\text{g/l}$ kommer fra Buskerud fylke. Drikkevannsnormen ligger også på $5 \mu\text{g/l}$. Høyeste målte konsentrasjon i en fjellbrønn er $7 \mu\text{g/l}$. Det ble ikke detektert Cd i grunnvann fra løsmassebrønnene; heller ikke i overflatevann.

Cerium: Deteksjonsgrensen for cerium var $50 \mu\text{g/l}$, og 41 av 1604 prøver i Fjell_korr hadde konsentrasjon over deteksjonsgrensen. Medianverdien i alle grupper er $< 50 \mu\text{g/l}$. Høyeste verdi ($271 \mu\text{g/l}$) kommer fra bergartsgruppe 92 (prekambrisisk granitt) i Østfold fylke. Ce ble knapt påvist i grunnvann fra løsmassebrønner eller overflatevann.

Kobolt: Kobolt er kun påvist i én prøve fra Fjell_korr (men i to prøver fra Fjell_tot), med en konsentrasjon på ca. $35 \mu\text{g/l}$. I alle andre prøver har Co en konsentrasjon mindre enn den analytiske deteksjonsgrensen ($< 10 \mu\text{g/l}$).

Krom: Krom er kun påvist i én prøve fra Fjell_tot (ca. $11 \mu\text{g/l}$). I alle andre prøver har Cr en konsentrasjon mindre enn den analytiske deteksjonsgrensen ($< 10 \mu\text{g/l}$).

Kobber: Finnes i konsentrasjoner over deteksjonsgrensen ($5 \mu\text{g/l}$) i 1165 av 1604 prøver i Fjell_korr. Medianverdien for Fjell_korr er $15 \mu\text{g/l}$, og største konsentrasjon er $0,91 \text{ mg/l}$ fra en borebrønn i bergartsgruppe 74 i Buskerud. Kobber kan ha sin opprinnelse fra kontakt med kobberledninger i huset. 14 av 1604 prøver (0,9 %) av prøvene i Fjell_korr overskider drikkevannsnormen på $0,3 \text{ mg/l}$.

Lantan: Deteksjonsgrensen for lantan var $10 \mu\text{g/l}$, og 12 av 1604 prøver i Fjell_korr hadde konsentrasjon over deteksjonsgrensen. Medianverdien i alle bergartsgrupper er $< 10 \mu\text{g/l}$. De høyeste verdiene (to prøver på $27 \mu\text{g/l}$) kommer fra ukjent bergart (manglende koordinater) i Oslo og Hordaland fylker. Lantan ble knapt påvist i grunnvann fra løsmassebrønner eller overflatevann. Det viser seg å være overraskende dårlig korrelasjon mellom Ce og La, som kan tyde på upåliteligheten av ICP-AES analysene ved såpass lave konsentrasjoner (Ce og La er kjemisk lignende i mange sammenheng). Dette kan også skyldes at Ce blir immobilisert som en +IV-oksid (i motsetning til La) under forvitring i et oksiderende miljø (Vlasov 1966, Goldstein & Jacobsen 1988, Elderfield et al. 1990).

Litium: Deteksjonsgrensen for litium var $5 \mu\text{g/l}$, og 351 av 1604 prøver i Fjell_korr hadde konsentrasjon over deteksjonsgrensen. Medianverdien i alle bergartsgrupper og fylker var $< 5 \mu\text{g/l}$, med unntak av bergart 92 (prekambriske granitter) hvor medianen var $6 \mu\text{g/l}$. Høyeste verdi ($324 \mu\text{g/l}$) kommer fra ukjent geologi (manglende koordinater) i Buskerud. Medianverdien for hele datasett for fjellbrønner (Fjell_korr) var også $< 5 \mu\text{g/l}$.

Molybden: Deteksjonsgrensen for molybden var $10 \mu\text{g/l}$, og 200 av 1604 prøver i Fjell_korr hadde konsentrasjon over deteksjonsgrensen. Medianverdien i alle bergartsgrupper er $< 10 \mu\text{g/l}$. Høyeste verdi ($644 \mu\text{g/l}$) kommer fra bergartsgruppe 95 (prekambriske metasedimenter / gneis) i Buskerud fylke. Molybden ble i liten grad påvist i grunnvann fra løsmassebrønner eller overflatevann.

Nikkel: Deteksjonsgrensen for nikkel var $20 \mu\text{g/l}$, og 31 av 1604 prøver i Fjell_korr hadde konsentrasjon over deteksjonsgrensen. Medianverdien i alle bergartsgrupper og fylker var $< 20 \mu\text{g/l}$. Høyeste verdi ($441 \mu\text{g/l}$) kommer fra bergartsgruppe 71 (aledonsk granitt/ tonalitt) i Hordaland. Medianverdien for hele datasett for fjellbrønner (Fjell_korr) var også $< 20 \mu\text{g/l}$. 8 av 1604 (0,5 %) fjellbrønner fra datasettet Fjell_korr har nikkel-konsentrasjon større enn drikkevannsnormen på $50 \mu\text{g/l}$.

Fosfor og Fosfat: Fosfor ble målt som total-P på ICP-AES, mens fosfat-ionet (PO_4^{3-}) ble bestemt med ionekromatografi. 1 mg/l P tilsvarer $3,07 \text{ mg/l PO}_4^{3-}$, som også tilsvarer $2,29 \text{ mg/l P}_2\text{O}_5$. Med unntak av noen få prøver var det en rimelig grad av overenstemmelse mellom analysene (Fig. 21a).

Deteksjonsgrensen for P var 100 µg/l. 71 av 1604 prøver i Fjell_korr hadde konsentrasjon over deteksjonsgrensen. Medianverdien i alle bergartsgrupper og fylker var < 100 µg/l. Høyeste verdi (994 µg/l P) kommer fra bergartsgruppe 71 (kaledonsk granitt/ tonalitt) i Hordaland. Medianverdien for hele datasett for fjellbrønner (Fjell_korr) var også < 100 µg/l.

Når det gjelder fosfat var deteksjonsgrensen 200 µg/l. 15 av 1604 prøver i Fjell_korr hadde konsentrasjon over deteksjonsgrensen. Medianverdien i alle bergartsgrupper og fylker var < 200 µg/l. Høyeste verdi (2,49 mg/l PO₄³⁻) kommer fra bergartsgruppe 98 (prekambrisisk gneis) i Østfold. Medianverdien for hele datasett for fjellbrønner (Fjell_korr) var også < 200 µg/l. Grunnvannet fra én brønn i løsmasse hadde en konsentrasjon på 3,1 mg/l PO₄³⁻.

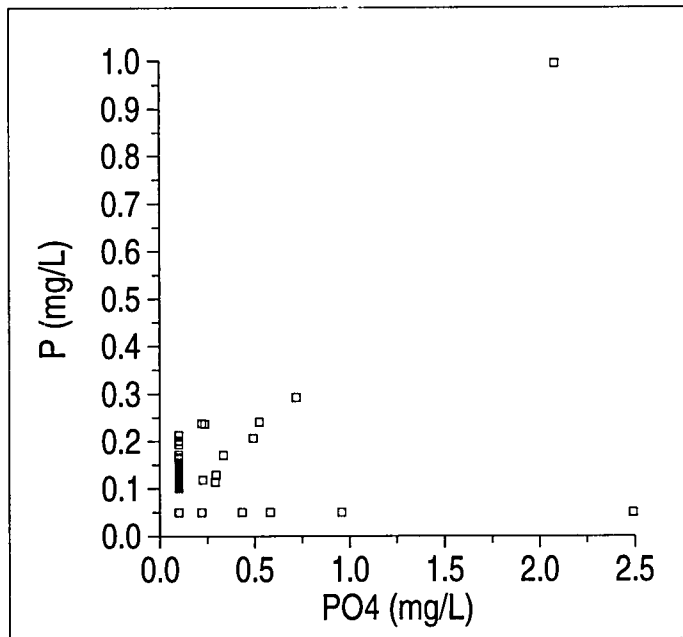


Fig. 21a. Korrelasjon av total-P (ICP-AES) med PO₄³⁻ (med ionekromatograf) for datasettet Fjell_korr. Husk at de fleste prøvene er under deteksjonsgrensen; punktet nederst til venstre på plottet representerer et stort antall prøver. Korrelasjonen er dermed ikke så dårlig som den ser ut!

Ingen prøver overskridet drikkevannsnormen på 5 mg/l P som P₂O₅ (= 2,18 mg/l P, eller 6,68 mg/l P som PO₄³⁻).

Bly: Deteksjonsgrensen for bly var 50 µg/l, og 23 av 1604 prøver i Fjell_korr hadde konsentrasjon over deteksjonsgrensen. Medianverdien i alle bergartsgrupper og fylker var <50 µg/l. Høyeste verdi kommer fra en vannprøve av ukjent opprinnelse (97 µg/l) fra et sted i Aust Agder fylke hvor bergrunnen består av prekambrisisk gneis (Bergartsgruppe 98). Innen

datasettet Fjell_korr kommer den høyeste konsentrasjonen ($65 \mu\text{g/l}$) fra to brønner i Buskerud og Hordaland, i henholdsvis bergartsgruppe 95 (prekambriske metasedimenter og gneis) og 72 (aledonsk gabbro / dioritt / metamorfe bergarter). Medianverdien for hele datasett for fjellbrønner (Fjell_korr) var også $< 50 \mu\text{g/l}$. Siden drikkevannsnormen ($20 \mu\text{g/l}$) ligger på et lavere nivå enn den analytiske deteksjonsgrensen, må mer følsomme analytiske teknikker anvendes før man kan si noe om andel overskridelser av drikkevannsnormen. Bly kan komme fra berggrunnen eller fra bly bruk i ledningsnettet.

Scandium: Deteksjonsgrensen for scandium var $1 \mu\text{g/l}$. Kun to vannprøver har Sc-konsentrasjoner større enn dette; $1,2$ og $1,8 \mu\text{g/l}$, fra fjellbrønner i bergartsgruppe 91 (nordvestre gneisregion) i Sogn og Fjordane. Ned mot deteksjonsgrensen, må slike verdier imidlertid betraktes som noe upålitelige.

Silisium: Silisium i grunnvann kommer nesten utelukkende fra forvitring av silika / silikatmineraler. Silisium konsentrasjonen styres ofte av likevekt med en silika-fase (f.eks. kalsedon). Løseligheten til silika er i liten grad pH-avhengig under pH=9. Over denne verdien blir silika mer løselig (Hilmo 1989, Appelo & Postma 1996). I vanntyper med lav oppholdstid (f.eks. i grunnvann i løsmasser) eller få silisiummineraler, kan konsentrasjonen være mindre enn den likevekten ville tils. Ved aggressive vanntyper (surt vann fra kisforvitring, vann med mye CO_2 , eller meget alkalisk vann) kan silisiumkonsentrasjonen være høyere, pga. at silikatmineralene forvitres fortare enn kalsedon felles ut (dvs. ikke likevekt). Deteksjonsgrensen for silisium var $0,02 \text{ mg/l}$, og alle vannprøver inneholdt Si i større konsentrasjoner enn dette. Det er granittbergartene som har høyeste mediankonsentrasjoner for Si, nemlig bergartsgruppe 92 (prekambriske granitt, median $6,09 \text{ mg/l}$) og bergartsgruppe 54 (permiske dyp- og gangbergarter, median $5,78 \text{ mg/l}$). Bergartsgruppe 93 (prekambriske anortositt / charnockitt) har også en høy medianverdi på $5,82 \text{ mg/l}$. Laveste mediankonsentrasjon ($3,75 \text{ mg/l}$) kommer fra bergartsgruppe 76 (aledonsk grønnstein, grønnskifre, meta-andesitt, amfibolitt). Fylkesvis kommer høyeste medianverdi fra Østfold ($6,45 \text{ mg/l}$). Laveste medianverdi kommer fra Finnmark ($2,93 \text{ mg/l}$). Løsligheten til silika avhenger av temperatur; Fig. 37a kan antyde en synkende trend i mediankonsentrasjonen for Si fra sør til nord i Norge. Median Si-konsentrasjonen for hele datasett (Fjell_korr) er $4,78 \text{ mg/l}$. Høyeste målte verdi ($17,1 \text{ mg/l}$) kommer fra bergartsgruppe 74 (aledonske metasedimenter) i Møre og Romsdal, mens laveste konsentrasjon ($0,13 \text{ mg/l}$) kommer fra bergartsgruppe 91 (nordvestre gneisregion), også i Møre og Romsdal. Grunnvann i løsmassebrønnene (Losm_korr) har en signifikant lavere mediankonsentrasjon ($3,16 \text{ mg/l}$) for Si enn Fjell_korr. Overflatevannsprøvene har en signifikant lavere median ($1,08 \text{ mg/l}$) enn løsmassebrønnene.

Strontium: har kjemiske likhetstrekk med kalsium, men er en bedre indikatorparameter av grunnvannets modenhet / oppholdstid. Det understrekkes at det her *ikke* snakkes om såkalt radiostrontium (strontium-90). Her omtales naturlig, ikke-radioaktiv strontium, som ikke har noen kjente negative helseeffekter i de konsentrasjonene man finner i grunnvann. Det er

bergartsgruppe 88 som har høyeste mediankonsentrasjon for Sr (prekambrisk amfibolitt / gneis) med en median på 0,354 mg/l (354 µg/l). Laveste mediankonsentrasjoner kommer fra bergartsgrupper 72 (kaledonsk gabbro, dioritt, ultramafiske bergarter; median 73 µg/l) og 92 (prekambrisk granitt; median 75 µg/l). Fylkesvis kommer høyeste medianverdi fra Oppland (318 µg/l). Laveste medianverdiene kommer fra Østfold og Rogaland (begge 72 µg/l). Median Sr-konsentrasjonen for hele datasett (Fjell_korr) er 131 µg/l. Høyeste målte verdi (10,2 mg/l) kommer fra bergartsgruppe 86 (kaledonske charnockitt / anortositt) i Hordaland, mens laveste konsentrasjon (mindre enn analytisk deteksjonsgrense; dvs. < 1 µg/l) finnes i 7 ulike fjellbrønner i datasettet Fjell_korr. Grunnvann i løsmassebrønnene (Losm_korr) har en signifikant lavere mediankonsentrasjon (64 µg/l) for Sr enn Fjell_korr. Overflatevannsprøvene har en signifikant lavere median (16 µg/l) enn løsmassebrønnene.

Titan: Deteksjonsgrensen for titan var 5 µg/l, og 57 av 1604 prøver i Fjell_korr hadde konsentrasjon over deteksjonsgrensen. Medianverdien i alle bergartsgrupper og fylker var < 5 µg/l. Høyeste verdi (106 µg/l) kommer fra bergartsgruppe 91 (nordvestre gneisregion) i Hordaland. Medianverdien for hele datasett for fjellbrønner (Fjell_korr) var også < 5 µg/l. Kartet i fig. 39c antyder en større andel av forhøyede Ti-konsentrasjoner i kystnære strøk i Hordaland, Sogn og Fjordane og på Sunnmøre.

Vanadium: Deteksjonsgrensen for vanadium var 5 µg/l, og 40 av 1604 prøver i Fjell_korr hadde konsentrasjon over deteksjonsgrensen. Medianverdien i alle bergartsgrupper og fylker var < 5 µg/l. Høyeste verdi (21 µg/l) kommer fra bergartsgruppe 92 (prekambrisk granitt) i Østfold. Medianverdien for hele datasett for fjellbrønner (Fjell_korr) var også < 5 µg/l. Kartet i fig. 40c antyder en større andel av forhøyede V-konsentrasjoner i Østfold, Vestfold, Golumrådet og rundt Førde.

Yttrium: Deteksjonsgrensen for yttrium var 1 µg/l, og 324 av 1604 prøver i Fjell_korr hadde konsentrasjon over deteksjonsgrensen. Medianverdien i alle bergartsgrupper og fylker var < 1 µg/l, unntatt Oslo med en mediankonsentrasjon på 1,8 µg/l. Høyeste verdi (22 µg/l) kommer fra ukjent geologi (manglerende koordinater) i Hordaland. Medianverdien for hele datasett for fjellbrønner (Fjell_korr) var også < 1 µg/l.

Zirkonium: Deteksjonsgrensen for zirkonium var 5 µg/l, og 6 av 1604 prøver i Fjell_korr hadde konsentrasjon over deteksjonsgrensen. Medianverdien i alle bergartsgrupper og fylker var < 5 µg/l. Høyeste verdi (13 µg/l) kommer fra bergartsgruppe 91 (Nordvestre gneisregion) i Sogn og Fjordane. Medianverdien for hele datasett for fjellbrønner (Fjell_korr) var også < 5 µg/l. Kartet i fig. 42c antyder en større andel av forhøyede Zr-konsentrasjoner rundt Førde.

6.18 Farge

Det ble gjort en subjektiv vurdering av de fleste vannprøvenes farge ved ankomst på NGU.

Prøvene ble tildelt et tall fra 0 -2:

0 - klart vann, ingen synlig farge.

1 - noe brunfarge

2 - mye brunfarge

Brunfarge på vannprøven skyldes ofte naturlige organiske syrer ("humus-syrer") i vannet. Det kan også skyldes at oppløst jern (II) i jernrike vannprøver oksideres og felles ut som små rødbrune partikler jern (III) hydroksid.

Fig. 21b (øverst venstre / øverst høyre) viser fordeling av farge i vannprøver.

Fastfjellsbrønnene (Fjell_korr) har forholdsvis flest klare prøver (94,9 % med farge = 0; 4,8 % med farge = 1; 0,3 % med farge = 2: n = 1573), mens løsmassebrønnene (Losm_korr) har litt høyere andel med farge (93 % med farge = 0; 7 % med farge = 1; 0 % med farge = 2: n = 71). Overflatevannsprøvene (Overfl_korr) har høyest andel prøver med synlig farge (86 % med farge = 0; 14 % med farge = 1; 0 % med farge = 2: n = 7). Dette er i tråd med forventningene; nemlig at overflatevann har generelt større innhold av humussyrer enn dypt grunnvann, men forskjellene kan ikke sies å være signifikante. Det er likevel verdt å merke seg at det bare er i vann fra fjellbrønner at det finnes vann med farge=2.

Det finnes en viss korrelasjon av brunfarge med høyt jerninnhold. Dette kan enten antyde at høye fargetall (farge=2) skyldes utfelling av jern eller at jern kompleksbindes til humusstoffer (fig. 21b øverst til høyre).

6.19 Tolkning av datasettet

Formålet med denne rapporten er å presentere resultatene fra undersøkelsen som statistiske fordelinger og geografiske kart, heller enn å gi en omfattende tolkning av dataene. Fig. 21b og c viser imidlertid noen få korrelasjonsplotter mellom ulike parametere som er verdt å kommentere:

Radon vs. fluorid

Det eksisterer en viss forbindelse mellom radon og fluorid. Mange bergarter som gir grunnvann med høyt radon, gir også høyt fluoridinnhold (f.eks. prekambriske granitt, bergart 92), mens bergarter med grunnvann med lavt radoninnhold gir lavt fluoridinnhold (anortositt/charnockitt, bergart 93).

Fig. 21b viser et plott av fluorid mot radon for datasettet Fjell_korr. Det er en stor spredning av data, men en svak korrelasjon kan påvises:

$$F = 0,583 + 0,00038 * Rn \quad r = 0,385$$
$$\log_{10}F = -1,45 + 0,457 * \log_{10}Rn \quad r = 0,512$$

Innenfor en bestemt bergartsgruppe kan man også finne korrelasjonen. For eksempel, for bergart 92:

$$F = 1,54 + 0,000195 * Rn \quad r = 0,442$$
$$\log_{10}F = -0,757 + 0,306 * \log_{10}Rn \quad r = 0,475$$

hvor Rn er i Bq/l og F i mg/l.

Fluorid mot pH

Tidligere undersøkelser (f.eks. Morland et al. 1997) har påvist en klar sammenheng mellom høyt fluorinnhold i grunnvann og høy pH. Dette ser vi også her (Fig. 21b).

Det er nesten ikke fluoridkonsentrasjoner > 1,5 mg/l i vannprøver med pH < 7. De aller høyeste fluoridverdier forekommer ved pH > 8.

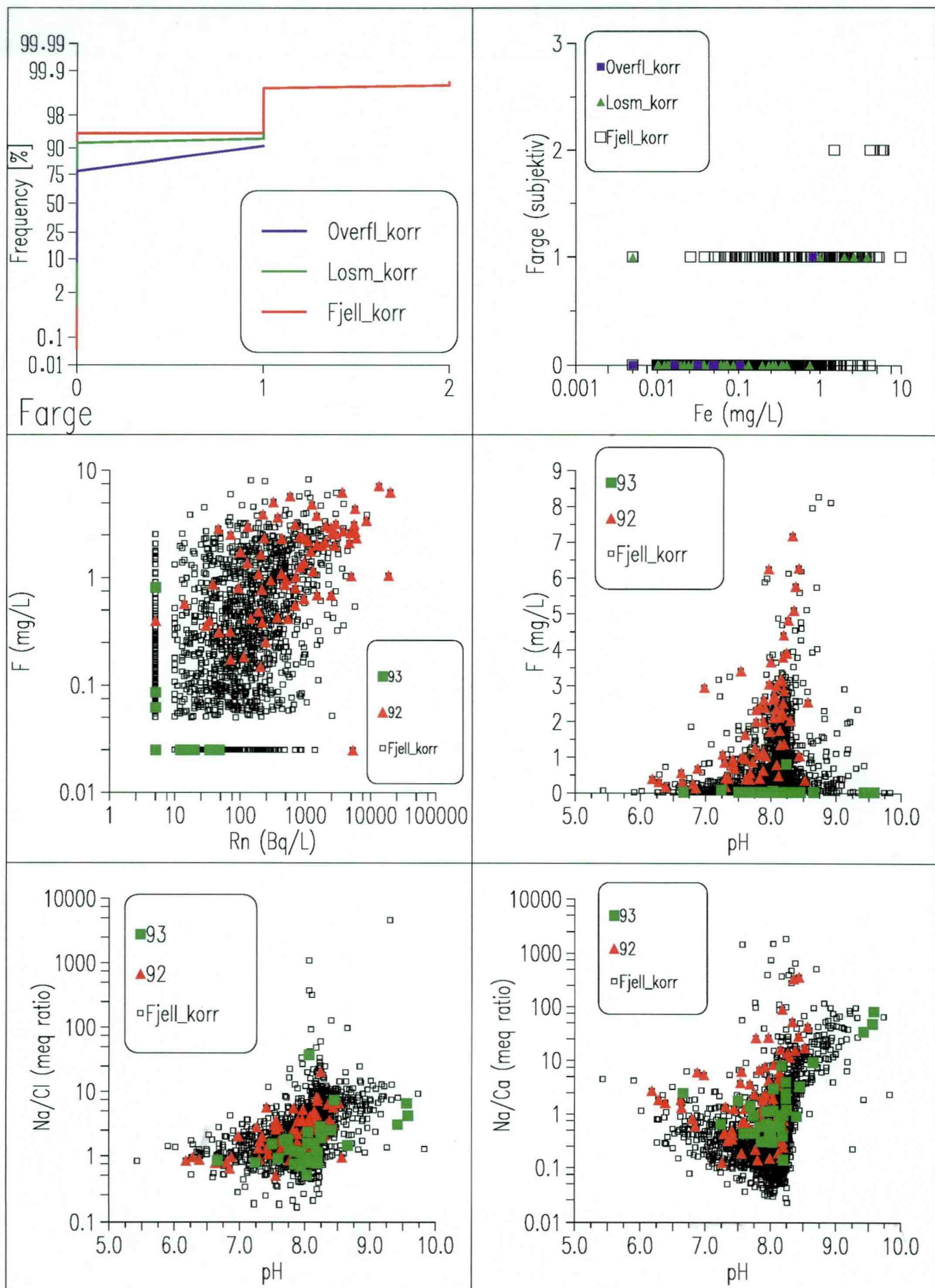
Dette kan hjelpe oss til å forstå fluoridens opprinnelse i grunnvann. Det kan være to mulige forklaringer for pH-avhengigheten:

(i) at fluoriden kommer fra oppløsning av mineralet flusspat (CaF_2) på sprekkeflater. Denne reaksjonen er ikke direkte pH-avhengig, men det kan være en indirekte pH avhengighet. Ved høy pH får man muligens utfelling av kalkspat, og dermed fjerning av Ca^{++} -ioner fra vannet, som gjør flusspaten lettere løselig.

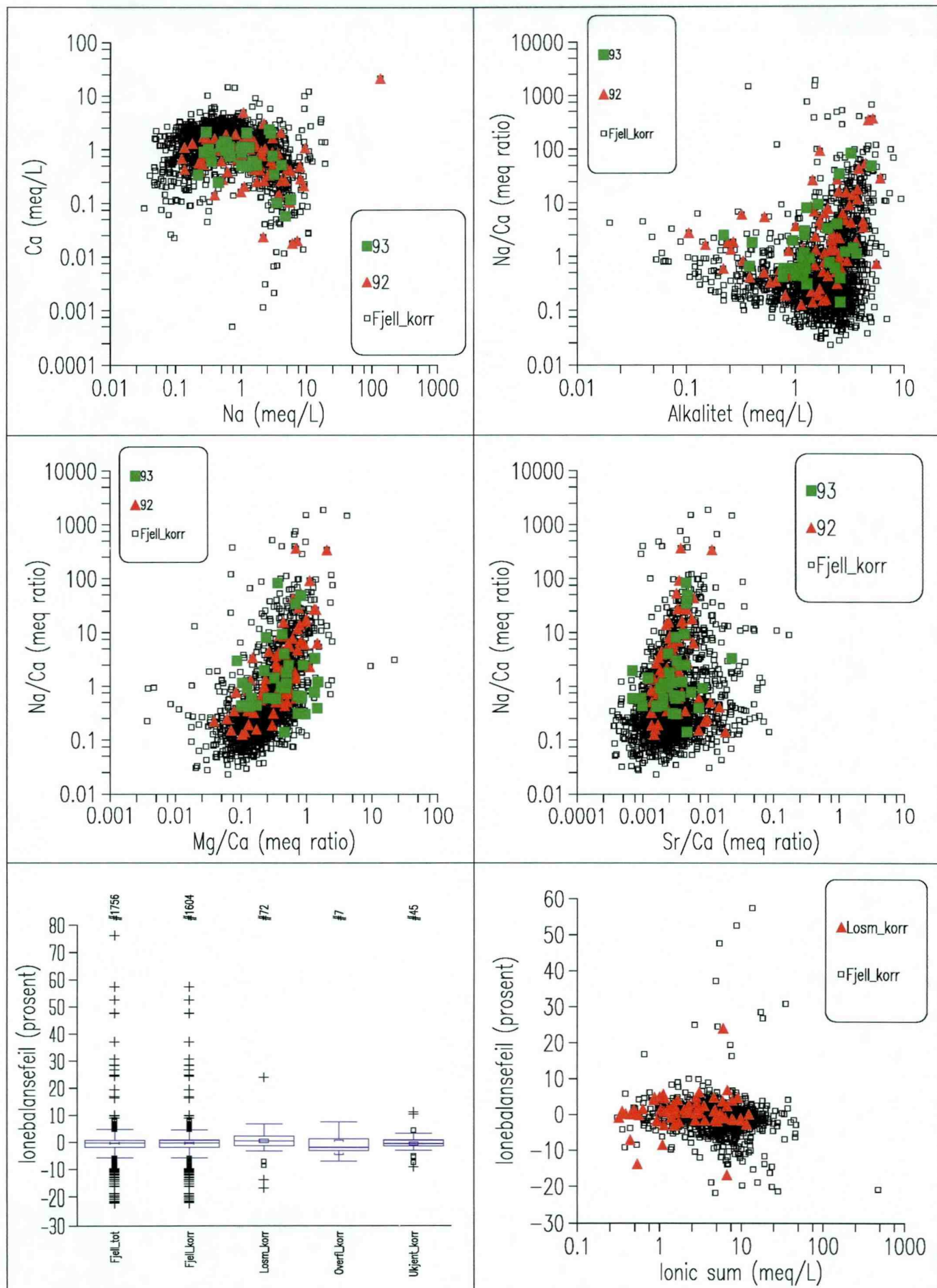
(ii) at fluoriden kommer fra ionebyttereaksjoner av F^- mot OH^- på glimmer, amfibol eller apatitt mineraler. Desto høyere er pH, jo flere OH^- ioner har man i vannet. Disse OH^- ionene adsorberes på ionebytteplassene på mineraler, med forskyvning av F^- til vannfasen.

At man har lite F^- i grunnvann i anortositt-bergartene (bergart 93) skyldes sannsynligvis at man ikke har en fluor-kilde (fluorholdige mineraler) tilstede i bergarten, fordi forholdene ellers er perfekte for fluorid i grunnvann (generelt høy pH, lavt kalsiuminnhold).

Figur 21b. Diagrammer som viser forhold mellom farge (subjektiv vurdering), jern, fluorid, radon, pH, Na/Cl og Na/Ca, for datasettene Fjell_korr, Bergart 92 (prekambriske granitt) og Bergart 93 (prekambriske anortositt / charnockitt).



Figur 21c. Diagrammer som viser forhold mellom Na, Ca, alkalitet, Na/Ca, Mg/Ca, Sr/Ca, samt fordeling av ionebalansefeil i forhold til prøvetype og prøvens totale ioneinnhold. 92 = Bergart 92 (Prekambriske granitt); 93 = Bergart 93 (Prekambriske anortositt / charnockitt).



Na/Cl-forhold

I nydannet grunnvann har man ofte omtrent like mengder Na^+ og Cl^- ioner, som stammer fra havsalter (NaCl) i nedbør. Ved økende oppholdstid, foregår det forvitring av Na-feltspat og andre Na-holdige mineraler, som frigjør mer Na^+ til vannet. Siden Cl^- vanligvis ikke har noen betydelig kilde fra berggrunnen, og siden Na^+ er meget løselig og ikke felles ut, kan Na/Cl forholdet i grunnvann ofte være en god indikator på grunnvannets modenhet.

Dette bekreftes i fig. 21b (nederst venstre) hvor man ser en korrelasjon mellom Na/Cl og pH i grunnvann i fjell. Begge parametre kan ansees å ha en forbindelse med grunnvannets "modenhet". Spesielt med $\text{pH} > 8,2$, har de fleste vannprøvene et betydelig overskudd av Na.

I noen prøver med $\text{pH} < 8,2$, finnes det et betydelig underskudd av Na, med hensyn til Cl. Dette kan muligens skyldes analysefeil, men kan også skyldes kationebytte reaksjoner på noen mineraler (f.eks. leire).

Et fåtall av prøvene har ekstremt høyt Na/Cl forhold (2 stk. > 1000 , 5 stk. > 100 mekv forhold). Dette kan skyldes analysefeil i noen tilfeller, men fig. 21e viser at de prøvene med aller høyest Na/Cl forhold har tilfredsstillende ionebalanse (dvs. at det høye Na/Cl forholdet er reelt).

Na/Ca forhold

Plottet av Na/Ca mot pH ligner på plottet Na/Cl mot pH. Det finnes nemlig et stort sprang ved pH 8,2. Ved $\text{pH} > 8,2$ har nesten alle prøver et Na/Ca (mekv) forhold som er større enn 1. Dette ble først lagt merke til i noen prøver fra Egersund-anortositten (bergart 93), men fenomenet er ikke begrenset til denne gruppen.

Flere mulige forklaringer kan fremmes:

- (i) at det foregår ionebytting av Na for Ca ved høy pH.
- (ii) at disse vannprøvene er fra sterkt reduserende forhold hvor bl.a. sulfat reduseres til sulfid. Sulfatredusjon frigjør alkalitet som hever pH, og som medfører overmetning med hensyn til kalkspat. Kalkspat felles ut og Na/Ca forholdet øker (og fluorid bli mer løselig). Flere forfattere har også notert at ionebytteprosesser (type i) fremmes under reduserende forhold (Edmunds 1981). Dette er en elegant forklaring, men ved egen prøvetaking av noen utvalgte brønner i Egersund området, har vi ikke kunnet påvise sulfatredusjon ved lukt av H_2S . Datasettet viser heller ikke noen klar korrelasjon mellom høy Na/Ca og lav sulfat (fig. 21d), eller lav sulfat og høy pH.

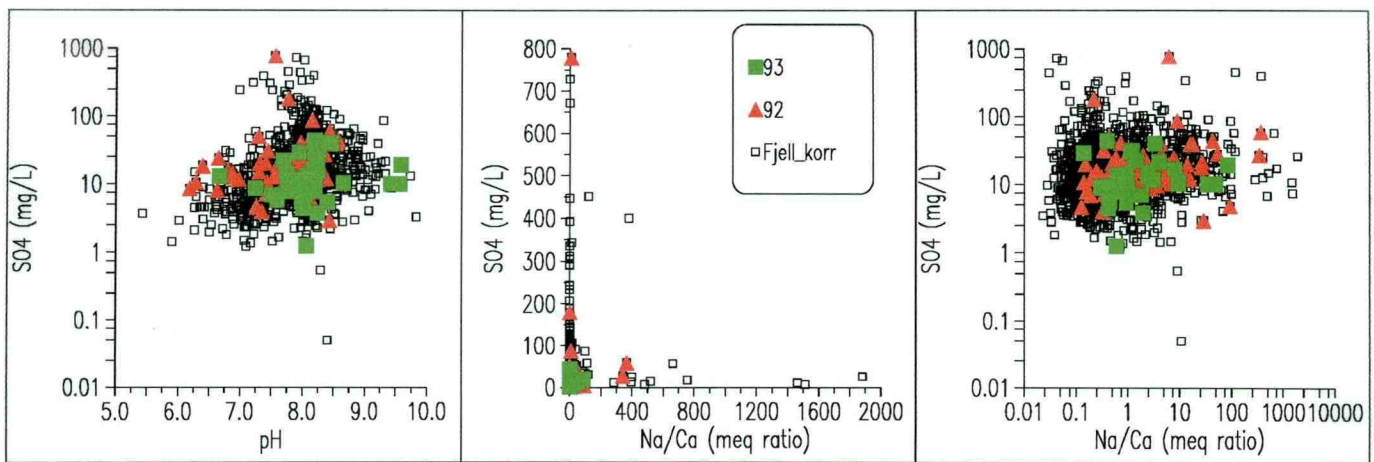


Fig. 21d. x-y plott som viser manglende korrelasjon mellom sulfat og pH, samt sulfat og Na/Ca forhold. Dette antyder at reduserende forhold ikke er årsaken til prøvene med høy pH og høyt Na/Ca forhold.

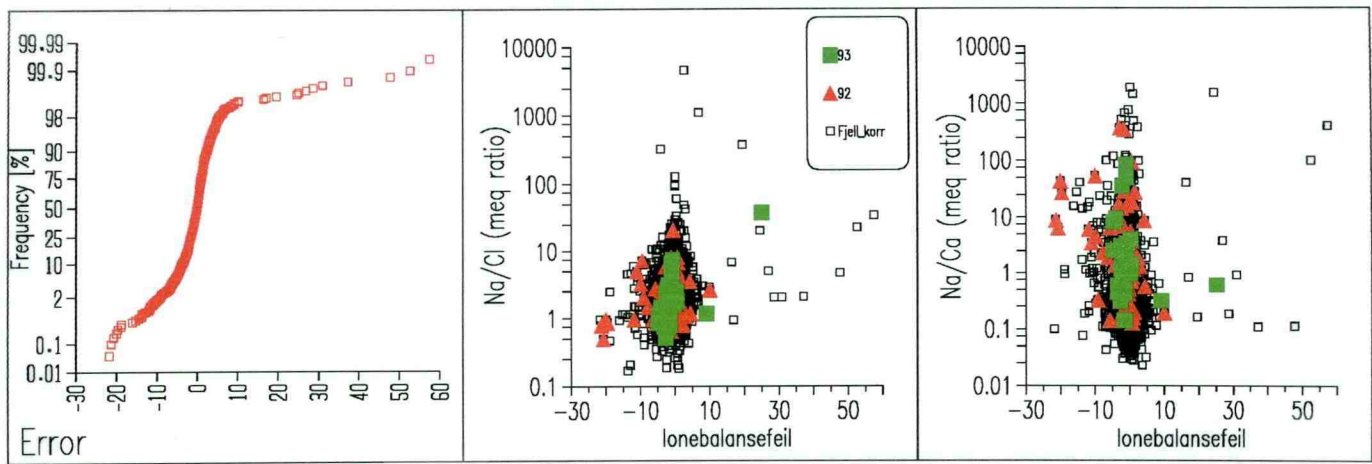
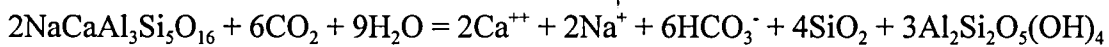


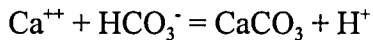
Fig. 21e. Frekvensfordeling av lonebalansefeil (%) for datasettet Fjell_korr, samt x-y plott av lonebalansefeil mot forholdene Na/Cl og Na/Ca.

(iii) at Na/Ca forholdet skyldes naturlige grunnvannsutviklingveier, som medfører utfelling av kalkspat ved høy pH. Et eksempel på dette er forvitring av Egersund-anortositten som nesten utelukkende består av Na/Ca-plagioklas (andesin/labradoritt).



Feltspat + kullstoff + vann = kalsium + natrium + alkalitet + silika + kaolinitt

Forvitringen frigjør Na^+ , Ca^{++} og HCO_3^- til løsningen. Forvitringen hever også pH. Når ionekonstrasjonene og pH blir tilstrekkelig høy, felles kalkspat ut av løsningen:



Det finnes ingen tilsvarende utfellingsreaksjoner som involverer Na^+ . Natrium fortsetter derfor å akkumuleres i vannet. Dermed heves Na/Ca forholdet. Legg merke til at kalkspatutfelling har en viss buffer-effekt på pH. Foreløpige modelleringsforsøk antyder at man oppnår høyere pH-verdier hvis man har et hydrokjemisk system som er lukket mht. CO_2 (dvs. at det ikke forekommer betydelig kontinuerlig tilførsel av CO_2 med nydannelsesvann). Dette kan forklare de tildels meget høye pH verdiene som finnes noen steder.

Hvis den siste forklaringen er riktig, ville man også vente å se høyere Mg/Ca og Sr/Ca forhold ved høyere Na/Ca forhold, fordi MgCO_3 og SrCO_3 er mer løselige enn CaCO_3 , og ikke felles ut i samme grad som kalkspat. På fig. 21c, ser man en klar korrelasjon mellom Na/Ca og Mg/Ca, men ingen klar korrelasjon mellom Sr/Ca og Na/Ca. Det er derfor vanskelig å trekke noen klare konklusjoner; en mulig forklaring på manglende korrelasjon mellom Sr/Ca og Na/Ca er at Sr felles ut som et sporelement i selve kalkspaten.

6.20 Feilkilder

Dette prosjektet gir oss to mulige måter å vurdere feilkilder på (uavhengig av laboratoriets egne kvalitetssikringssystemer):

Ionebalanse

Hovedionene bestemmes ved 3 metoder

ICP-AES for Ca^{++} , Na^+ , Mg^{++} , K^+

Ionekromatograf (IC) for Cl^- , $\text{SO}_4^{=}$, NO_3^- , F^-

Titrering for alkalitet ($\text{HCO}_3^- + \text{CO}_3^{=}$)

En vannprøve er elektrisk nøytral. Derfor skal summen av hovedkationene (i mekv/l) være lik summen av hovedanionene (mekv/l). Feil i ionebalanse regnes som:

$$\text{Ionebalansefeil} = \frac{\text{Sum kationer} - \text{Sum anioner}}{\text{Sum kationer} + \text{Sum anioner}} * 100 \%$$

For de fleste vannprøvene bør feilen være innen +/- 5 %. Dersom en større ionebalansefeil oppstår, skyldes det enten:

- (i) feilanalyse eller
- (ii) betydelig innhold av andre ioner enn dem som er tatt med i ionebalansebergening (f.eks. H^+ , Al, Fe, organiske anioner), eller
- (iii) partikulært stoff og/eller utfelling/kolloider i vannet

Resultatene av ionebalanseberegningene vises i fig. 21c og fig. 21e. I datasettet Fjell_korr er fordelingen av ionebalansefeilene som følger:

Tabell 3. Fordeling av ionebalansefeil i datasettet Fjell_korr (N = 1604)

Feil	$\leq \pm 1\%$	$\leq \pm 2,5\%$	$\leq \pm 5\%$	$\leq \pm 10\%$	$\leq \pm 20\%$	$> \pm 20\%$
Antall prøver (av 1604)	667	1187	1468	1562	1591	13
% av prøvene	41,6	74,0	91,5	97,4	99,2	0,8

Høyeste ionebalansefeil er 57,4 %, laveste er -21,8 %, mens medianfeilen er -0,2 %.

Mulige korrelasjoner mellom ionebalansefeil av diverse andre parametre er undersøkt. Det er ingen åpenbar korrelasjon mellom ionebalansefeil og partikkelninnhold, farge, eller jern (det er tenkelig at alle disse kunne forstyrre ioneinnholdet). Det eneste som vi kan si er at de største ionebalansefeil oppstår ved forholdsvis høyt ioneinnhold (= sum hovedkationer + sum hovedanioner i mekv/l): dette vises på fig. 21c.

Duplikatanalyser

Det ble kjørt duplikatanalyser på tilsammen 95 av prøvene. På 81 av disse 95 ble det utført duplikatanalyser på ICP-AES, på 75 av prøvene på pH og alkalitet og på 74 av prøvene på IC. Antall prøver der det er utført komplett duplikatanalyse (ICP-AES, pH, alkalitet og IC) er 60. Figur 21f og 21g viser resultatene plottet i XY-diagram. Alle analyseresultater som er lavere enn den analytiske deteksjonsgrensen blir plottet som en verdi like halve deteksjonsgrensen. Dersom en verdi ligger helt ned mot deteksjonsgrensen og duplikatanlysen gir en verdi lavere enn

deteksjonsgrensen, vil dette vises som et stort avvik i et XY-diagram. Når en ser bort fra dette problemet, viser duplikatanalysene en svært god reproducertbarhet.

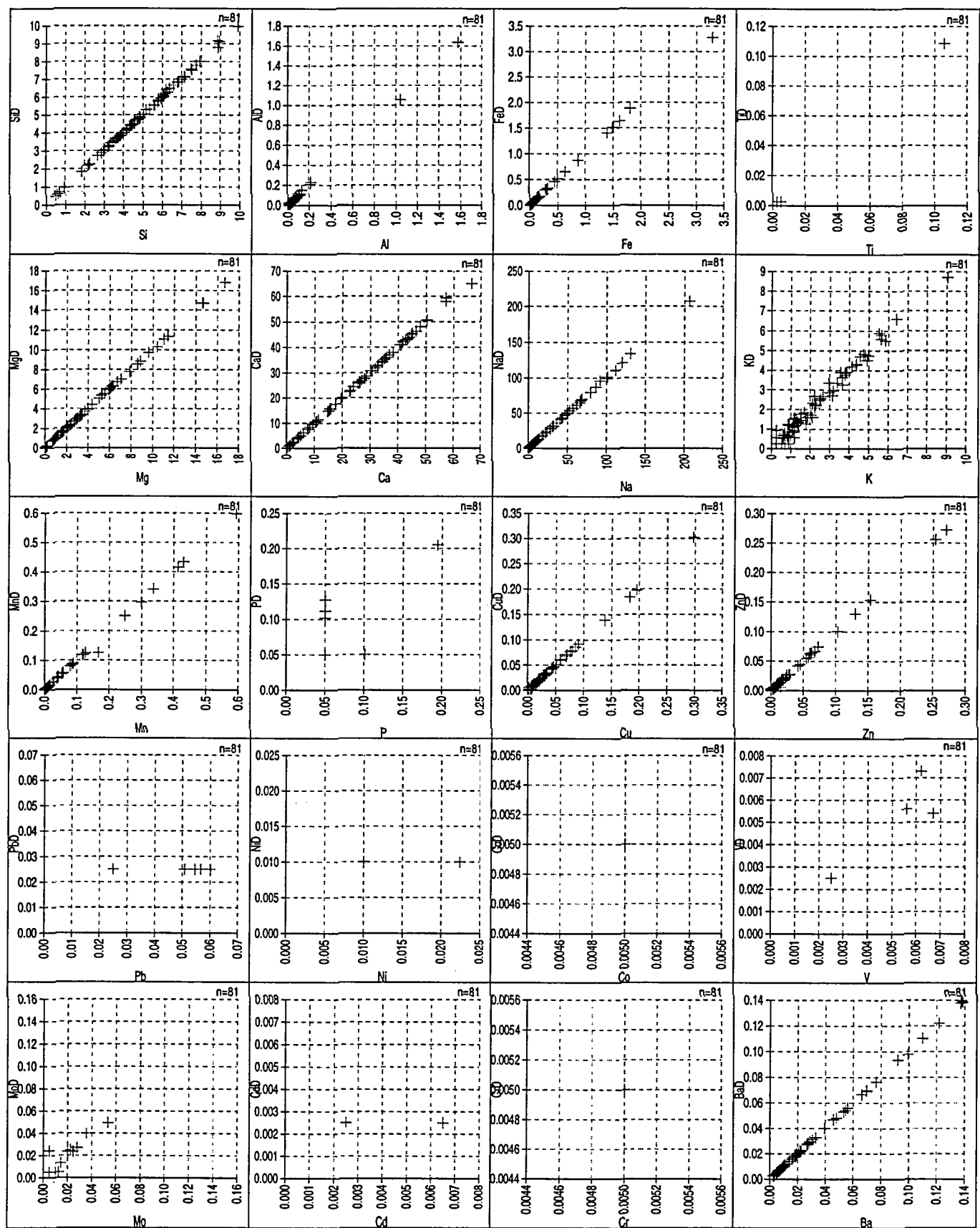


Fig. 21f Ulike x-y plott som viser analyseresultater (x) plottet mot duplikatanalyser (y)

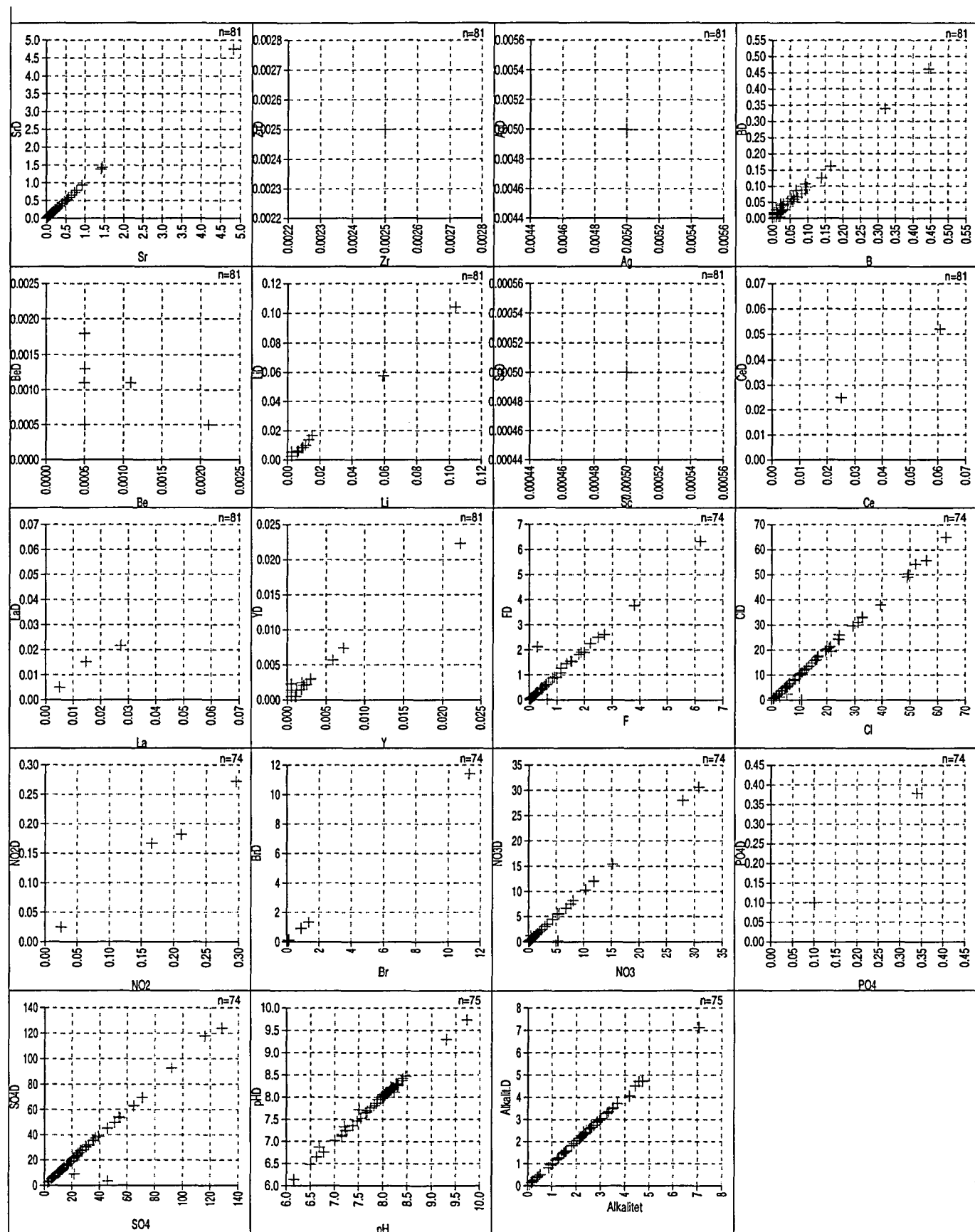


Fig. 21f Ulike x-y plott som viser analyseresultater (x) plottet mot duplikatanalysen (y)

7. KONKLUSJONER

En ikke ubetydelig andel av borede grunnvannsbrønner i fjell gir vann som er utenfor kvalitetsnormene for godt drikkevann. Nedenfor er vist en tabell som sammenfatter andelen brønner i som ikke tilfredsstiller drikkevannsnormen for en eller flere parametere.

Tabell 4: Oppsummering av andel fjellborebrønner (Fjell_korr) med drikkevann utenfor normene.

Parameter	Norm	Fotnote	Utenfor/total
pH (surhetsgrad)	< 8,5	1	97/1604
	> 6,5	1	18/1604
Radon	< 500 Bq/l	3	222/1601
Fluorid	< 1,5 mg/l	1	258/1604
Natrium	< 20 mg/l	2	579/1604
	< 150 mg/l	1	46/1604
Alle ovennevnte (pH, Rn (500 Bq/l), F og Na (150 mg/l)).	I samsvar		1123/1601
	Utenfor		478/1601
Kalsium	< 25 mg/l	2	887/1604
	> 15 mg/l	2	422/1604
Kalium	< 12 mg/l	1	16/1604
Magnesium	< 20 mg/l	1	18/1604
Barium	< 100 µg/l	2	122/1604
Nitrat	< 44 mg/l	1	13/1604

1 = Høyeste (eller laveste) tillatte konsentrasjon

2 = Veiledende verdier

3 = Anbefalt tiltaksgrense

13,9 % av de undersøkte fjellbrønnene har høyere radonkonsentrasjoner enn anbefalt tiltaksgrense. Fluoridinnholdet overskridet drikkevannsnormen i 16,1 % av de undersøkte fjellbrønnene. Dersom en betrakter resultatene for pH, radon, fluorid og natrium under ett har 29,9 % av de undersøkte fjellbrønnene i Norge vannkvalitet som ikke tilfredsstiller kravene.

Det er grunn til å understreke at de fleste «problemparametrene» (radon, fluor osv.) først og fremst forekommer i brønner i fast fjell og at de fleste av disse brønnene forsyner forholdsvis få personer.

Nesten alle større grunnvannsanlegg er basert på grunnvann i løsmasser, hvor slike problemer meget sjeldent forekommer.

Resultatene av denne undersøkelsen viser at både høye og lave verdier av et grunnstoff kan forekomme i samme område og at det er viktig å være klar over behovet for å **analyser** vann som skal brukes som drikkevann. Både brønneiere, brønnborere og lokale næringsmiddeltilsyn må ta ansvar for å fremskaffe kunnskap om vannets kjemiske sammensetning - og eventuelt iverksette tiltak for vannbehandling.

To typer tiltak kan gjennomføres dersom man oppdager problemparametre i vannet:

- Behandle vannet. Noen parametre kan behandles effektivt ved hjelp av enkle metoder. For eksempel kan radon meget enkelt fjernes ved lufting. Råd om tiltaksmetoder for radon fås hos Statens strålevern.

Andre parametre er vanskeligere å behandle (f.eks. fluorid og natrium), men teknikker som ionebytting og/eller ultrafiltrering kan anvendes. Råd om behandling fås hos Folkehelsea eller VVS-konsulenter.

- Minimalisere eksponering. For eksempel: I områder med fluorrikt vann, bør man vurdere å kutte ned andre fluorkilder (tablettter, tannkrem). Dette kan diskuteres med kommunelegen eller tannlegen.

Når man installerer et vannbehandlingssystem, er det viktig å huske (minst) fire ting:

- (i) Du er kunden. Stol ikke på salgsbrosjyrer. Krev at leverandøren beviser at utstyret fungerer tilfredsstillende ved å få vannet analysert før og etter behandling.
- (ii) De aller fleste vannbehandlingsutstyr trenger vedlikehold. Dette kan være rengjøring, utskifting av filtre, regenerering av ionebyttere osv. Særlig kan gamle filtre (aktivt kull osv.) fungere som ynglelass for bakterier!
- (iii) Du trenger ikke å behandle alt vann - det er vanligvis en sammenheng mellom mengde vann som behandles og pris. Har man problem med høyt fluor-innhold, kan det være nok å behandle vannet ved kranen som brukes til drikkevann. Man trenger ikke å behandle badevannet! Har man et problem med hardhet, derimot, er det spesielt vann som brukes i varmtvannsbeholder, vaskemaskin osv. som trenger avherding. Noen undersøkelser tyder derimot på at litt hardhet i selve drikkevannet kan være gunstig for helsen!
- (iv) Noen behandlingsmetoder kan ha negative virkninger i tillegg til de positive. Noen avherdingsanlegg bytter ut kalsium i vannet med natrium. Dette kan være ugunstig for personer som trenger et natriumfattig kosthold.

Videre råd om behandlingsmuligheter for radon og fluor finnes i vedlegg 7. For brukervennlig informasjon om behandling av andre parametre slik som hardhet, saltinnhold, jern osv. henvises det til Grundfos (1988).

På Internett kan det finnes råd om behandling av ulike parametre i vann hos flere offentlige amerikanske servere (engelskspråklige), samt (forhåpentligvis) oppdaterte priser, bl.a. i:

- (i) Mississippi State University på <http://aac.msstate.edu/pubs/pub1702.htm>
- (ii) Sioux Lands Information Service på <http://www.siouxlan.com/water/faq.html>

8. REFERANSER

- Appelo, C.A.J. & Postma, D. (1996) *Geochemistry, groundwater and pollution*. Balkema, Rotterdam, 536 pp.
- Asikainen M & Kahlos H (1979) Anomalously high concentrations of uranium, radium and radon in water from drilled wells in the Helsinki region. *Geochim. et Cosmochim. Acta*, 43, 1681-1686.
- Banks, D., Rohr-Torp, E. & Skarphagen, H. (1992) An integrated study of a Precambrian granite aquifer , Hvaler, Southeastern Norway. *NGU Bulletin* 422, 47-67.
- Banks, D., Røyset, O., Strand, T. & Skarphagen, H. (1993a) Radioelement & trace element concentrations in some Norwegian bedrock groundwaters - Appendix. *NGU Report 93.124*.
- Banks, D., Reimann, C., Røyset, O. & Skarphagen, H. (1993b) Natural concentrations of major and trace elements in some Norwegian bedrock groundwaters. *NGU Report 93.126*.
- Banks, D., Reimann, C., Røyset, O., Skarphagen, H. and Sæther, O.M. (1995a) Natural concentrations of major and trace elements in some Norwegian bedrock groundwaters. *Applied Geochemistry* 10, 1994, p. 1-16.
- Banks, D. Røyset, O., Strand, T. & Skarphagen, H. (1995b) Radioelement (U, Th, Rn) concentrations in Norwegian bedrock groundwaters. *Environmental Geology*, 25, 165-180.
- Banks, D., Reimann, C., Skarphagen, H. & Watkins, D. (1997) The comparative hydrogeochemistry of two granitic island aquifers: the Isles of Scilly, UK and the Hvaler Islands, Norway. *NGU report 97.070*.
- Barbier, J.P, Mazounie, P., Svedberg, G., Ginoccio, J.C., Schoeman, J.J. & Botha, G.R. (1984) Methods for reducing high fluoride content in drinking water. *Water Supply* 2, nr. 3-4 SS8, 1-15.
- Barnes, A.J. (1986) Water pollution control; national primary drinking water regulations; radionuclides. *U.S. Federal Register*, 51 / 189, 30/9/86, 34836-34862.
- Bhargava, D.S. & Killedar, D.J. (1991) Comparison of fluoride removal efficiencies of fishbone and animal-bone charcoals. J. Institution of Engineers (India), *Environmental Engineering Division*, 72, nr. EN1, 9-11.
- Bhargava, D.S. & Killedar, D.J. (1992) Fluoride adsorption on fishbone charcoal through a moving media adsorber. *Water Research*, 26, nr. 6, 781-788.
- Bishop, P.L. & Sansoucy, G. (1978) Fluoride removal from drinking water by fluidized activated alumina adsorption. *J. American Water Works Association* 70, nr. 10, 554 - 559.
- Books C. (1995) Orienterande undersökning av effekten av vattenbehandlingsutrustning på radon-halten i vatten från borrade brunnar. SSI-rapport 95-14. Statens strålskyddsinst., Stockholm.

- Bulusu, K.R. (1984) Defluoridation of waters using a combination of aluminium chloiride and aluminium sulphate. *Journal of Inst. Engineers, India, Environmental Engineering Division 65, nr. EN1*, 22-26.
- Bulusu, K.R. & Nawlakhe, W.G. (1990) Defluoridation of water with activated alumina continuous contacting system. *Indian Journal of Environmental Health 32, nr. 3*, 197-218.
- Cameron, A.P., Drury, P.J., Harston, G.A. & Ineson, P.R. (1988) Aluminium and fluoride in the water supply and their removal for haemodialysis. *Science of the Total Environment 76*, 19-28.
- Chaturvedi, A.K., Yadava, K.P., Pathak, K.C. & Singh, V.N. (1990) Defluoridation of water by adsorption on fly ash. *Air and Soil Pollution 49*, 51-61.
- Choi, W.W. & Chen, K.Y (1979) The removal of fluoride from waters by adsorption. *J. American Water Works Association 71, nr. 10*, 562-570.
- Clifford, D., Matson, J. & Kennedy, R. (1978) *Industrial Water Engineering 15, nr. 7, 6-7 and 9-12*.
- Contu, A., Crucu, M., Mulas, P., Sarritzu, G. & Scarpa, B. (1981) Removal of fluoride ions in hyperfluoridized waters (in Italian). *Inquinamento 23, nr. 3*, 45-48.
- Dieye, A., Mar, C. & Rumeau, M. (1994) Defluoridation of drinking water supplies. *Tribune de l'eau, 47, nr. 568*, 27-34.
- Doherty, J. (1996) *An analysis of the chemical composition of bedrock groundwaters in Trøndelag, Norway, with special consideration of Rn and U and Norwegian drinking water limits*. Thesis for the degree of B.Sc.(Hons.) in Environmental Geology, University of Sheffield, U.K., 110 pp. + appendices.
- Dunckley, G.G. & Malthus, R.S. (1961) Removal of fluoride from fluoridated water containing 1 ppm fluoride. *New Zealand Journal of Science 4*, 594-596.
- Edmunds, W.M. (1981). Hydrogeochemical investigations. In "Case Studies in Groundwater Resources Evaluation" (red. J.W. Lloyd), Oxford Science Publications. 87-112.
- Elderfield, H., Upstill-Goddard, R. & Sholkovitz, E.R. (1990) The rare earth elements in rivers, estuaries, and coastal seas and their significance to the composition of ocean waters. *Geochim. et Cosmochim. Acta 54*, 971-991.
- Fetter, C.W. (1994): *Applied Hydrogeology, 3rd edition*. Macmillan, 691 pp.
- Fox, K.R. & Sorg, T.J. (1987) Controlling arsenic, fluoride and uranium by point-of-use treatment. *J. American Water Works Association 79, nr. 10*, 81-84.
- Goldstein, S.J. & Jacobsen, S.B. (1988) Rare earth elements in river waters. *Earth and Plan. Sci. Letters, 89*, 35-47.
- Grundfos (1988) Vandforsyning. Grundfos International Education Centre, DK-8850 Bjerringbro, Denmark, 170 pp.
- Grønlie A. & Staw, J. (1987) Oppfølging av naturlige strålingsanomalier i Nord-Trøndelag med Fosen. *Norges geologiske undersøkelse rapport 87.053*.
- Guo-Xun, X. (1994) Fluoride removal from drinking water by activated aluminium with CO₂ gas acidizing method. *Aqua 43, nr. 2*, 58-64.

- Hilmo, B.O. (1989). Marine sensitive leirers mineralsammensetning, kolloidkjemi og mekaniske egenskaper. *Norges Tekniske Høgskole, Doktor Ingeniøravhandling* 1989.21. Inst. for Geologi og Bergteknikk, NTH.
- Huxstep, M.R. & Sorg, T.J. (1987) Reverse osmosis treatment to remove inorganic contaminants from drinking water. *U.S. National Technical Information Service, Cincinnati, Ohio, Report PB88-147780*, 60 pp. (EPA 600/2-87/109).
- ICRP (1993) *Protection against radon-222 at home and at work: a report of a task group of the International Commission on Radiological Protection / adopted by the commission in September 1993*. International Commission on Radiological Protection Publication 65, Pergamon Press, Oxford, 45 pp.
- Jinadasa, K.B.P.N., Weerasooriya, S.W.R. & Dissanayake, C.B. (1988) A rapid method for the defluoridation of fluoride-rich drinking waters at village level. *International Journal of Environmental Studies* 31, nr. 4, 305-312.
- Jinadasa, K.B.P.N., Dissanayake, C.B. & Weerasooriya, S.V.R. (1991) Use of serpentinite in the defluoridation of fluoride-rich drinking water. *International Journal of Environmental Studies*, 37, 43-63.
- Karthikeyan, G., Meenakshi, S. & Apparao, B.V. (1994) Defluoridation technology based on activated alumina. *Proc. 20th WEDC Conference*, Colombo, Sri Lanka, 278-280.
- Killedar, D.J. & Bhargava, D.S. (1988) An overview of defluoridation methods (part I and II). *Journal of Public Health Engineers, India*, nr. 1 6-13 and nr. 2, 37-44.
- Killedar, D.J. & Bhargava, D.S. (1993) Effects of stirring rate and temperature on fluoride removal by fishbone charcoal. *Indian Journal of Environmental Health*, 35, nr. 2, 81-87.
- Kirjuhin, V.A., Korotkov, A.N. & Shvartsev, C.L. (1993) *Gidrogeohimija [Hydrogeochemistry - in Russian]*, Nedra, Moscow, 383 pp.
- Lidén E., Lindén A., Andersson L., Åkerblom G., Åkesson T. (1995) Radon i vatten från bergborrade brunnar. Resultat från en undersökning i Örebro kommun. SSI-rapport 95-18. Statens strålskyddsinstitut, Stockholm.
- Lubin, J.Y., Boice, J.D., Edling, C., Hornung, R.W., Hoew, G., Kunz, E., Kusiak, R.A., Morrison, I., Radford, E.P., Samet, J.M., Tirmarche, M., Woodward, A., Xiang, Y.S. & Pierce, D.A. (1994) Radon and lung cancer - a joint analysis of 11 underground miners' studies. *National Institute of Health Publication 94-3644, US Department of Health and Social Services*, 136 pp.
- Lubin, J.H. & Boice, J.D. (1997) Lung cancer risk from residential radon: meta-analysis of eight epidemiologic studies. *Journal of the National Cancer Institute (USA)*, 89(1).
- Mazounie, P. & Mouchet, P. (1984) Available processes for the removal of fluoride from drinking waters. *Revue Francaise des Sciences de l'Eau* 3, nr. 1, 29-51.
- Milvy, P. & Cothern, C.R. (1990) Scientific background for the development of regulations for radionuclides in drinking water. In Cothern C.R. & Rebers, P. (eds.) *Radon, Radium and Uranium in Drinking Water*. Chelsea, Michigan; Lewis Publishes, 1-16.
- Morland, G., Reimann, C., Skarphagen, H., Bjorvatn, K., Hall, G.E.M., Siewers, U. & Strand,

- T. (1995) Grunnvannskvalitet i borebrønner i fjell fra områder nær Oslo og Bergen. *NGU rapport 95.161*, 165 pp.
- Morland, G., Strand, T., Furuhaug, L. og Skarphagen, H. (1996) Måling av radon i råvann ved større grunnvannsverk i Norge. *NGU rapport 96.080*.
- Morland, G., Reimann, C., Strand, T., Skarphagen, H., Banks, D., Bjorvatn, K., Hall, G.E.M. & Siewers, U. (1997) The hydrogeochemistry of Norwegian bedrock groundwater - selected parameters (pH, F⁻, Rn, U,Th, B, Na, Ca) in samples from Vestfold and Hordaland, Norway. *Nor. geol. unders. Bulletin 432*, 103-117.
- Morland, G., Strand, T., Furuhaug, L., Skarphagen, H. og Banks, D. (1998) Radon Concentrations in Groundwater From Quaternary Sedimentary Aquifers in Relation to Underlying Bedrock Geology. *Ground Water*, Vol. 36, No. 1, 143 - 146.
- Mose, D.G., Mushrush, G.W. & Chrosniak, C. (1990) Radioactive hazard of potable water in Virginia and Maryland. *Bulletin of Environmental Contamination and Toxicology 44*, 508-513.
- Narlakhe, W.G. & Bulusu, K.R. (1989) Nalgonda technique - a process for removal of excess fluoride from water. *Water Quality Bulletin 14*, nr. 4, 218-220.
- N'Dao, I., Lagaude, A. & Travi, Y. (1992) Experimental defluoridation of Senegalese underground waters with aluminium sulphate and basic aluminium polychlorosulphate. *Sciences et Technologies de l'Eau*, 26, nr. 3, 243-249.
- NGU-Lab, 1997. *NGU-SD 3.1:ICP-AES analyse (32 kationer)*, 2. utg. In: *NGU-Labs Kvalitetssystem, Gruppe 3: Vannanalyse*. Faggruppe for laboratorier, Norges geologiske undersøkelse.
- O'Brien, W.J. (1983) Control options for nitrates and fluorides. *Water Engineering & Management 130*, nr. 7, 36-38 and 53.
- Padmasiri, J.P. & Fonseka, W.S.C.A. (1994) Low cost fluoride removal filters. *Proc. 20th WEDC Conference*, Colombo, Sri Lanka, 1994, 295-296.
- Padmasiri, J.P., Fonseka, W.C.S.A. & Liyanapatabendi, T. (1995) Low cost fluoride removal by an upward flow household filter. *Water Supply*, 13, 59-64.
- Potgieter, J.H. (1990) An experimental assessment of the efficacy of different defluoridation methods. *ChemSA 16*, nr. 12, 317-318 and 327. South Africa.
- Qianjie, Z. & Hanwen, L. (1992) Aluminium phosphate for the defluorination of potable water. *Environment International 18*, nr. 2, 307-310.
- Reimann, C. et. al. (1995) Trace element content of 150 hardrock groundwater samples from the surroundings of Bergen and Oslo. Foredrag på «The 5th seminar on hydrogeology and environmental geochemistry», nov. 1995, NGU.
- Reimann, C., Hall, G.E.M., Siewers, U., Bjorvatn, K., Morland, G., Skarphagen, H. & Strand, T. (1996) Radon, fluoride and 62 elements as determined by ICP-MS in 145 Norwegian hard rock groundwater samples. *Science of the Total Environment 192*, 1-19.
- Rongshu, W., Haiming, L., Ping, N. & Ying, W. (1995) Study of a new adsorbent for fluoride removal from waters. *Water Quality Research Journal of Canada*, 30, 81-88.

- Rubel, F. & Woolsey, R.D. (1978) Removal of excess fluoride from drinking water. U.S. Environmental Protection Agency (USEPA), *Office of Water Supply, Washington DC, Report PB82-237090*, 16pp. (P04BRUB).
- Salonen, L. (1994) ²³⁸U series radionuclides as a source of increased radioactivity in groundwater originating from Finnish bedrock. Proc. IAHS Helsinki Conference «Future Groundwater Resources at Risk», *Int. Assoc. Hydrolog. Sci. Publ.* No. 222, 71-84.
- Samchenko, Z.A., Goronovskii, I.T. & Vakhnin, I.G. (1987) Defluoridation of water with type KU-23 macroporous cation exchanger in the Al-form. *Soviet Journal of Water Chemistry and Technology* 9, nr. 1, 112-114.
- Schneiter, R.W. & Middlebrooks, E.J. (1983) Arsenic and fluoride removal from groundwater by reverse osmosis. *Environment International* 9, nr. 4, 289-292.
- Sigmond, E.M.O. (1992) *Berggrunnskart, Norge med havområder*. Målestokk 1:3 millioner, Norges geologiske undersøkelse.
- Slipchenko, V.A. & Malitskaya, T.N. (1987) Absorption of fluorine from potable water by active carbon treated with aluminium sulphate. *Soviet Journal of Water Chemistry and Technology* 9, nr. 1, 38-40.
- Sosial- og helsedepartementet (1995) Forskrifter om vannforsyning og drikkevann m.m. Nr. 68. I-9/95.
- Statens institutt for Folkehelse (1987) Kvalitetsnormer for drikkevann. Veiledningshefte G2.
- Statens strålevern (1995) Anbefalte tiltaksnivåer for radon i bo- og arbeidsmiljø, *Strålevernhefte nr. 5*.
- Statens strålevern (1996) Radon i inne-luft. Helserisiko, målinger og mot-tiltak. *Strålevernhefte nr. 9*.
- Statens strålskyddsinstut (1996) Radon i vatten. *Swedish Radiation Protection Institute report 96-03*, 12 pp.
- Swedjemark, G.A. (1993) Radon och radium i vatten. Underlag för bestämmelser. *Statens Strålskyddsinstut report 93-34*, Stockholm, 10 pp.
- Sæther, O.M., Reimann, C., Hilmo, B.O. & Taushani, E. (1995) Chemical composition of hard- and soft-rock groundwaters from central Norway with special consideration of fluoride and Norwegian drinking water limits. *Environmental Geology*, nr. 26, 147-156.
- Tjiook, T.K. (1983) Defluoridation of water supplies. *Waterlines* 2, nr. 1, 26-27.
- UNSCEAR (1994) Sources and effects of ionizing radiation. *1994 report to the General Assembly, with scientific annexes. Annex A - epidemiological studies of radiation carcinogenesis*. United Nations Scientific Committee on the Effects of Atomic Radiation, United Nations, New York, 11-184.
- United States Environmental Protection Agency (USEPA) (1984) Technologies and costs for the removal of fluoride from potable water supplies (draft). U.S. National Technical Information Service, Springfield, Virginia, Report No. PB85-198679, 120 pp. (04BaUNI).
- United States Environmental Protection Agency (USEPA) (1997) National Primary Drinking

- Water Regulations. <http://www.epa.gov/OGWDW/hfacts.html>
- Vlasov, K. (ed.) (1966) *Geochemistry and mineralogy of rare elements and genetic types of their deposits. Vol. 1, Geochemistry of rare elements.* Academy of Sciences of the USSR, State Geological Committee of the USSR, translated from the Russian and published by Israel Program for Scientific Translations, Jerusalem, 688 pp.
- Wasay, S.A., Haron, M.J. & Tokunaga, S. (1996) Adsorption of fluoride, phosphate and arsenate ions on lanthanum-impregnated silica gel. *Water Environment Research* 68, 295-300.
- WHO (1996) Indoor air quality: a risk-based approach to health criteria to radon indoors. *World Health Organisation, Regional Office for Europe, Report EUR/ICP/CEH 108(A).*
- Wu, Y.C. (1978) Activated alumina removes fluoride ions from water. *Water & Sewage Works* 125, nr. 6, 76-78 and 80-82.
- Zevenbergen, C., van Reeuwijk, L.P., Frapporti, G., Louws, R.J. & Schuiling, R. (1996) A simple method for defluoridation of drinking water at village level by adsorption on Ando soil in Kenya. *Science of the Total Environment* 188, 225-232.
- Åkerblom, G. & Lindgren, J. (1996) Mapping of ground water radon potential. *Proc. IAEA Tech. Committee Meeting «The advantages and pitfalls of using uranium exploration data and techniques as well as other methods for the preparation of radioelement and radon maps for baseline information in environmental studies and monitoring».* Vienna, May 1996.

VEDLEGG

- Vedlegg 1. Prøvetakingsprosedyre for måling av radon i vann
- Vedlegg 2. Registreringsskjema for måling av radon i vann (versjon 1)
- Vedlegg 3. Registreringsskjema for måling av radon i vann (versjon 2)
- Vedlegg 4. Bergartskoder brukt i digitalt berggrunnskart
- Vedlegg 5. Bakgrunnsdata for analysene utført ved NGU-lab.
- Vedlegg 6. Figur 4c-20c. Geokjemiske kart for utvalgte elementer
- Vedlegg 7. Behandlingsmetoder for radon og fluorid
- Vedlegg 8. Figur 22a-42a og 22c-42c. Boksplot og geokjemiske kart for sporelementer

PRØVETAKINGSPROSEODYRE FOR MÅLING AV RADON I VANN



Statens
strålevern

NB! TIDEN FRA PRØVETAKING TIL ANALYSE VED STATENS STRÅLEVERN MÅ VÆRE KORTEST MULIG (MAKS. 2-3 DAGER). TA DERFOR PRØVEN SLIK AT DEN KAN FORSENDES MED POST SAMME DAG OG PÅSE AT DET IKKE BLIR UNØDVENDIG FORSINKELSE I FORBINDELSE MED HELG OG HELLIGDAGER.

1. Skru på springen og la vannet renne i ca. 5 minutter. Dersom det skal måles på andre parametre enn radon, fylles en 500 ml plastflaske helt full med vann, forsegles og merkes godt.
2. Før trakten opp under springen mens vannet renner. Denne vil fylle seg med vann slik at utløpet på springen kommer inn i det vannvolumet som dannes innvendig i trakten (dersom det er problemer med å få trakten til å fylle seg helt, kan en redusere traktens åpning i bunnen ved å dekke denne delvis til med en finger). I denne situasjonen vil det renne vann ut av trakten i bunnen samtidig som vannet renner ut over kanten på toppen av trakten. Springens utløp er hele tiden under vannflaten innvendig i trakten.
3. Klargjør prøveglasset ved å skru korken av dette. Klargjør også pipetten ved å påse at den er innstilt på riktig volum (10 ml) samt at den er påmontert ny ren spiss.
4. Påse at det ikke er luftbobler i vannvolumet i trakten. Ta sprøyten og trykk stempelet inn til «første stoppunkt». Med stempelet i denne posisjonen føres spissen ned i senter av vannvolumet, stempelet slippes sakte ut slik at 10 ml vann suges inn i sprøytespissen.
5. Før sprøytespissen umiddelbart ned i bunnen på prøveglasset (inn under den væsken som er der) og sprøyt ut prøven ved å trykke stempelet forsiktig inn til «første stoppunkt» samtidig som man trekker spissen av pipetten oppover i glasset etterhvert som det fylles. Påse at utløpet av spissen hele tiden er nede i væsken når den tømmes. Trykk så videre stempelet helt inn til «andre stoppunkt» slik at sprøyten tømmes helt før den trekkes ut av glasset.
6. Skru umiddelbart lokket godt på glasset og rist dette i noen sekunder. NB ! Noter tidspunktet (dato og klokkeslett) på vedlagte registreringsskjema.
7. Prøveglasset må kun merkes på korken. Det må ikke benyttes tusj eller klisterlapper på glassets vegger. Prøvene emballeres godt og sendes snarest sammen med registreringsskjema til Statens Strålevern.

**REGISTRERINGSSKJEMA FOR
MÅLING AV RADON I VANN**


Vennligst skriv med blokkbokstaver.

Vannforsyning

- Kommunalt vannverk Privat vannverk
 Overflatevann Privat boret brønn

Brønneiers

navn: _____

Navn på vannverk : _____

Gårdsnr. : _____ Bruksnr. : _____

Koordinater : _____ ØV _____

Adresse: _____

Postnummer: _____ Sted: _____

Telefonpriv. _____ Arb. _____

Kommune: _____

Er brønnen i :

- Fast fjell Løsmasser

Dybde (m) : _____

Antall personer i husstanden : _____

Derav personer under 18 år : _____

Antall husstander som betjenes : _____

Brønnens bruk :

- Næringsmiddelproduksjon
 Turistnæring
 Vannverk
 Husholdning
 Gårdbruk
 Hytte
 Annen industri
 Energi
 Ikke i bruk

**Erl det tidligere gjennomført radonmålinger i
inneluft eller i vann i Deres bolig?**

Nei

Ja, i inneluft

År: _____ Måleperiode, _____

Resultat: _____ Bq/m³

Ja, i vann

År : _____ Resultat : _____ kBq/m³

**Befinner brønnen seg i områder med
forekomster av granitt?**

Ja Nei Vet ikke

Andre opplysninger om geologi :

PRØVEREGISTRERING :

Dersom det er tatt en ekstra 500 ml vannprøve :

Noter prøvenr. : _____

Skyggelagte felt fylles ut av Statens Strålevern

Prøvenr. :

Prøvetakingspunkt: _____

Prøve tatt : _____ dato _____ kl.

Prøve avlest : _____ dato _____ kl

Radonkonsentrasjon : _____ kBq/m³

Prøvenr. :

Prøvetakingspunkt: _____

Prøve tatt : _____ dato _____ kl

Prøve avlest : _____ dato _____ kl

Radonkonsentrasjon : _____ kBq/m³

**REGISTRERINGSSKJEMA FOR
MÅLING AV RADON I VANN**
**Vannforsyning**

- Kommunalt vannverk Privat vannverk
 Overflatevann Privat boret brønn

Brønneiers

navn: _____

Navn på vannverk : _____

Gårdsnr. : _____ Bruksnr. : _____

Koordinater : _____ ØV _____ NS

Adresse: _____

Postnummer: _____ Sted: _____

Telefonpriv. _____ Arb. _____

Kommune: _____

- Er prøven levert :** Pga. generelt dårlig vannkvalitet
 Annet

Er brønnen i :

- Fast fjell Løsmasser

Dybde (m) : _____

Antall personer i husstanden : _____

Derav personer under 18 år : _____

Antall husstander som betjenes : _____

Brønnens bruk :

- | | |
|--|---------------------------------------|
| <input type="checkbox"/> Næringsmiddelproduksjon | <input type="checkbox"/> Gårdsbruk |
| <input type="checkbox"/> Hytte | <input type="checkbox"/> Turistnæring |
| <input type="checkbox"/> Annen industri | <input type="checkbox"/> Energi |
| <input type="checkbox"/> Ikke i bruk | <input type="checkbox"/> Husholdning |
| | <input type="checkbox"/> Løsmasser |

Er det installert vannbehandlingsanlegg i forbindelse med brønnen : ja nei

Passerer vannet et utgjevningsbasseng eller reservoar : ja nei

Er det tidligere gjennomført radonmålinger i inneluft eller i vann i Deres bolig?

 Nei Ja, i inneluft

År: _____ Måleperiode, _____

Resultat: _____ Bq/m³ Ja, i vannÅr : _____ Resultat : _____ kBq/m³

Befinner brønnen seg i områder med forekomster av granitt?

 Ja Nei Vet ikke**Andre opplysninger om geologi :**

PRØVEREGISTRERING :

Dersom det er tatt en ekstra 500 ml vannprøve :

Noter prøvenr. : _____

Skyggelagte felt fylles ut av Statens Strålevern

Prøve nr. :

Prøve tatt : _____ dato _____ kl.

Prøve avlest : _____ dato _____ kl.

Radonkoncentrasjon : _____ kBq/m³

Prøve nr. :

Prøve tatt : _____ dato _____ kl.

Prøve avlest : _____ dato _____ kl.

Radonkoncentrasjon : _____ kBq/m³

KODER FOR BERGARTSGRUPPER

- 54 Dyp- og gangbergarter av permisk alder (Oslofeltet).
- 57 Vulkanske og stedvis sedimentære bergarter av karbon/permisk alder (Oslofeltet).
- 64 Sedimentære bergarter, overveiende sandstein og konglomerat av devonsk alder.
- 67 Sandstein av oversilurisk alder.
- 71 Granitt til tonalitt i den kaledonske fjellkjede.
- 72 Gabbro, dioritt og ultramafiske bergarter i den kaledonske fjellkjede.
- 74 Omdannede sedimentære bergarter av kambro-silurisk alder (Kaledonske fjellkjede og Oslofeltet).
- 75 Kalkstein og marmor av kambro-silurisk alder.
- 76 Grønstein, grønnskifer, amfibolitt og meta-andesitt av kambro-silurisk alder.
- 77 Metaryolitt, metaryodacitt av kambro-silurisk (delvis senprekambrisk) alder
- 79 Kvarts-sandstein av senprekambrisk alder.
- 80 Sandstein, skifer og konglomerat av senprekambrisk alder.
- 81 Kalkstein og skifer av senprekambrisk alder.
- 82 Omdannet sandstein, hovedsakelig meta-arkose og kvartsskifer av senprekambrisk alder.
- 85 Prekambriske bergarter av forskjellig opprinnelse i de kaledonske dekkene.
- 86 Charnockittiske til anortosittiske bergarter i den kaledonske fjellkjede.
- 87 Granitt til tonalitt av prekambrisk alder.
- 88 Amfibolitt og gneis av prekambrisk alder.
- 90 Omdannede sedimentære og vulkanske bergarter samt gneis av prekambrisk alder.
- 91 Gneis, migmatitt, foliert granitt og amfibolitt av prekambrisk alder (Nordvestre gneisregion).
- 92 Stedegen granitt til tonalitt av prekambrisk alder.
- 93 Stedegen charnockitt til anortositt av prekambrisk alder.
- 94 Stedegen gabbro, amfibolitt og ultramafiske bergarter av prekambrisk alder.
- 95 Metasandstein, glimmerskifer, konglomerat og gneis av prekambrisk alder.
- 96 Metabasalt, meta-andesitt og amfibolitt av prekambrisk alder.
- 97 Metaryolitt og metaryodacitt av prekambrisk alder.
- 98 Gneis, migmatitt, foliert granitt og amfibolitt av prekambrisk alder.

pH: UTFØRES ETTER NORSK STANDARD -NS 4720

ALKALITET: UTFØRES ETTER NGU-SD 3.7B (følger tidligere NS 4754)

INSTRUMENT TYPE :

Radiometer Titralab 94 / Glasselektrode pHC 2701

ANALYSE	NEDRE BESTEMMELSES GRENSE	ANALYSEUSIKKERHET	
		Måleområde	Usikkerhet
pH			± 0.05 pH units
Alkalitet	0.04 mmol l ⁻¹	p-alkalitet 0.04 - 0.2 mmol l ⁻¹ 0.2 - 2.0 mmol l ⁻¹ > 2.0 mmol l ⁻¹	t-alkalitet ± 0.02 mmol l ⁻¹ ± 5.0 % rel. ± 4.3 % rel.
			± 0.04 mmol l ⁻¹ ± 4.0 % rel. ± 1.0 % rel.

PRESISJON : Det kjøres rutinemessig kontrollprøver, som føres i kontrolldiagram (X-diagram). Disse kan forevises om ønskelig.

ANTALL PRØVER:

ANMERKNINGER: p-alkalitet gjelder kun for prøver med pH > 8.3

Rapporten må ikke gjengis i utdrag uten skriftlig godkjenning fra NGU-Lab.

Ferdig analysert	24. november 1997	Dato	OPERATØR
------------------	-------------------	------	----------

7 ANIONER : F, Cl, NO₃, Br, PO₄³⁻, SO₄²⁻**INSTRUMENT TYPE :** DIONEX IONEKROMATOGRAF 2120i**NEDRE BESTEMMELSESGRENSER**

ION	F	Cl	NO ₃ *	Br	NO ₂ ⁻	PO ₄ ³⁻	SO ₄ ²⁻
Nedre bestemmelsesgrense - mg/l	0.05	0.1	0.05	0.1	0.05	0.2	0.1

ANALYSEUSIKKERHET : 10 % rel. for alle ionene**PRESISJON :** Det kjøres rutinemessig kontrollprøver, som føres i kontrolldiagram (X-diagram). Disse kan forevises om ønskelig.**ANTALL PRØVER:****ANMERKNINGER:**

* NGU-LAB er ikke akkreditert for NO₂⁻
Rapporten må ikke gjengis i utdrag uten skriftlig godkjenning fra NGU-Lab.

Ferdig analysert	24. november 1997	Dato	OPERATOR
------------------	-------------------	------	----------



Postboks 3006 - Lade
7002 TRONDHEIM
Tlf.: 73 90 40 11
Telefaks: 73 92 16 20

ICP-AES ANALYSER
VANN
Analysekontraktsnr: XXXXXXXXX

INSTRUMENT TYPE :

Thermo Jarrell Ash ICP 61

NEDRE BESTEMMELSESGRENSEN VANNANALYSER (For vannprover som tyynes, blir deteksjonsgrensene automatisk omregnet).

	Al ppb	Fe ppb	Ti ppb	Mg ppb	Ca ppb	Na ppb	K ppb	Mn ppb	P ppb
Si ppb	20.-	20.-	10.-	5.-	50.-	20.-	50.-	500.-	100.-
Cu ppb	5.-	Zn ppb	Pb ppb	Ni ppb	Co ppb	V ppb	Mo ppb	Cd ppb	Ba ppb
Sr ppb	1.-	Zr ppb	Ag ppb	B ppb	Be ppb	Li ppb	Sc ppb	Ce ppb	Cr ppb
			10.-	20.-	10.-	5.-	10.-	5.-	2.-
				20.-	1.-	5.0	1.-	50.-	10.-
				(10.-)					

ANALYSEUSIKKERHET:

± 20 rel. % for K, Pb, Cd, Li, Ce.

± 10 rel. % for Si, Al, Na, Mo, Cr, Zr, Ag, B og La.

± 5 rel. % for Fe, Ti, Mg, Ca, Mn, P, Cu, Zn, Ni, Co, V, Ba, Sr, Be, Sc, Y.

PRESISJON : Det kjøres rutinemessig kontrollprøver, som føres i kontrolldiagram (X-diagram). Disse kan forevises om ønskelig.

ANTALL PRØVER: xx

ANMERKNINGER:

Rapporten må ikke gjengis i utdrag uten skriftlig godkjenning fra NGU-Lab.

Ferdig analysert	Dato	OPERATØR
------------------	------	----------

GEOKJEMISK FREMSTILLING

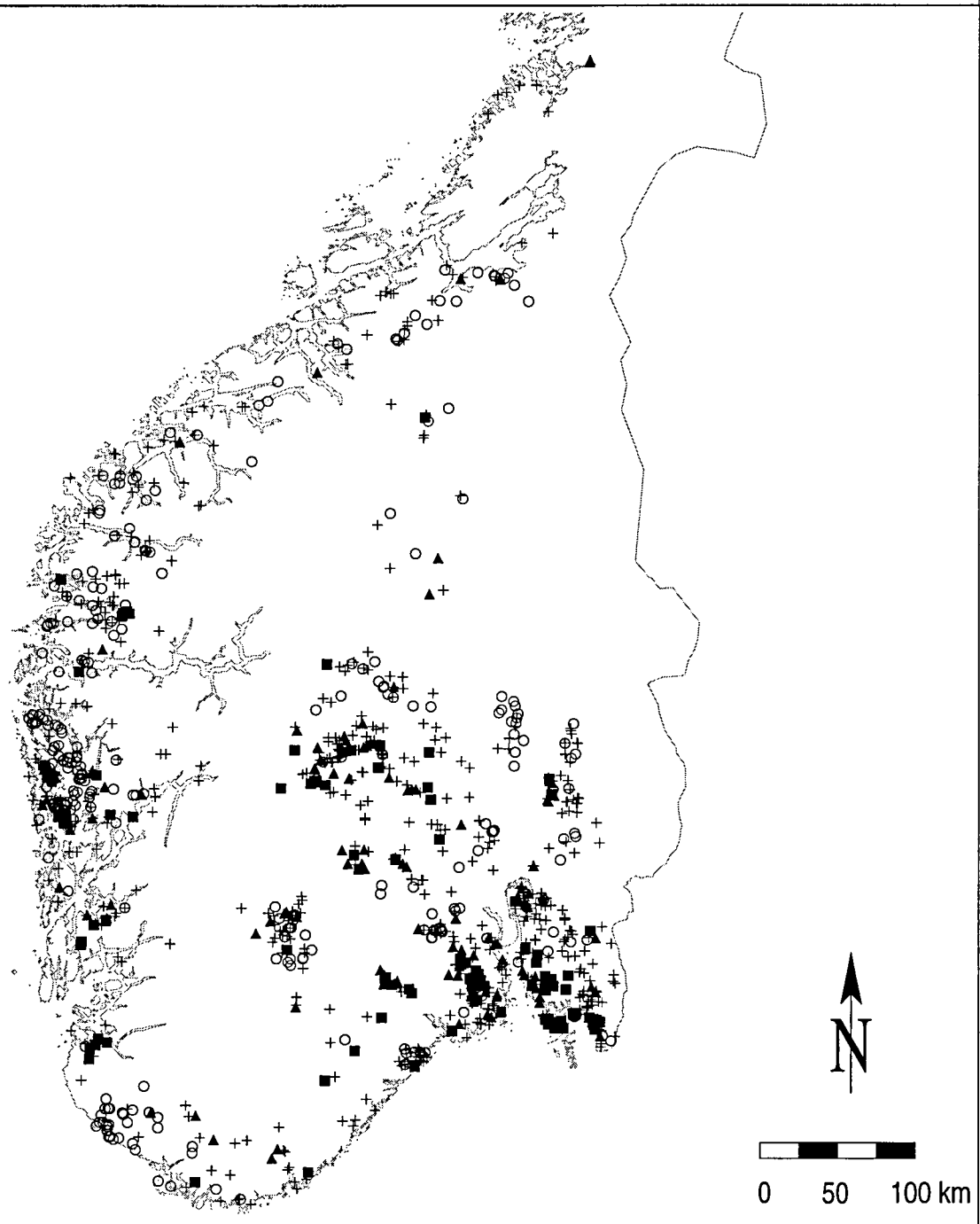
- | | |
|-----------|--|
| Figur 4c | Presentasjon av resultat for radon |
| Figur 5c | Presentasjon av resultat for fluorid |
| Figur 6c | Presentasjon av resultat for natrium |
| Figur 7c | Presentasjon av resultat for klorid |
| Figur 8c | Presentasjon av resultat for pH |
| Figur 9c | Presentasjon av resultat for kalsium |
| Figur 10c | Presentasjon av resultat for magnesium |
| Figur 11c | Presentasjon av resultat for sulfat |
| Figur 12c | Presentasjon av resultat for alkalitet |
| Figur 13c | Presentasjon av resultat for jern |
| Figur 14c | Presentasjon av resultat for mangan |
| Figur 15c | Presentasjon av resultat for aluminium |
| Figur 16c | Presentasjon av resultat for nitrat |
| Figur 17c | Presentasjon av resultat for kalium |
| Figur 18c | Presentasjon av resultat for barium |
| Figur 19c | Presentasjon av resultat for beryllium |
| Figur 20c | Presentasjon av resultat for sink |

Figur 4c

SOR-NORG

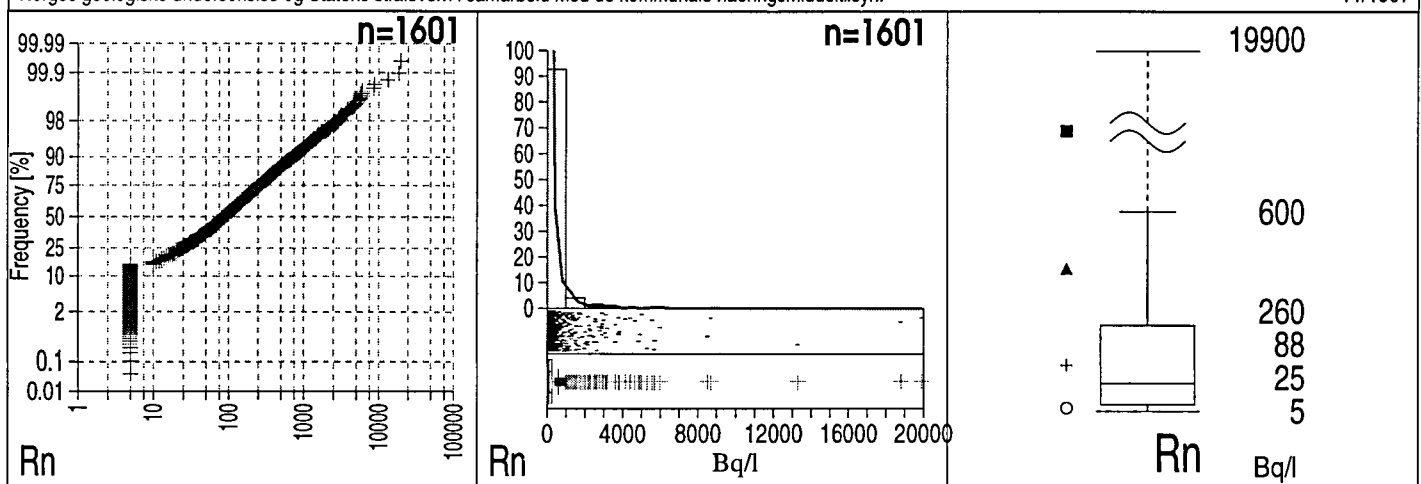
Grunnvannskjemi i fjellbronner

RADON

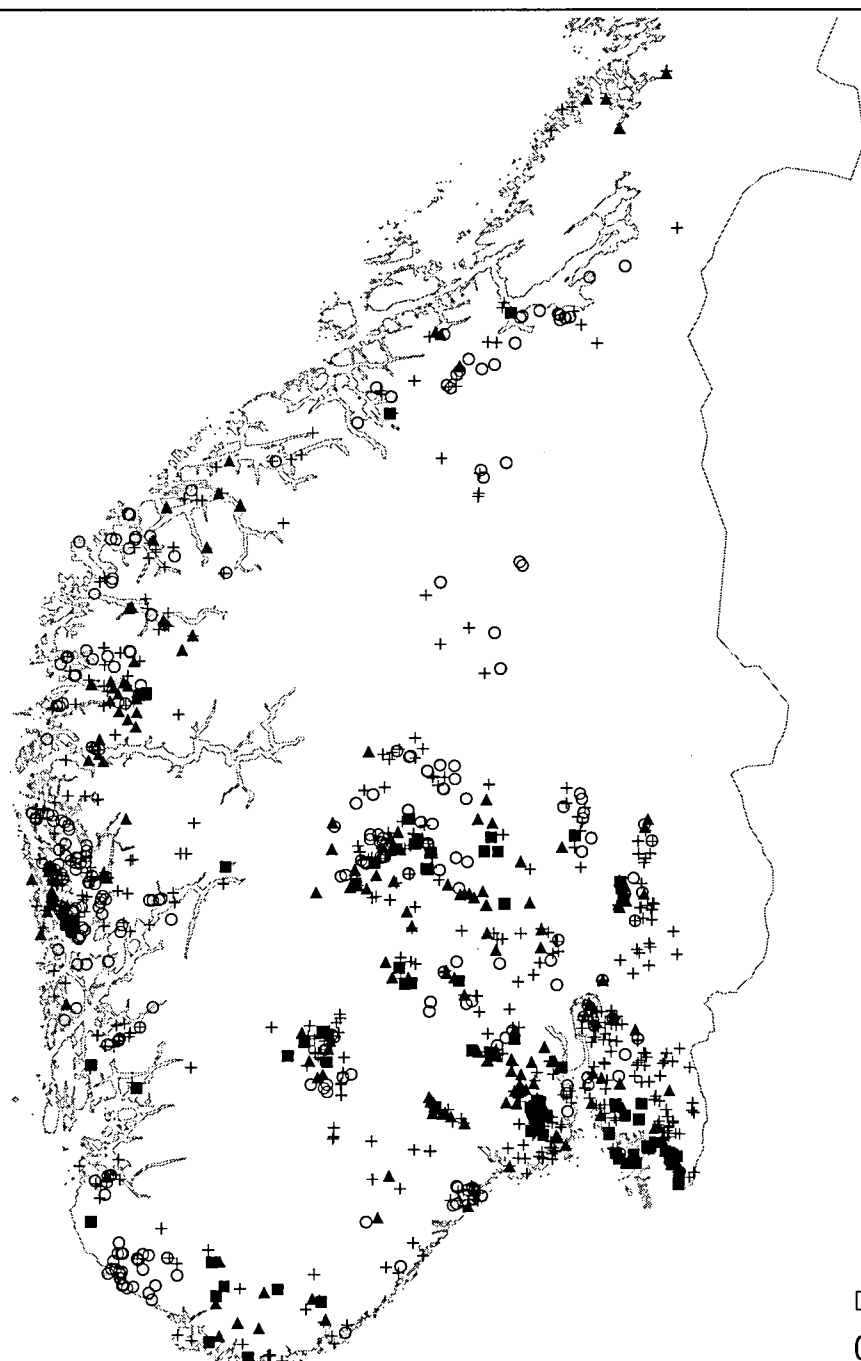


Norges geologiske undersøkelse og Statens stralevern i samarbeid med de kommunale næringsmiddeltilsyn.

11/1997



Figur 5c

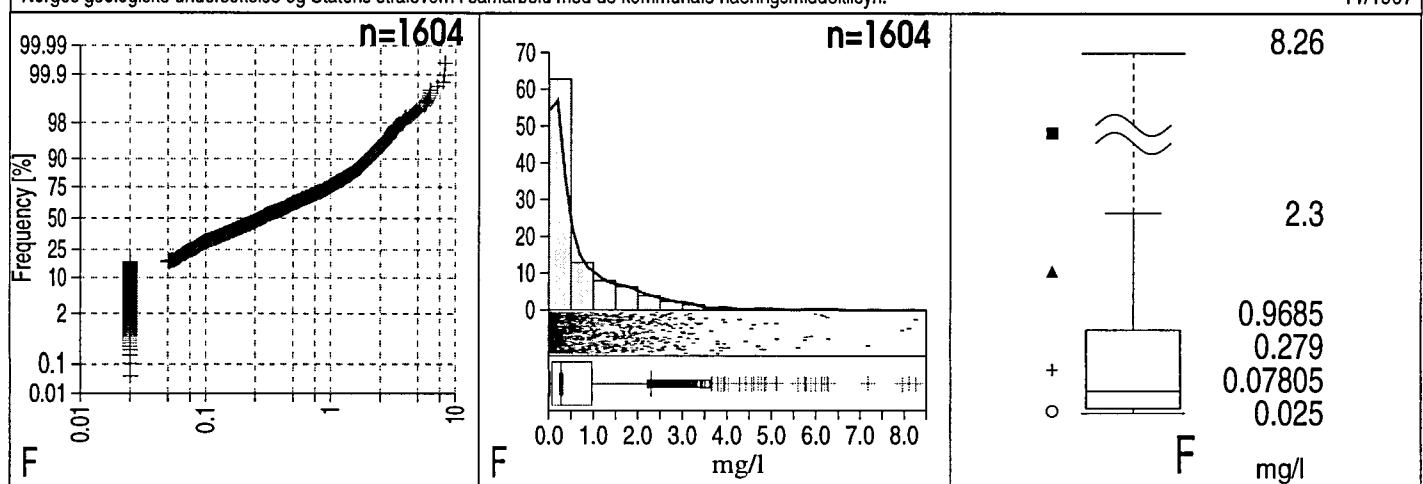
SOR-NORGE*Grunnvannskjemi i fjellbronner***FLUORID**

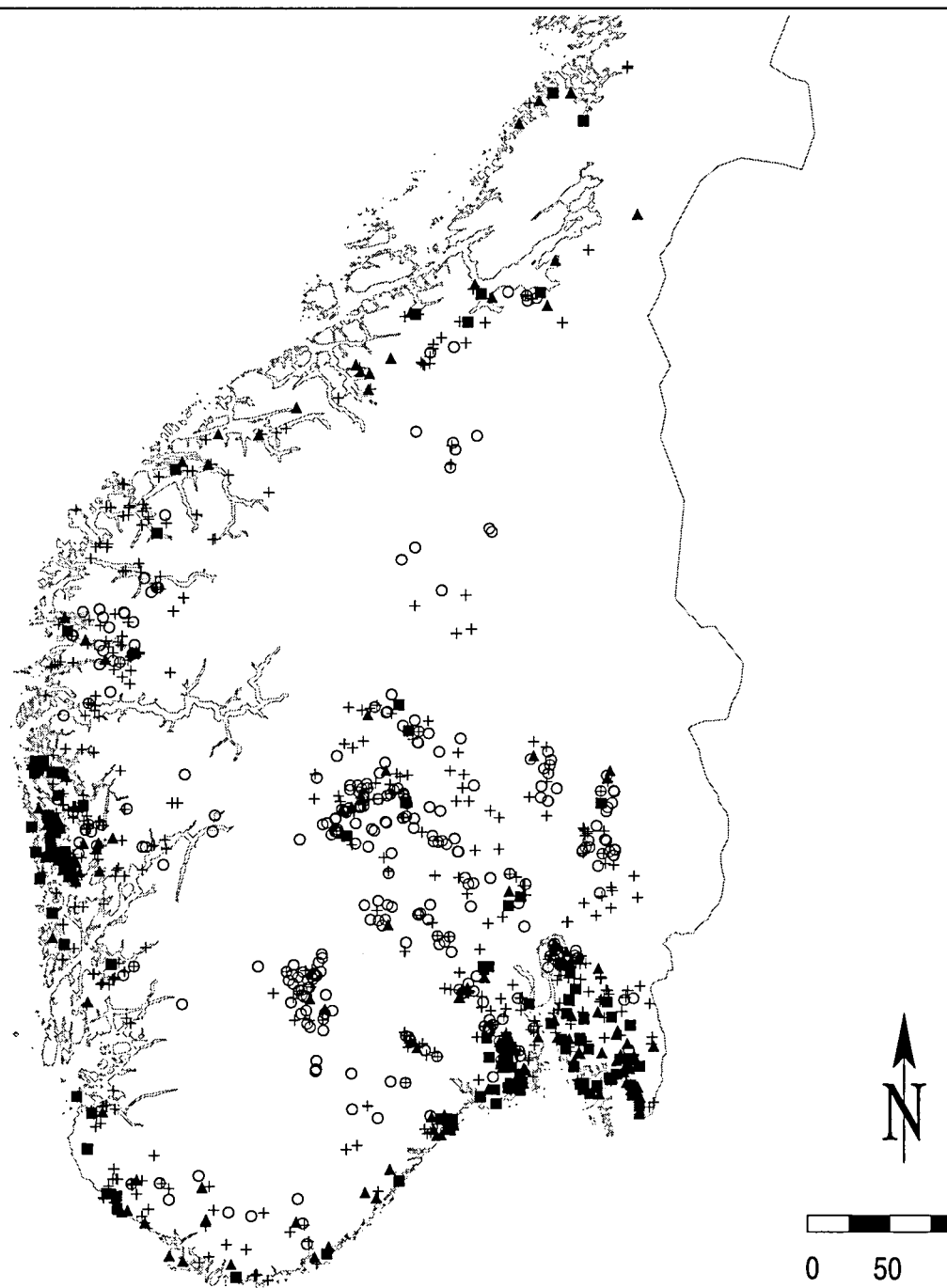
n=1328

0 50 100 km

Norges geologiske undersøkelse og Statens stralevern i samarbeid med de kommunale næringsmiddeltilsyn.

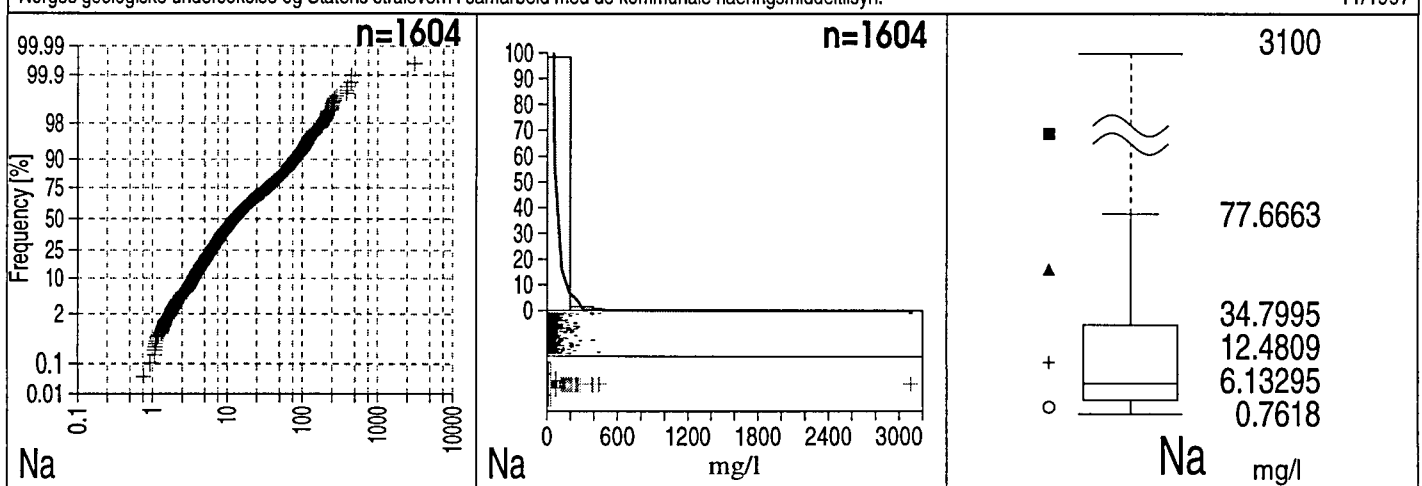
11/1997



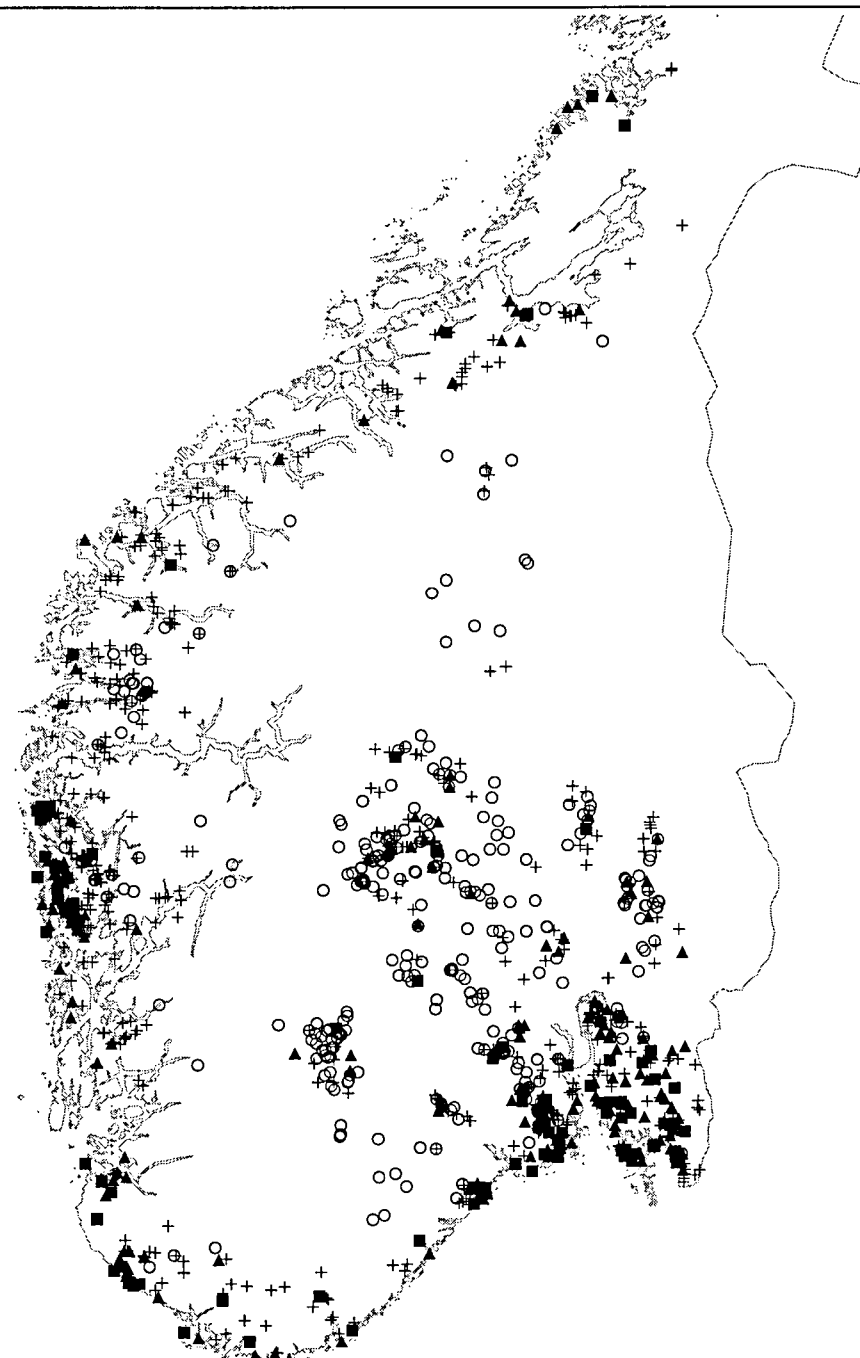
SOR-NORGE*Grunnvannskjemi i fjellbronner***NATRIUM**

Norges geologiske undersøkelse og Statens stralevern i samarbeid med de kommunale næringsmiddeltilsyn.

11/1997

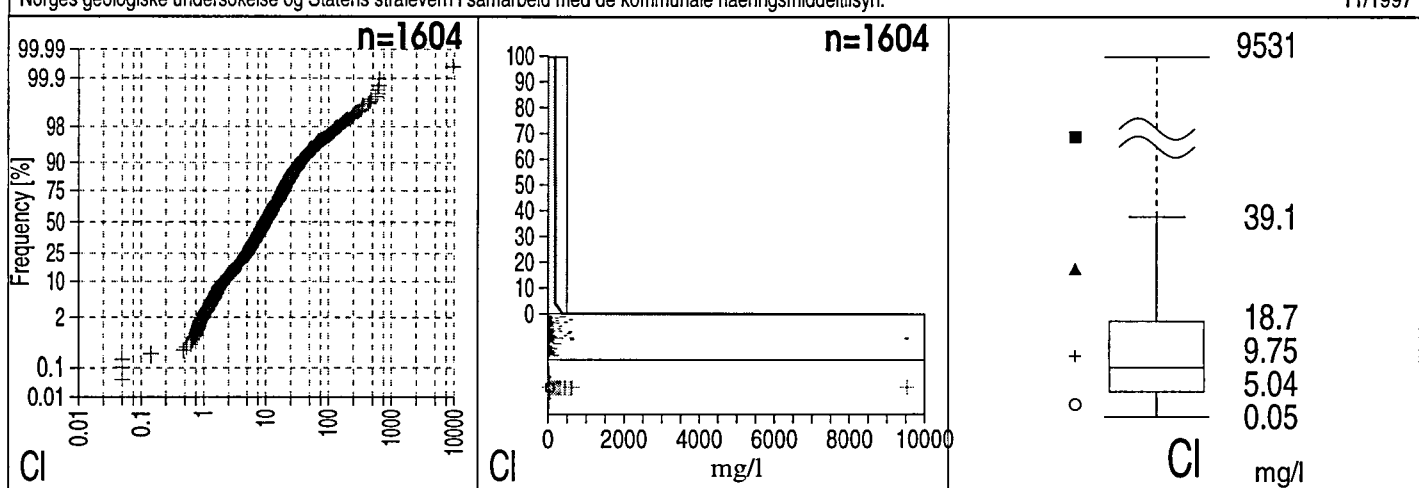


Figur 7c

SOR-NORGE*Grunnvannskjemi i fjellbronner***KLORID**

Norges geologiske undersøkelse og Statens stralevern i samarbeid med de kommunale næringsmiddeltilsyn.

11/1997

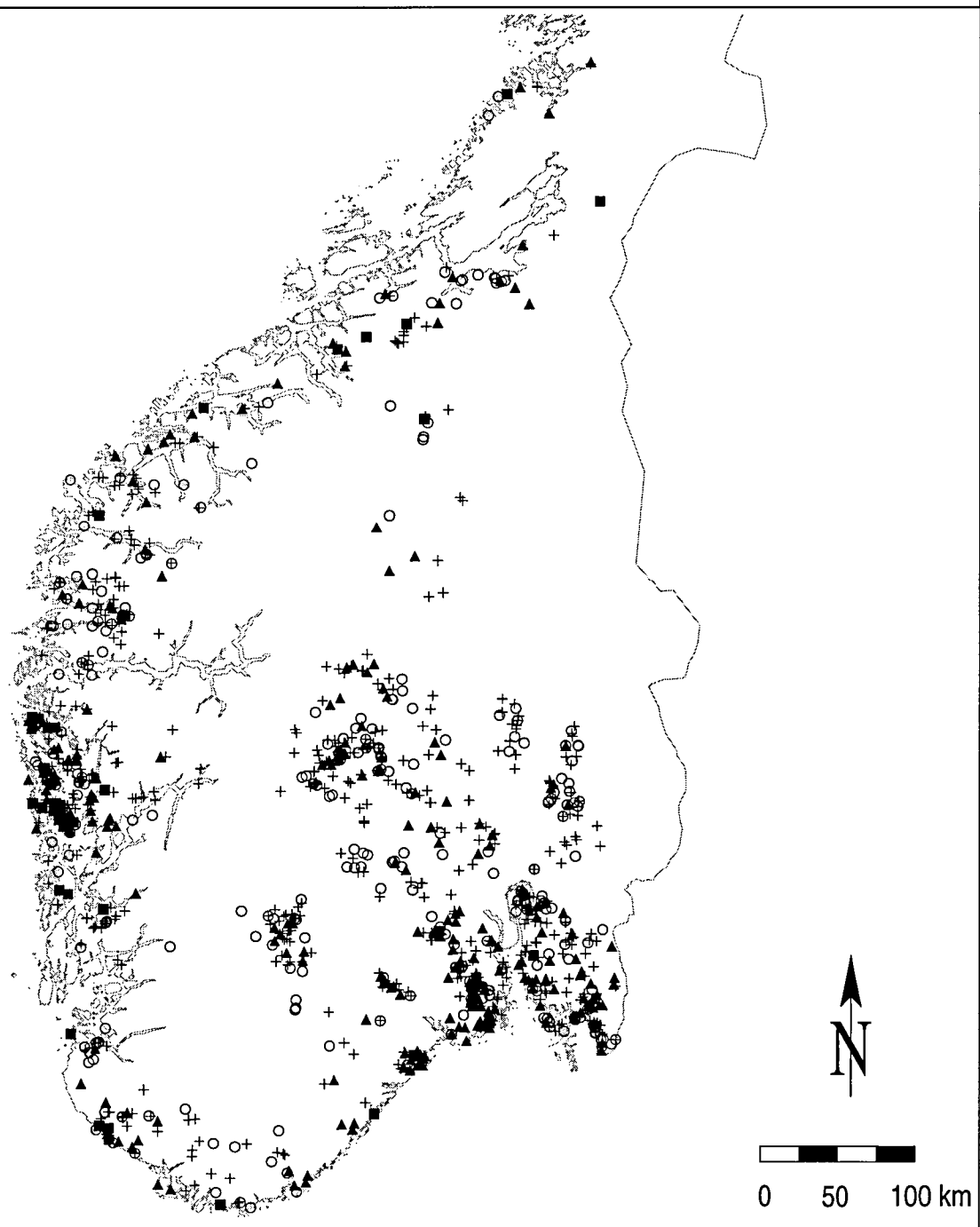


Figur 8c

SOR-NORGE

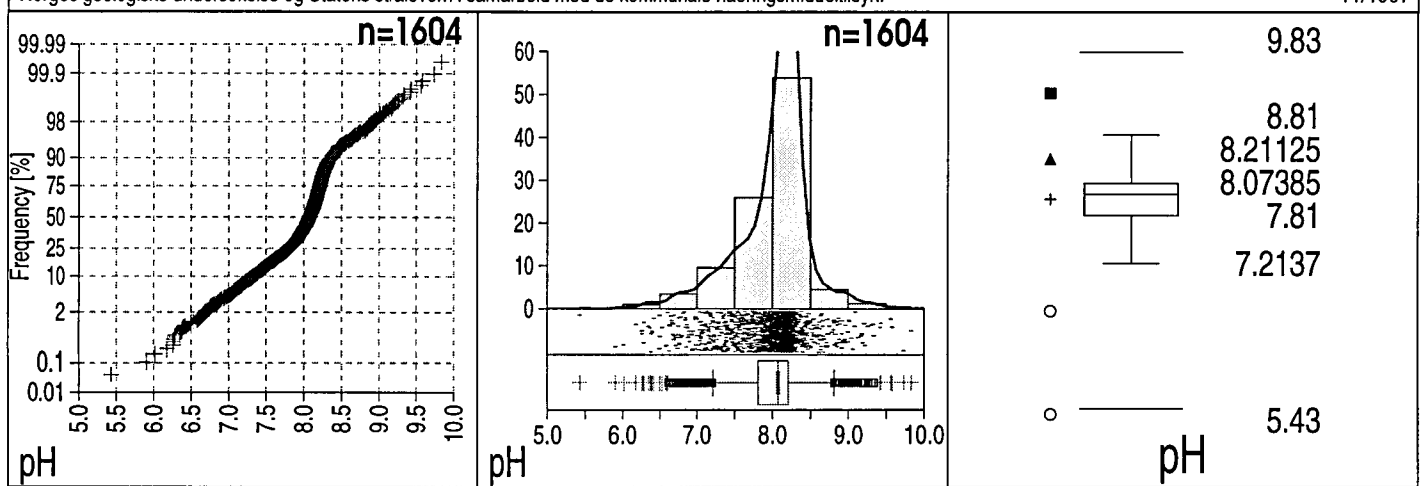
Grunnvannskjemi i fjellbronner

pH

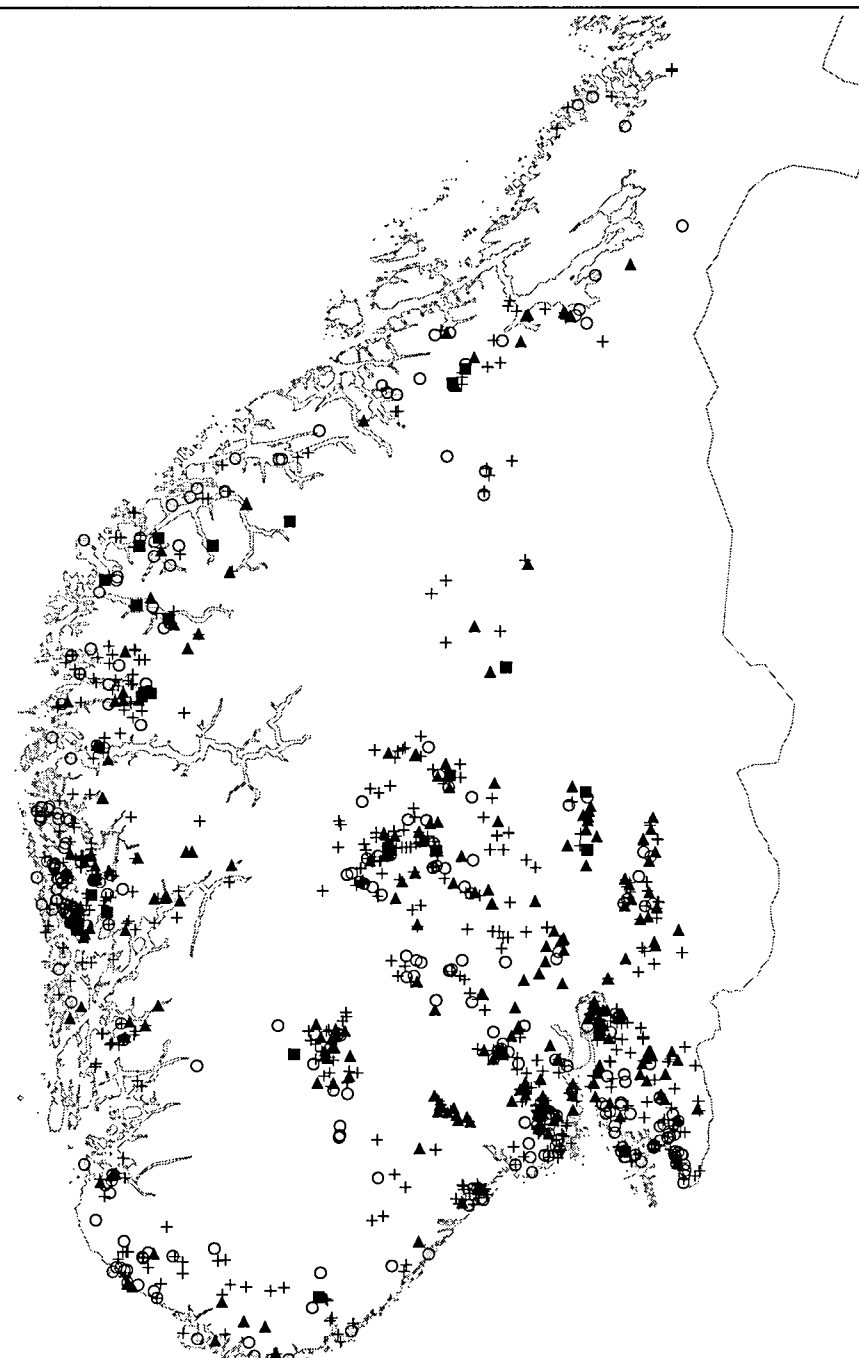


Norges geologiske undersøkelse og Statens stralevern i samarbeid med de kommunale næringsmiddeltilsyn.

11/1997



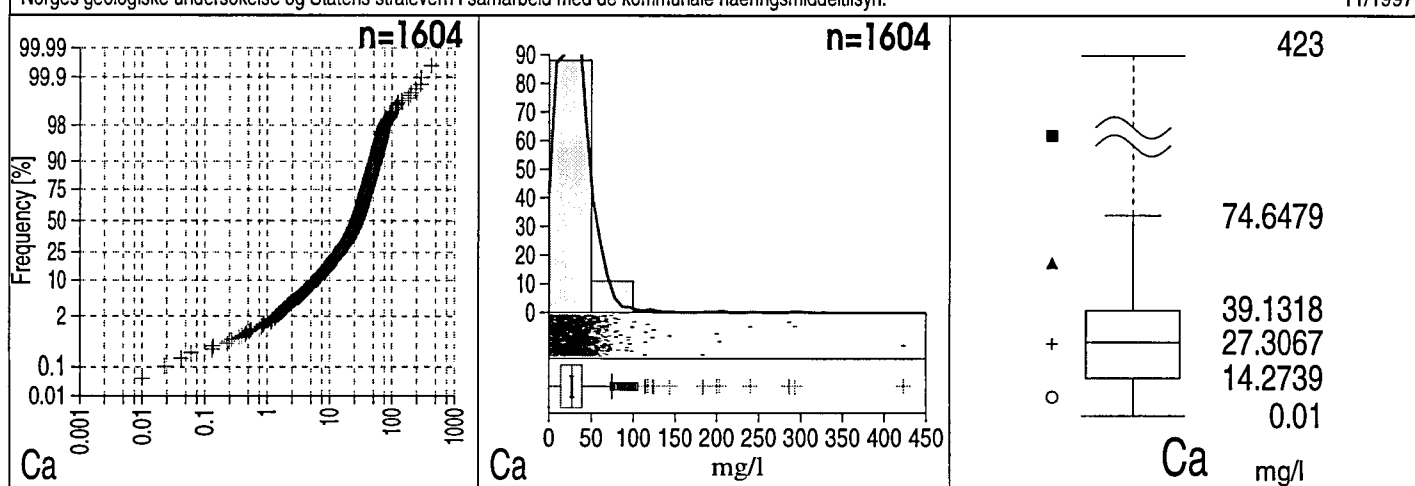
Figur 9c

SOR-NORGE*Grunnvannskjemi i fjellbronner***KALSIUM**

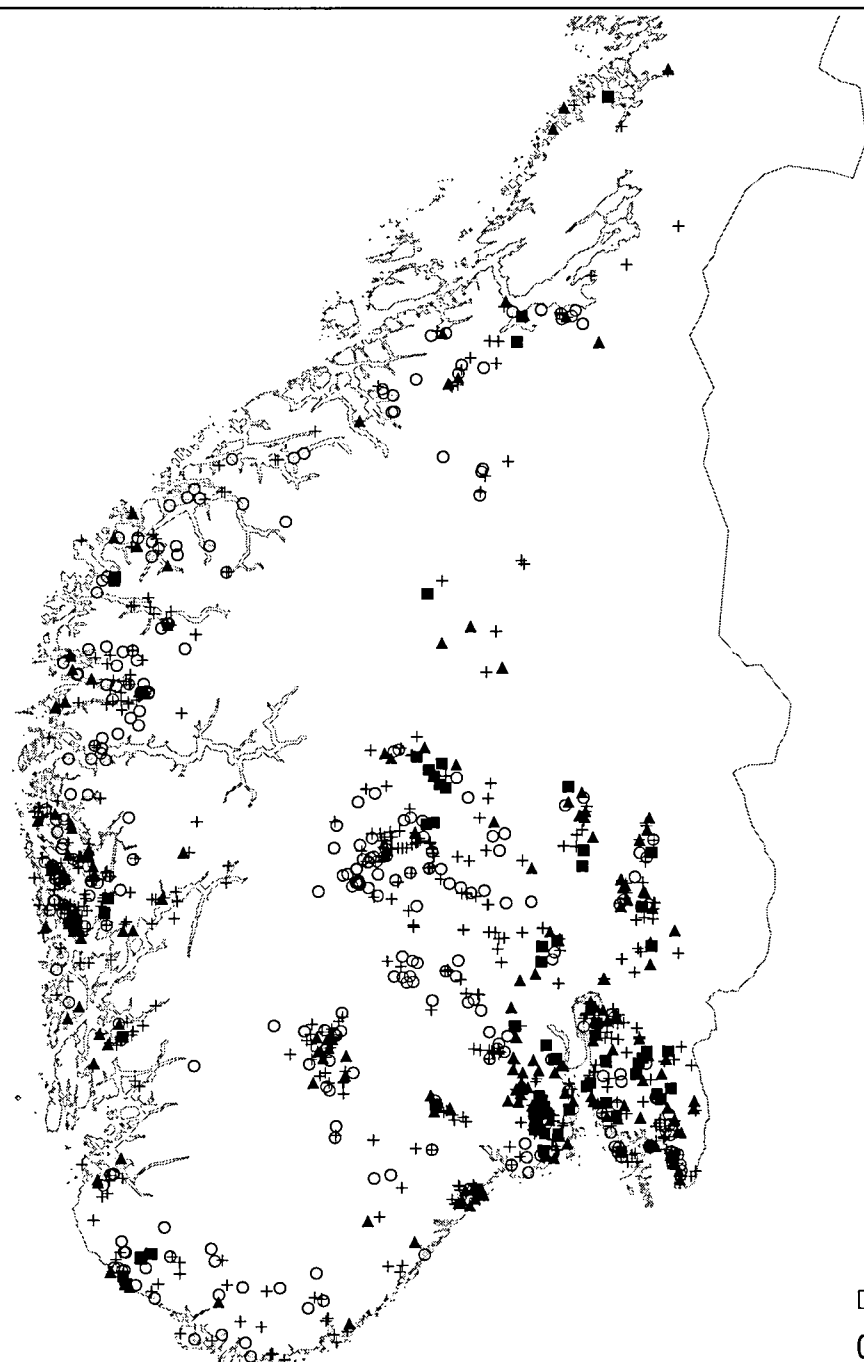
n=1328

Norges geologiske undersøkelse og Statens stralevern i samarbeid med de kommunale næringsmiddeltilsyn.

11/1997



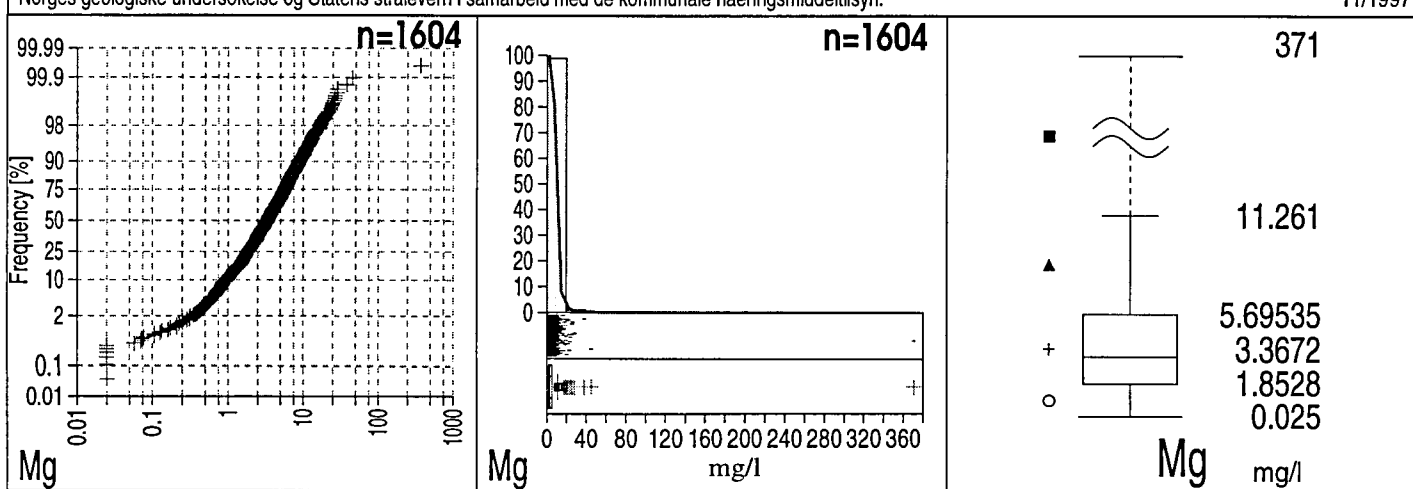
Figur 10c

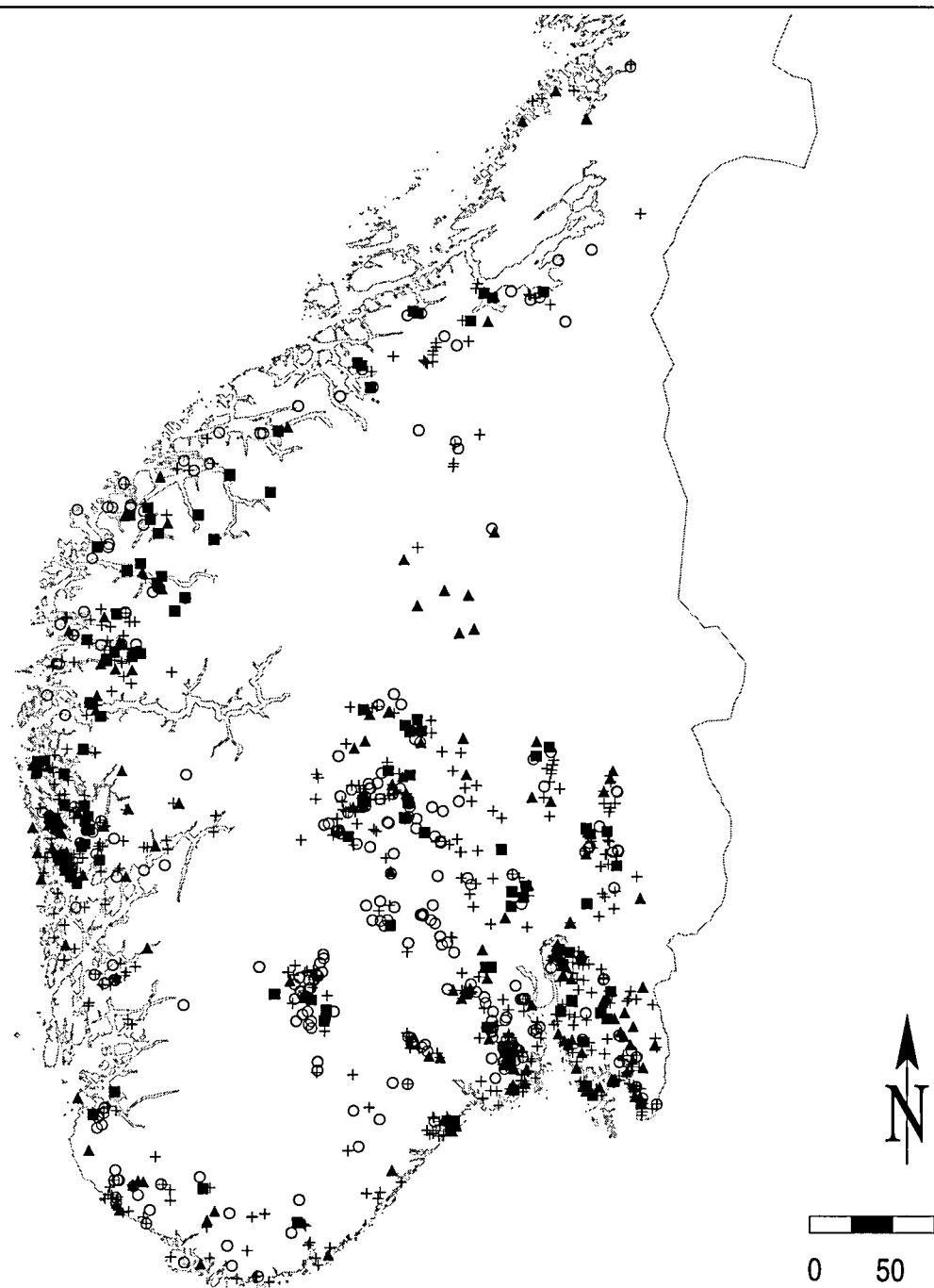
SOR-NORGE*Grunnvannskjemi i fjellbronner***MAGNESIUM**

n=1328

Norges geologiske undersøkelse og Statens stralevern i samarbeid med de kommunale næringsmiddeltilsyn.

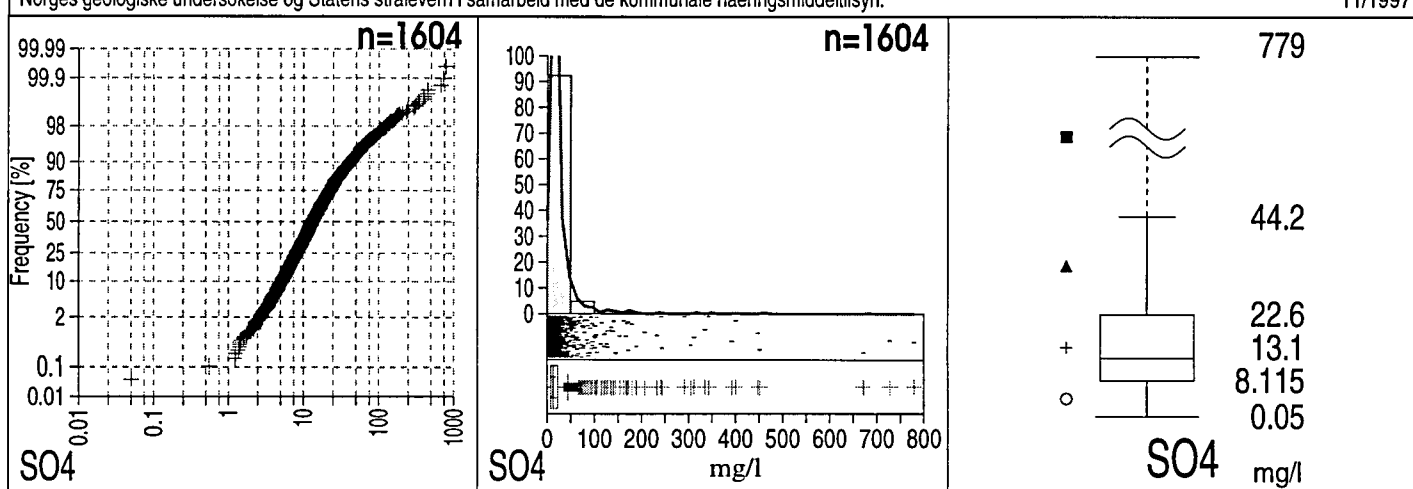
11/1997



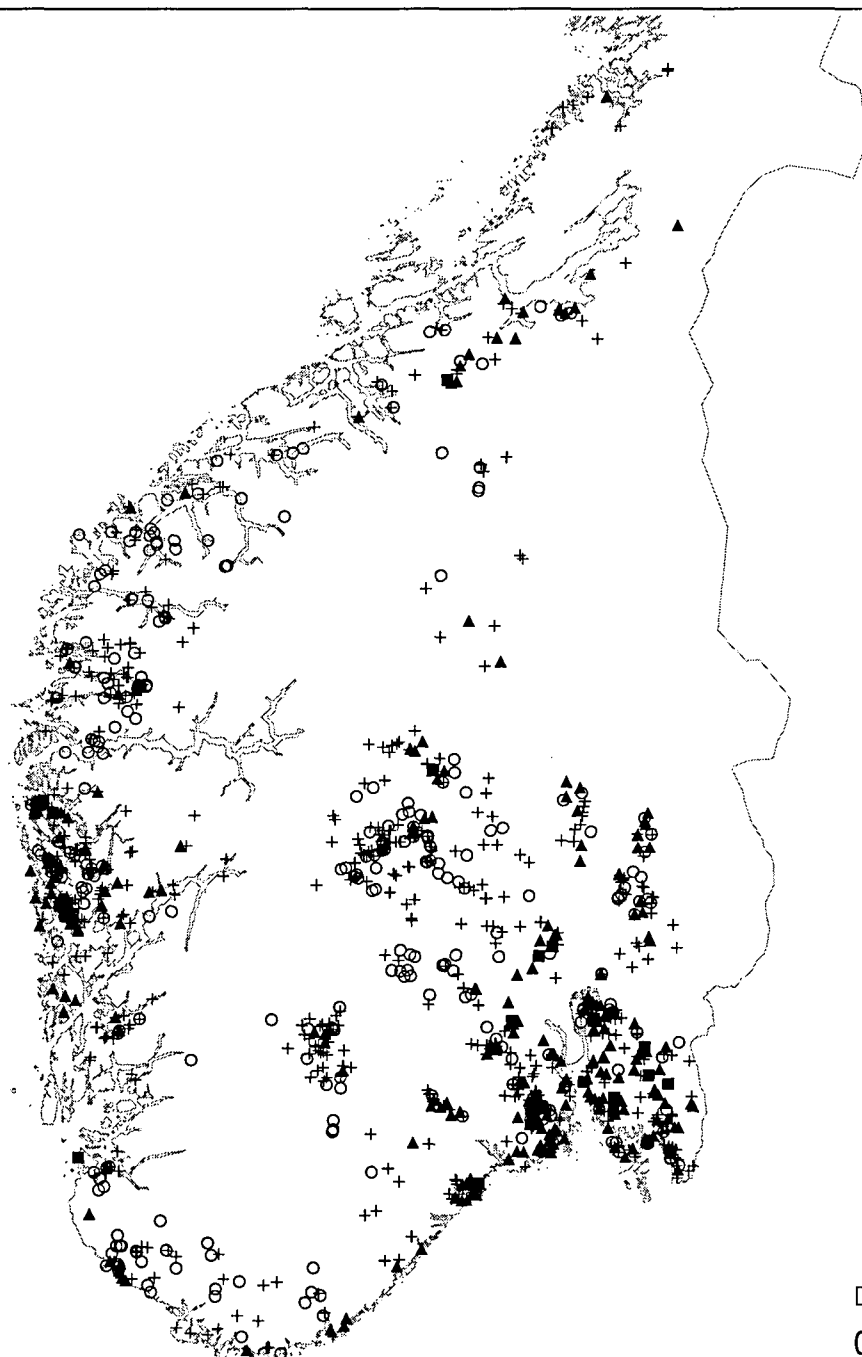
SOR-NORGE*Grunnvannskjemi i fjellbronner***SULFAT**

Norges geologiske undersøkelse og Statens stralevern i samarbeid med de kommunale næringsmiddeltilsyn.

11/1997



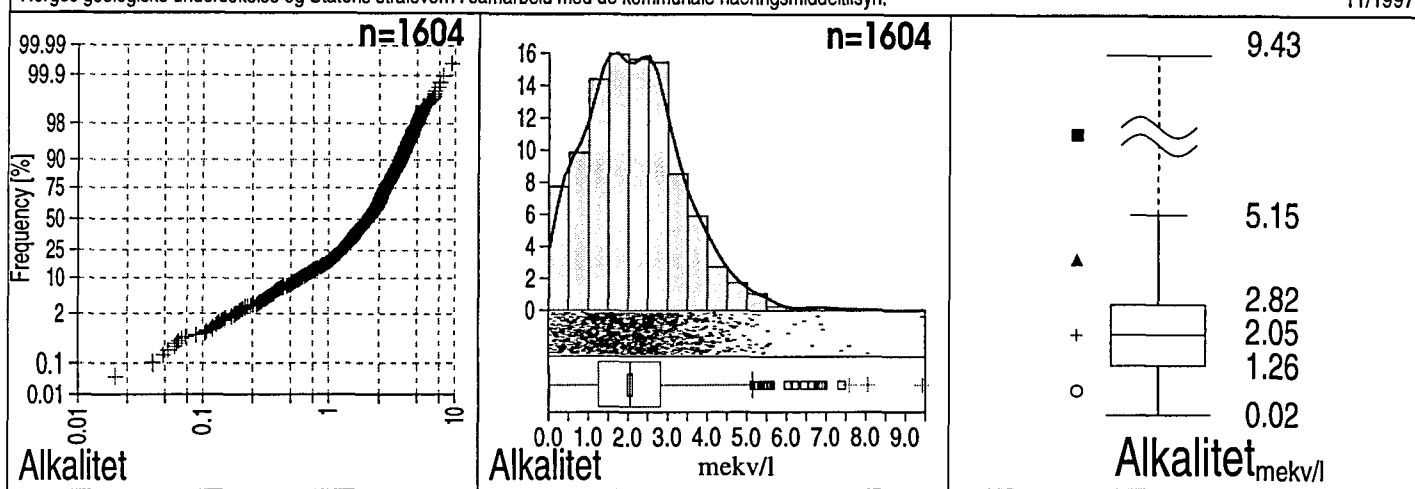
Figur 12c

SOR-NORGE*Grunnvannskjemi i fjellbronner***ALKALITET**

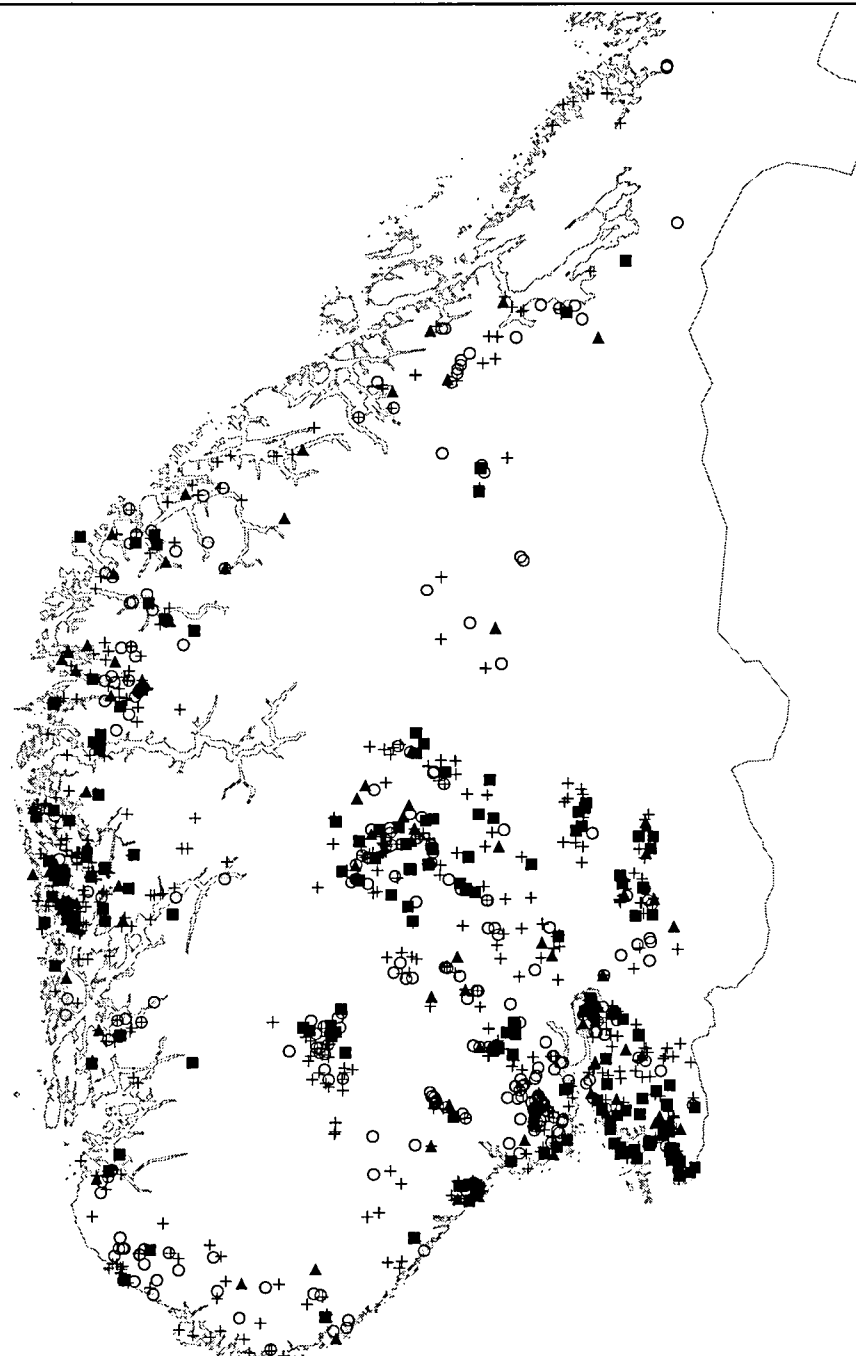
0 50 100 km

Norges geologiske undersøkelse og Statens stralevern i samarbeid med de kommunale næringsmiddeltilsyn.

11/1997



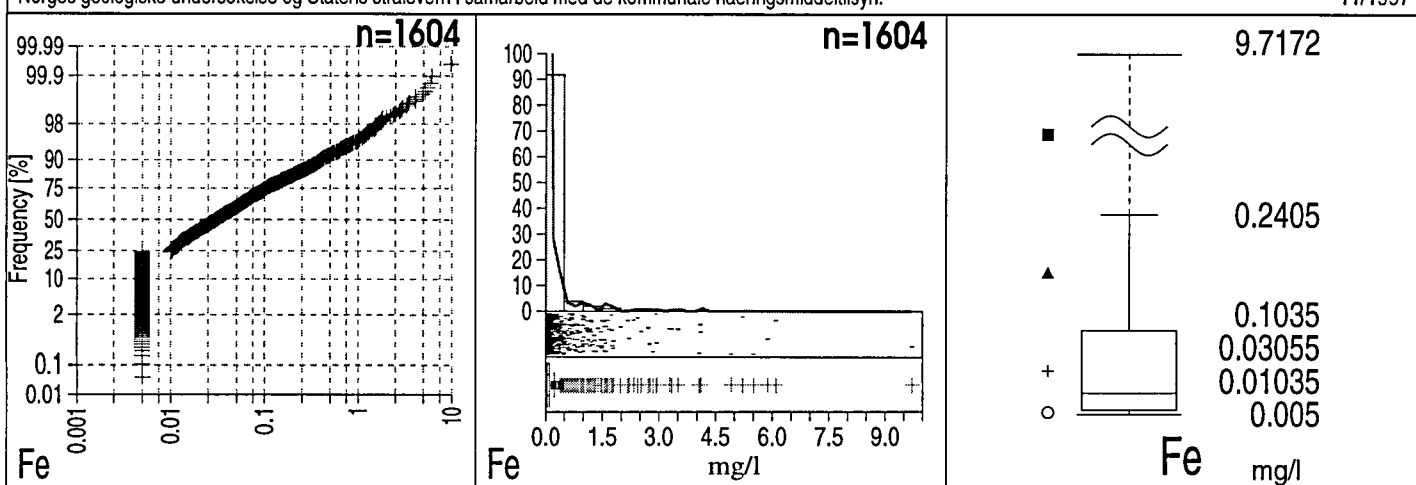
Figur 13c

SOR-NORGE*Grunnvannskjemi i fjellbronner***JERN**

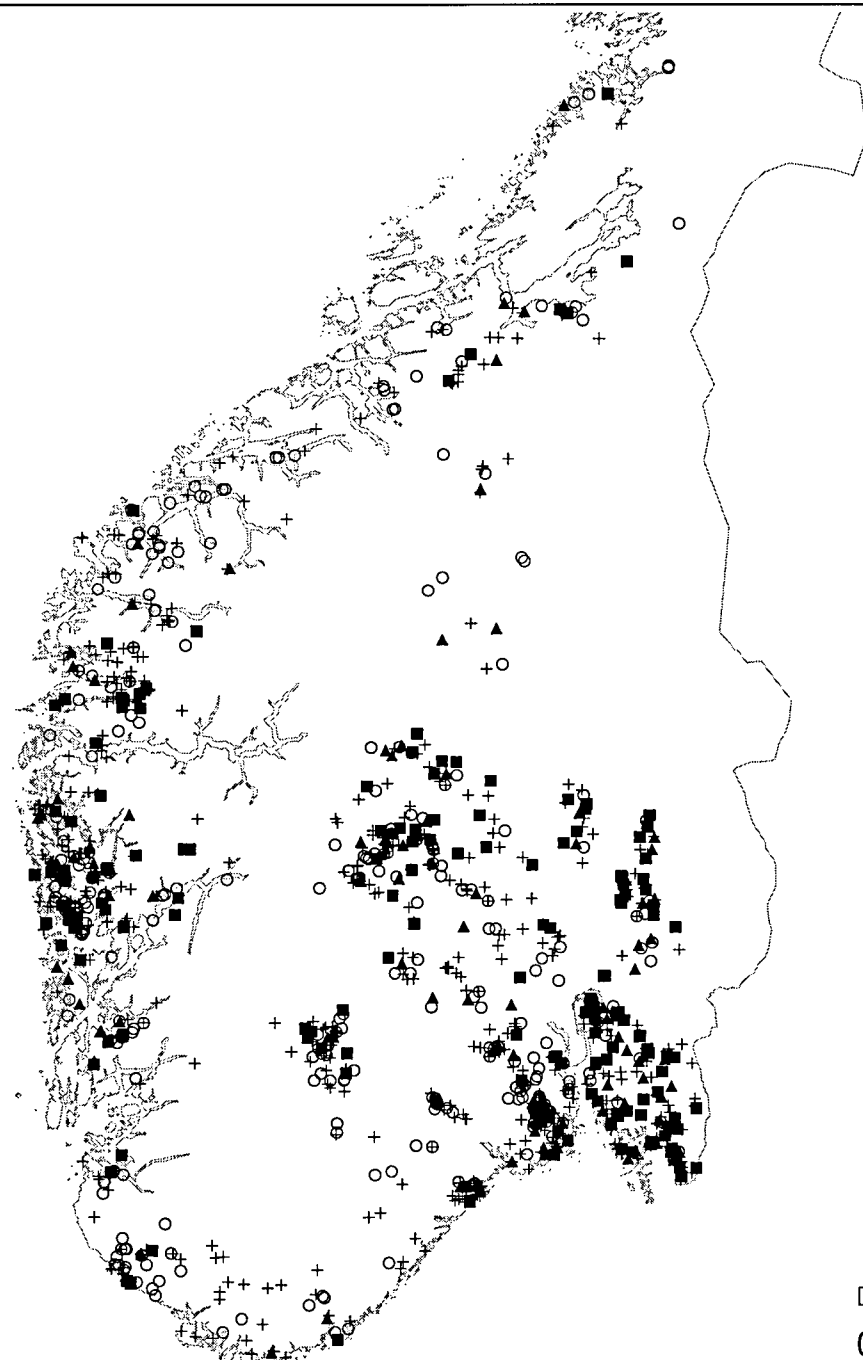
0 50 100 km

Norges geologiske undersøkelse og Statens stralevern i samarbeid med de kommunale næringsmiddeltilsyn.

11/1997

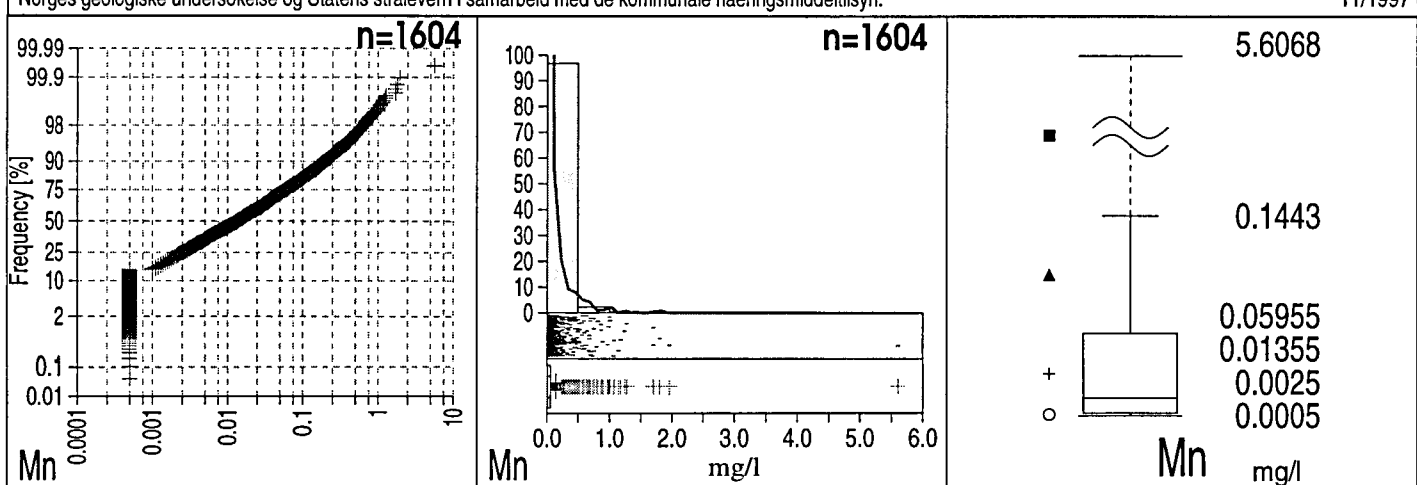


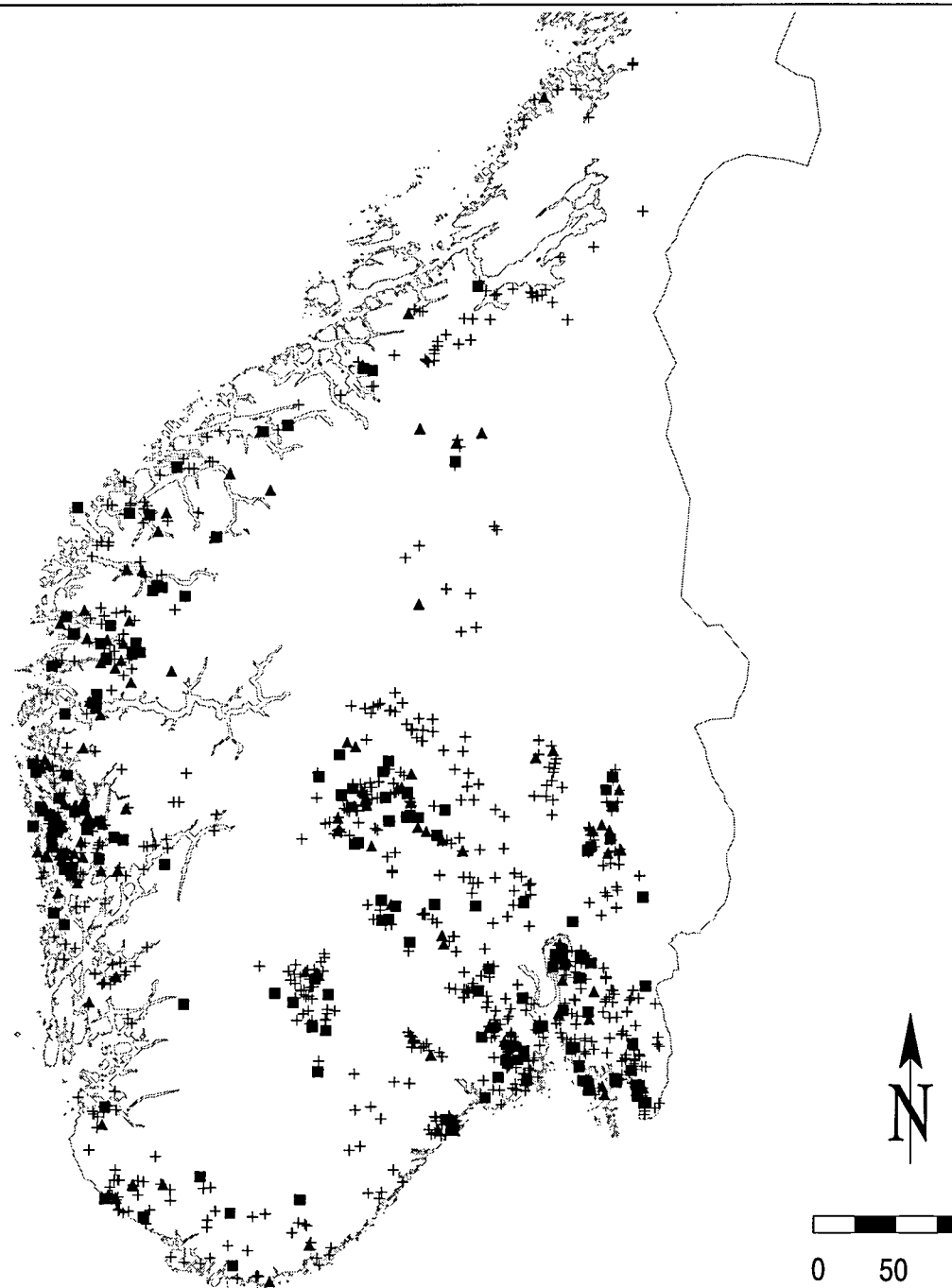
Figur 14c

SOR-NORGE*Grunnvannskjemi i fjellbronner***MANGAN**

Norges geologiske undersøkelse og Statens stralevern i samarbeid med de kommunale næringsmiddeltilsyn.

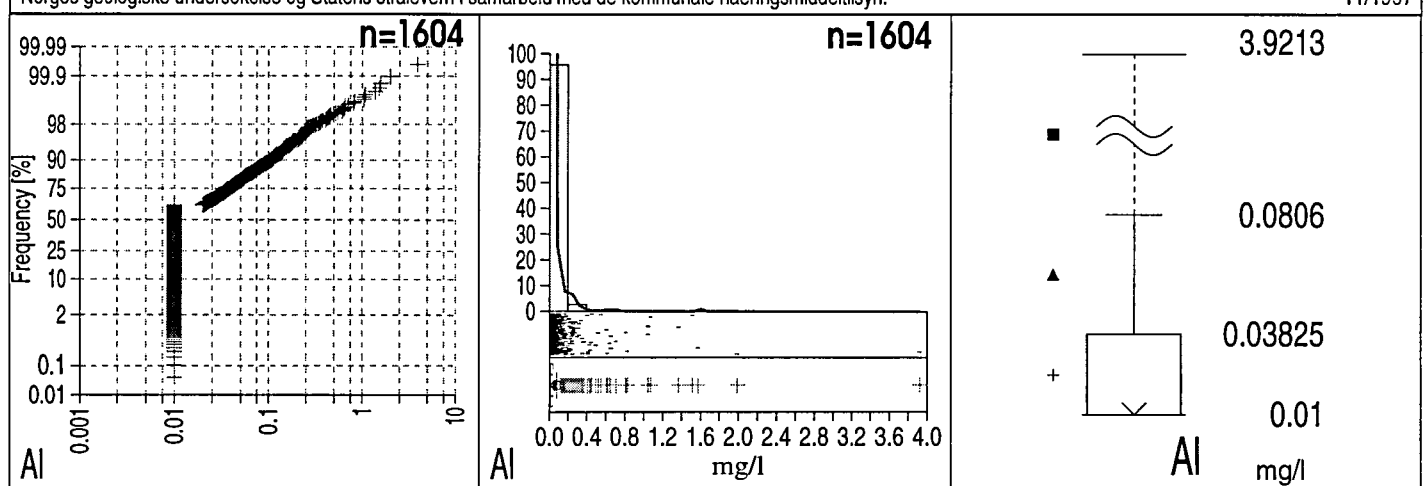
11/1997



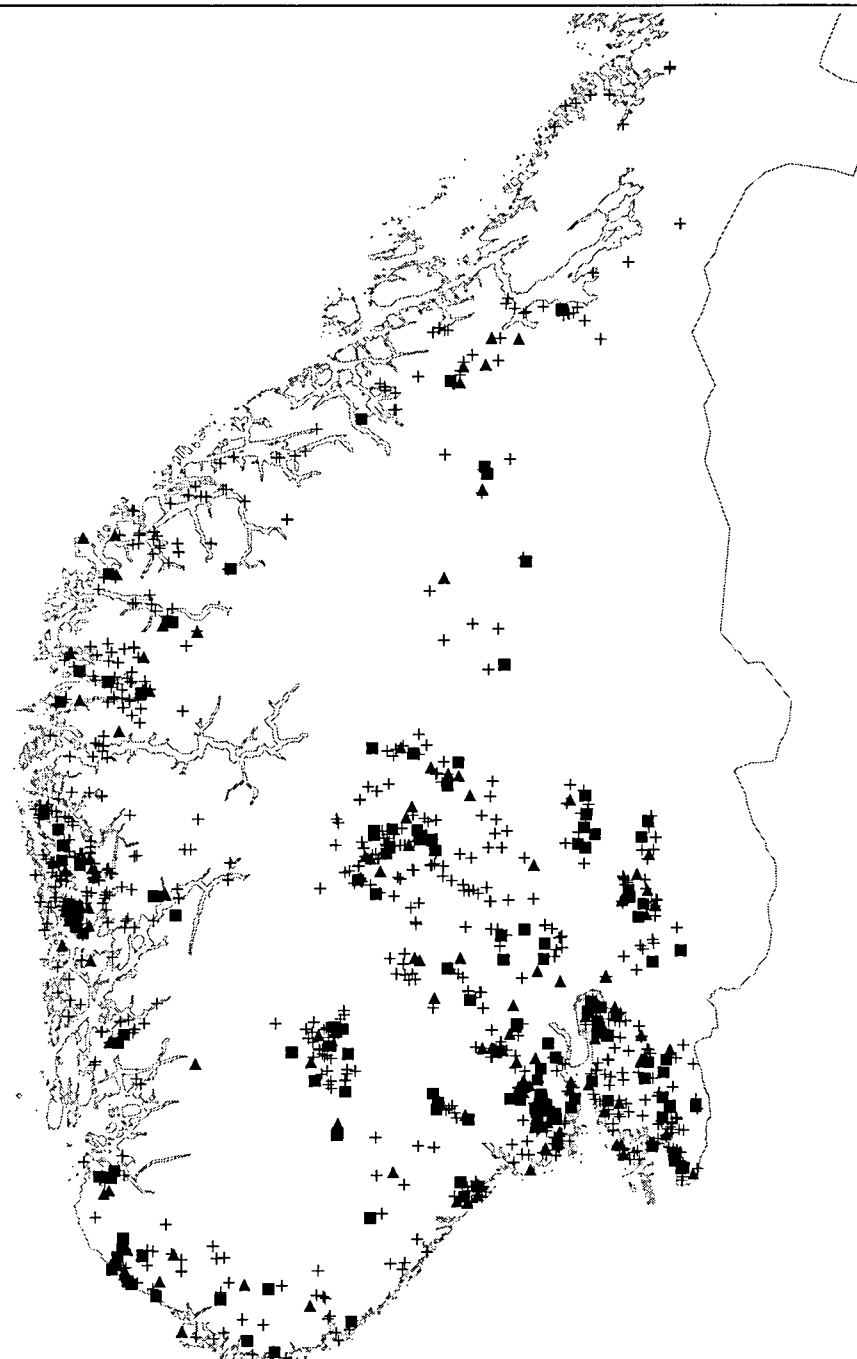
SOR-NORGE*Grunnvannskjemi i fjellbronner***ALUMINIUM**

Norges geologiske undersøkelse og Statens stralevem i samarbeid med de kommunale næringsmiddeltilsyn.

11/1997

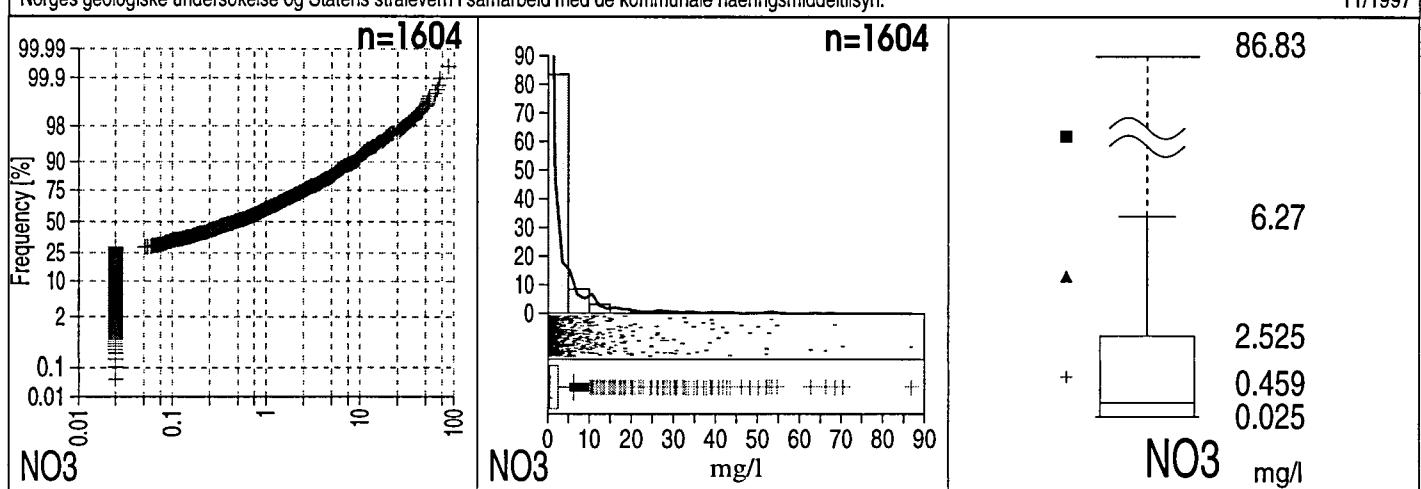


Figur 16c

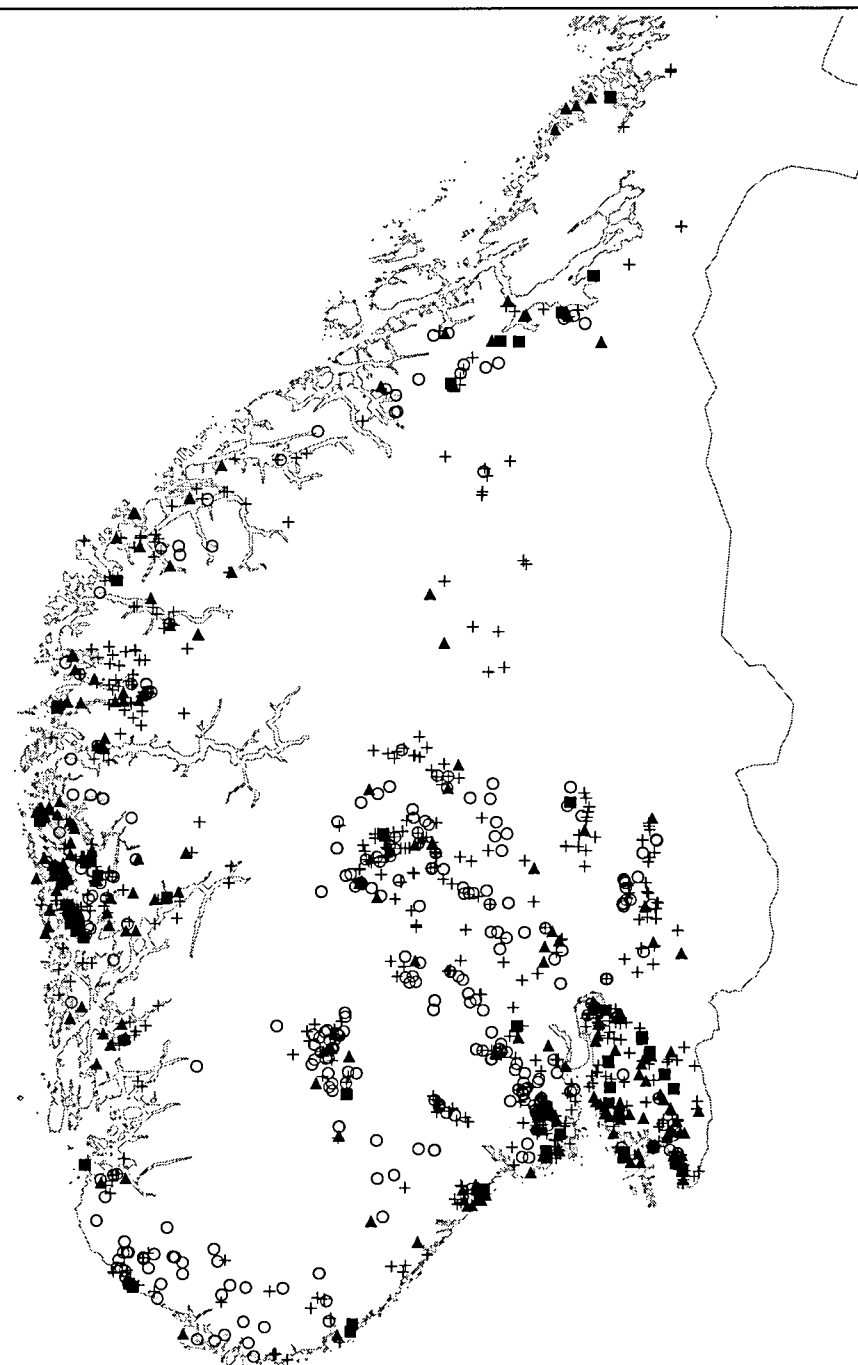
SOR-NORGE*Grunnvannskjemi i fjellbronner***NITRAT**

Norges geologiske undersøkelse og Statens stralevern i samarbeid med de kommunale næringsmiddeltilsyn.

11/1997

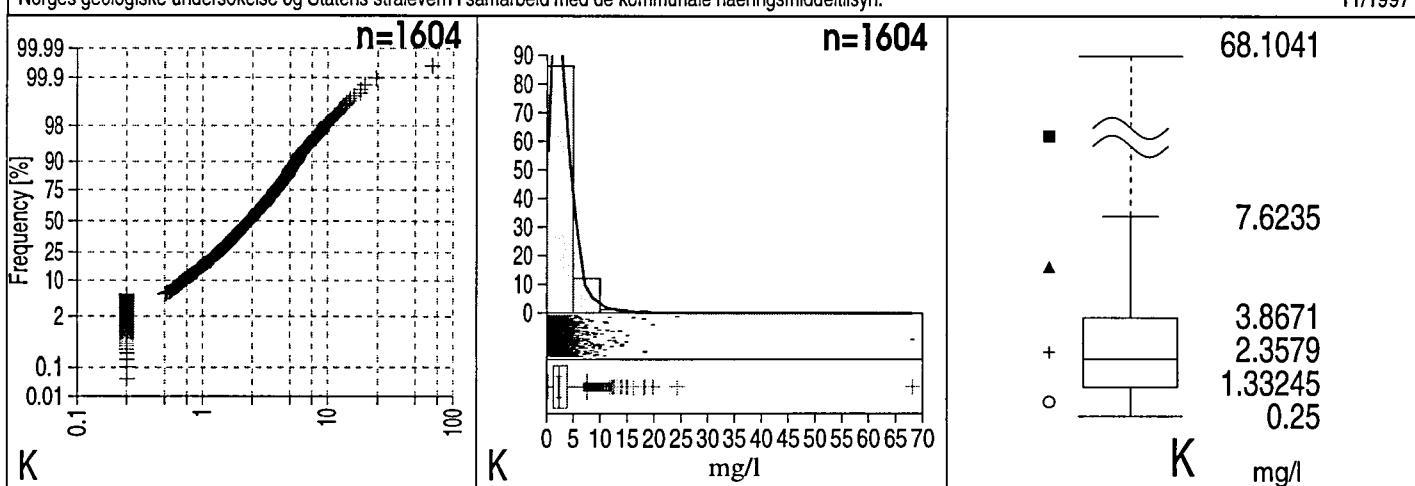


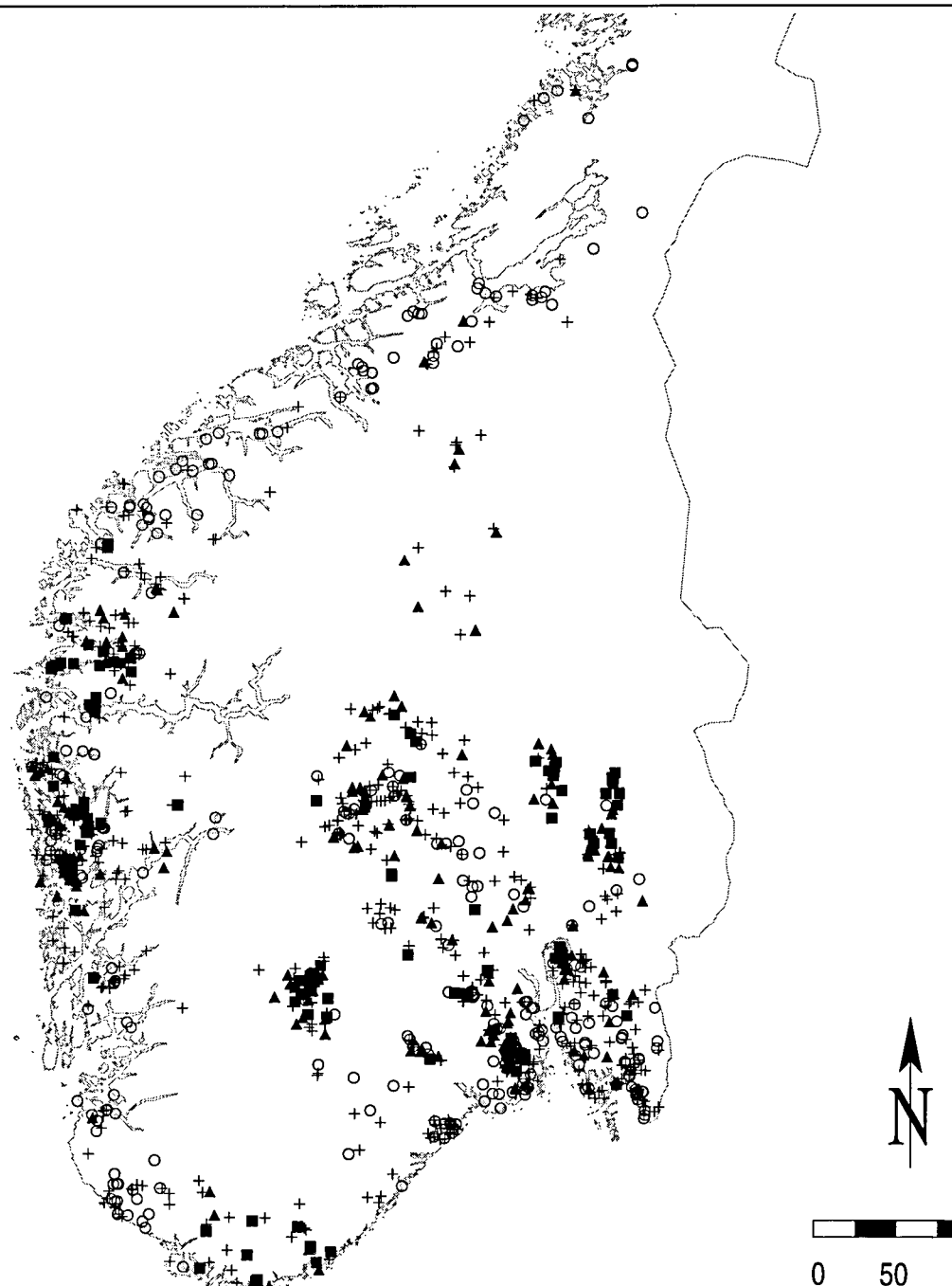
Figur 17c

SOR-NORGE*Grunnvannskjemi i fjellbronner***KALIUM**

Norges geologiske undersøkelse og Statens stralevern i samarbeid med de kommunale næringsmiddeltilsyn.

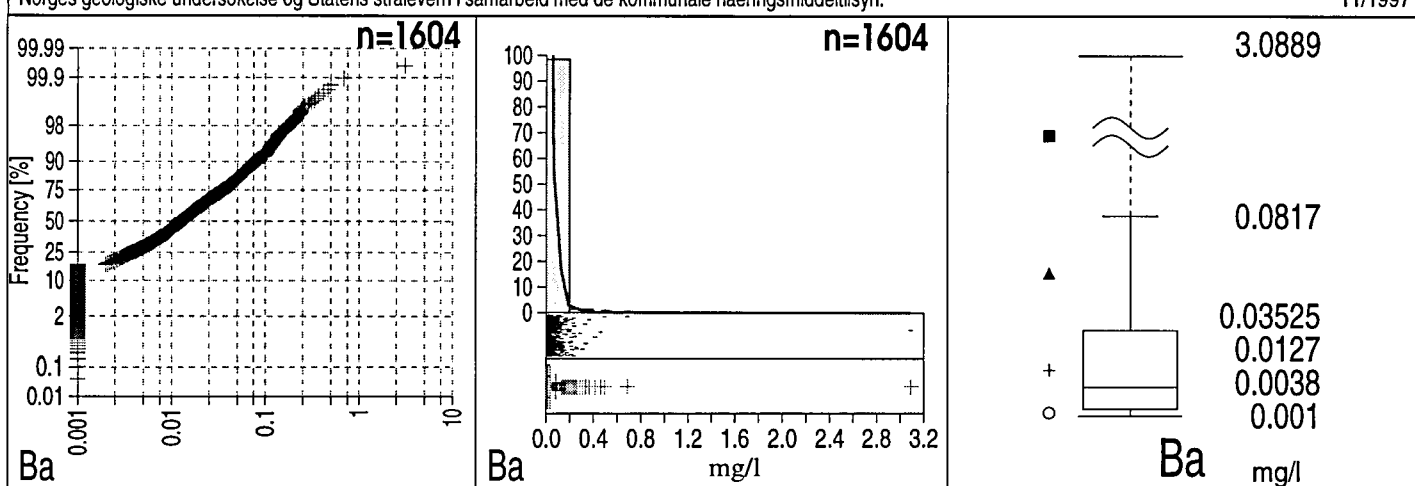
11/1997

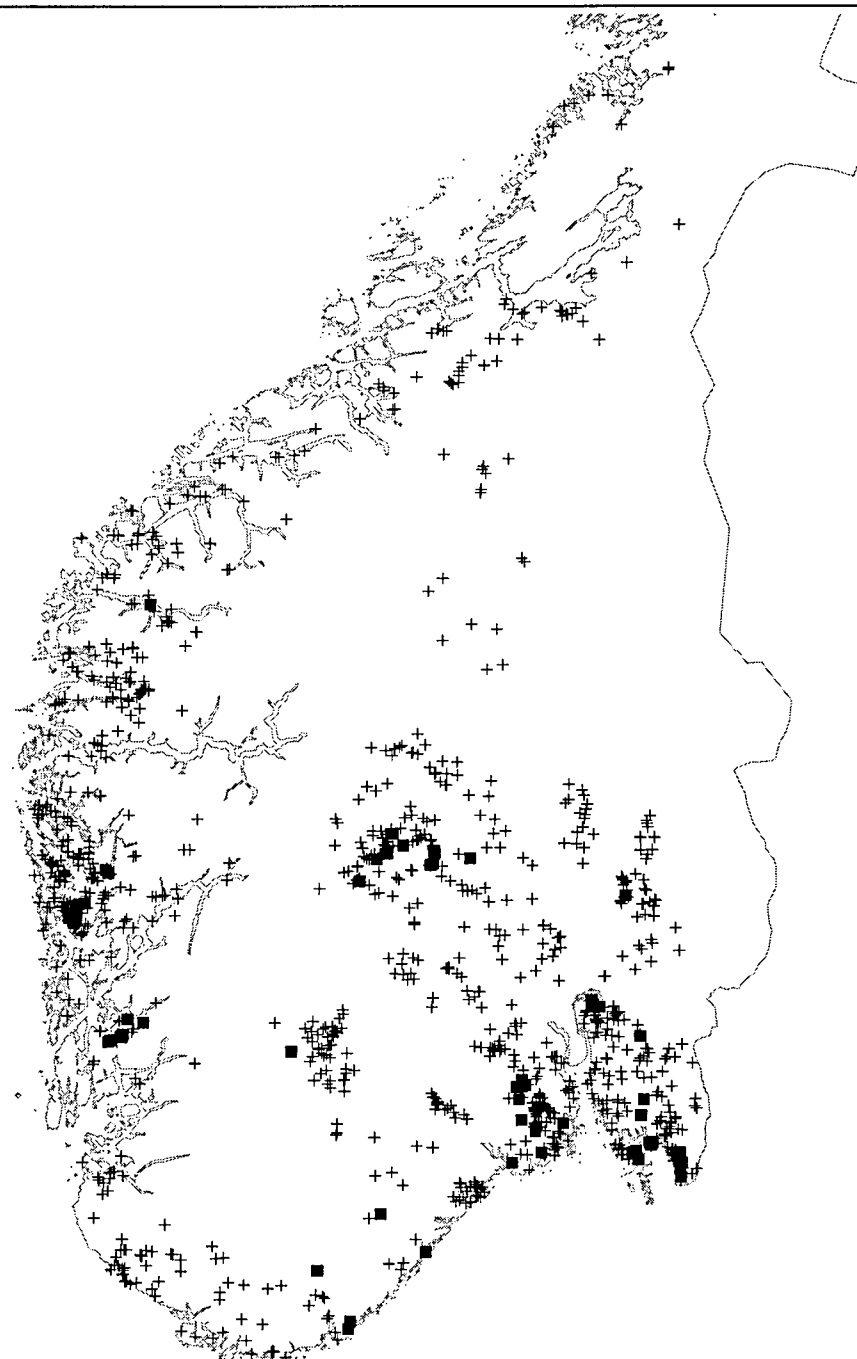


SOR-NORGE*Grunnvannskjemi i fjellbronner***BARIUM**

Norges geologiske undersøkelse og Statens stralevern i samarbeid med de kommunale næringsmiddeltilsyn.

11/1997



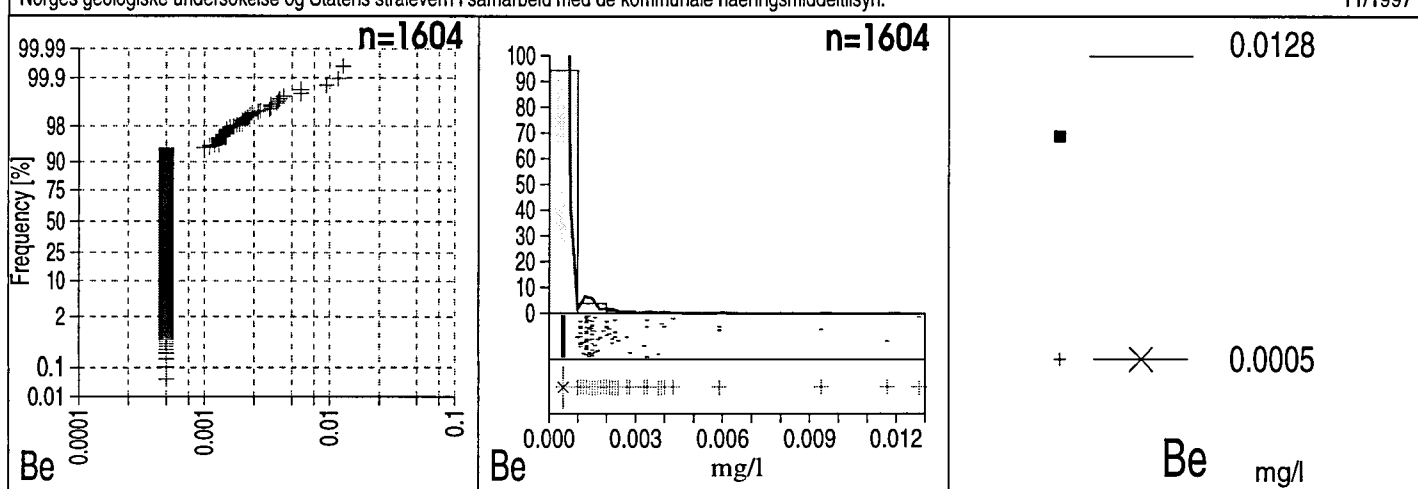
SOR-NORGE*Grunnvannskjemi i fjellbronner***BERYLLIUM**

n=1328

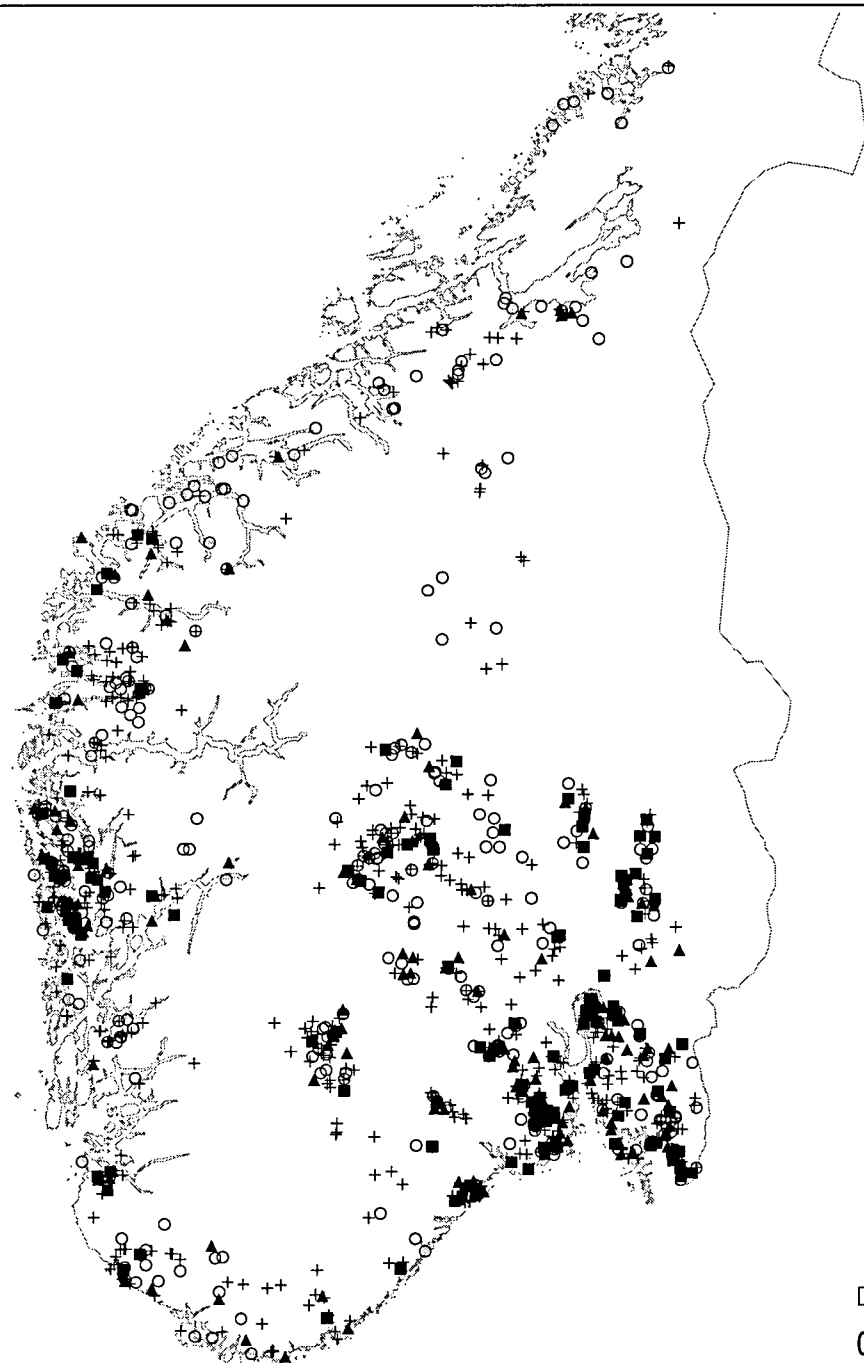
0 50 100 km

Norges geologiske undersøkelse og Statens stralevern i samarbeid med de kommunale næringsmiddeltilsyn.

11/1997

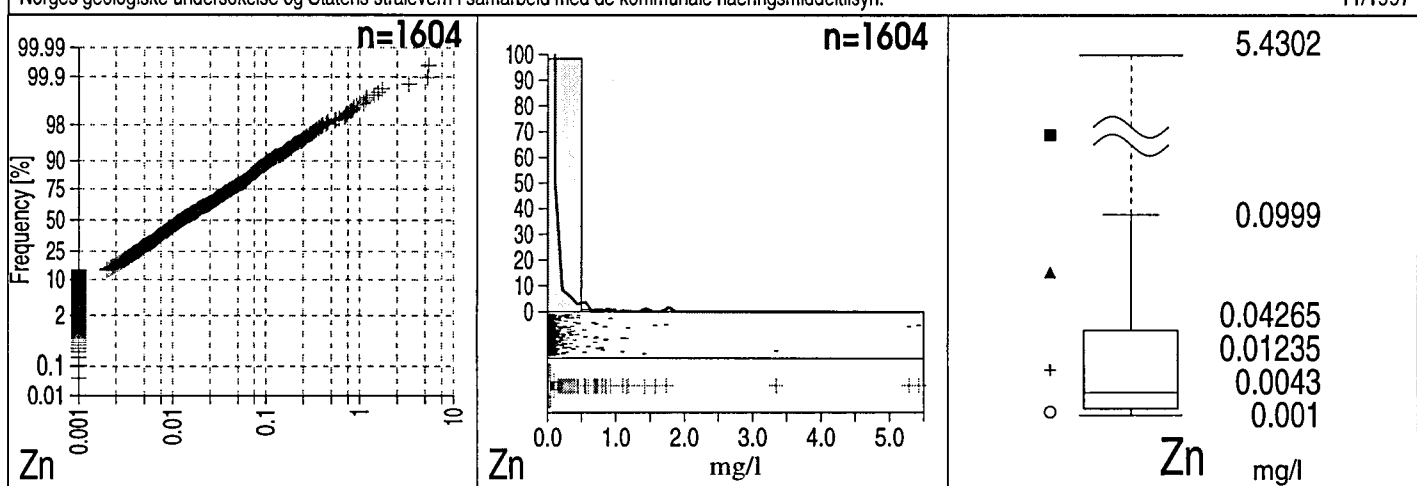


Figur 20c

SOR-NORGE*Grunnvannskjemi i fjellbronner***SINK**

Norges geologiske undersøkelse og Statens stralevern i samarbeid med de kommunale næringsmiddeltilsyn.

11/1997



BEHANDLINGSMETODER FOR RADON OG FLUORID

Radon

Det finnes flere metoder for å redusere radoninnholdet i vann. Ingen av disse løsningene vil helt kunne fjerne radoninnholdet i vannet, men enkelte løsninger har vist en reduksjonseffekt på i overkant av 95%. Det er i prinsippet tre løsninger som kan benyttes for å redusere radonkonsentrasjonen i vann:

- i) lufting
- ii) lagring
- iii) filtrering

Disse metodene kan også kombineres. Statens strålskyddsinstitut i Sverige utga i 1995 resultatene fra to sammenlignende undersøkelser av ulike metoder og tekniske løsninger fra forskjellige produsenter. Flere ordinære vannrenseanlegg for fjerning av kalk, tungmetaller, forurensninger, giftige gasser og regulering av surhet viste seg å også kunne redusere radonkonsentrasjonen i noen grad, men som regel ikke tilstrekkelig til å bringe konsentrasjonen til under tiltaksnivået på 500 Bq/l.

Beste resultat ble oppnådd med ulike systemer for lufting. Prinsippskisser over de mest effektive tekniske løsningene er gjengitt i rapport 95-18 fra Statens strålskyddsinstitut i Sverige. Etter at disse undersøkelsene ble utført er det imidlertid kommet flere nye modeller på markedet - noen med bedre effekt i forhold til pris enn tidligere anlegg. Kostnad for de forskjellige løsningene som i dag tilbys på kommersiell basis varierer fra i underkant av kr. 10 000 til ca. kr. 30 000.

Lufting av radonholdig vann

En av de mest effektive måtene for å redusere radoninnholdet i større mengder vann er ved gjennomlufting med luft som er mest mulig fri for radon (vanlig ren utluft). Radonkonsentrasjonen i vannet vil derved komme i likevekt med luften. Dette kan gjøres ved forskjellige former for gjennombobling, spredning eller overrisling. Denne metoden foregår ved normalt luftrykk og krever derfor i tillegg en ekstra pumpe og trykktank for å få vannet inn på vannledningsnettet.

Effektiviteten av systemet beror i stor grad på utformingen av luftinnblandingsmetoden og sprededyssene. Best effekt får man ved lufting i flere trinn eller ved sirkulasjon flere ganger. Utlufting fra systemet må skje til fri luft, ikke til inneluften. Anlegg som benytter denne metoden kan fjerne opptil 99% av radongassen, men effektiviteten synker betydelig med stort uttak av vann fra anlegget.

I mindre vannmengder kan man også redusere radonkonsentrasjonen betydelig ved kraftig visping med f.eks. en elektrisk visp i noen minutter.

Radon er lett løselig selv i kaldt vann (51 vol.% ved 0°C). Som for alle gasser synker løseligheten betydelig ved middels høyere temperatur (13 vol.% ved 60°C), men ikke tilstrekkelig til å redusere radonkonsentrasjonen til akseptable nivåer hvis man i utgangspunktet har høye radonkonsentrasjoner. Først når vannet når kokepunktet kan man få tilsvarende effekt som ved lufting.

Når radon brytes ned dannes det en rekke kortlivete datterprodukter av polonium, vismut og bly. Dette er også radioaktive nukliser som vil dannes kontinuerlig i vann som inneholder radon. Disse datterproduktene har imidlertid en svært kort halveringstid og konsentrasjonen vil være redusert til mindre enn 1/5 etter bare en time. Vannet bør derfor gå via en lagringstank eller lignende slik at det tar minst en time før det benyttes som drikkevann.

Lagring av radonholdig vann

Radon har en halveringstid på ca. 92 timer. Det innebærer at radonkonsentrasjonen i en avstengt mengde vann er mer enn halvert etter fire døgn, redusert til mindre enn 1/10 etter 2 uker, og til mindre enn 1/100 etter en måned. Lang lagringstid innebærer imidlertid en fare for bakterievekst.

Kombinert lufting og lagring

Kombinasjonen av lufting og lagring i store magasiner er hovedgrunnen til at vann fra større grunnvannverk meget sjeldent har radonkonsentrasjoner over tiltaksnivået. En måte å gjøre dette på for et mindre antall enheter (få husholdninger) er f.eks. å la vannet fra borebrønnen finfordeles via en spreder, og det gjerne i flere omganger og deretter ned i en godt ventilert tank. Jo større volum, jo lengre effektiv lagringstid. Som for rene luftingssystemer beror effektiviteten særlig på hvor god blanding man oppnår mellom luft og vann.

Filtrering av radonholdig vann

Det finnes ulike filtreringsmetoder som kan redusere radoninnholdet i vann. De to vanligste metodene som benyttes er såkalt *omvendt osmose* og filtrering gjennom *aktivt kull*.

Omvendt osmose er i prinsippet den samme metoden som benyttes blant annet til avsalting av havvann. Vannet presses under høyt trykk gjennom en halvgjennomtrengelig membran, som slipper vannmolekylene gjennom, men holder større partikler og molekyler, som f.eks. bakterier, organiske forurensninger, større ioner og radon tilbake.

Metoden har vist seg å kunne fjerne inntil 90% av radonet, men har som oftest liten kapasitet, bare noen liter pr. minutt. Metoden egner seg derfor ikke for annet enn vann som kun skal benyttes til drikkevann og ikke som vanlig husholdningsvann. Prisen er dessuten relativt høy.

Aktivt kull kan adsorbere en rekke stoffer, herunder også radon. Kapasiteten er blant annet avhengig av volumet på filteret. Til en enkelt husholdning kreves et filtervolum på minst 50 liter. Effektiviteten av filteret vil svekkes med tiden, og kullet må byttes ut med bare noen måneders tidsrom. I det aktive kullet vil det dessuten etterhvert oppkonsentreres langlivete radioaktive datterelementer av radon som igjen kan avgive stråling til omgivelsene. Denne strålingen påvirker ikke vannkvaliteten, men gjør at kullet vil måtte tas hånd om og behandles på spesielle måter. Metoden egner seg dessuten kun for moderat forhøyde radonkonsentrasjoner (under 2000 Bq/l).

Kommersielt tilgjengelige tiltaksløsninger

Det markedsføres en rekke ulike renseanlegg for radonholdig vann i Norden. De fleste av disse løsningene er utviklet i Sverige, men selges også i Norge via agenter.

Enkelte løsninger er ofte en kombinasjon av flere av de ovennevnte metodene. Det anbefales at det foretas en individuell avveining av effektivitet i forhold til kostnad, og at man innhenter anbud med skriftlig garanti for effektiviteten i hvert enkelt tilfelle. Det bør dessuten etterlyses dokumentasjon på effekt gjennom deltagelse i uavhengige tester.

Fluorid

Fluorid er ikke spesielt lett å behandle, fordi grunnstoffet er nokså løselig og ikke-reaktivt. Fluorid har imidlertid tre egenskaper som danner grunnlag for behandlingsmetoder (f.eks. USEPA 1984):

- (i) fluorid-ionet er ganske stort og kan filtreres ut med meget små "filtre" - dvs. omvendt osmose.
- (ii) fluorid har stor affinitet til aluminium, og kan felles ut under koagulering med aluminiumssalter
- (iii) fluorid kan byttes ut mot hydroksid på noen spesielle resiner og aluminiumsmineraler (hydroksider, fosfater, silikater). Dette gir muligheter for behandling med anionbyttefiltere. Reaksjonen som foregår her er faktisk det motsatte av det som foregår i akviferen og som frigjør fluorid til grunnvannet!

Behandling av fluor ved små grunnvannsanlegg

De to best egnede metodene som er tilgjengelige i Norden er:

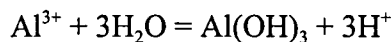
- (i) omvendt osmose. Det kan her dreie seg om en liten modul på kjøkkenbenken som kun behandler det vannet som anvendes som drikkevann. Her blir vannet ved hjelp av overtrykk tvunget gjennom et meget fint filter som fjerner større ioner (ladede partikler) i vannet, slik som fluorid, nitrat og uran. Metoden krever litt vedlikehold (de fjernede ionene samler seg på innløpssiden av filteret som saltanriket vann, som leilighetsvis må skyllses vekk). Metoden krever at vannet er fritt for partikler og oppløst jern, som kan tette igjen filteret (Schneiter & Middlebrooks 1983, Huxstep & Sorg 1987, Grundfos 1988).
- (ii) anionebytting. Dette baserer seg på at noen materialer (spesielle ionebytteresiner eller "aktivert alumina" [Clifford et al. 1978; Rubel & Woolsey 1978; Wu 1978; Bishop & Sansoucy 1978; Choi & Chen 1979; Barbier et al. 1984; Karthikeyan et al. 1994]) bytter ut fluoridioner mot hydroksidioner. Det vil si at fluorid fra vann adsorberes på ionebyttefilteret samtidig som hydroksid frigis. I noen tilfeller kan det være gunstig med tilsetting av litt syre eller CO₂ for å fjerne hydroksidioner fra innløpsvannet (Guo-Xun 1994; Bulusu & Nawlakhe 1990, Rubel & Woolsey 1978). Ionebyttemassen må periodevis regenereres med f.eks. hydroksidløsning (lut). Den regenereringen fjerner de adsorberte fluoridionene og erstatter dem på nytt med hydroksid. Kathikeyan et al. (1994) beskriver et aktivert alumina utstyr som behandler 3 l/t, og som reduserer fluoridinnholdet fra 3 mg/l til 1 mg/l, med en kostnad i India på 650 indiske rupees (ca. 140 NoK).
- (iii) I noen tilfeller er det fosfat som byttes ut mot fluorid (f.eks. på aluminiumfosfat; Qianjie & Hanwen 1992).
- (iv) Kationebyttere kan også benyttes hvis kationebytteren inneholder aluminium. Aluminiumet adsorberer fluoriden. Med noen ionebyttertyper (inkludert kationebytter og aktivert alumina) kan saltsyre/svovelsyre benyttes for regenerering (Qianjie & Hanwen 1992; Samchenko et al. 1987).
- (v) En metode som ligner (iv) benytter aluminiumssulfat-behandlet aktivt kull (Slipchenko & Malitskaya 1987).

Metodene (i) og (ii) er de mest aktuelle metodene i Norden. Metodene (iii) til (v) er utprøvd i Kina og tidligere Sovjetsamveldet.

Behandling av fluorid ved større vannverk

Man kan bruke metodene som er omtalt i 8.2.1 til behandling av vann ved større vannverk, men det blir fort dyrt å behandle store mengder vann. En metode som ofte benyttes for å behandle fluor (og en del andre parametere) er koagulering med aluminiumssalter (N'Dao et al. 1992).

Aluminium tilsettes i form av aluminiumklorid eller -sulfat. Aluminiumet reagerer med vannet og danner et hydroksid som felles ut i et koaguleringsbasseng:



Det kan være nødvendig med pH-regulering for å hindre at reaksjonen gjør vannet for surt. Fluorid binder seg til aluminium og felles ut samtidig som hydroksid.

Den såkalte Nalgonda-teknikken benytter trinnvis tilsetning av (i) blekepulver (hypokloritt), (ii) natriumaluminat eller kalk og (iii) aluminiumsulfat eller aluminiumklorid (Bulusu 1984, Narlakhe & Bulusu 1989).

Ønsker man en behandlingsmulighet i enda større skala, kan man benytte Andco-prosessen, som går på utfelling av fluorid etter tilsetting av fosforsyre, kalsiumklorid og kalk (O'Brien 1983).

"Eksotiske" metoder for behandling av fluorid

Enkelte land, spesielt i Sørøst Asia, men også i Afrika, opplever store problemer med fluorid i grunnvann i landlige områder. Det har vært et stort behov for å finne brukervennlige og billige metoder for å behandle fluoriden, gjerne ved å benytte lokale, naturlige råstoffer. Land som Sri Lanka synes derfor å ligge langt foran vesten når det gjelder utforskning av billige metoder for vannbehandling.

De fleste av disse metodene benytter enkle ionebytte- eller adsorpsjonsmedier som inneholder aluminiumsmineraler. F.eks. har det blitt vist at fluor kan fjernes effektivt fra vann ved hjelp av:

(i) knust leirkерamikk og/eller tropisk jord. Tropisk jord (Zevenbergen et al. 1996) og keramikk som er laget av tropisk jord (Padmasiri et al. 1995) inneholder ofte aluminiumsoksid som sannsynligvis er den aktive ingrediensen her. Små behandlingsanlegg som koster ca. US\$ 20 kan redusere 3 - 4 mg/l fluor til under 1 mg/l med retensjonstid på 8 timer (Padmasiri et al. 1995; Padmasiri & Fonseka 1994)

- (ii) brent (fiske)bein (Dunkley & Malthus 1961; Bhargava & Killedar 1992; Killedar & Bhargava 1993), hvor den aktive ingrediensen trolig kan være aluminium fluorfosfat-mineralet apatitt.
- (iii) Apatitt i mineralform, kalsiumfosfat eller aluminiumfosfat (Dieye et al. 1994; Contu et al. 1981; Qianjie & Hanwen 1992)
- (iv) Andre aluminosilikatmineraler som adsorberer fluor eller tillater ionebyttreaksjoner av fluor mot hydroksid. Både kaolinitleirer og knust serpentinit har vist seg å være effektiv her (Jinadasa. et al. 1991). Bruk av flyveaske er også undersøkt (Jinadasa et al. 1988; Chaturvedi et al. 1990).
- (v) lanthan-klorid impregnert silikagel (Wasay et al. 1996), eller aluminium-sulfat-impregnert silikagel (Rongshu et al. 1995).

I en studie av fluoridopptak i overflatejord fra ulike deler av verden er det funnet at lateritt fra avrenningsområdene i høylandet i Mellom-Amerika, Vest-Afrika og Etiopia ved ren kolonnefiltrering kan redusere fluoridinnholdet i vann fra f.eks. 15 mg F/l til 1 mg/l ved førstegangs filtrering. Ved å la vannet renne gjennom samme filteret en eller to ganger til, kan fluoridinnholdet reduseres ytterligere til 0,15 og 0,06 mg/l. Stort lettere og billigere kan det ikke gjøres! Eneste problemet er at jord må tilkjøres fra høylandet der den er vasket ut av regnet gjennom tusen år, til høy-fluorid områder der lignende jord synes å være mettet med fluorid gjennom like lang tid (Kjell Bjorvatn, pers. medd.)

Sammenligning av behandlingsmetoder

Cameron et al. (1988) sammenligner teknikker som brukes i England for å fjerne aluminium og fluor fra vann som brukes til dialysepasienter, bl.a. avherding, omvendt osmose, og avionisering.

Potgieter (1990) og Killedar & Bhargava (1998) gir noen sammenligninger av behandlingsmetoder for fluorid. Førstnevnte forfatter konkluderer at for konsentrasjoner på ca. 1.5 mg/l fluorid ga aktivert alumina og deretter anionebyttesiner bedre resultater enn dosering med kalk eller aluminiumssalter. Sistnevnte foretrekker Nalgonda-prosessen. Fox & Sorg (1987) sammenlignet omvendt osmose og aktivert alumina som metoder for å fjerne arsen, fluor og uran: den "beste" metoden avhenger av vannkjemi og driftsforhold. Mazounie & Mouchet (1984) foretrekker aktivert alumina i de fleste tilfellene, men anbefaler omvendt osmose for saltholdig vann. Tjiook (1983) foretrekker kjemisk koagulering på grunn av lav kostnad, men erkjenner at ionebytting og aktivert alumina kan være mer effektive (dog mer kompliserte) metoder. Han mener at omvendt osmose koster 2-5 ganger mer enn koagulering i India.

BOKSPLOTT OG GEOKJEMISKE KART FOR SPORELEMENTER

- | | |
|-------------|--|
| Figur 22a,c | Presentasjon av resultat for bor |
| Figur 23a,c | Presentasjon av resultat for bromid |
| Figur 24a,c | Presentasjon av resultat for cadmium |
| Figur 25a,c | Presentasjon av resultat for cerium |
| Figur 26a,c | Presentasjon av resultat for kobolt |
| Figur 27a,c | Presentasjon av resultat for krom |
| Figur 28a,c | Presentasjon av resultat for kobber |
| Figur 29a,c | Presentasjon av resultat for lantan |
| Figur 30a,c | Presentasjon av resultat for lithium |
| Figur 31a,c | Presentasjon av resultat for molybden |
| Figur 32a,c | Presentasjon av resultat for nikkel |
| Figur 33a,c | Presentasjon av resultat for fosfor (tot.) |
| Figur 34a,c | Presentasjon av resultat for fosfat |
| Figur 35a,c | Presentasjon av resultat for bly |
| Figur 36a,c | Presentasjon av resultat for scandium |
| Figur 37a,c | Presentasjon av resultat for silisium |
| Figur 38a,c | Presentasjon av resultat for strontium |
| Figur 39a,c | Presentasjon av resultat for titan |
| Figur 40a,c | Presentasjon av resultat for vanadium |
| Figur 41a,c | Presentasjon av resultat for yttrium |
| Figur 42a,c | Presentasjon av resultat for zirconium |

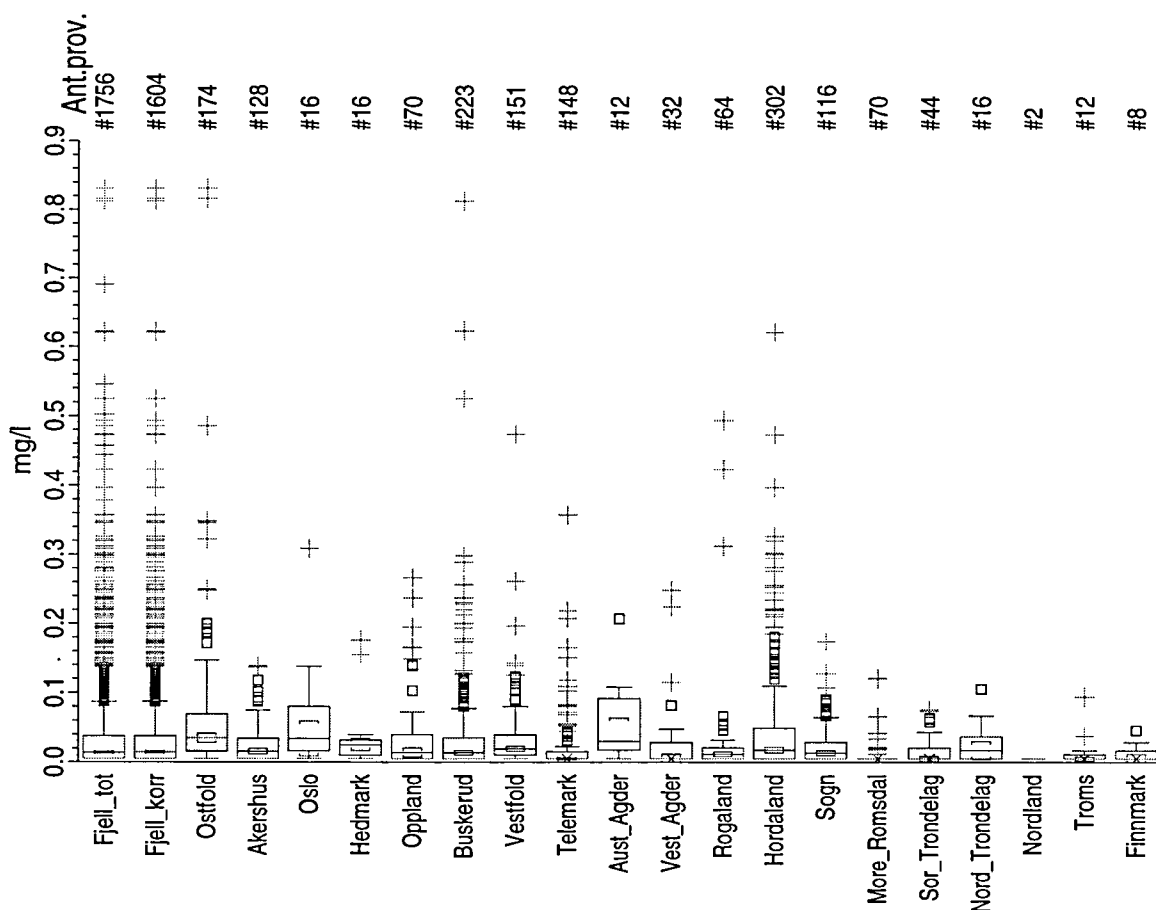
Figur 22a

NORGE (Landsomfattende)

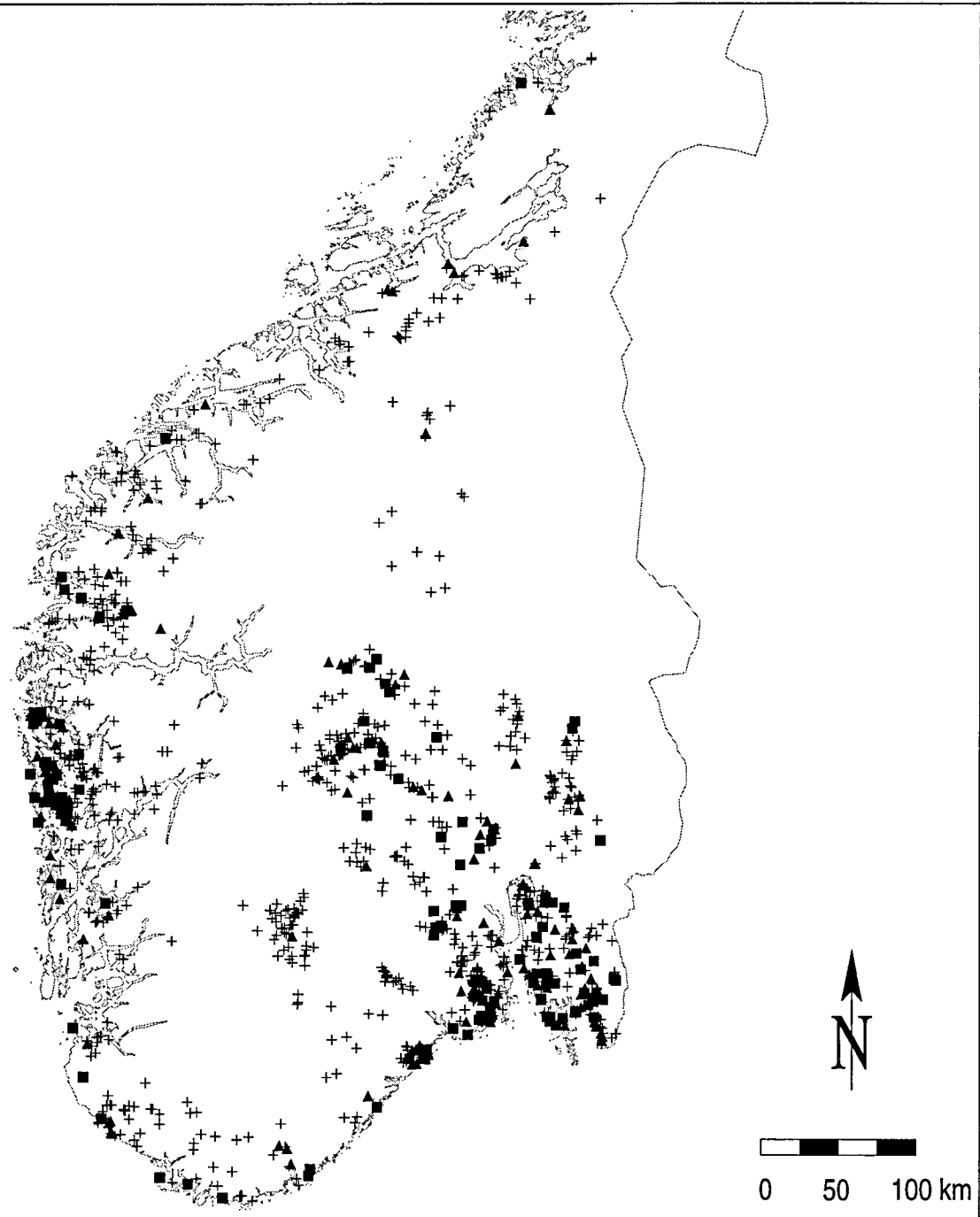
Grunnvannskjemi i fjellbronner

BOR

Fordeling i bergart og bronntype

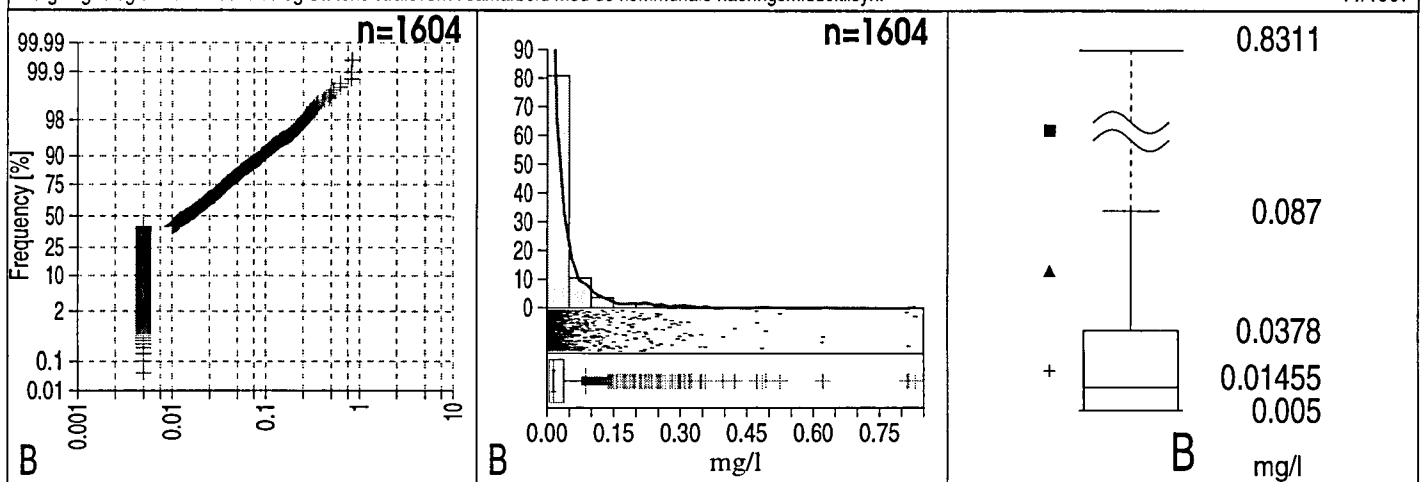


Figur 22c

SOR-NORGE*Grunnvannskjemi i fjellbronner***BOR**

Norges geologiske undersøkelse og Statens stralevern i samarbeid med de kommunale næringsmiddeltilsyn.

11/1997



Figur 23a

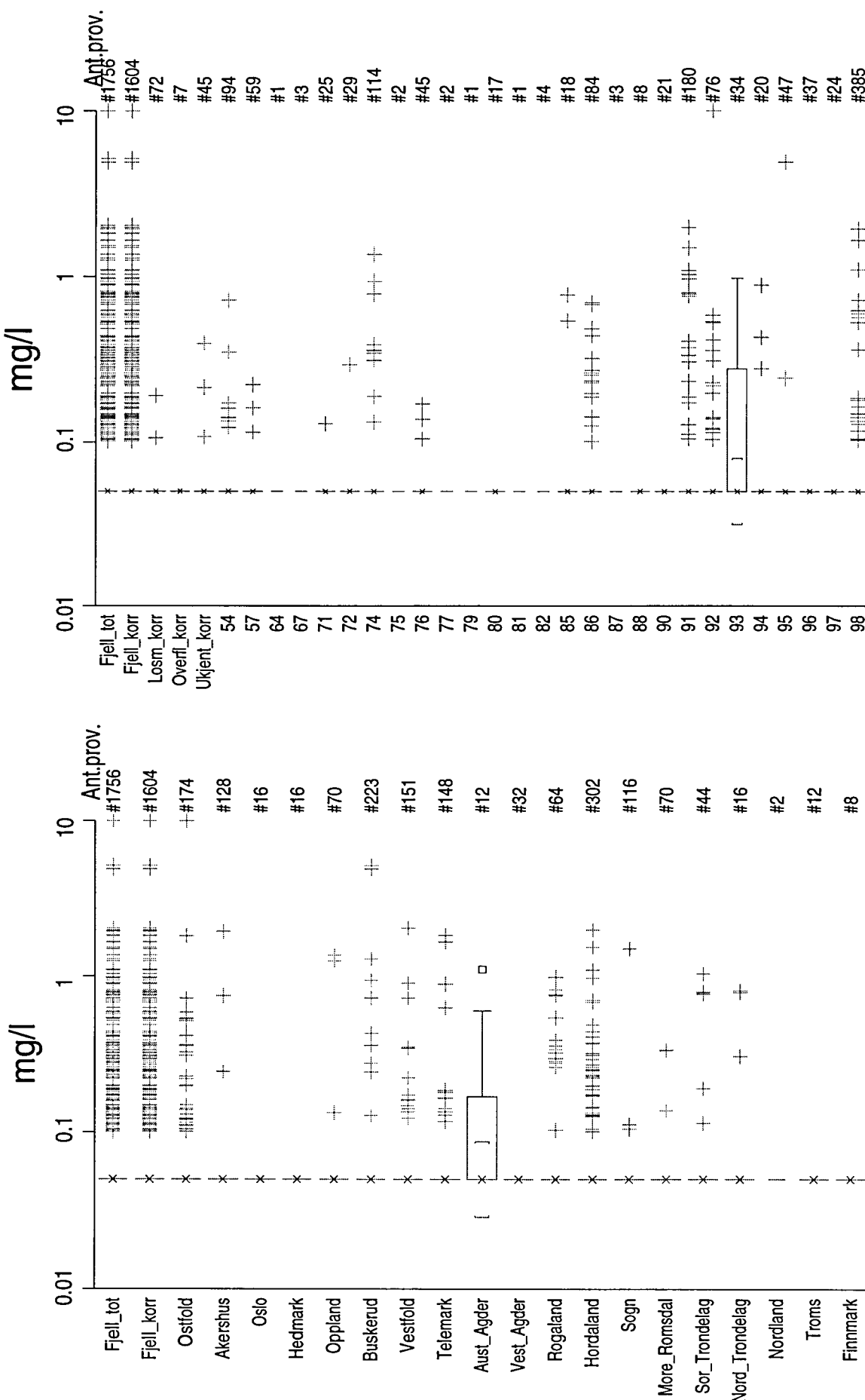
NORGE (Landsomfattende)

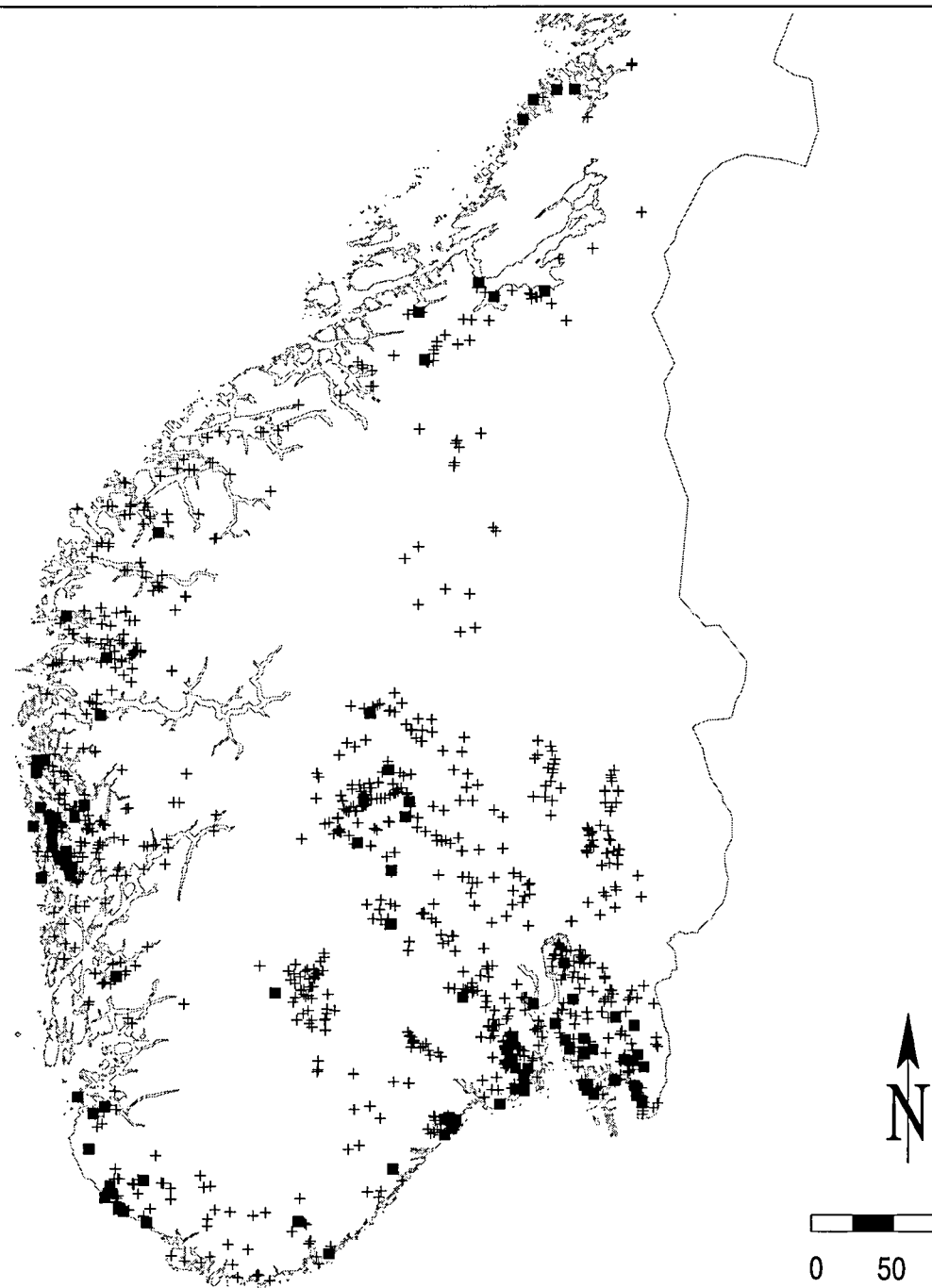
Grunnvannskjemi i fjellbronner

BROMID

Fordeling i bergart og bronntype

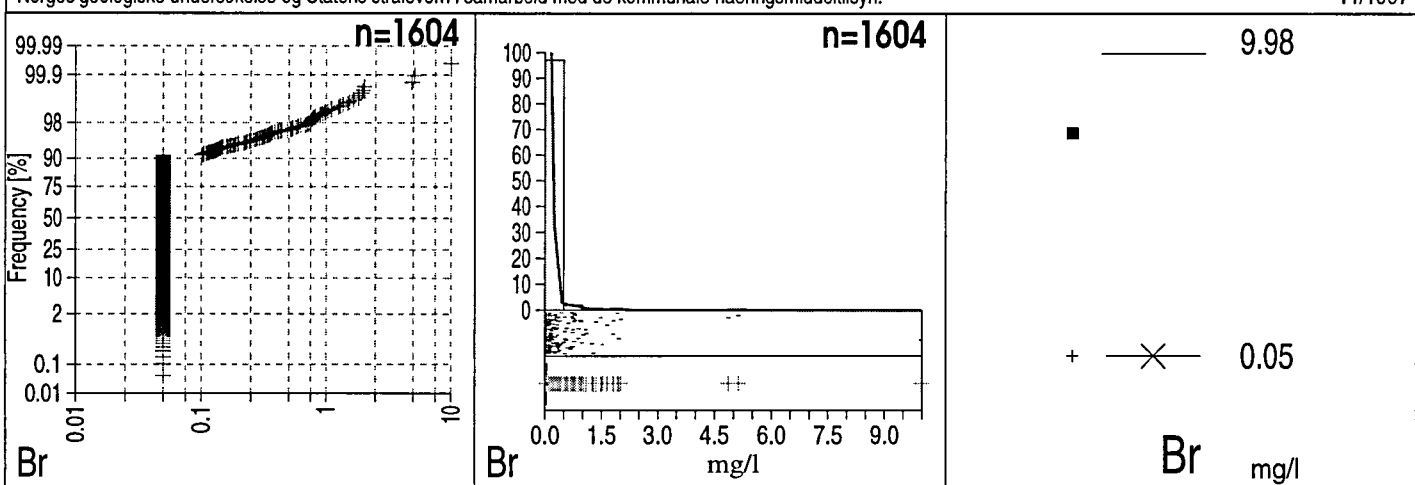
Fordeling innen hvert fylke



SOR-NORGE*Grunnvannskjemi i fjellbronner***BROMID**

Norges geologiske undersøkelse og Statens stralevern i samarbeid med de kommunale næringsmiddeltilsyn.

11/1997



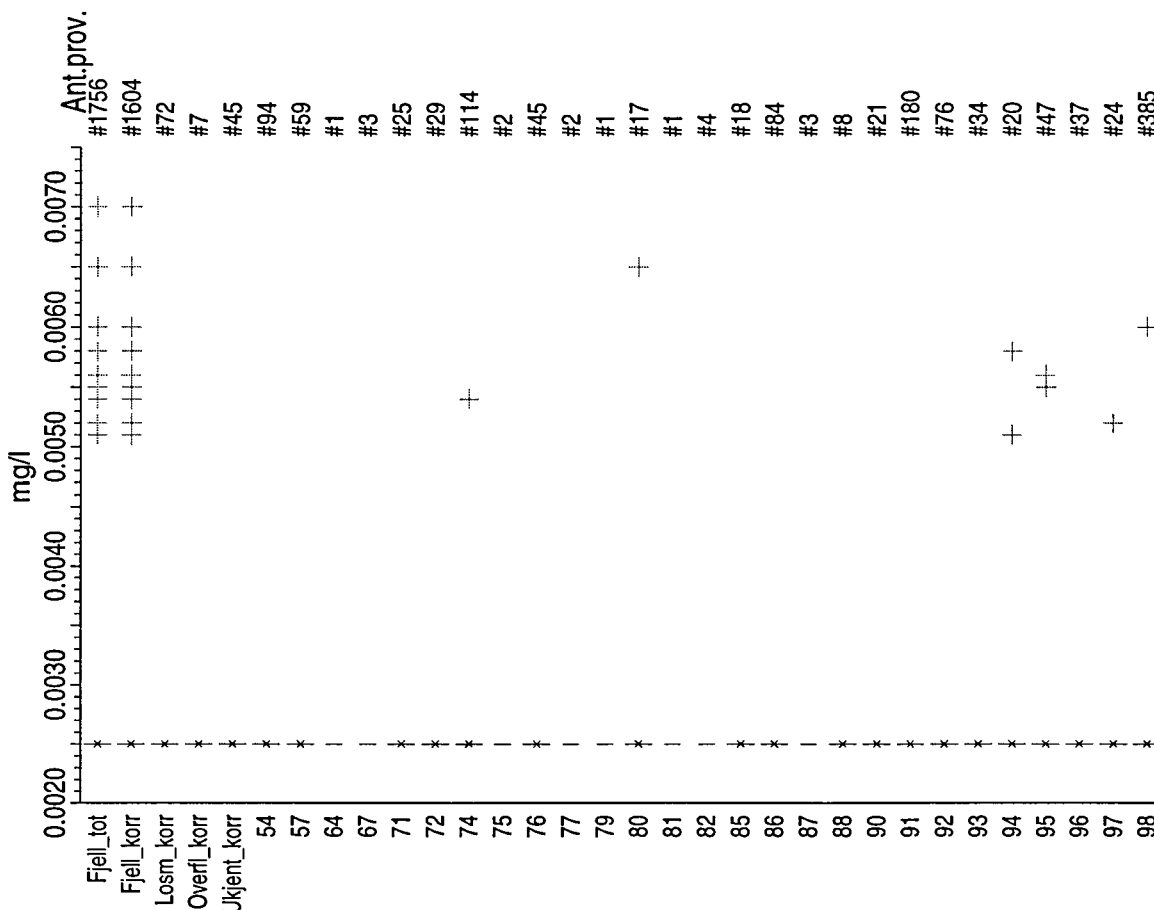
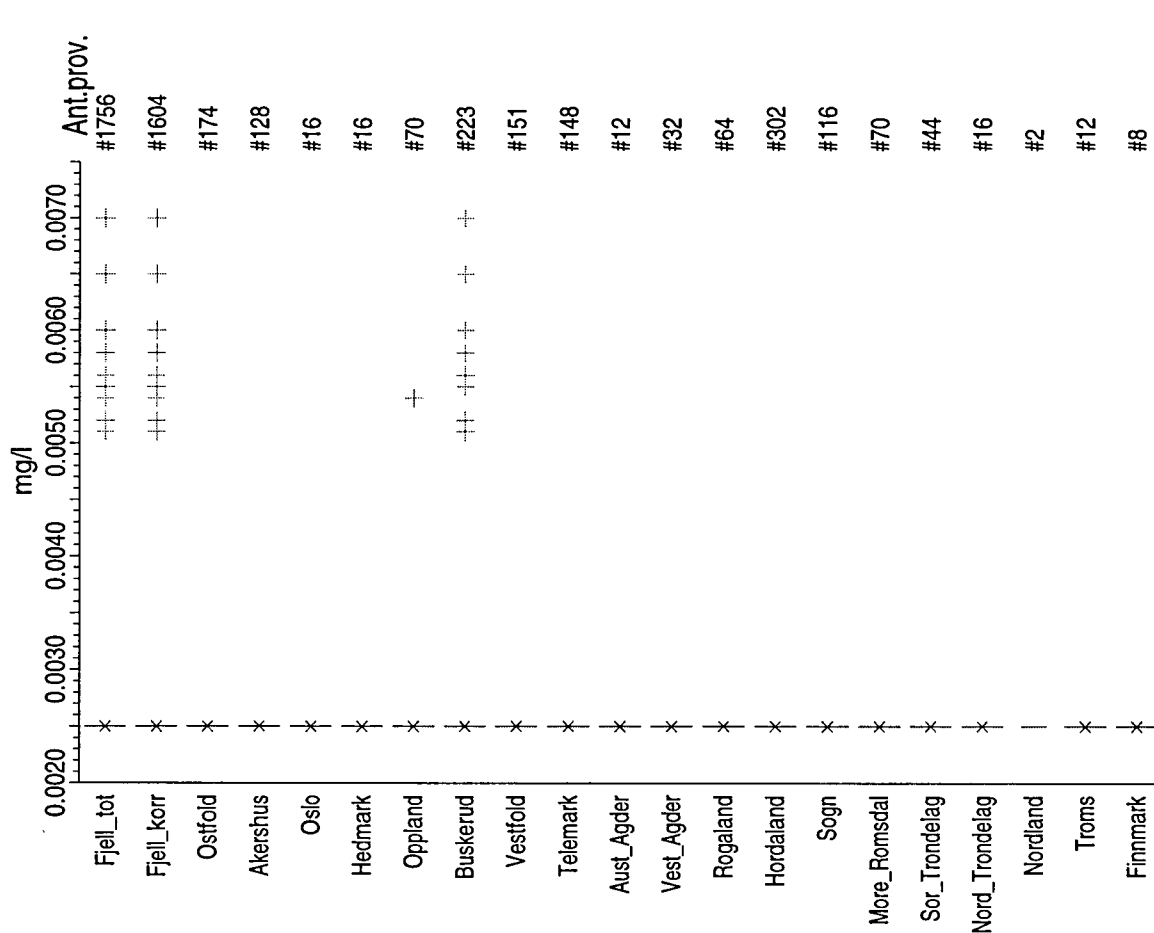
Figur 24a

NORGE (Landsomfattende)

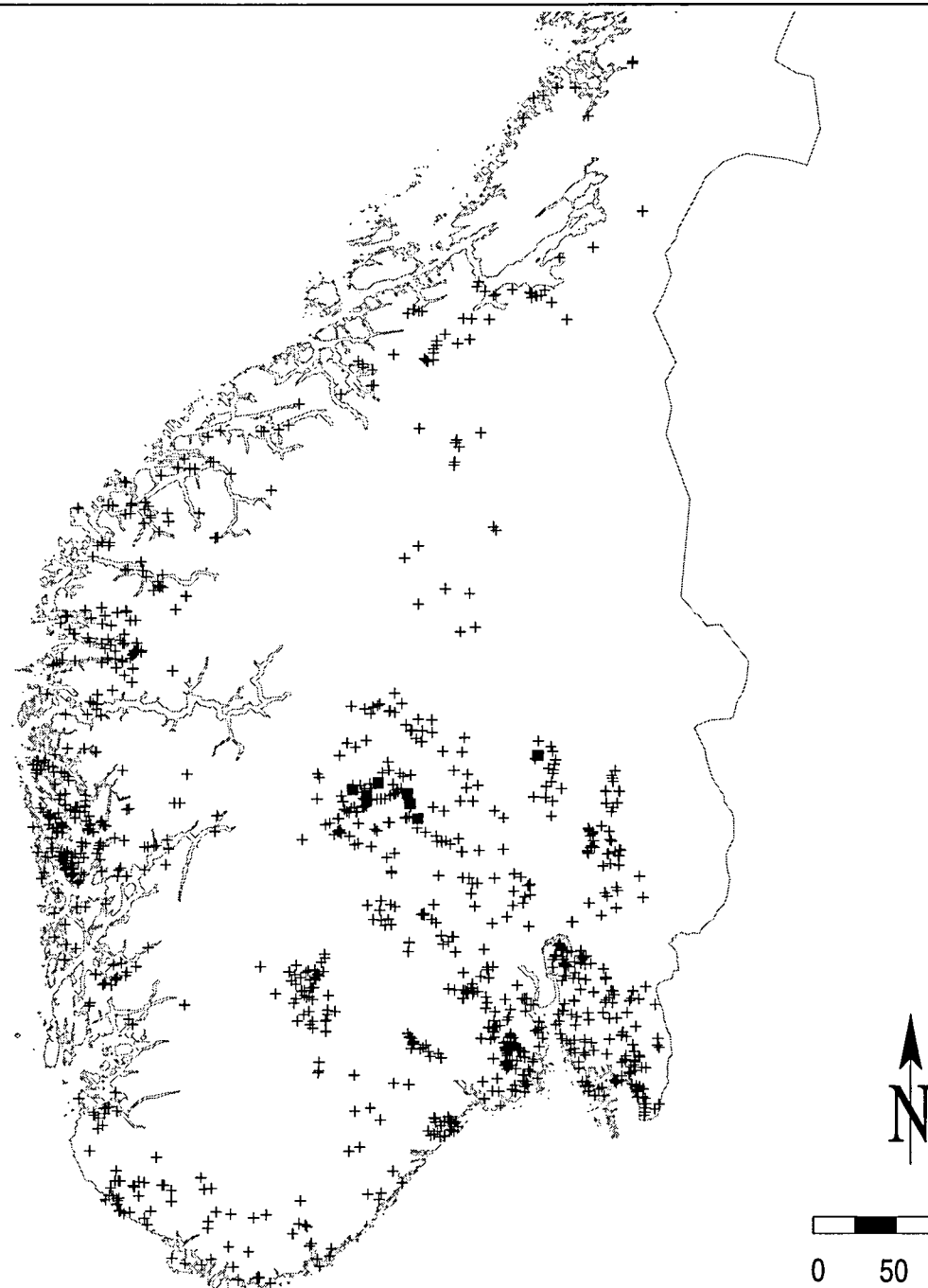
Grunnvannskjemi i fjellbronner

KADMIU

Fordeling innen hvert fylke

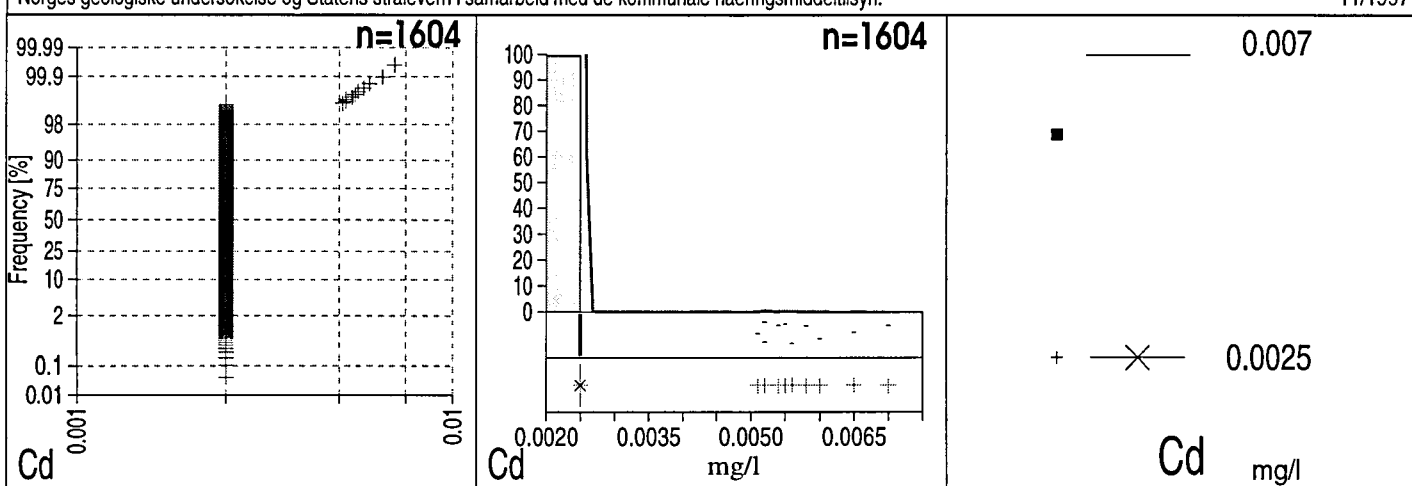


Figur 24c

SOR-NORGE*Grunnvannskjemi i fjellbronner***KADMIU**

Norges geologiske undersøkelse og Statens stralevern i samarbeid med de kommunale næringsmiddeltilsyn.

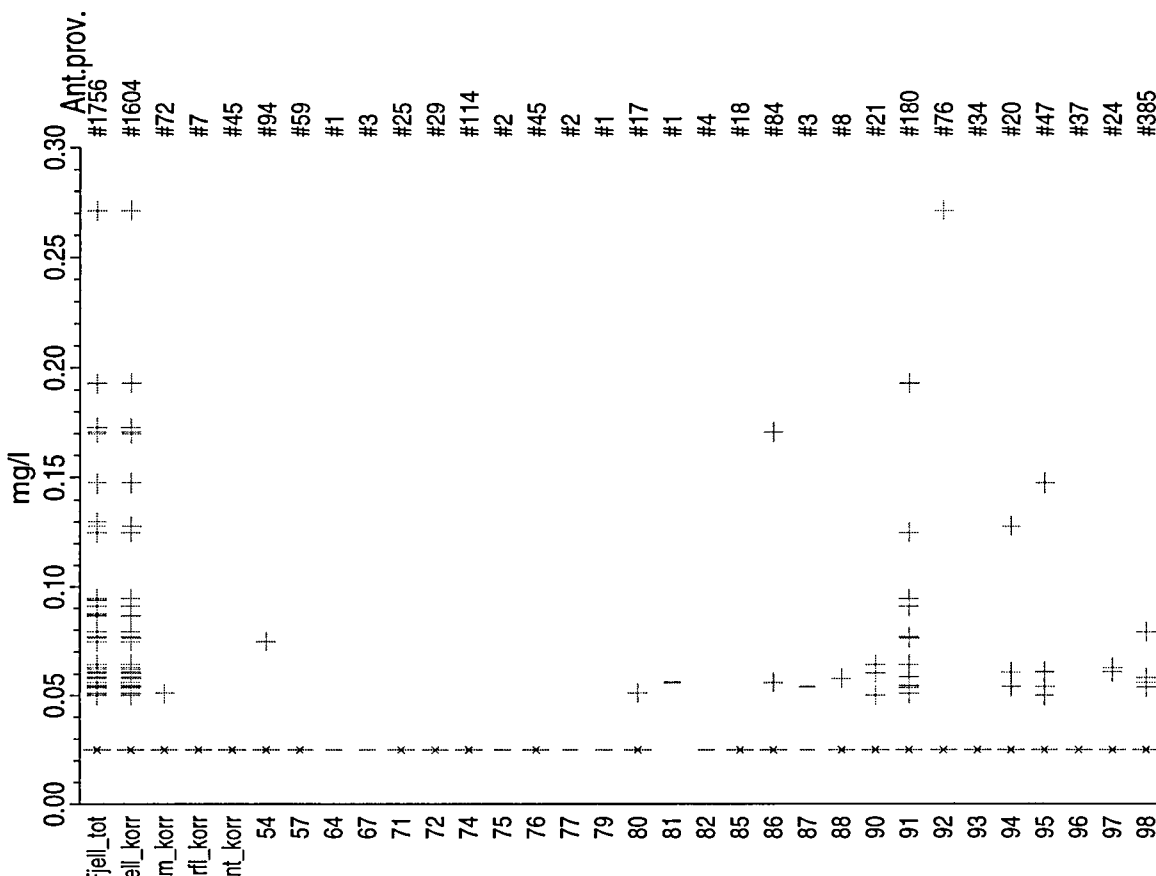
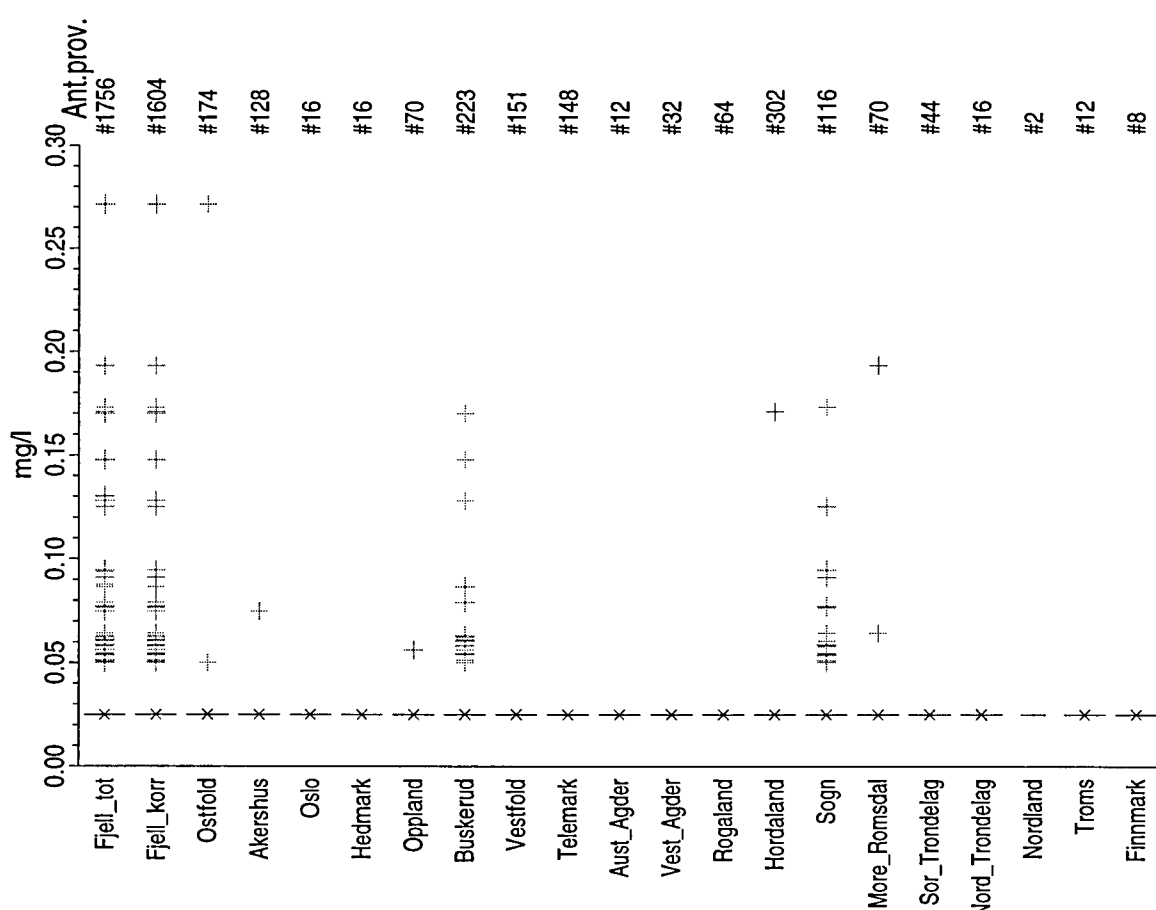
11/1997

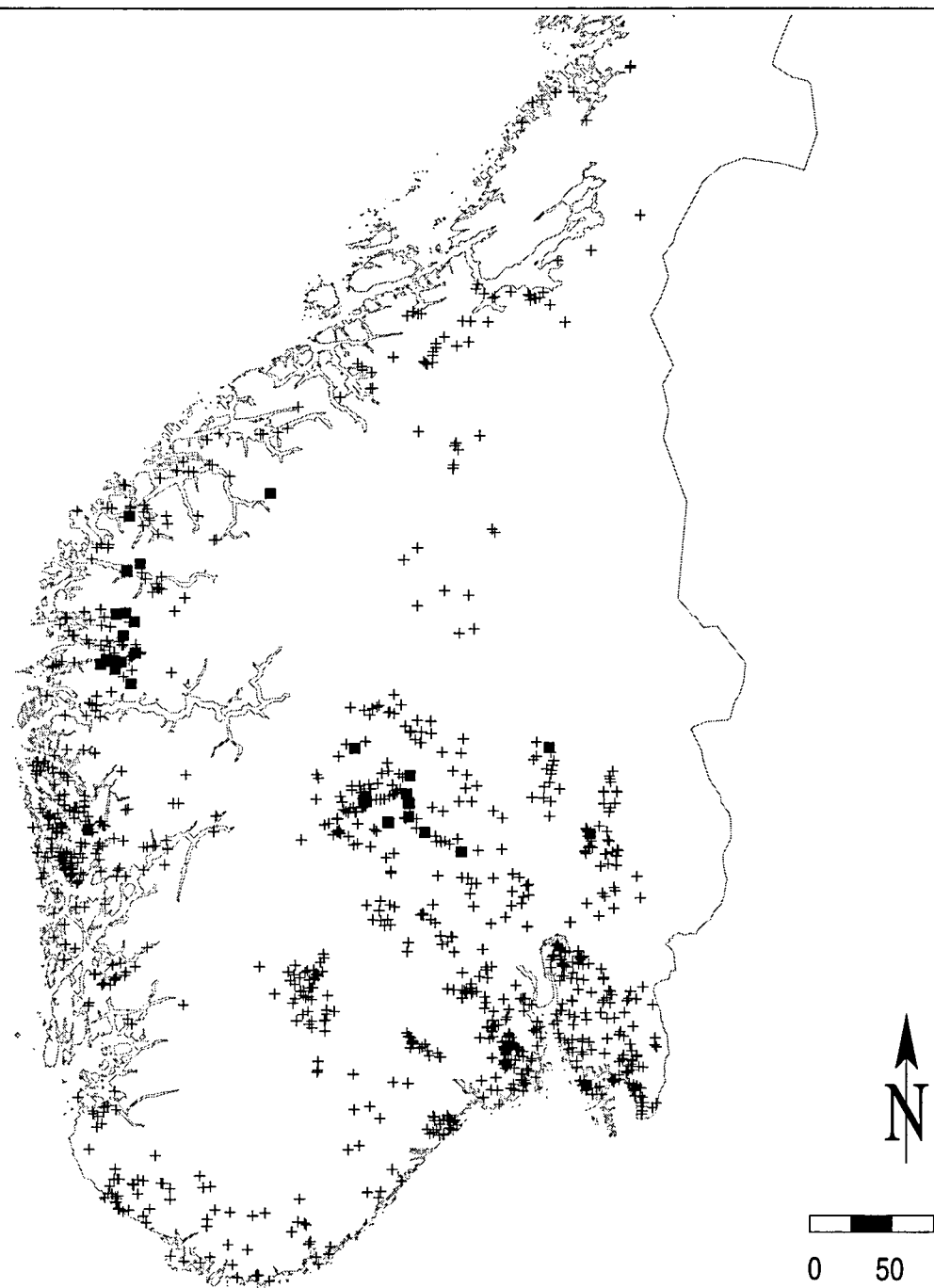


Figur 25a

NORGE (Landsomfattende) *Grunnvannskjemi i fjellbronner*

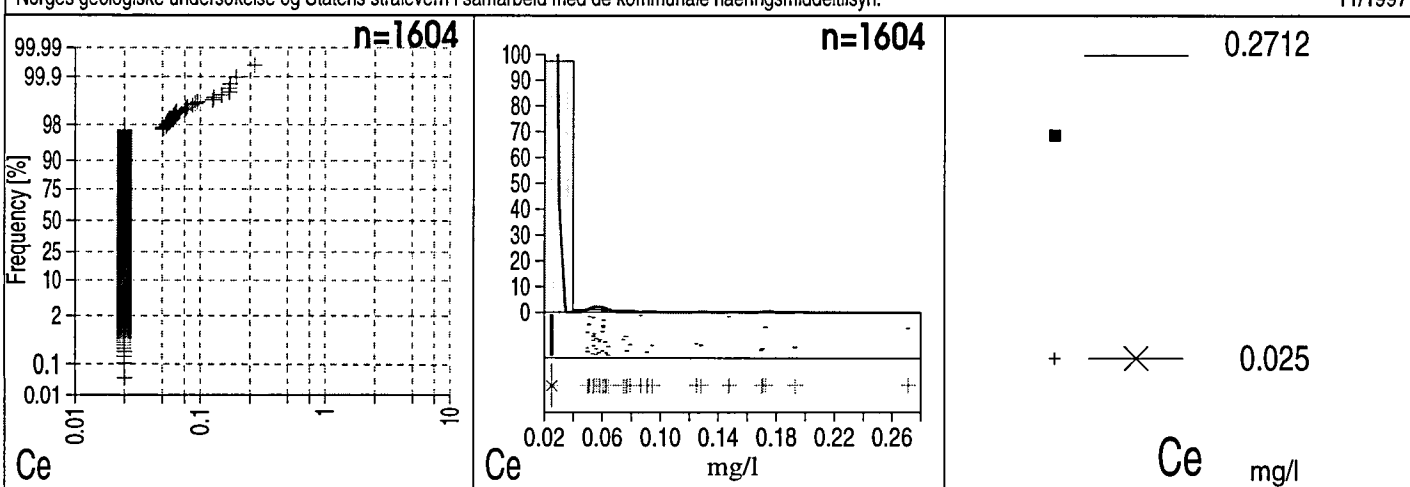
CERIUM



SOR-NORGE*Grunnvannskjemi i fjellbronner***CERIUM**

Norges geologiske undersøkelse og Statens stråleværn i samarbeid med de kommunale næringsmiddeltilsyn.

11/1997



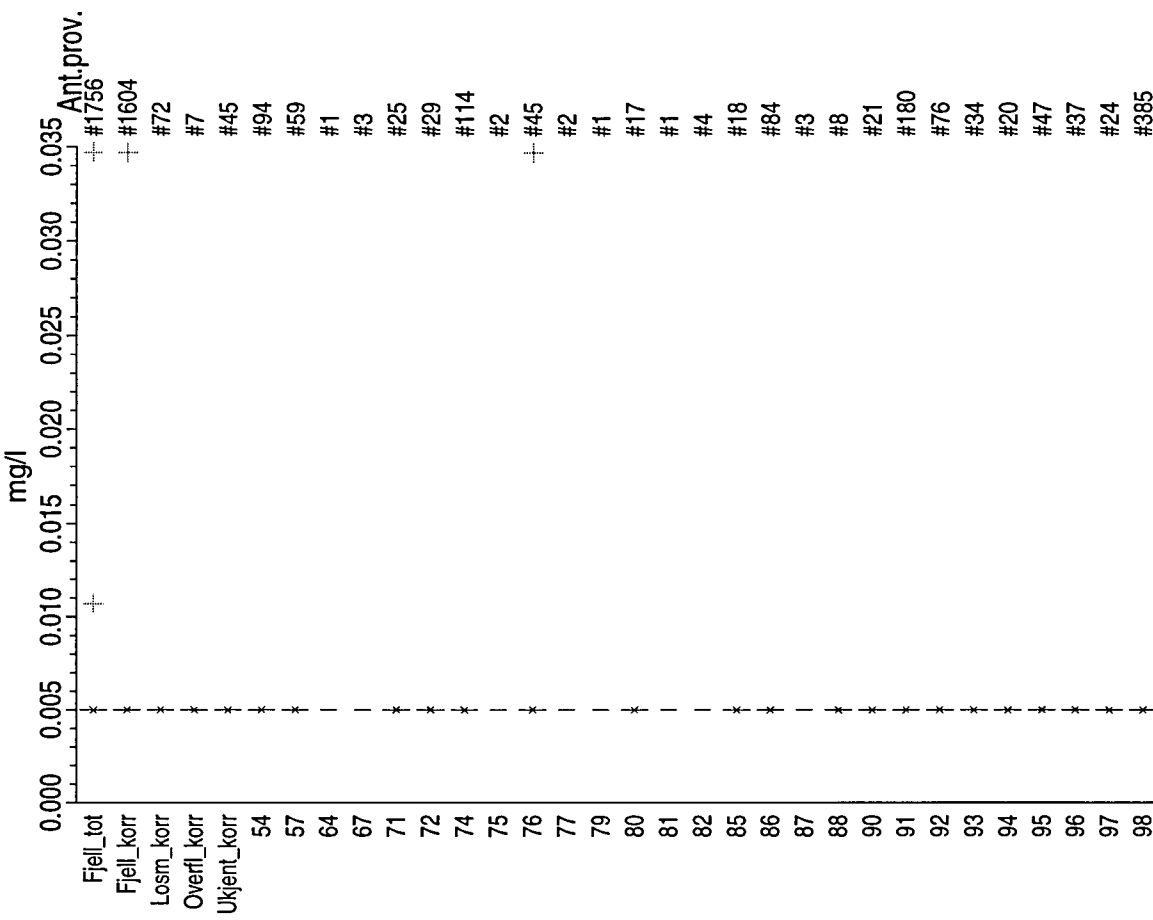
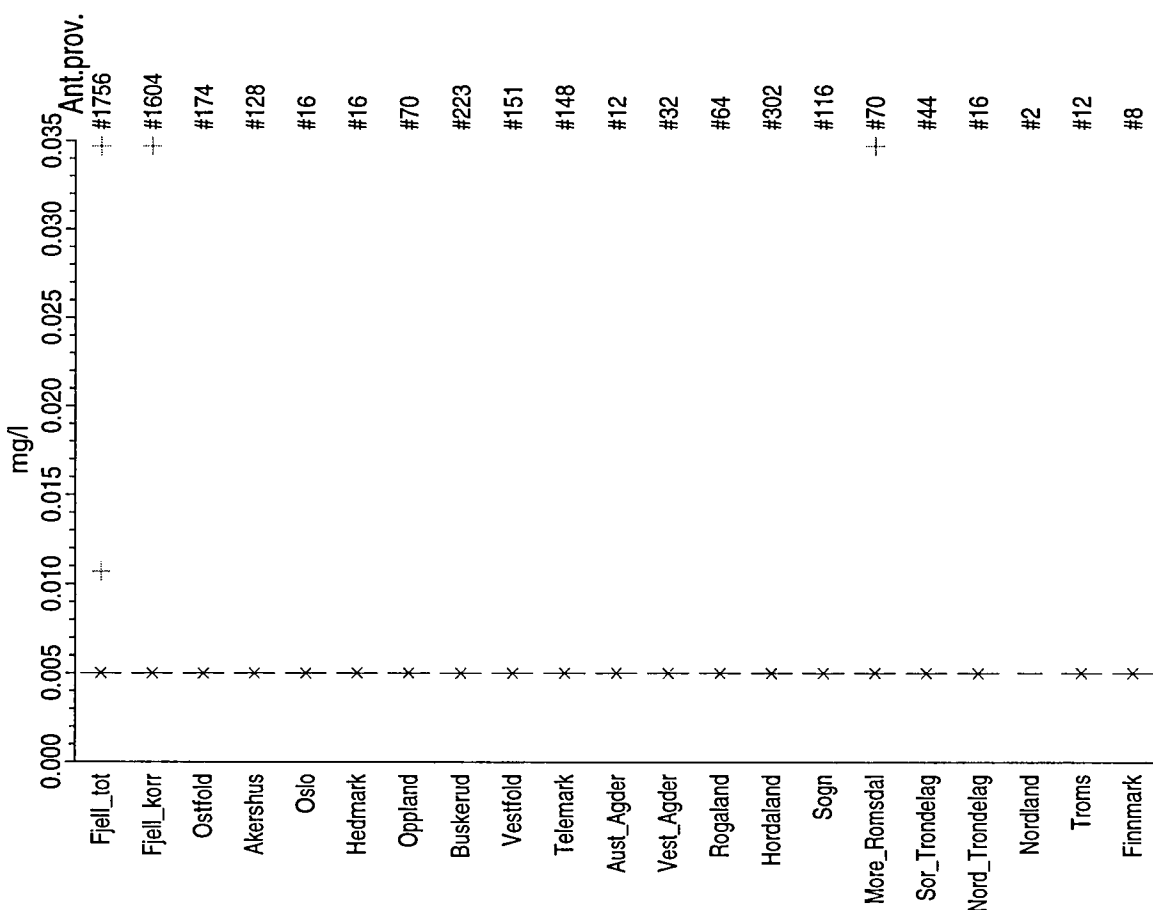
Figur 26a

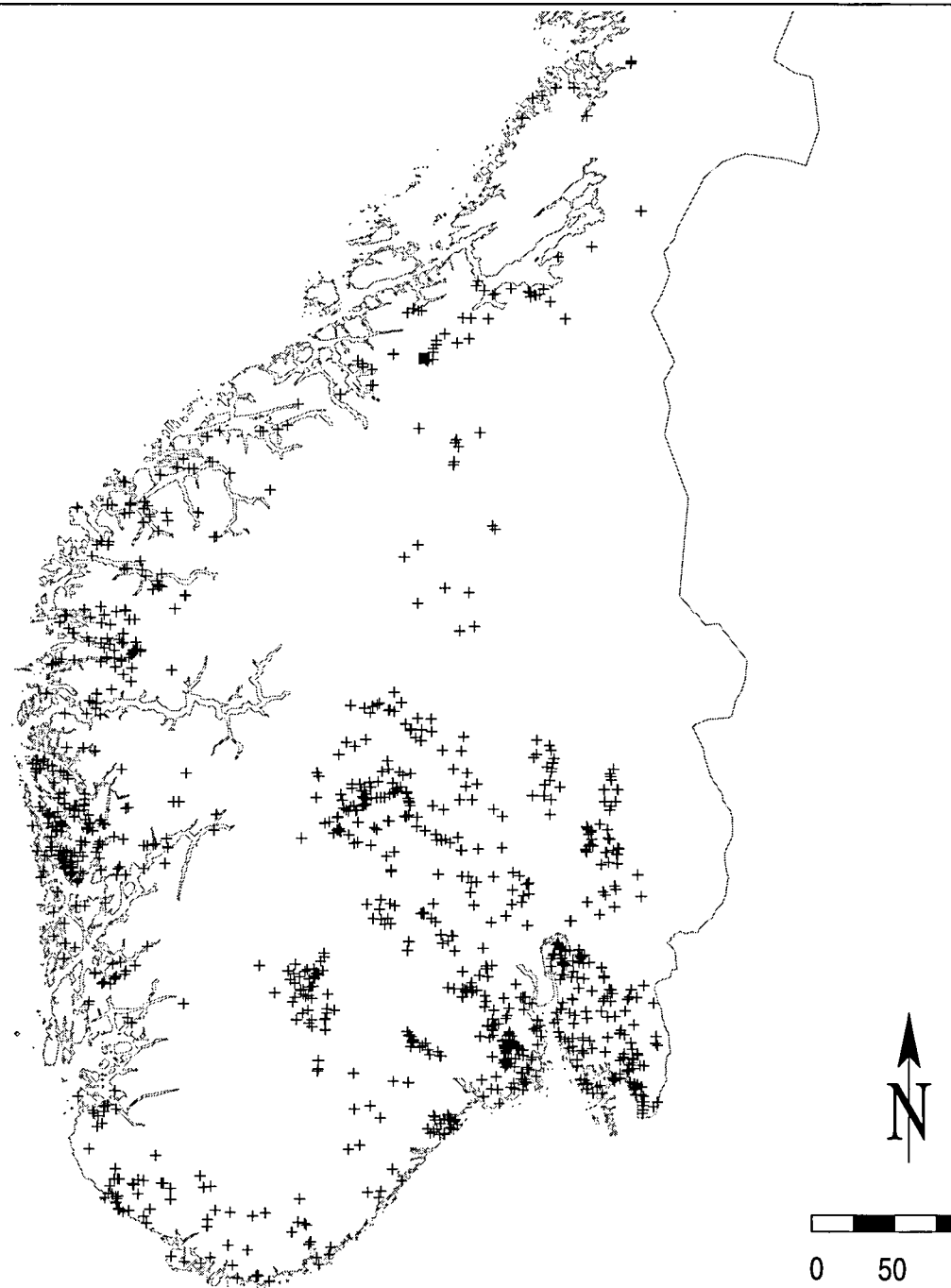
NORGE (Landsomfattende)

Grunnvannskjemi i fjellbronner

KOBOLT

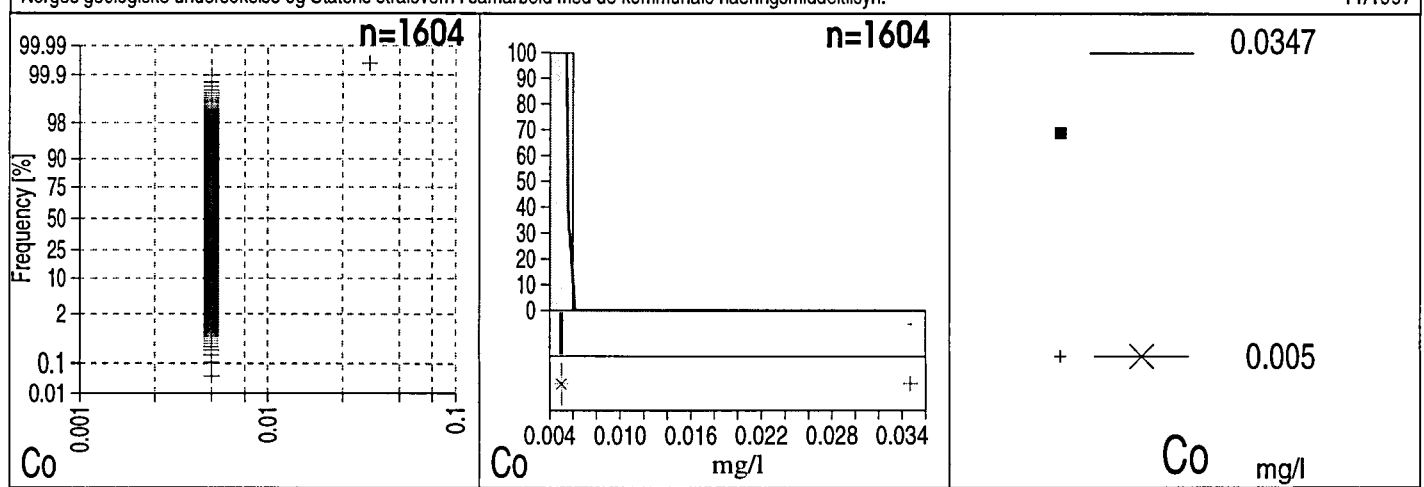
Fordeling innen hvert fylke



SOR-NORGE*Grunnvannskjemi i fjellbronner***KOBOLT**

Norges geologiske undersøkelse og Statens stralevern i samarbeid med de kommunale næringsmiddeltilsyn.

11/1997



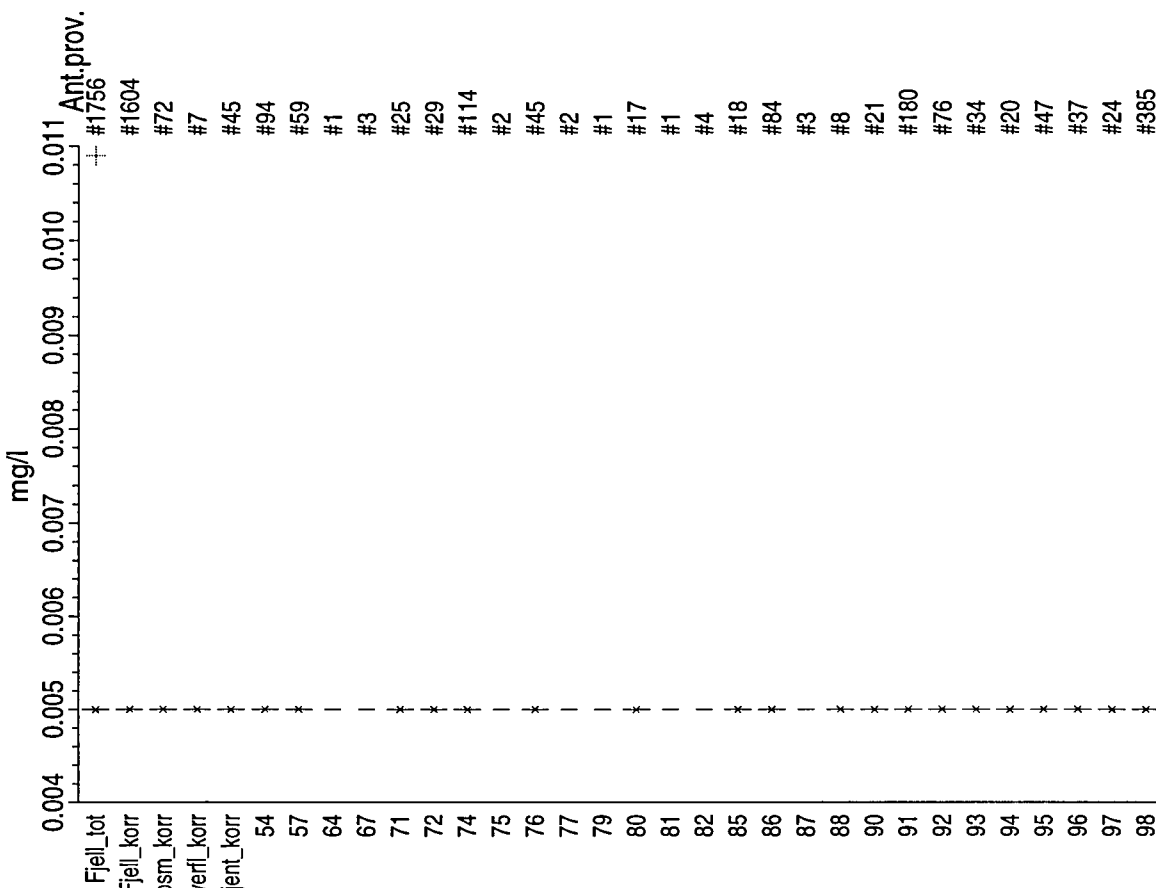
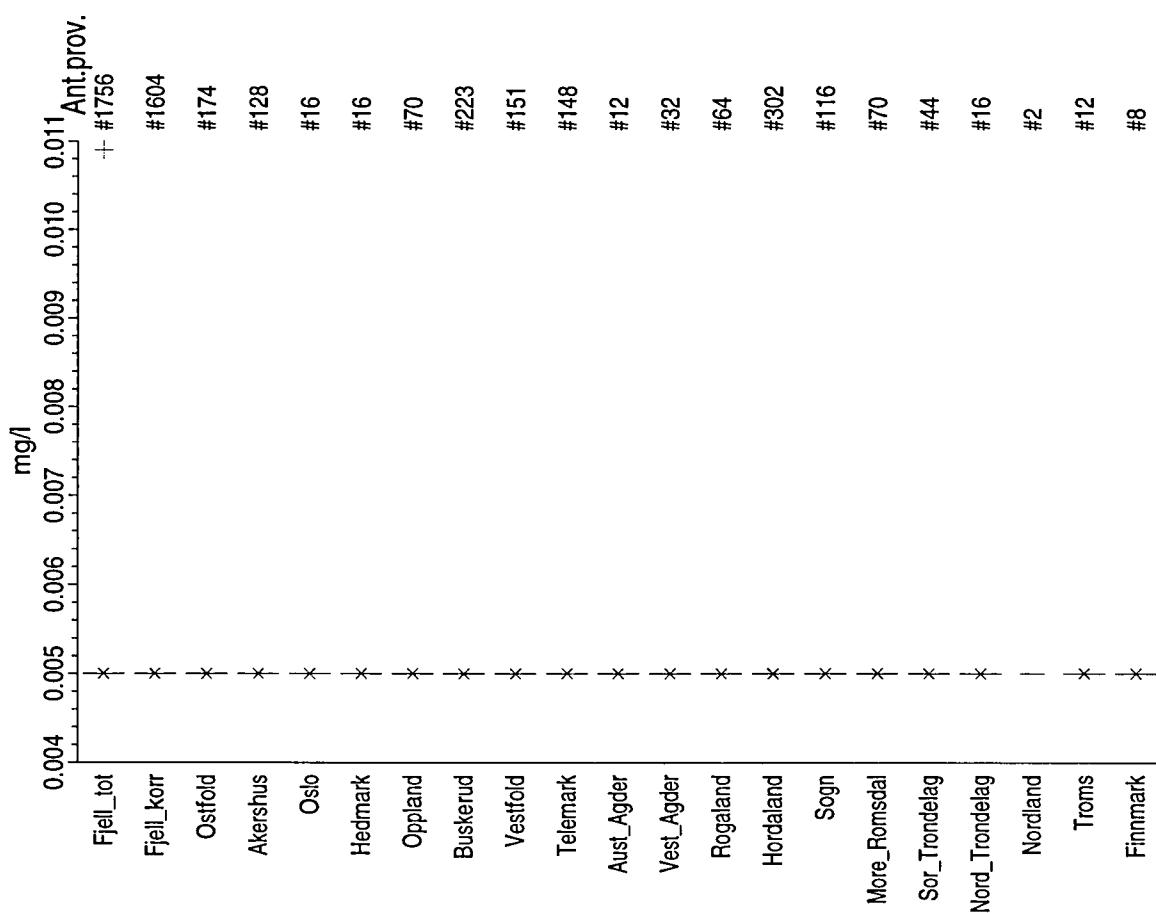
Figur 27a

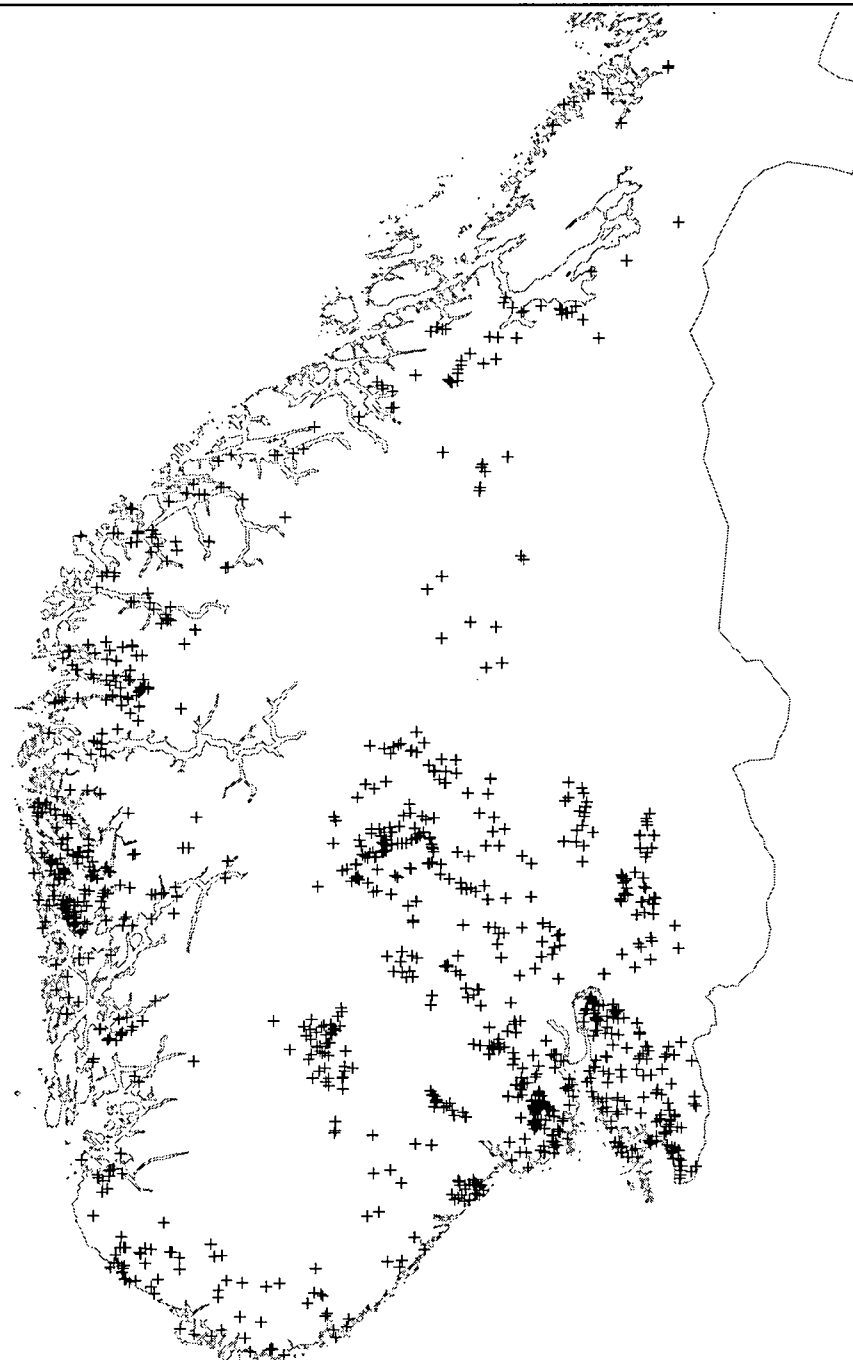
NORGE (Landsomfattende)

Grunnvannskjemi i fjellbronner

KROM

Fordeling innen hvert fylke



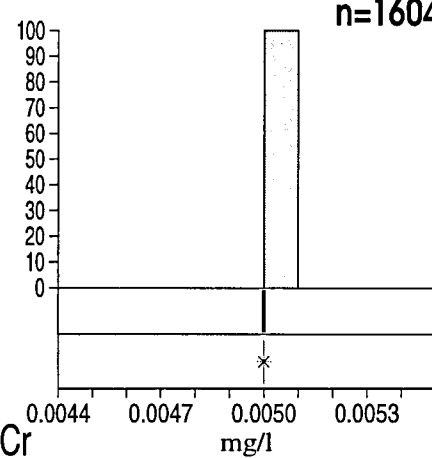
SOR-NORGE*Grunnvannskjemi i fjellbronner***KROM**

0 50 100 km

Norges geologiske undersøkelse og Statens stralevern i samarbeid med de kommunale næringsmiddeltilsyn.

11/1997

n=1604



n=1604

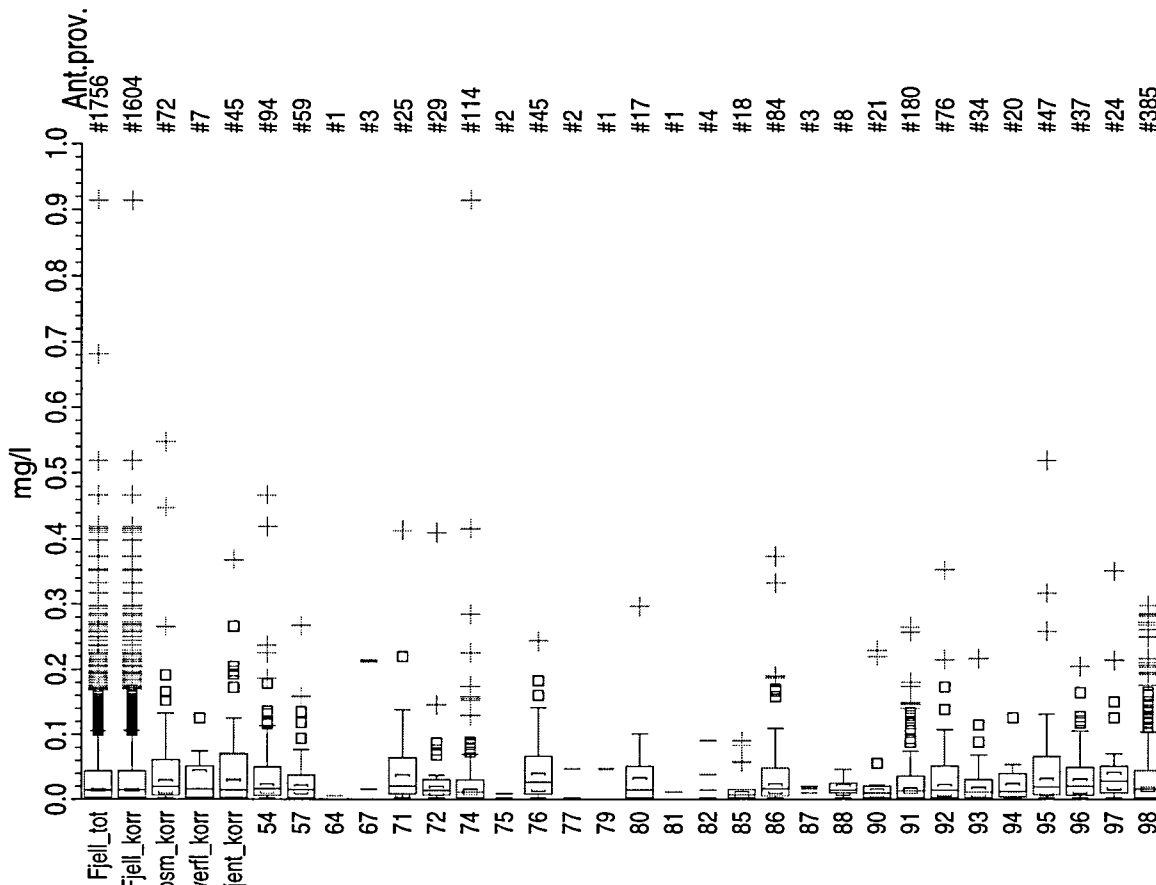
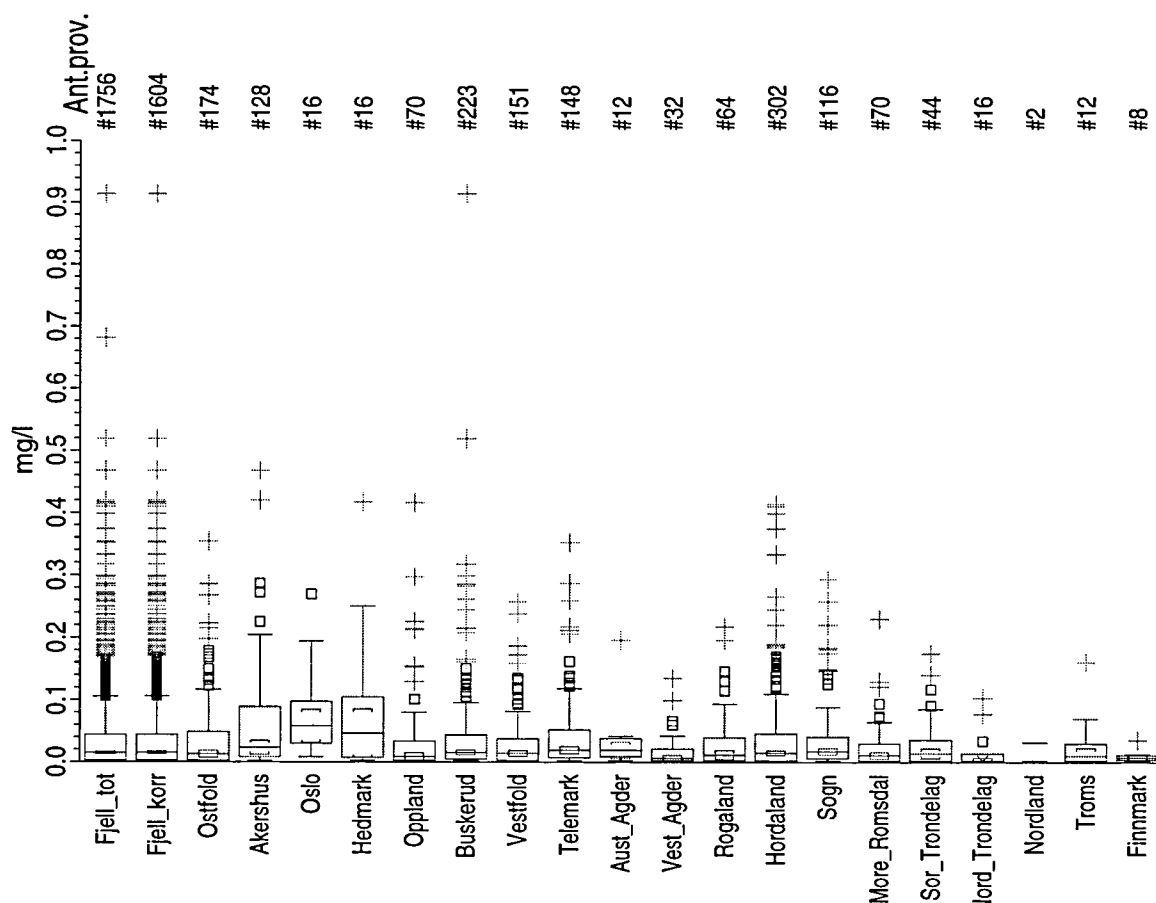
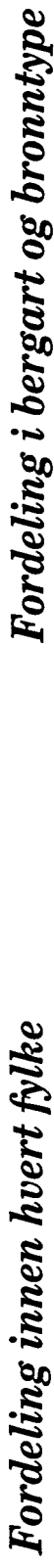
+ ————— 0.005

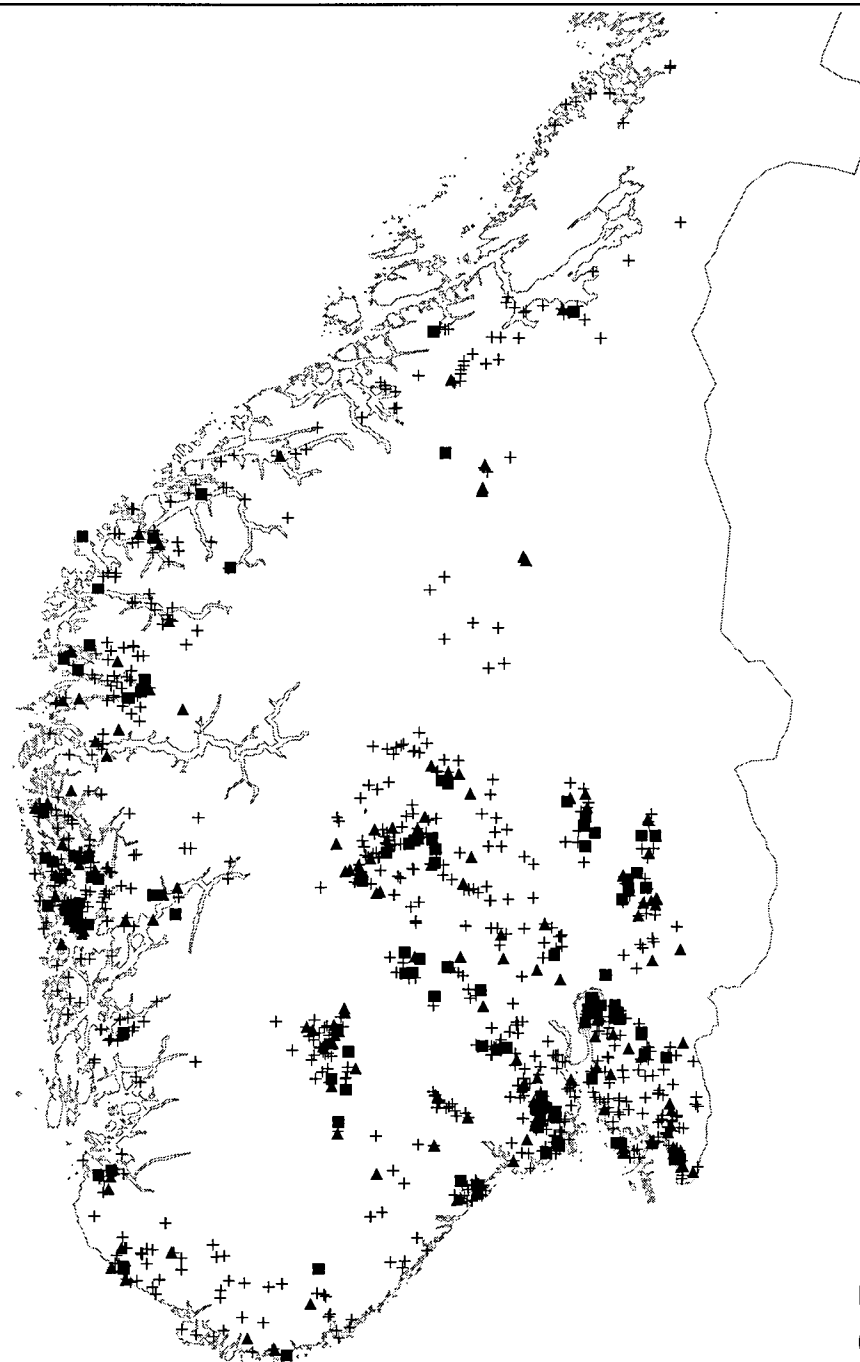
Cr mg/l

Figur 28a

NORGE (Landsomfattende) *Grunnvannskjemi i fjellbronner*

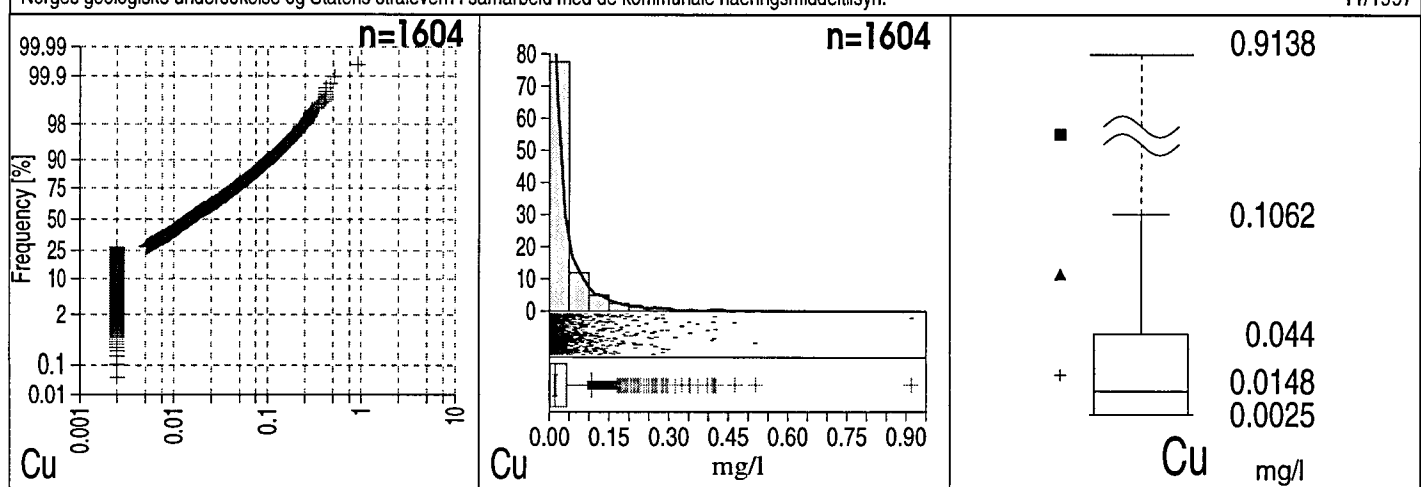
KOBBER



SOR-NORGE*Grunnvannskjemi i fjellbronner***KOBBER**

Norges geologiske undersøkelse og Statens stralevern i samarbeid med de kommunale næringsmiddeltilsyn.

11/1997



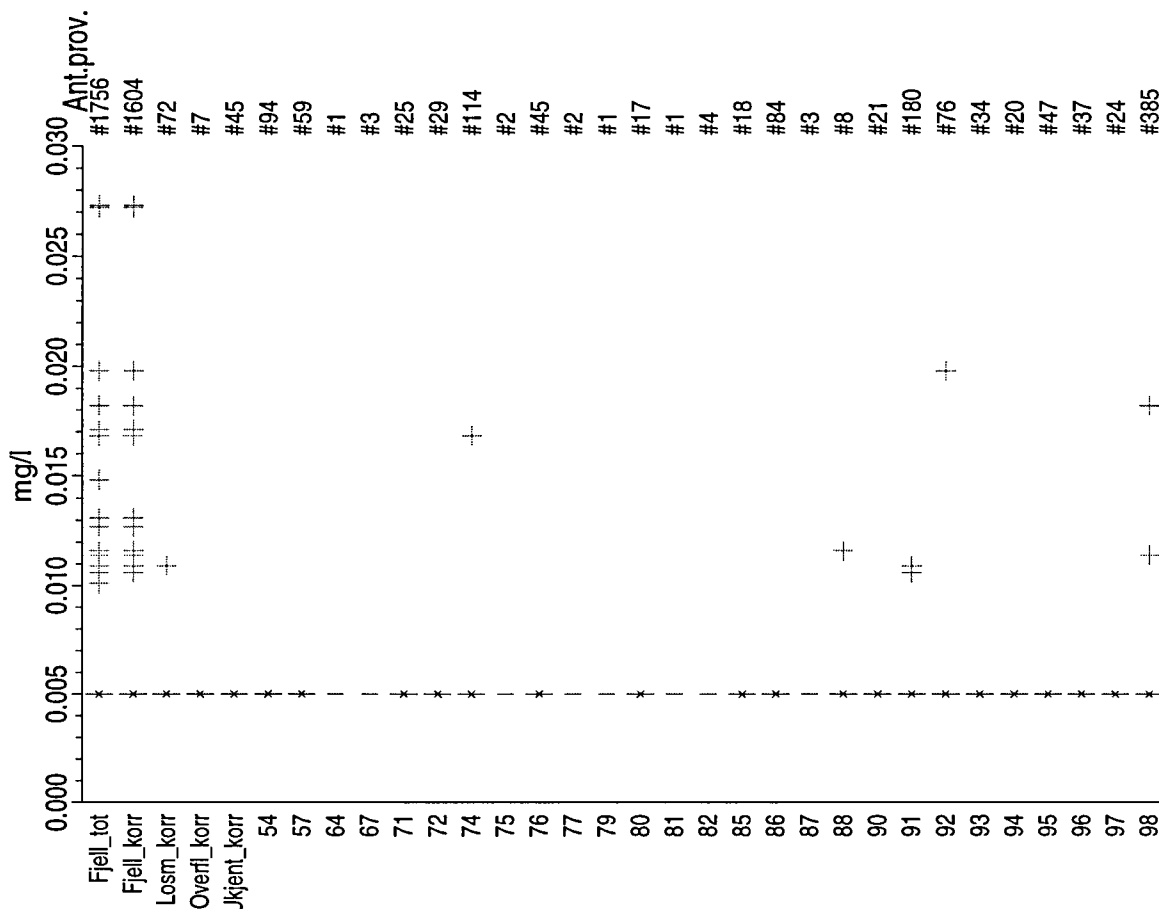
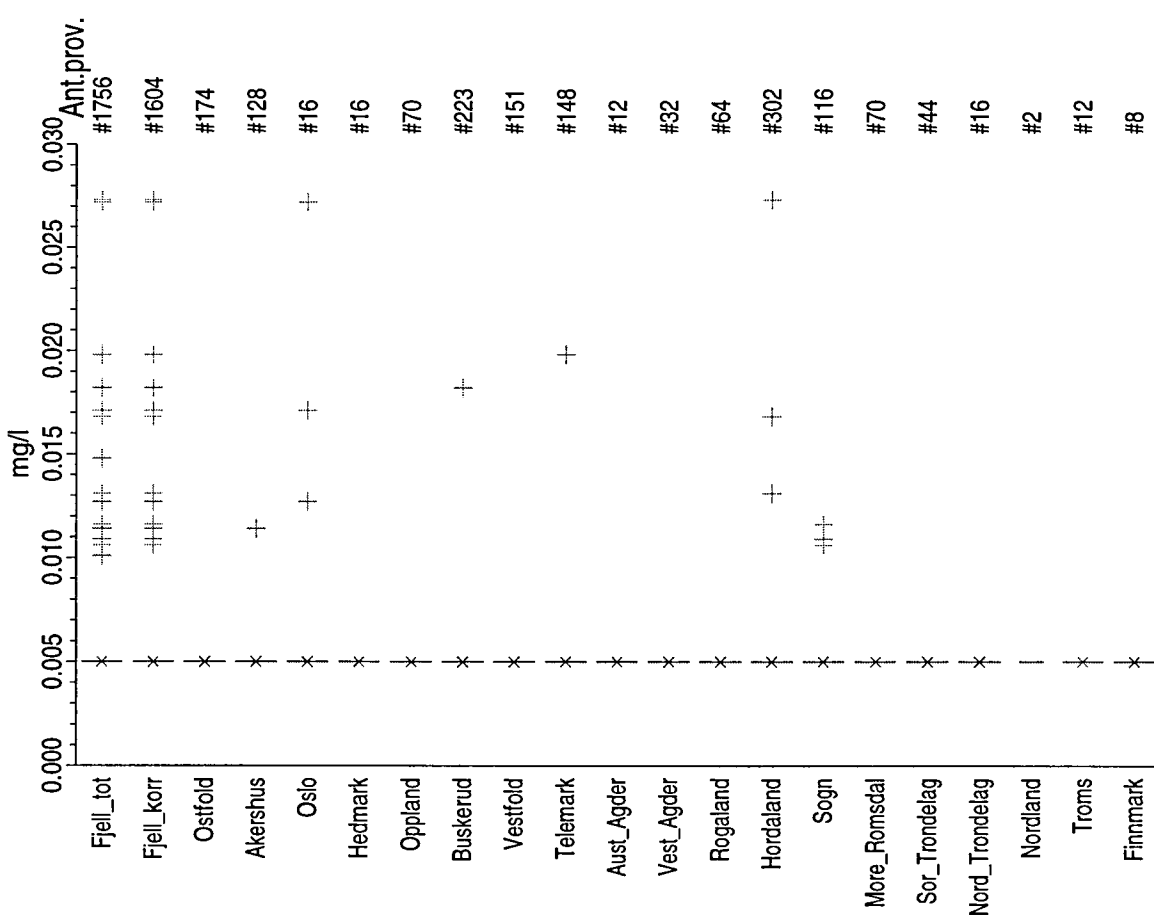
Figur 29a

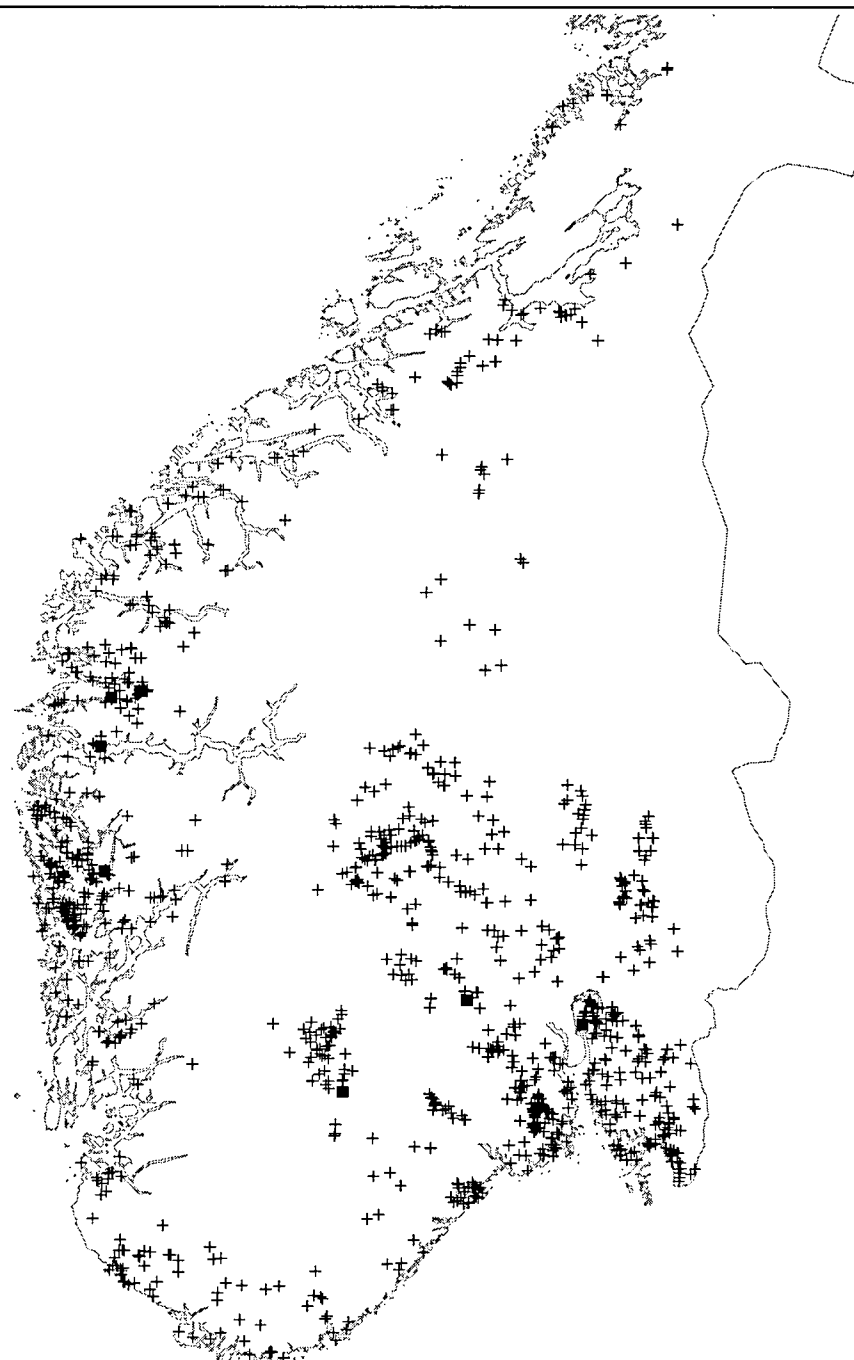
NORGE (Landsomfattende)

Grunnvannskjemi i fjellbronner

LANTAN

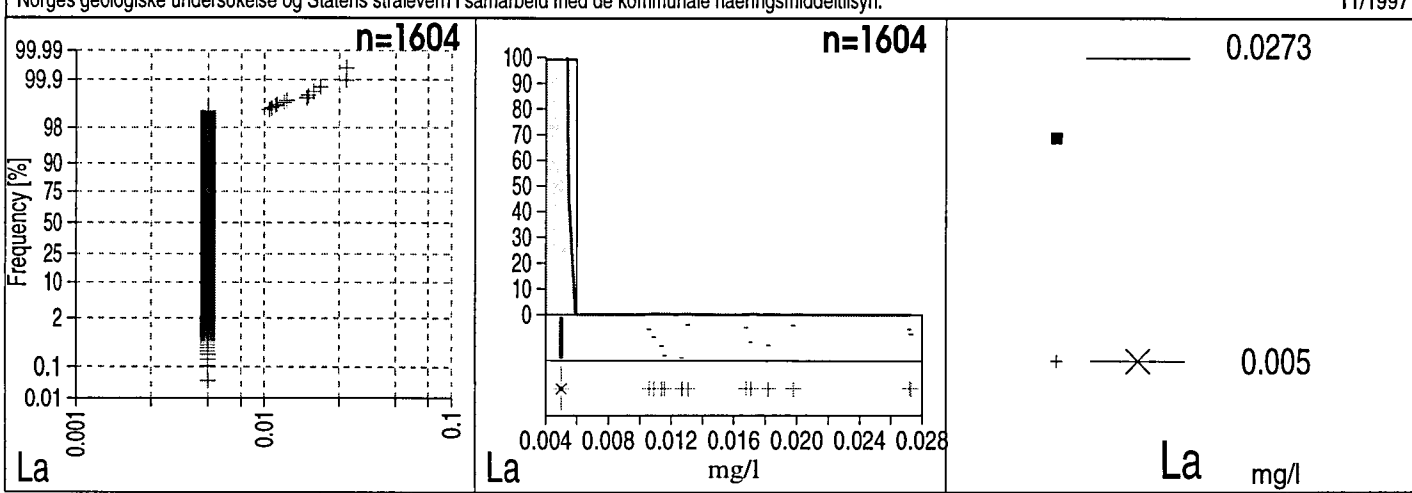
Fordeling innen hvert fylke



SOR-NORGE*Grunnvannskjemi i fjellbronner***LANTAN**

Norges geologiske undersøkelse og Statens stralevern i samarbeid med de kommunale næringsmiddeltilsyn.

11/1997



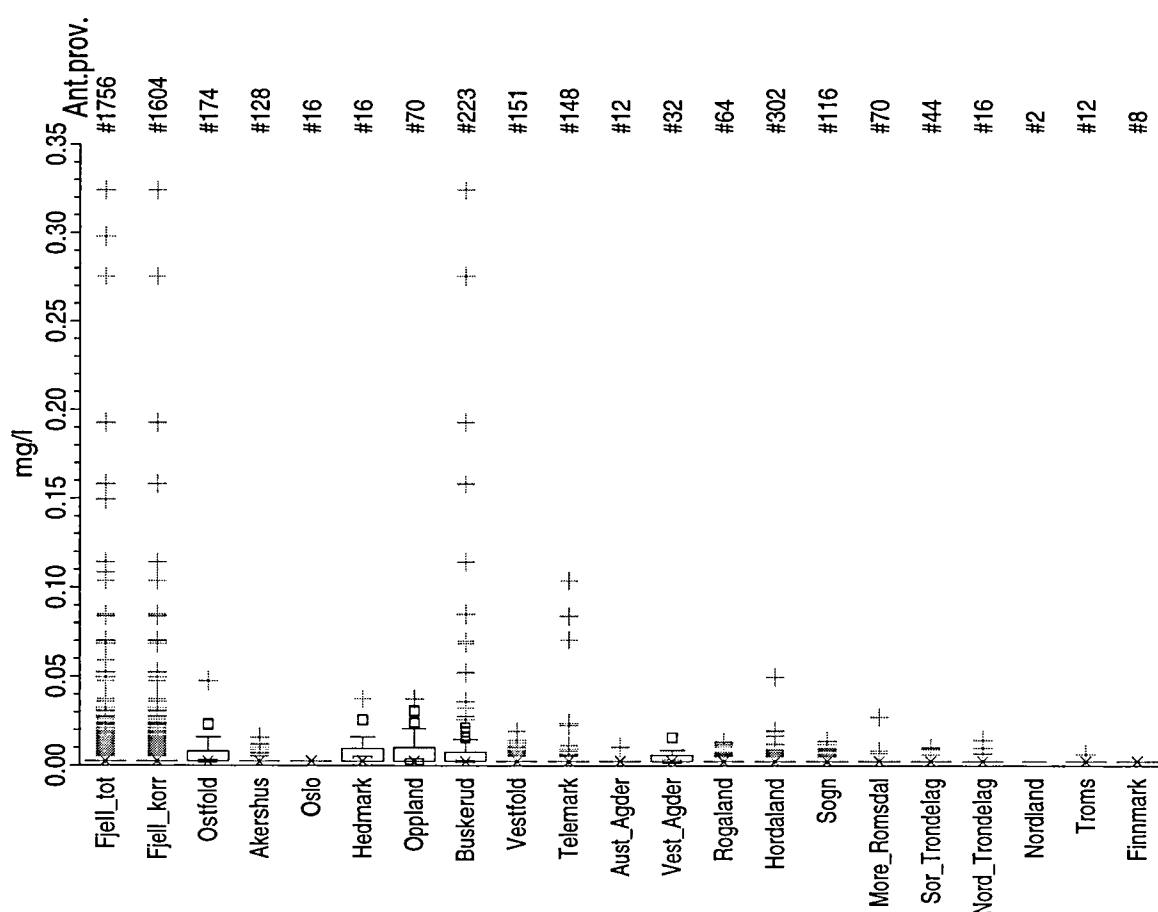
Figur 30a

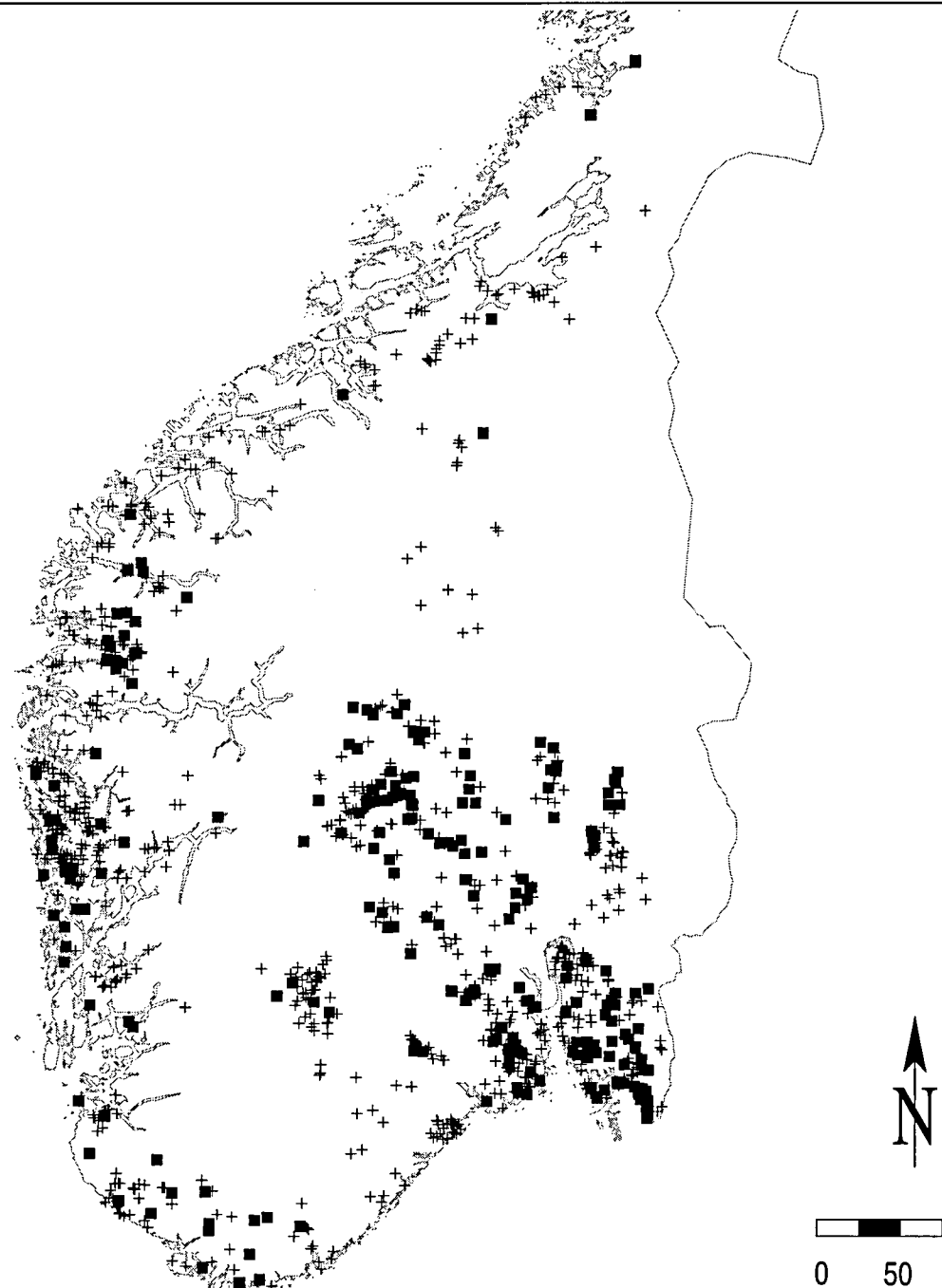
NORGE (Landsomfattende)

Grunnvannskjemi i fjellbronner

LITHIUM

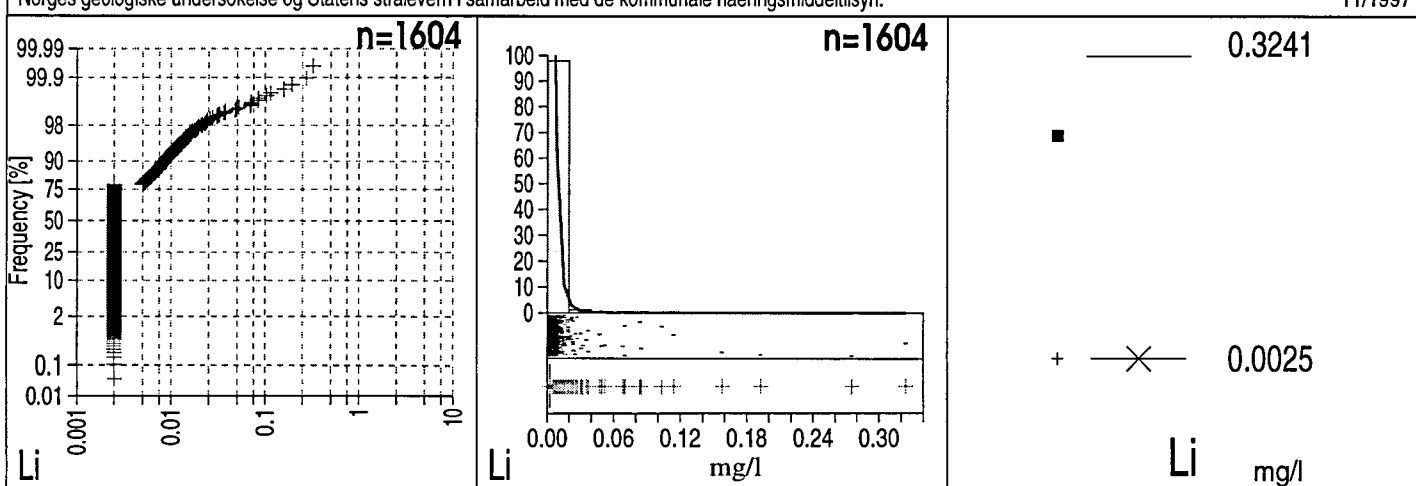
Fordeling i bergart og bronntype



SOR-NORGE*Grunnvannskjemi i fjellbronner***LITHIUM**

Norges geologiske undersøkelse og Statens stralevern i samarbeid med de kommunale næringsmiddeltilsyn.

11/1997



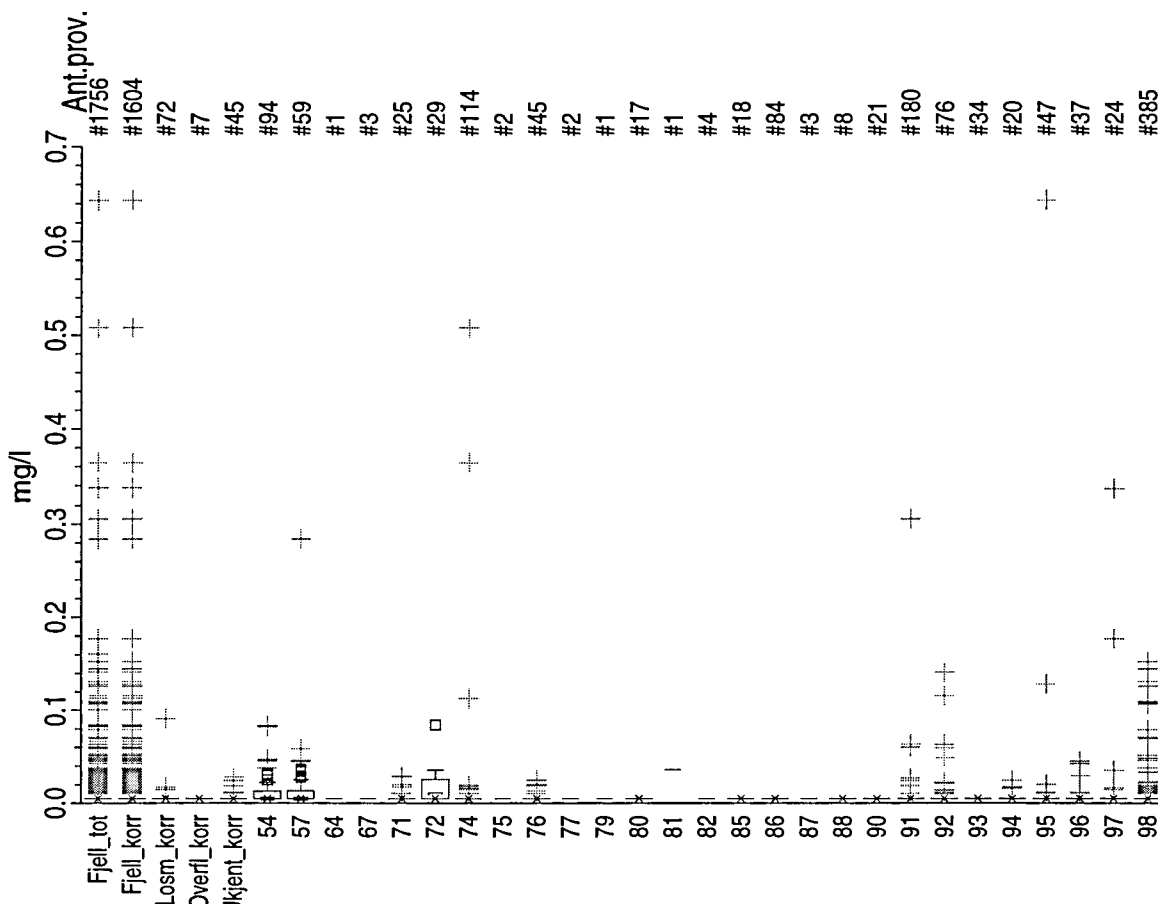
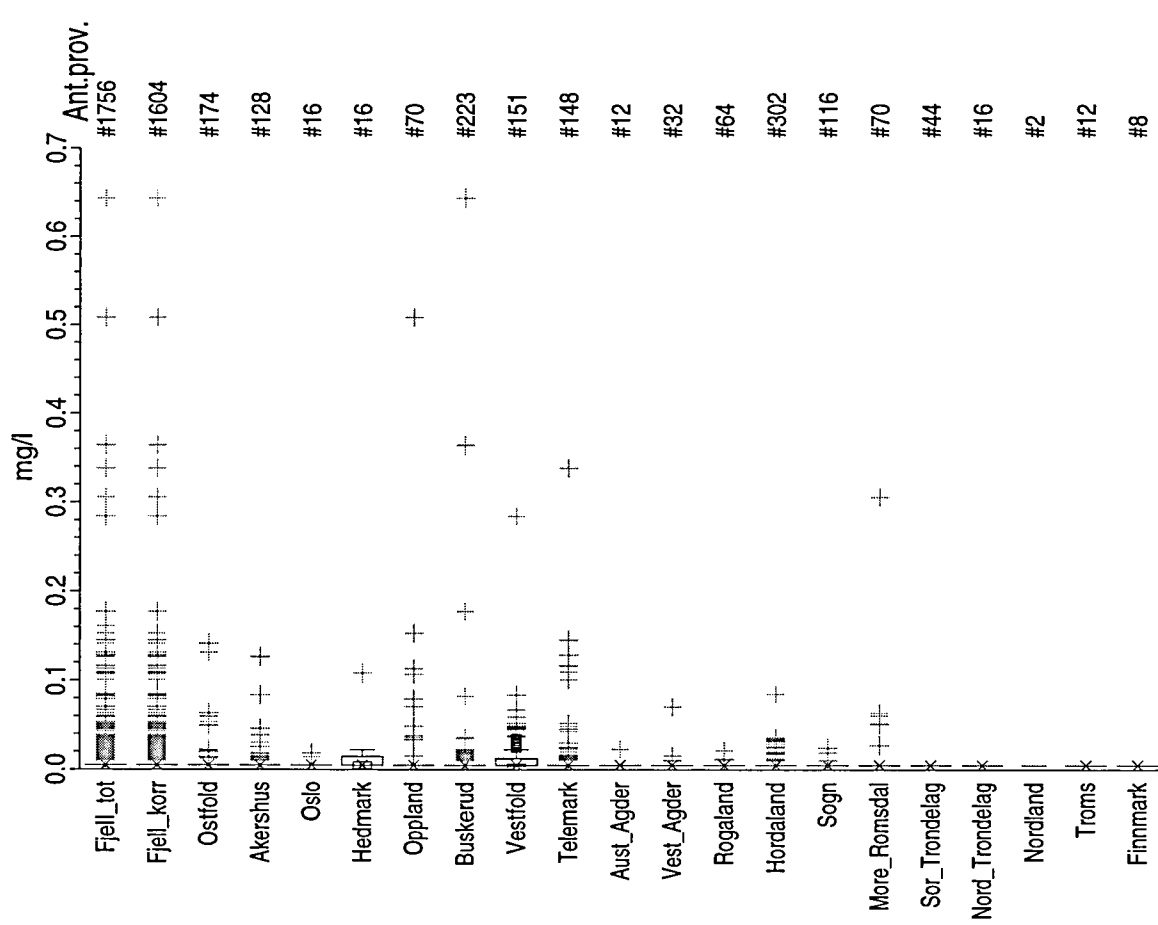
Figur 31a

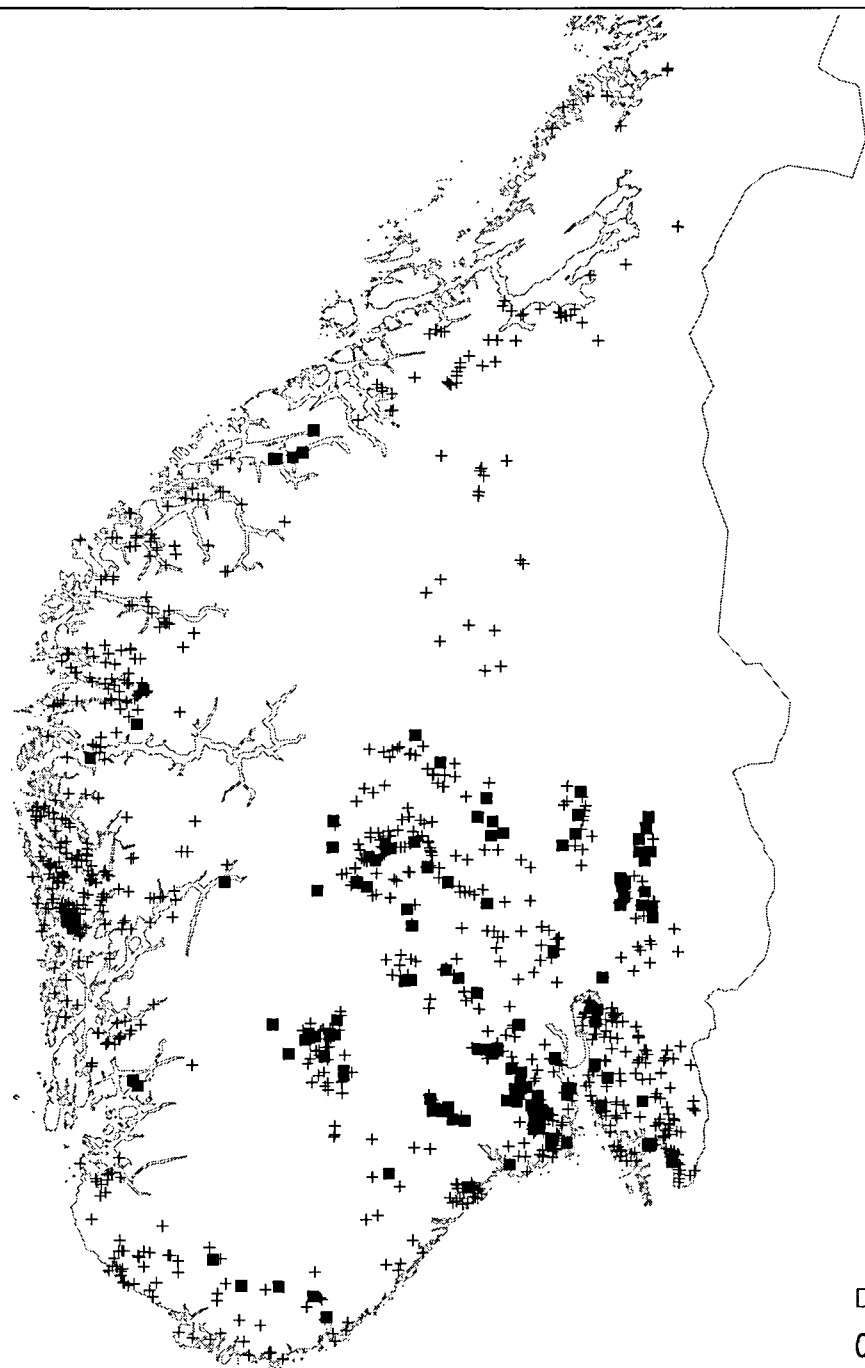
NORGE (Landsomfattende)

Grunnvannskjemi i fjellbronner

MOLYBDEN

Fordeling innen hvert fylke

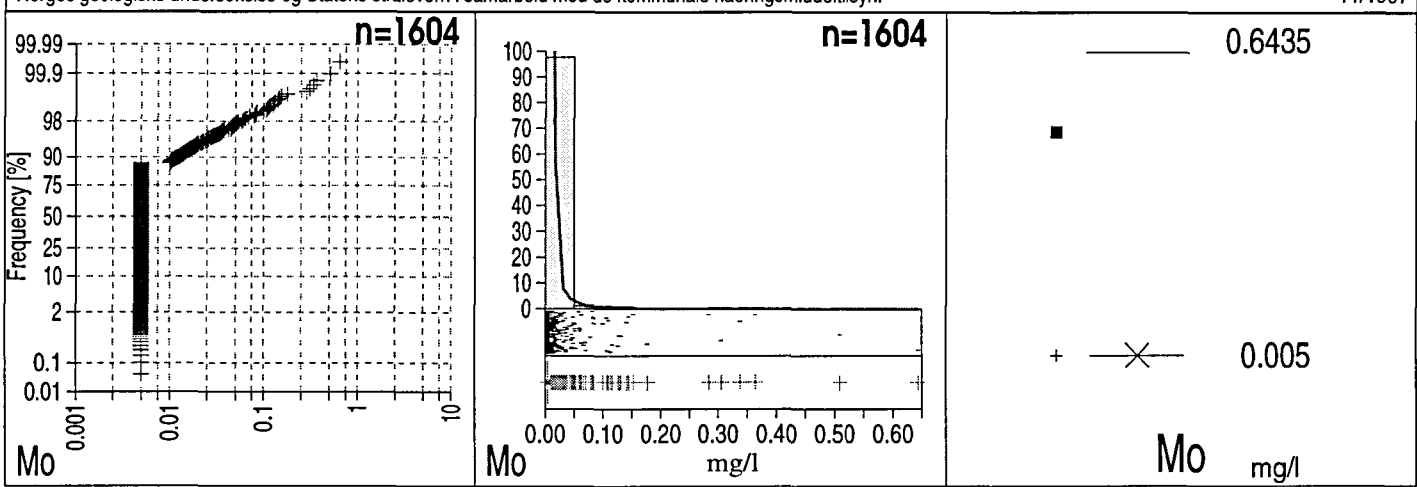


SOR-NORGE*Grunnvannskjemi i fjellbronner***MOLYBDEN**

0 50 100 km

Norges geologiske undersøkelse og Statens strølevn i samarbeid med de kommunale næringsmiddeltilsyn.

11/1997



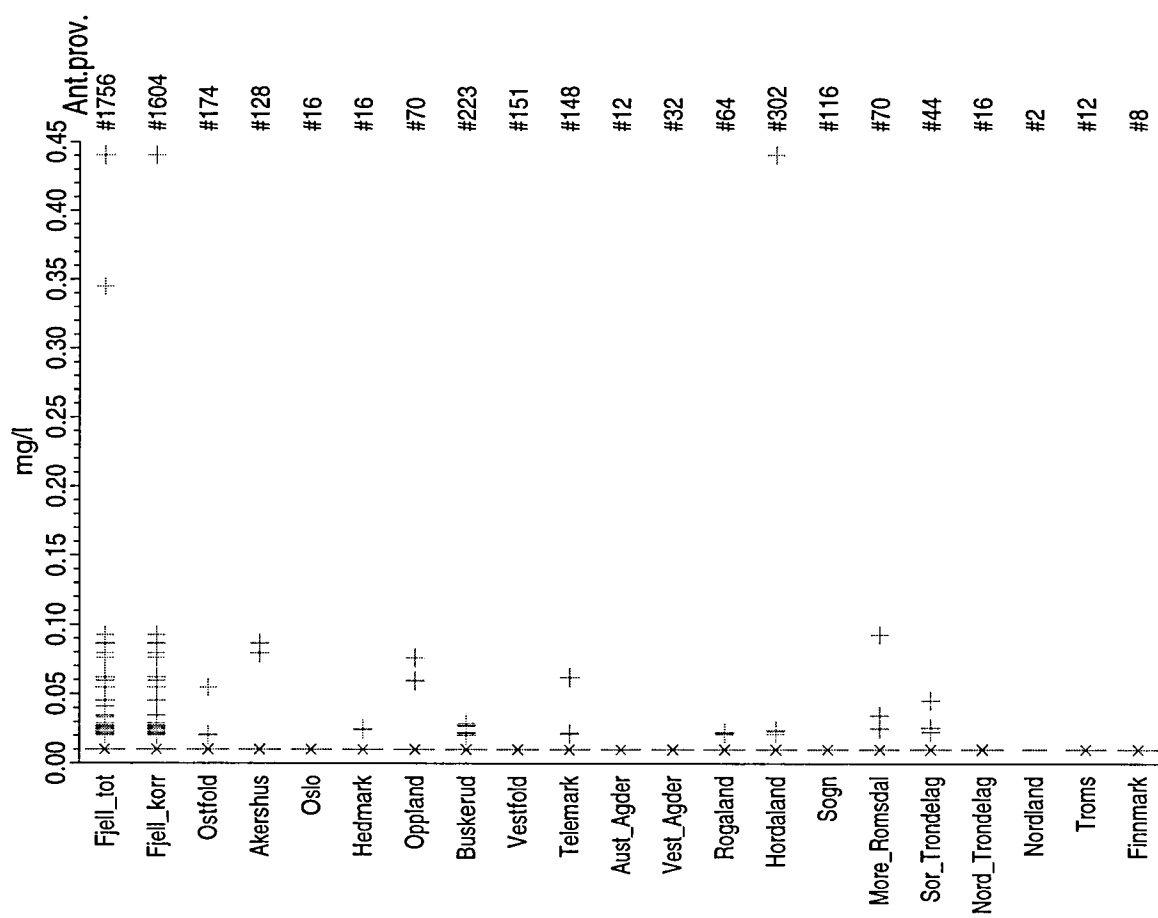
Figur 32a

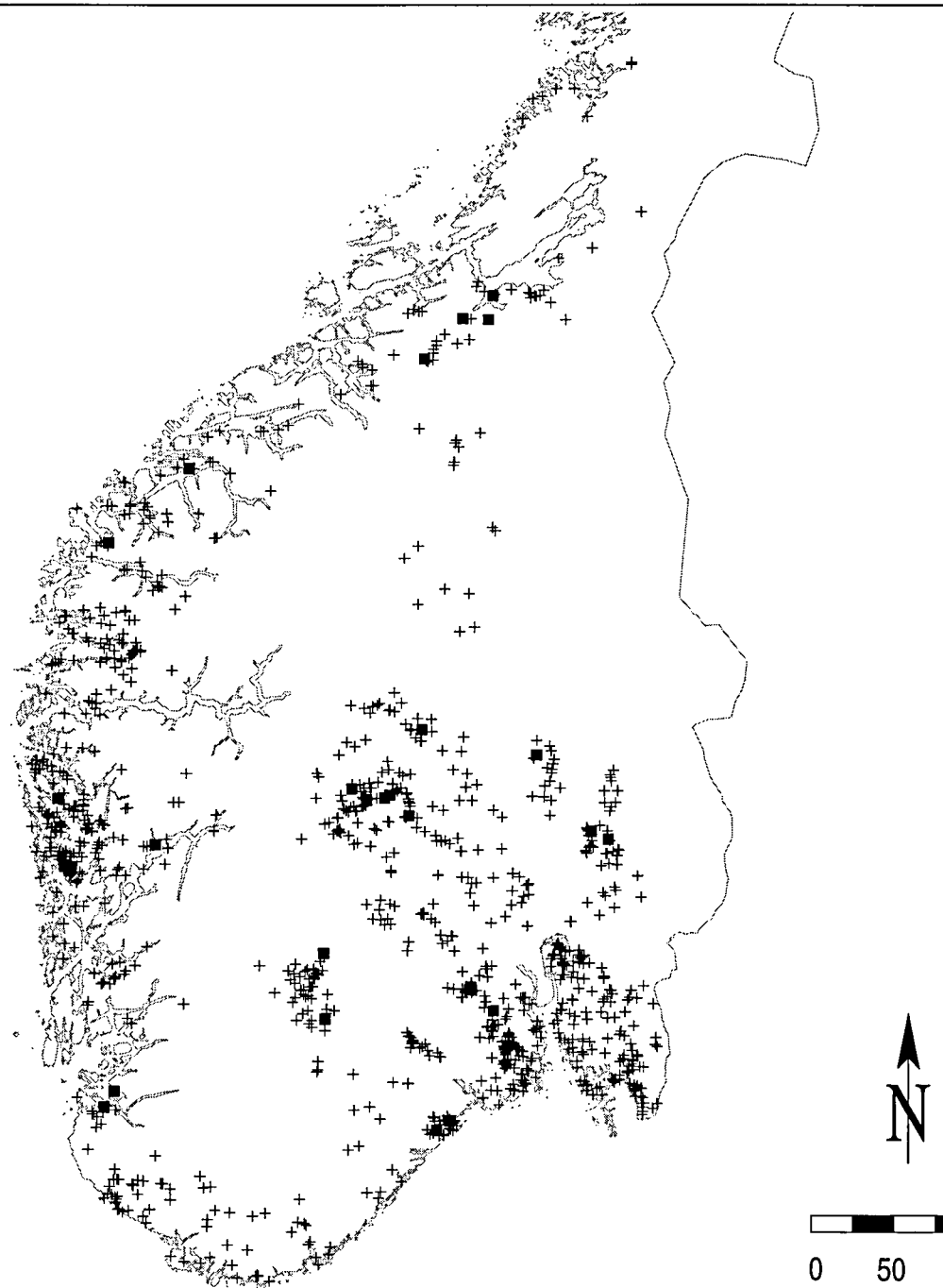
NORGE (Landsomfattende)

Grunnvannskjemi i fjellbronner

NIKKEL

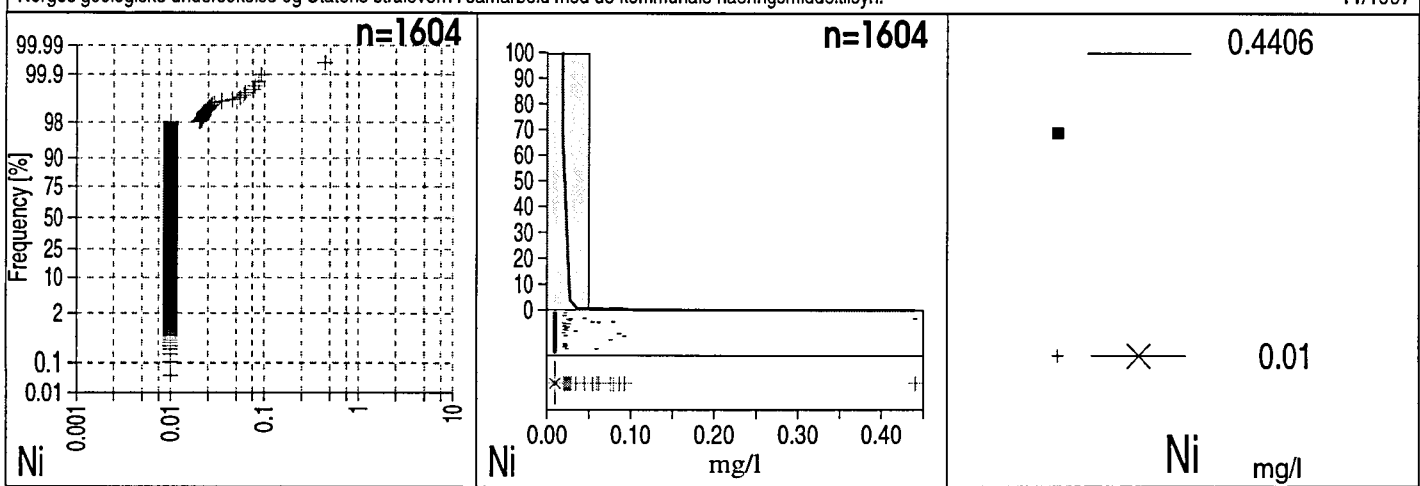
Fordeling i bergart og bronntype



SOR-NORGE*Grunnvannskjemi i fjellbronner***NIKKEL**

Norges geologiske undersøkelse og Statens strålevern i samarbeid med de kommunale næringsmiddeltilsyn.

11/1997



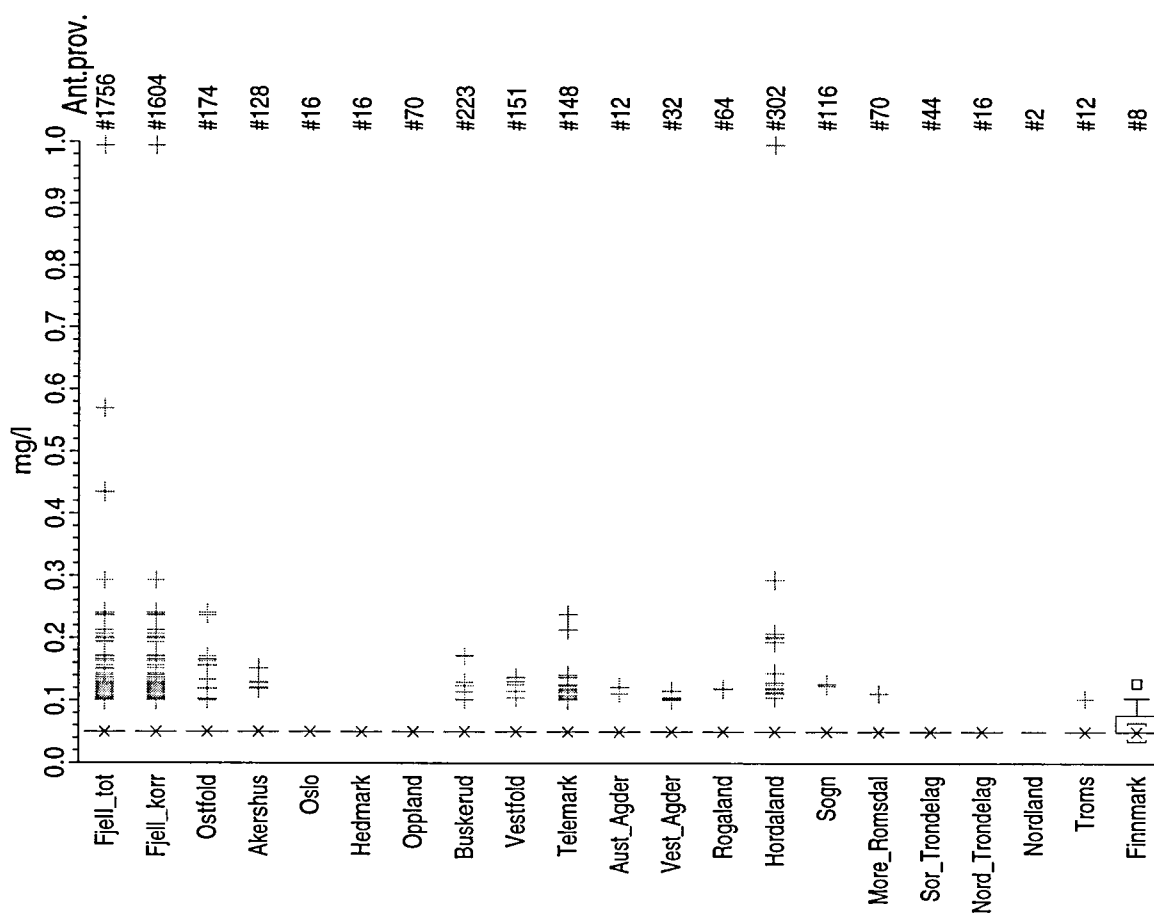
Figur 33a

NORGE (Landsomfattende)

Grunnvannskjemi i fjellbronner

FOSFOR (tot)

Fordeling i bergart og bronntype

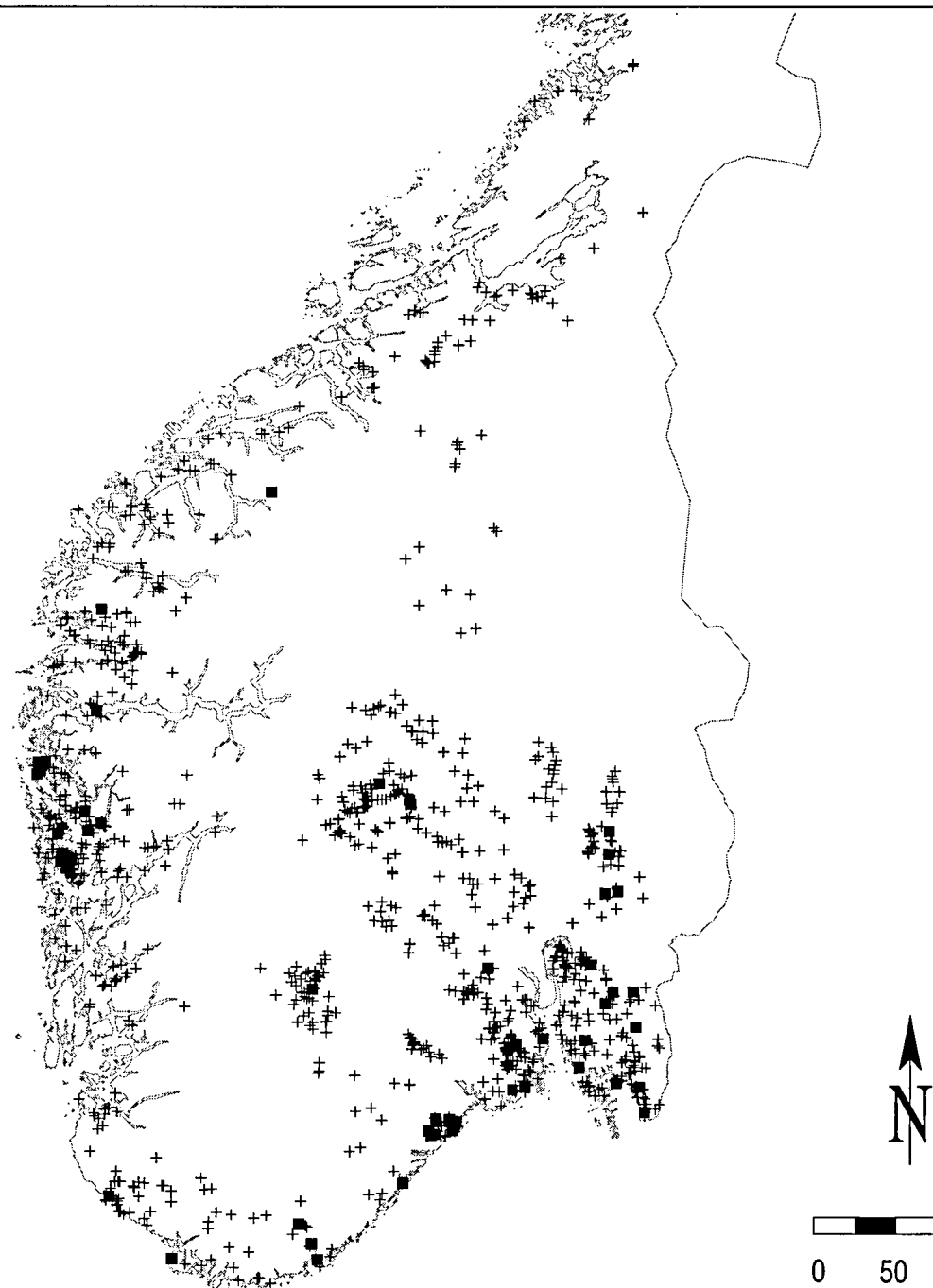


Figur 33c

SOR-NORGE

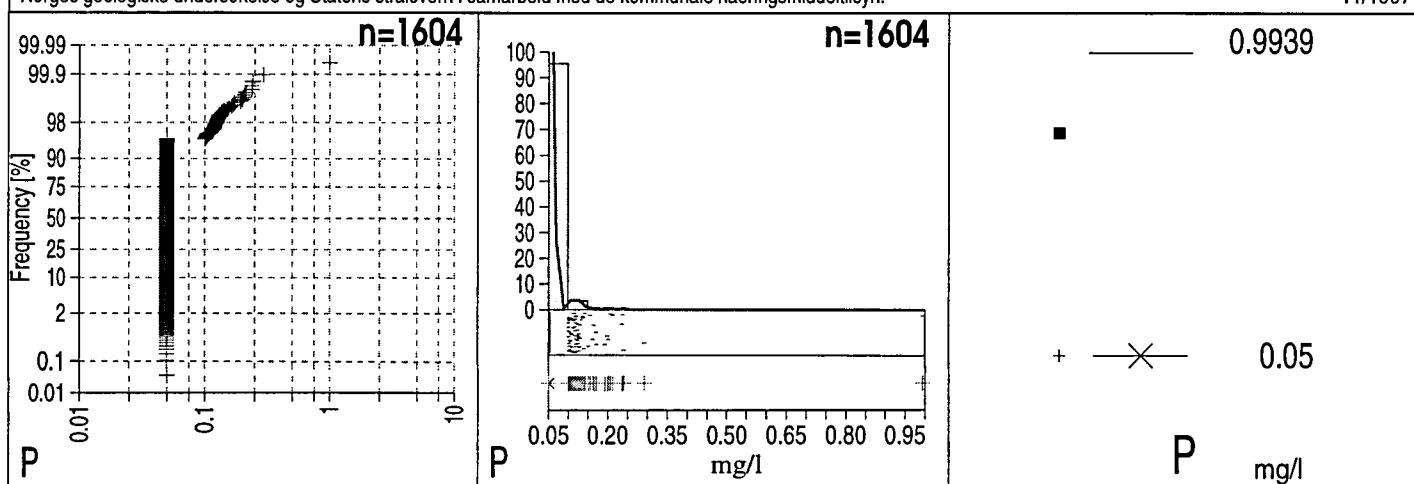
Grunnvannskjemi i fjellbronner

FOSFOR (tot)



Norges geologiske undersøkelse og Statens stralevern i samarbeid med de kommunale næringsmiddeltilsyn.

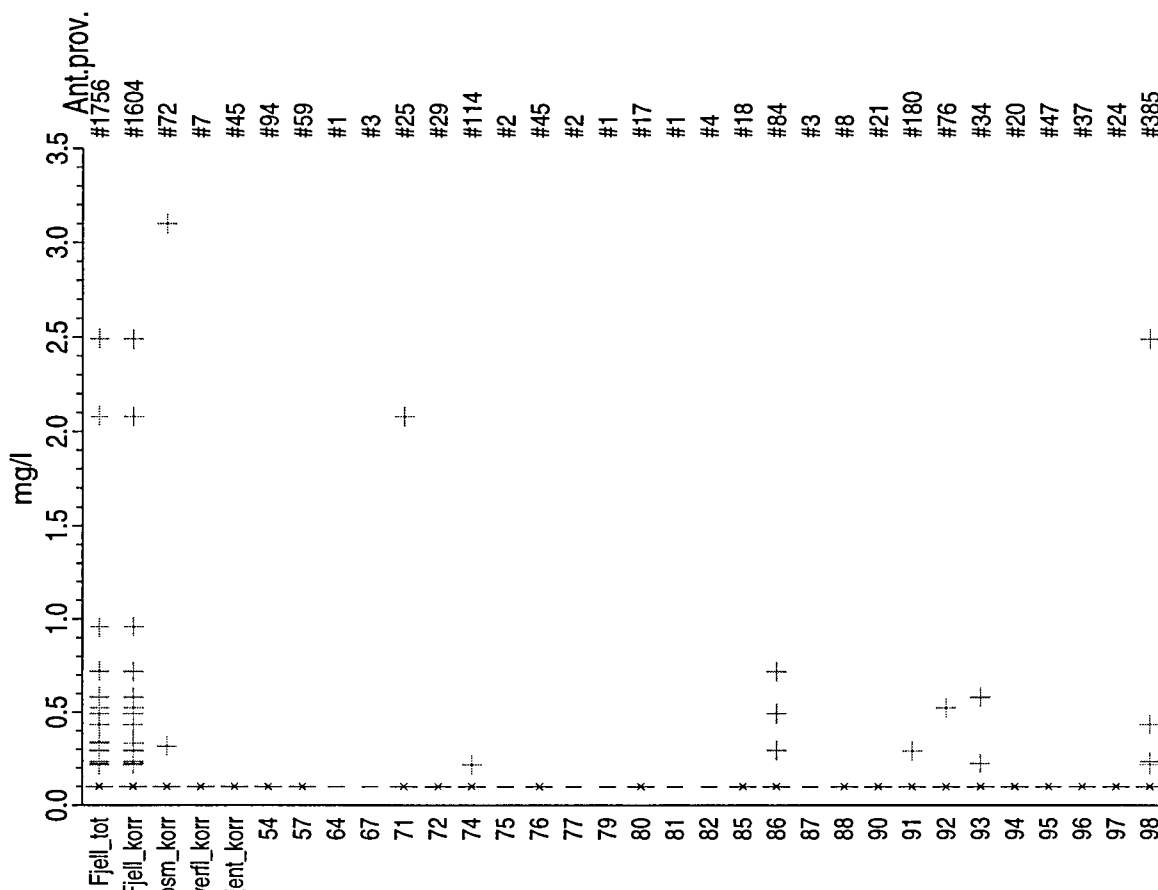
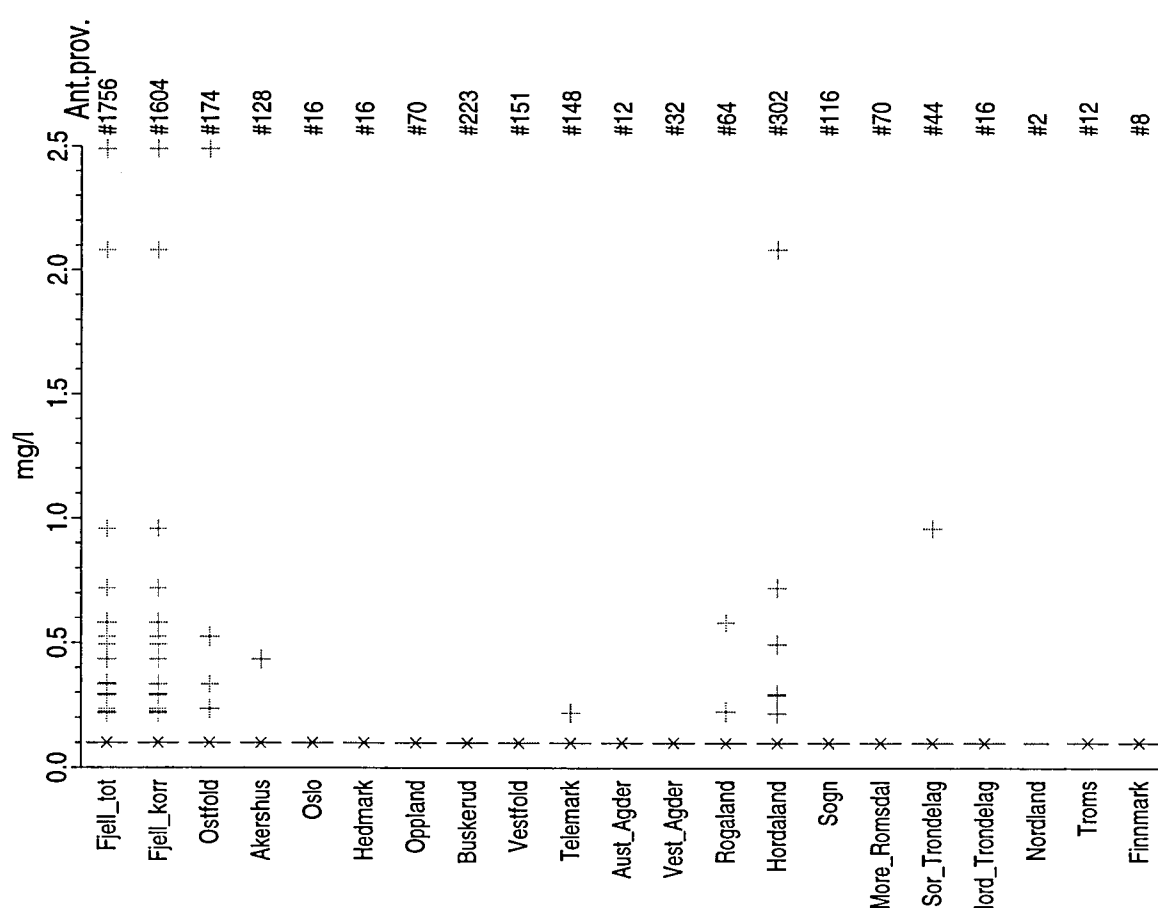
11/1997



Figur 34a

NORGE (Landsomfattende) *Grunnvannskjemi i fjellbronner*

FOSFAT

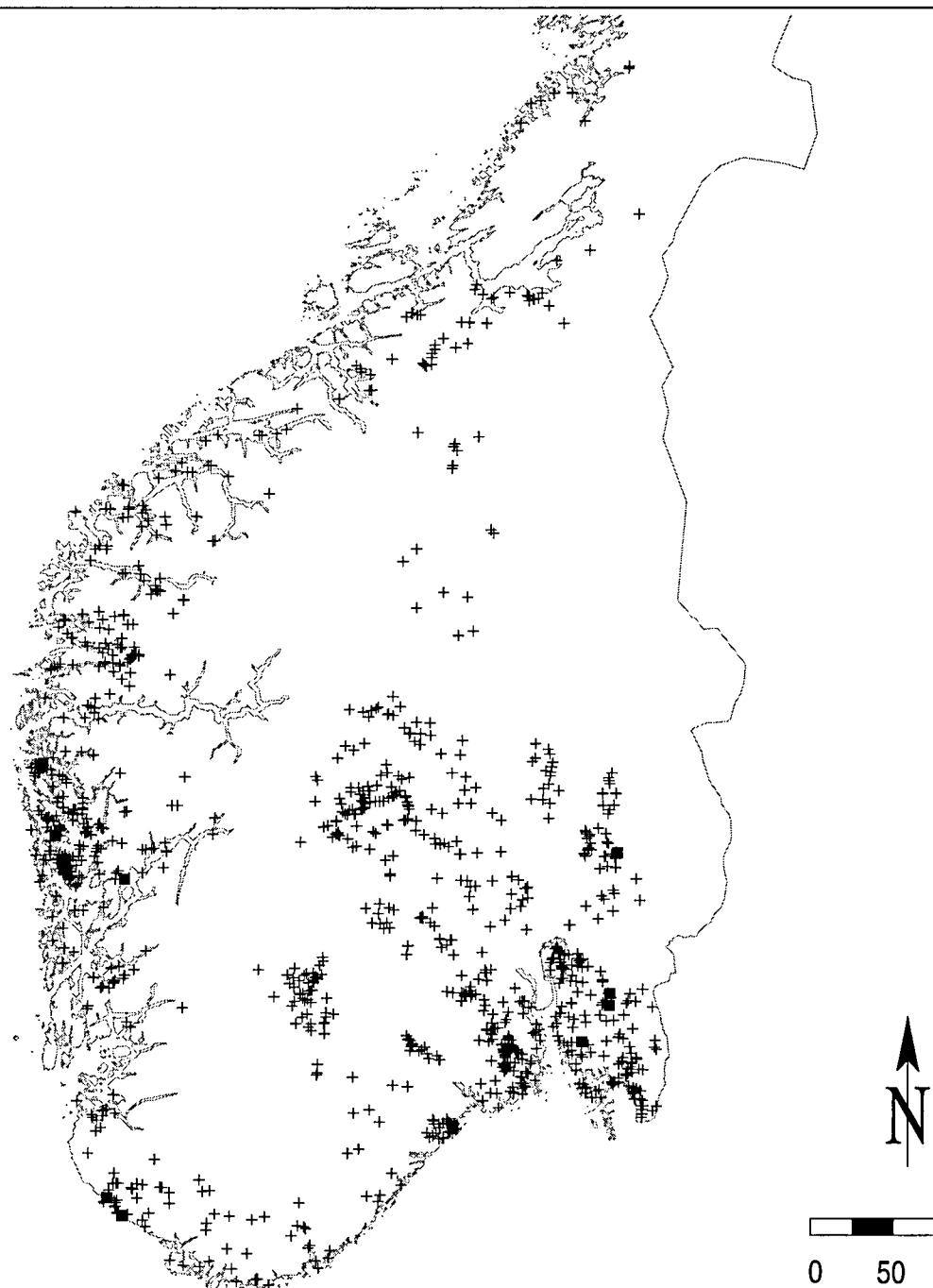


Figur 34c

SOR-NORGE

Grunnvannskjemi i fjellbronner

FOSFAT

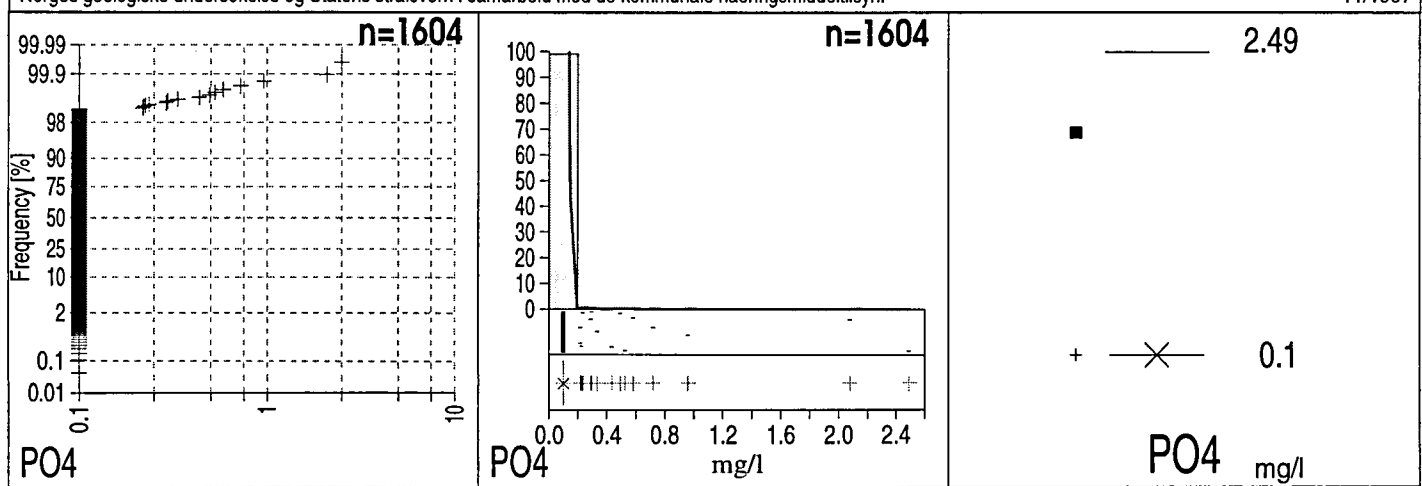


n=1328

0 50 100 km

Norges geologiske undersøkelse og Statens stralevern i samarbeid med de kommunale næringsmiddeltilsyn.

11/1997



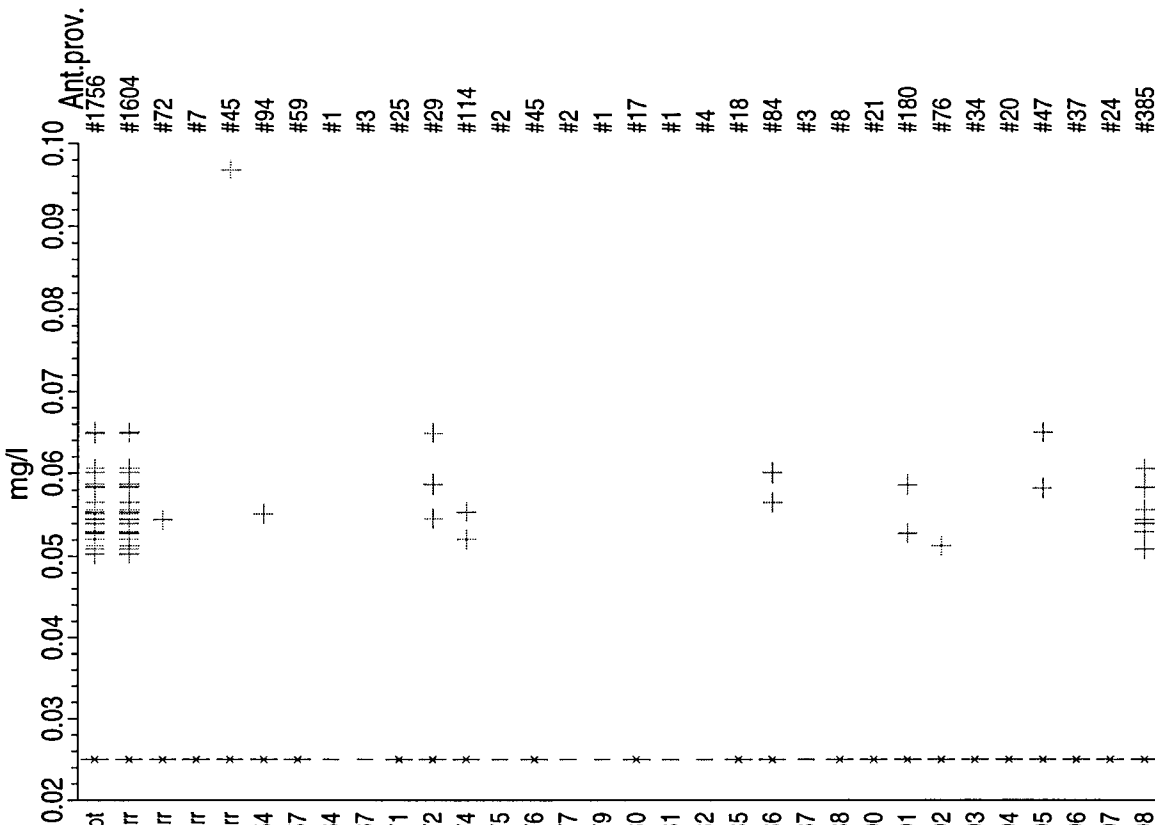
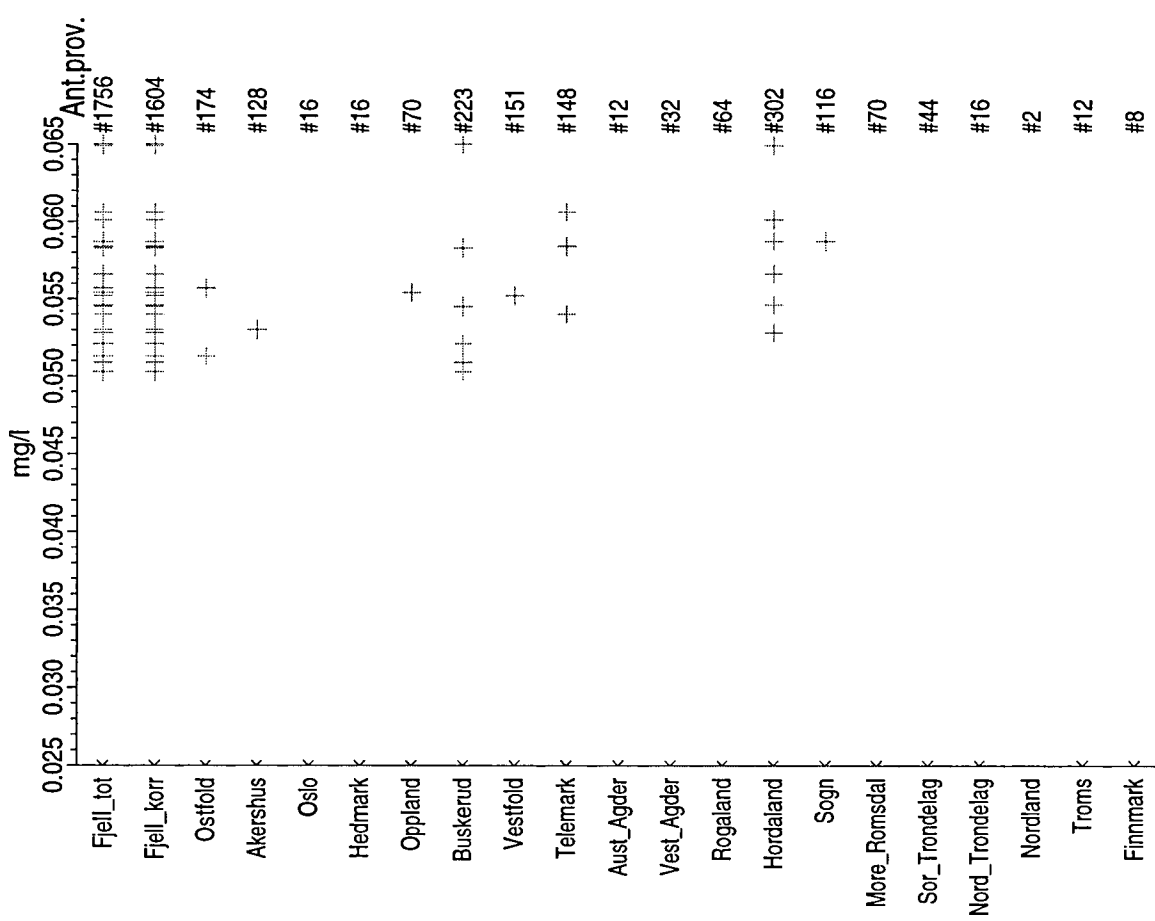
Figur 35a

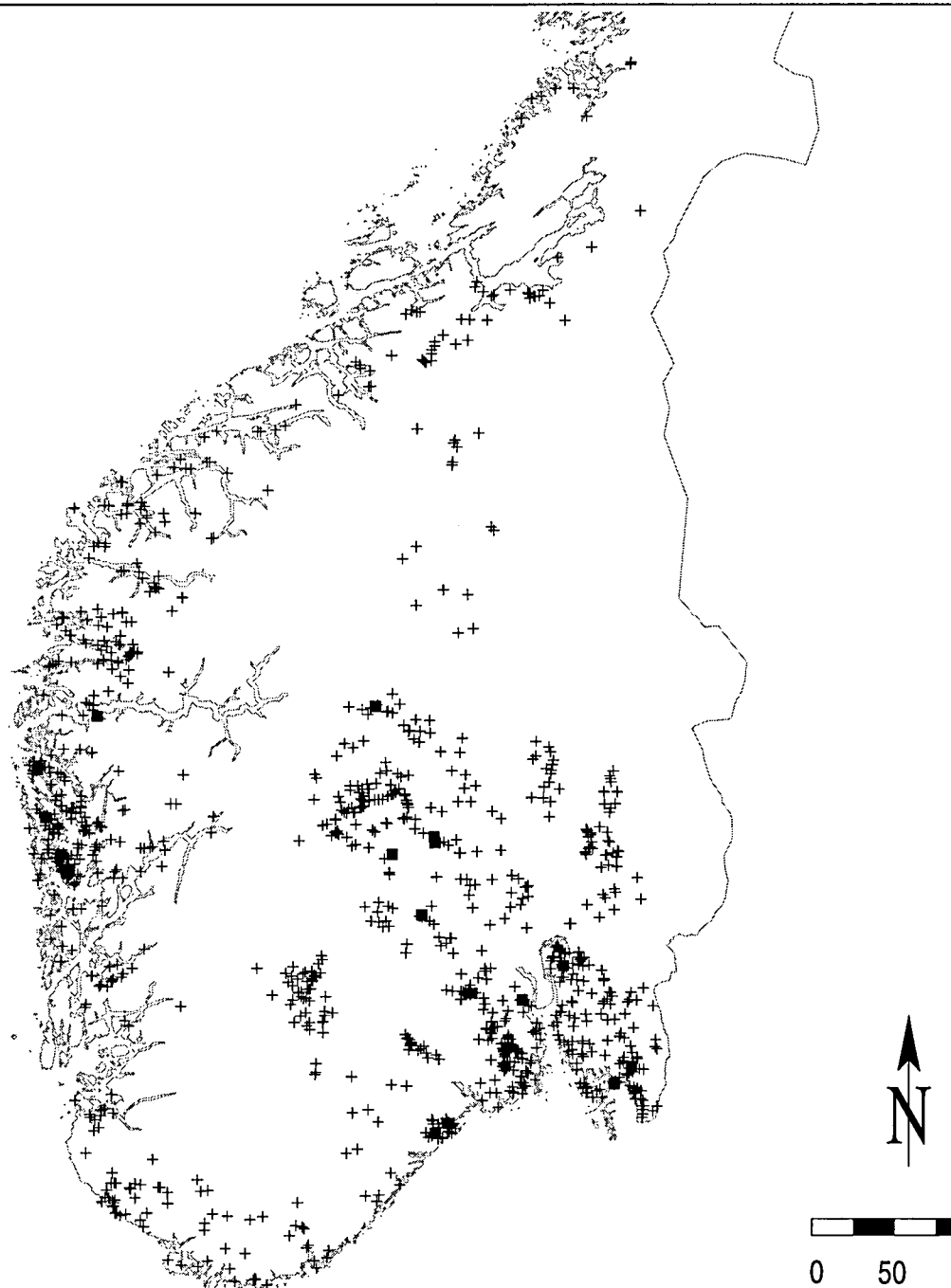
NORGE (Landsomfattende)

Grunnvannskjemi i fjellbronner

BLY

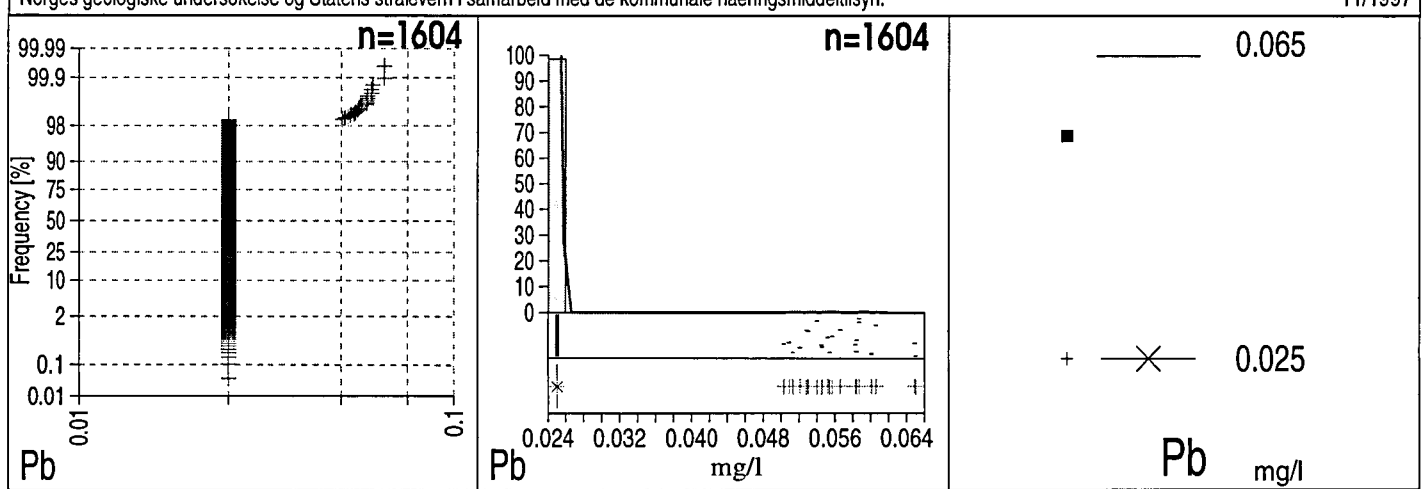
Fordeling innen hvert fylke



SOR-NORGE*Grunnvannskjemi i fjellbronner***BLY**

Norges geologiske undersokelse og Statens stralevern i samarbeid med de kommunale næringsmiddeltilsyn.

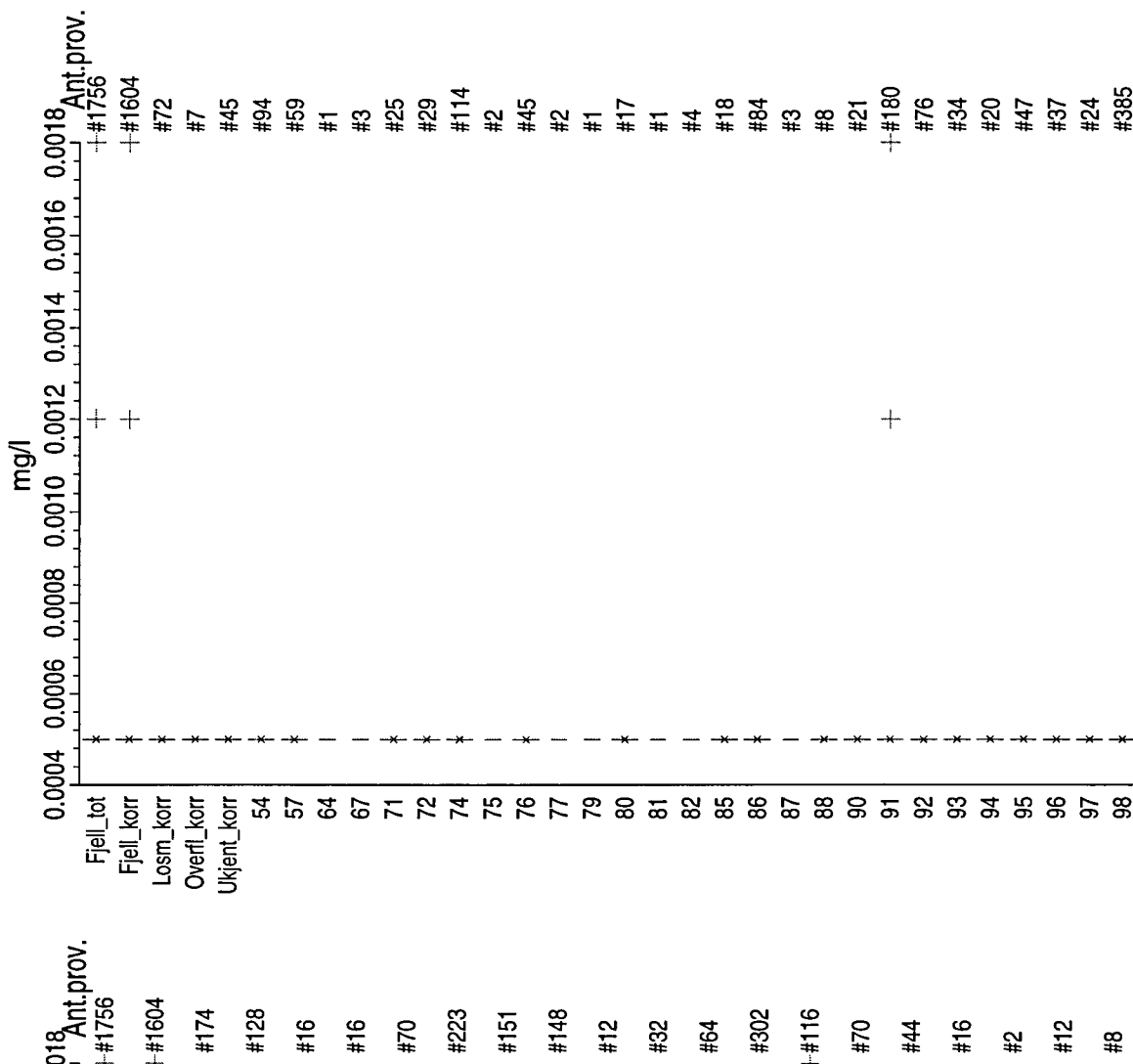
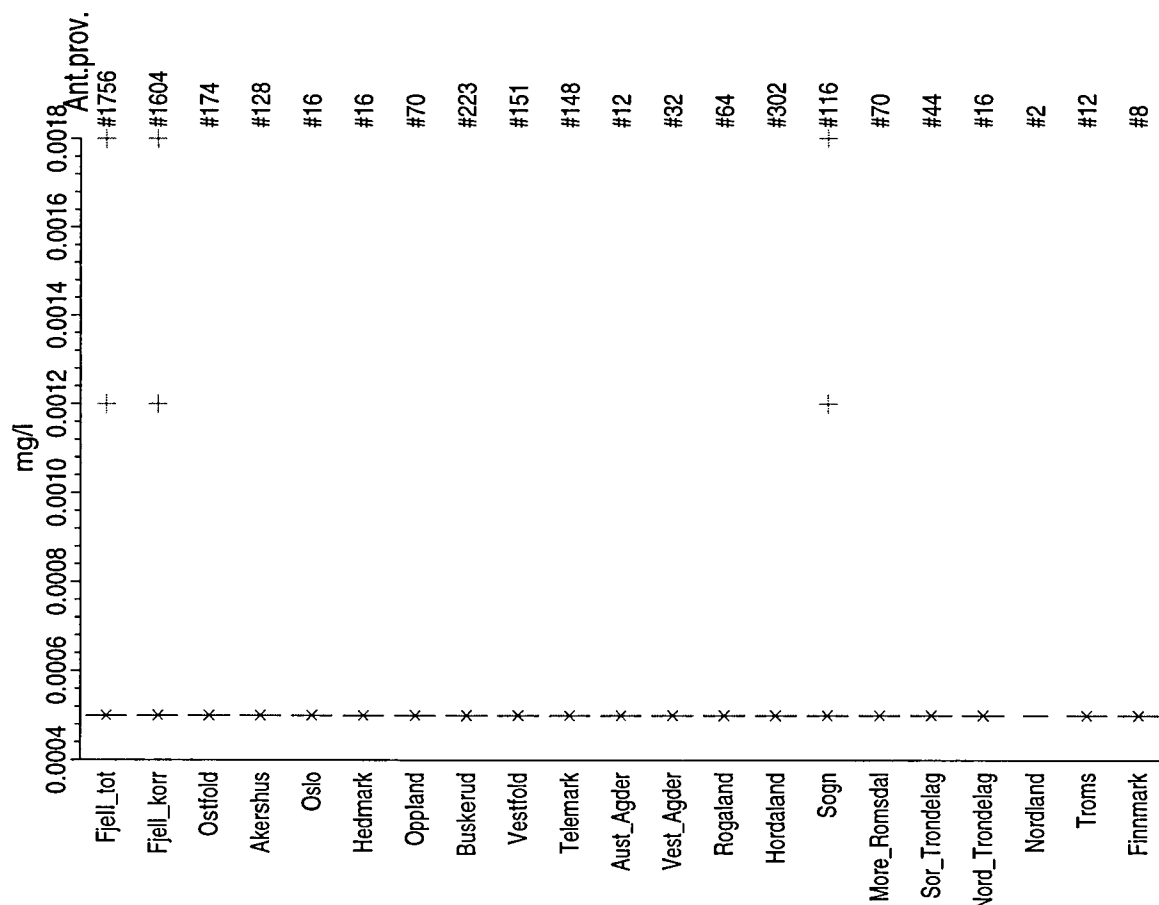
11/1997

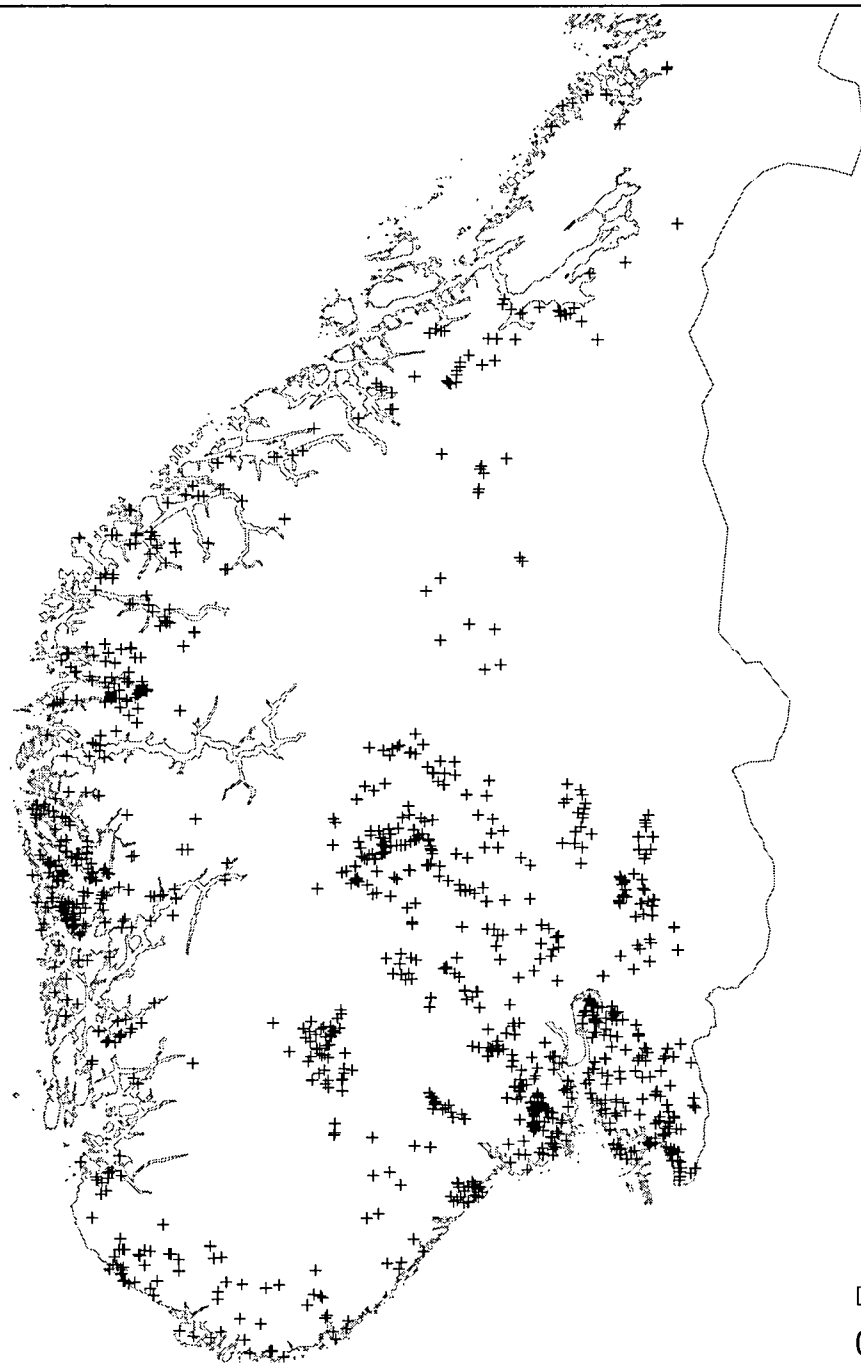


Figur 36a

NORGE (Landsomfattende) *Grunnvannskjemi i fjellbronner*

SCANDIUM

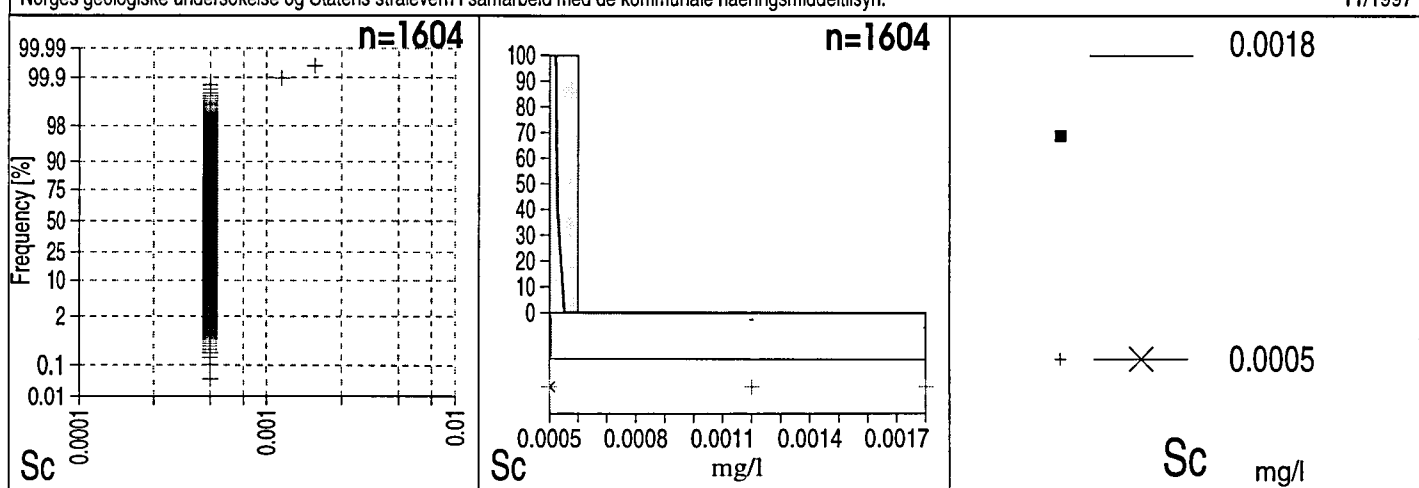


SOR-NORGE*Grunnvannskjemi i fjellbronner***SCANDIUM**

0 50 100 km
N

Norges geologiske undersøkelse og Statens stralevern i samarbeid med de kommunale næringsmiddeltilsyn.

11/1997



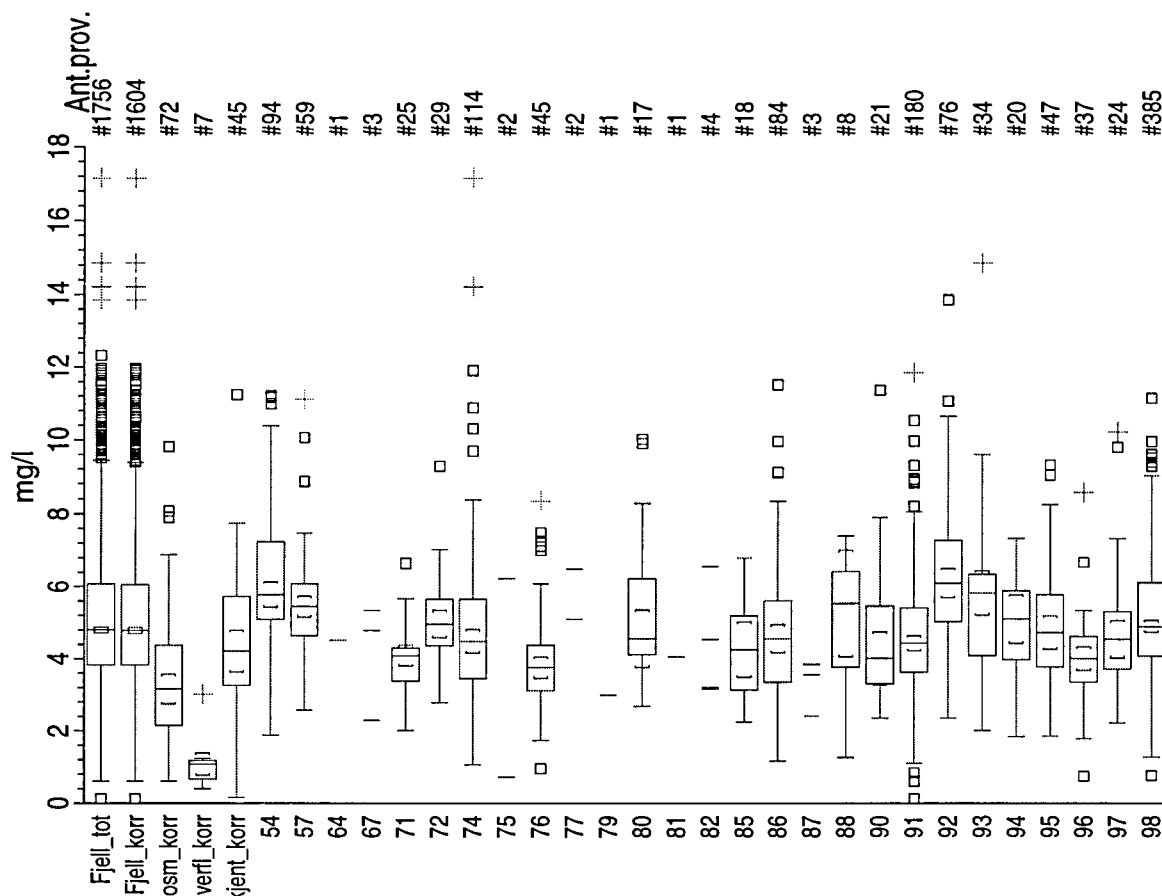
Figur 37a

NORGE (Landsomfattende)

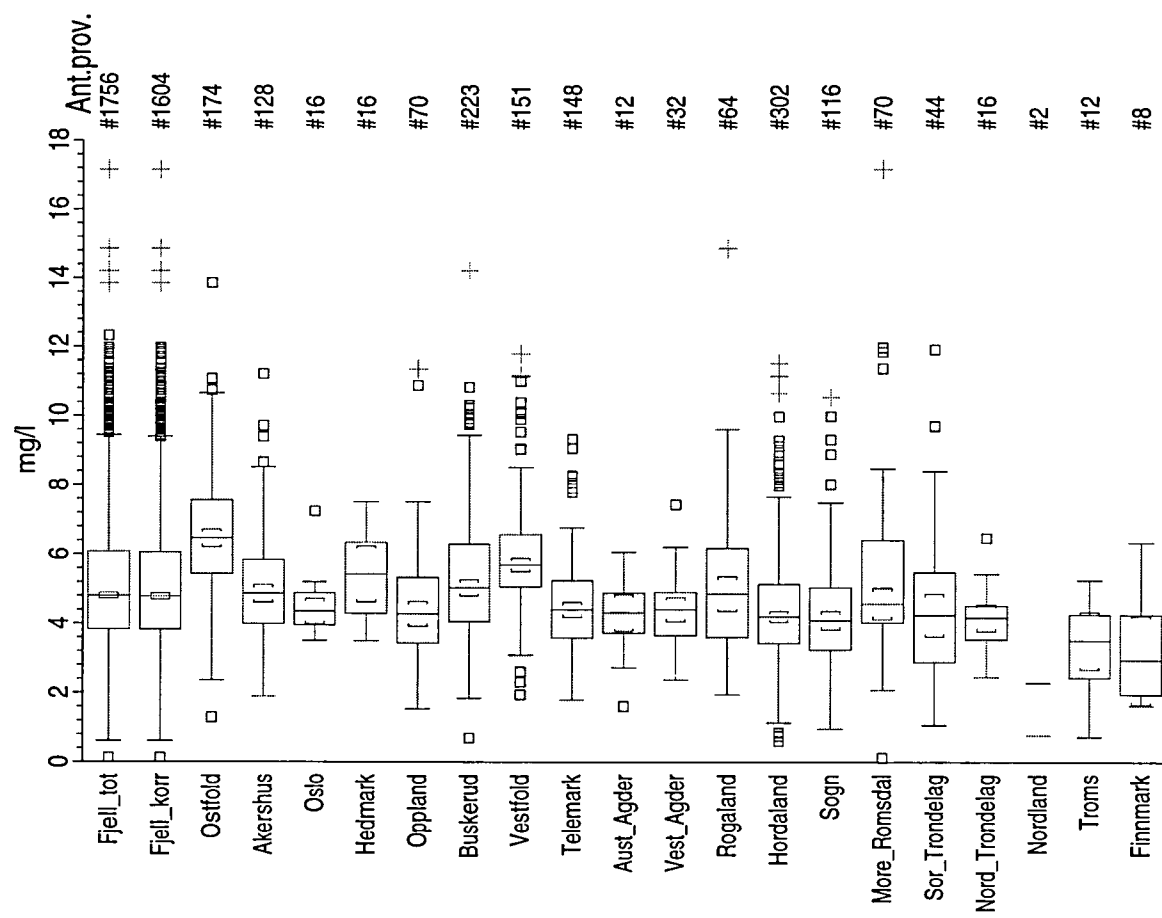
Grunnvannskjemi i fjellbronner

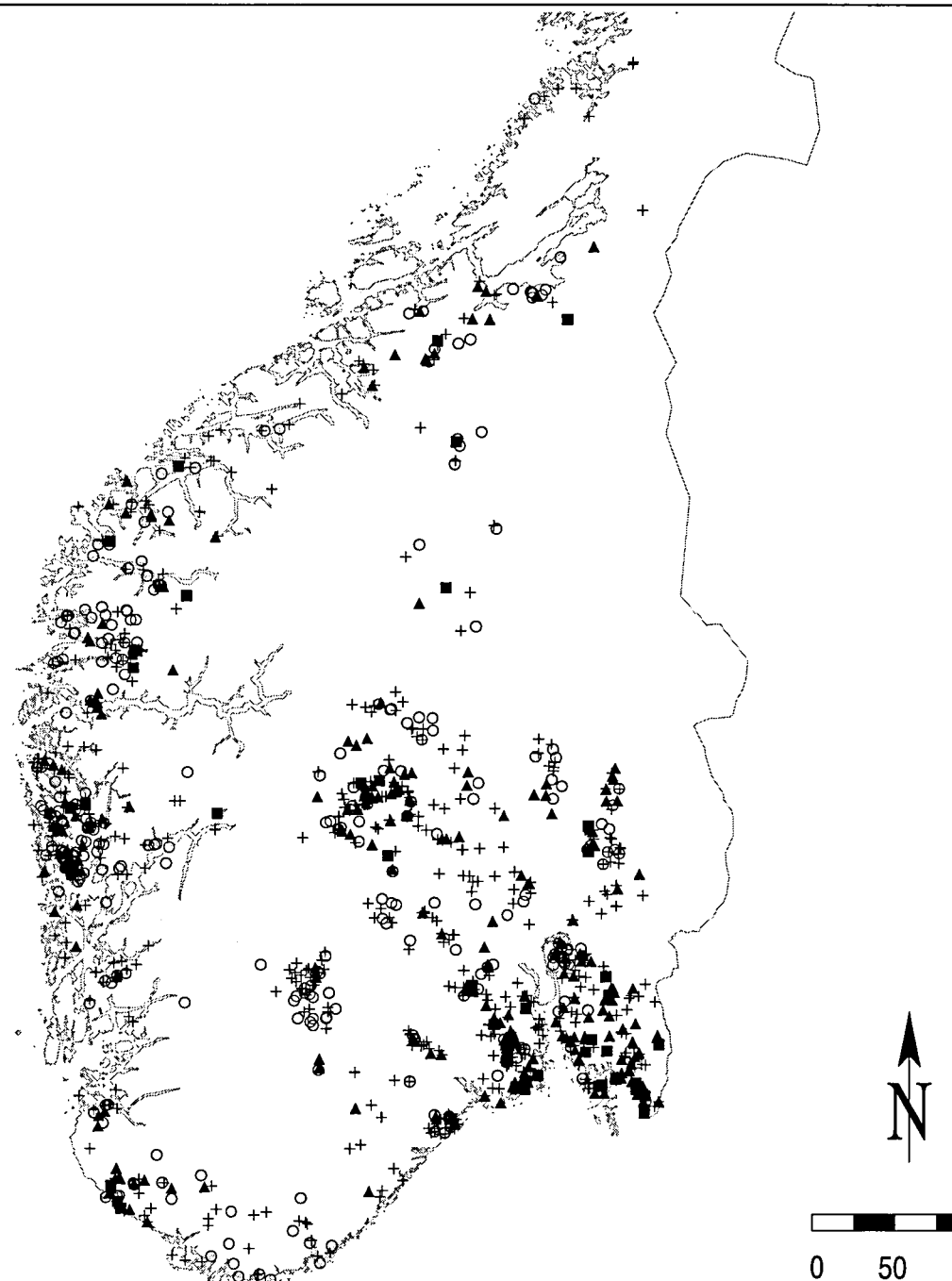
SILISIUM

Fordeling i bergart og bronntype



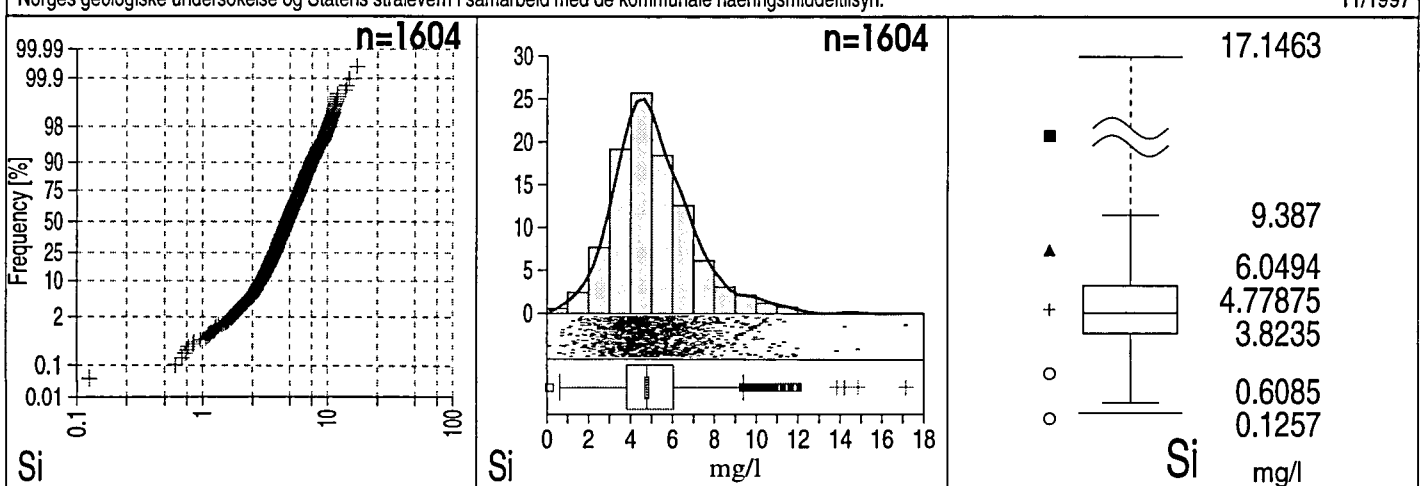
Fordeling innen hvert fylke



SOR-NORGE*Grunnvannskjemi i fjellbronner***SILISIUM**

Norges geologiske undersøkelse og Statens stralevern i samarbeid med de kommunale næringsmiddeltilsyn.

11/1997



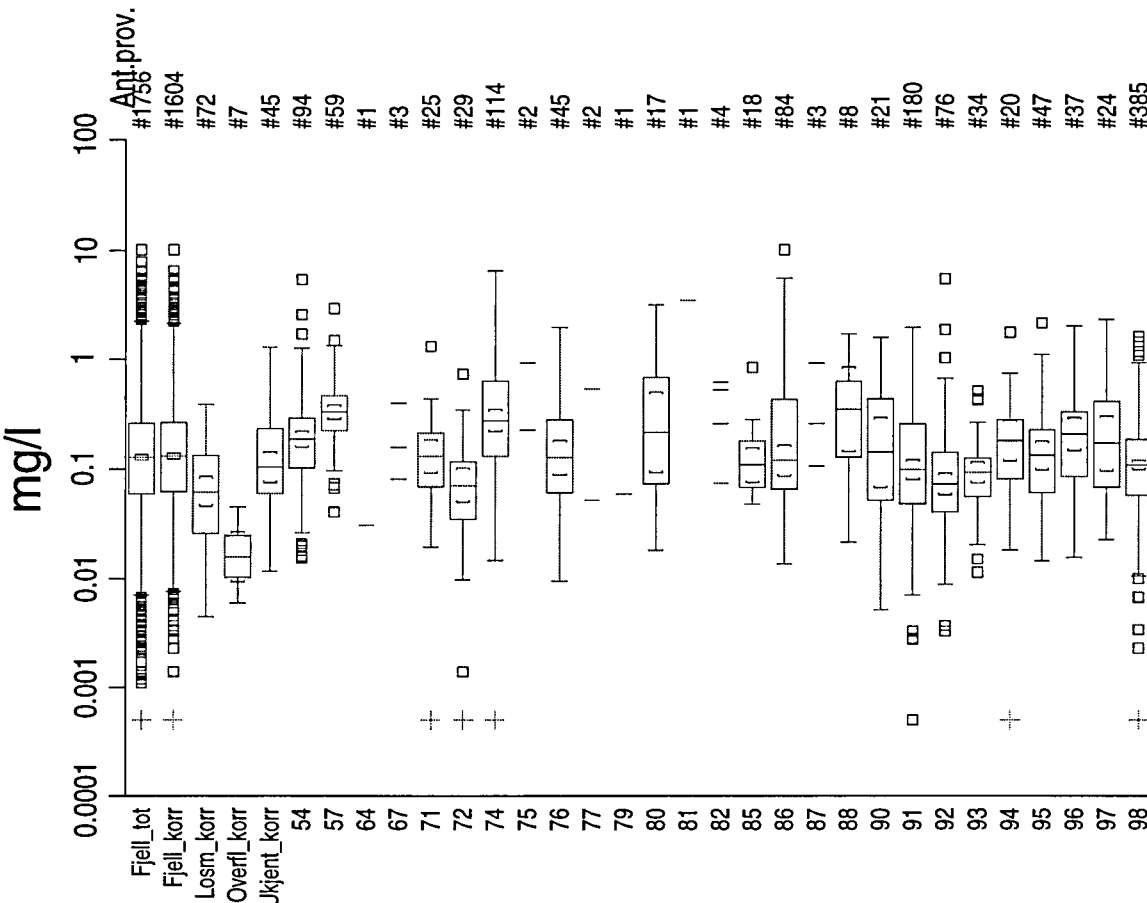
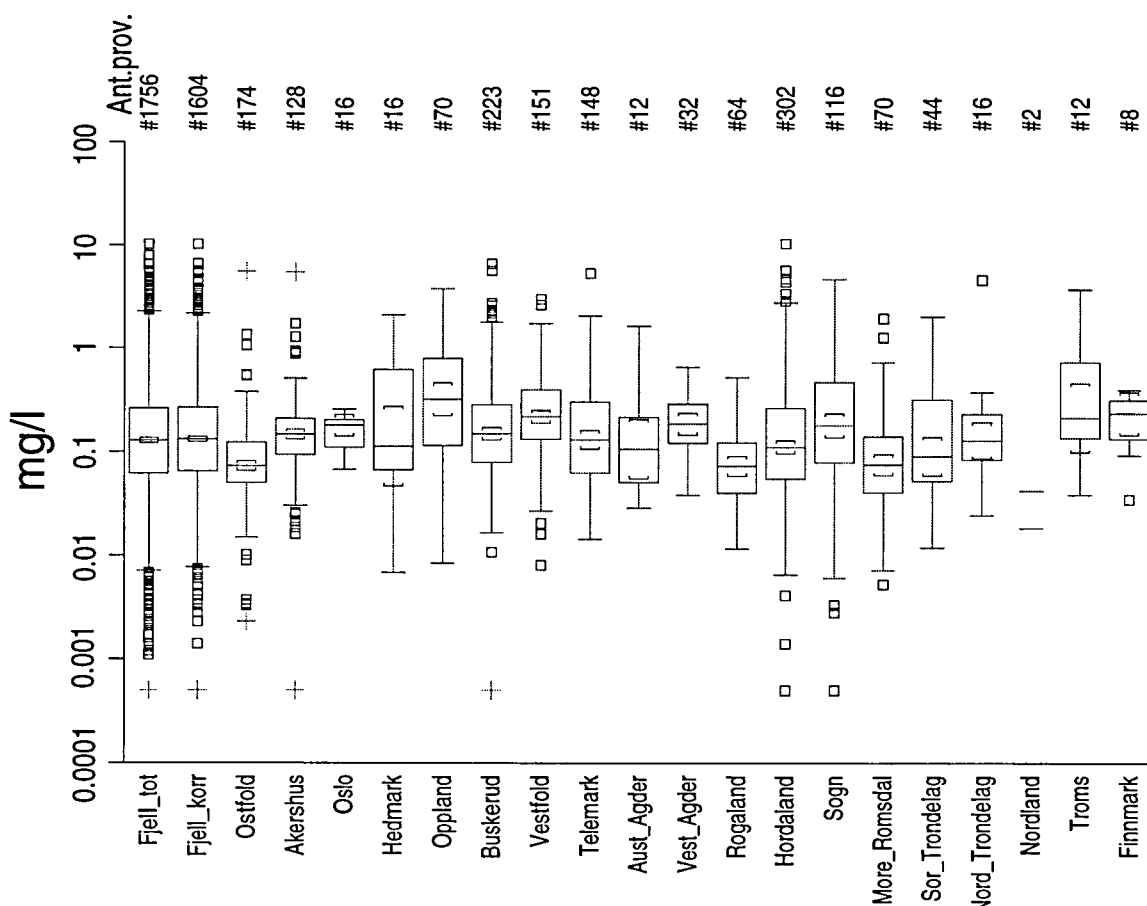
Figur 38a

NORGE (Landsomfattende)

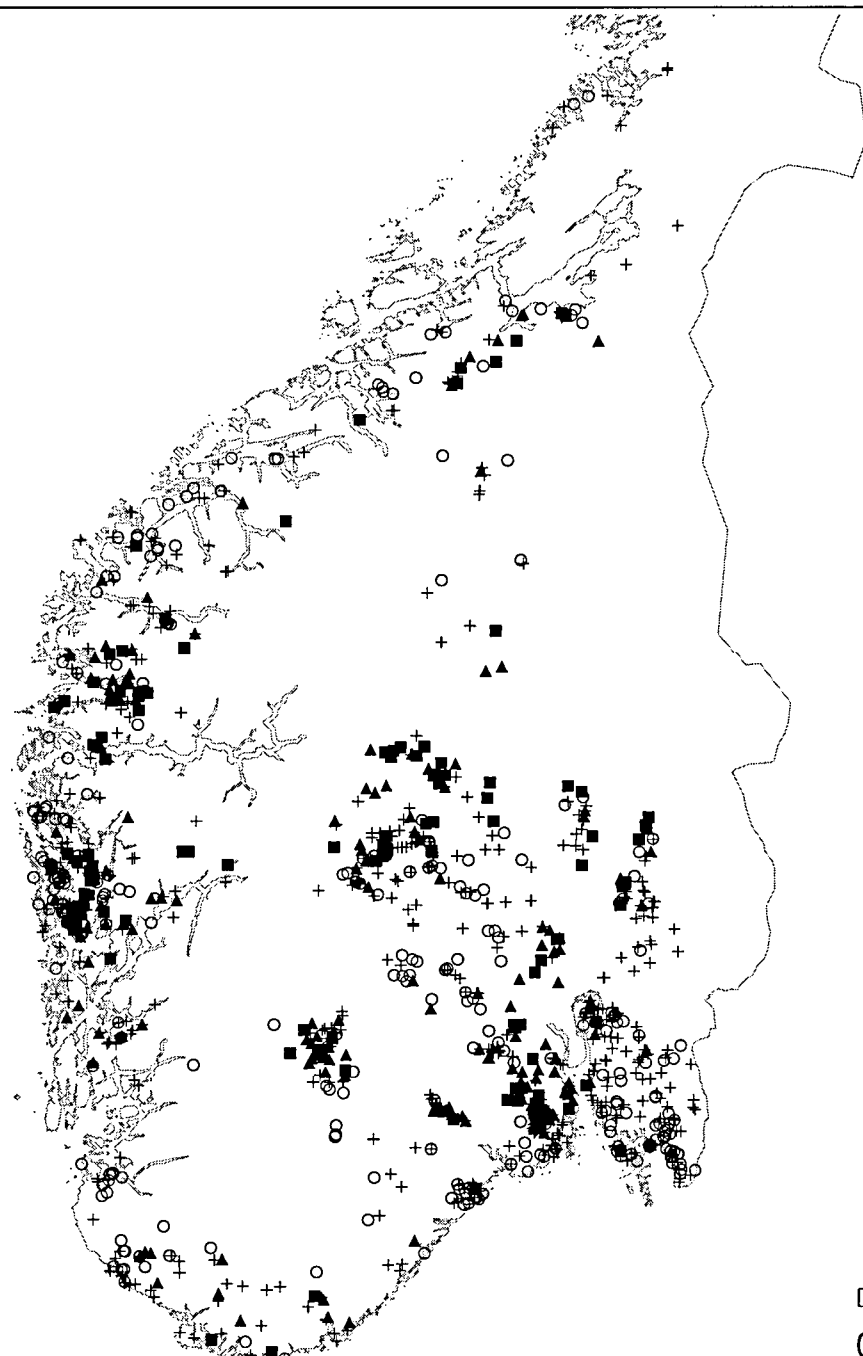
Grunnvannskjemi i fjellbronner

STRONTIUM

Fordeling i bergart og bronntype

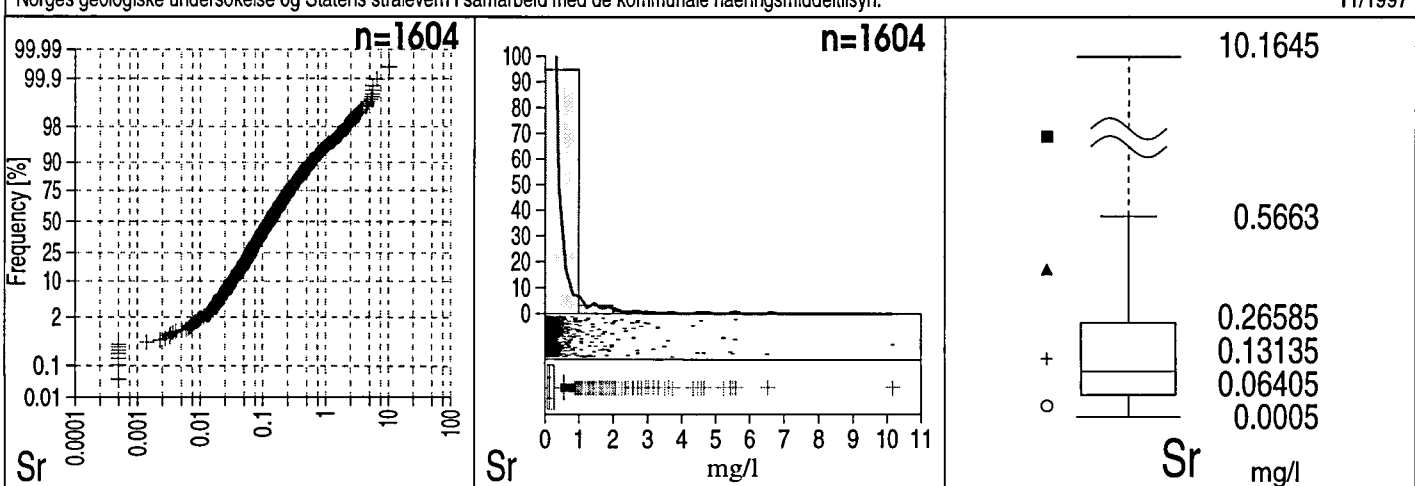


Figur 38c

SOR-NORGE*Grunnvannskjemi i fjellbronner***STRONTIUM**

Norges geologiske undersøkelse og Statens stralevern i samarbeid med de kommunale næringsmiddeltilsyn.

11/1997



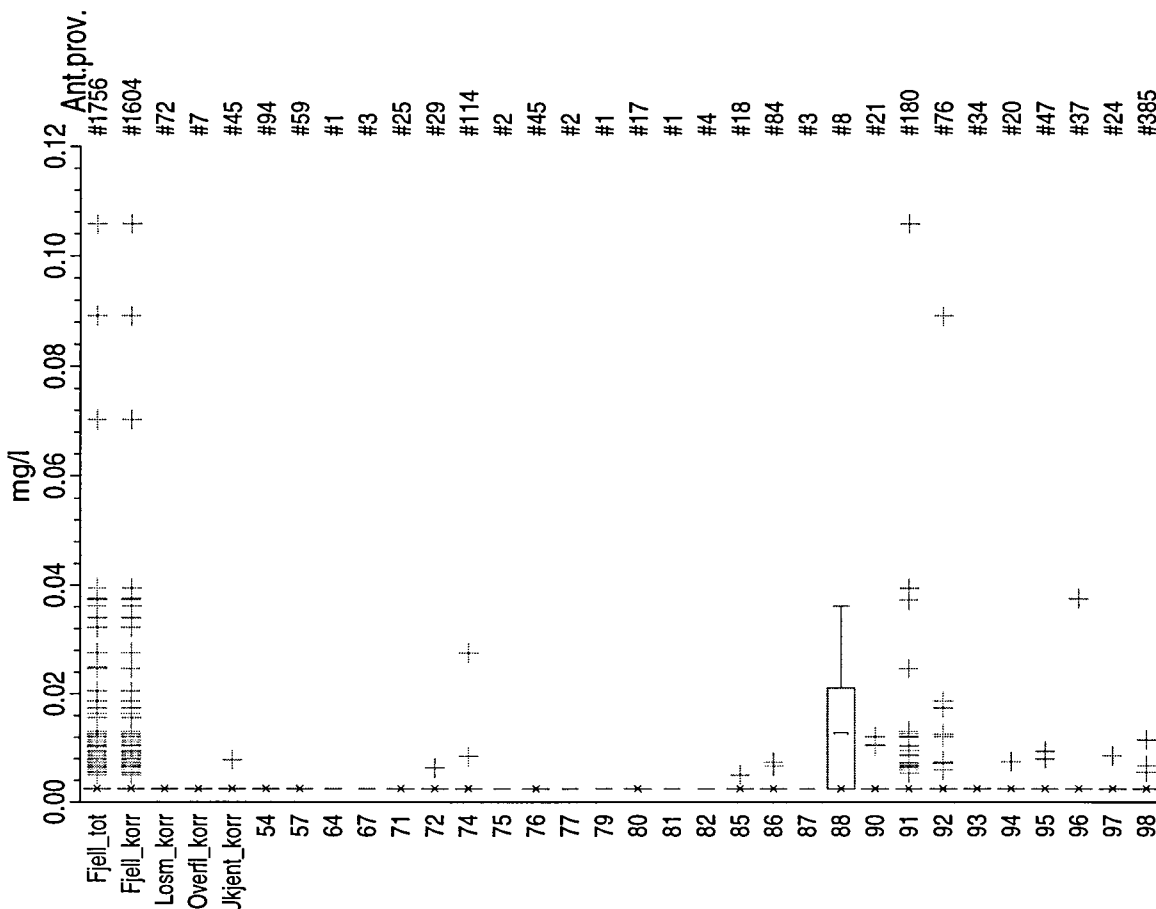
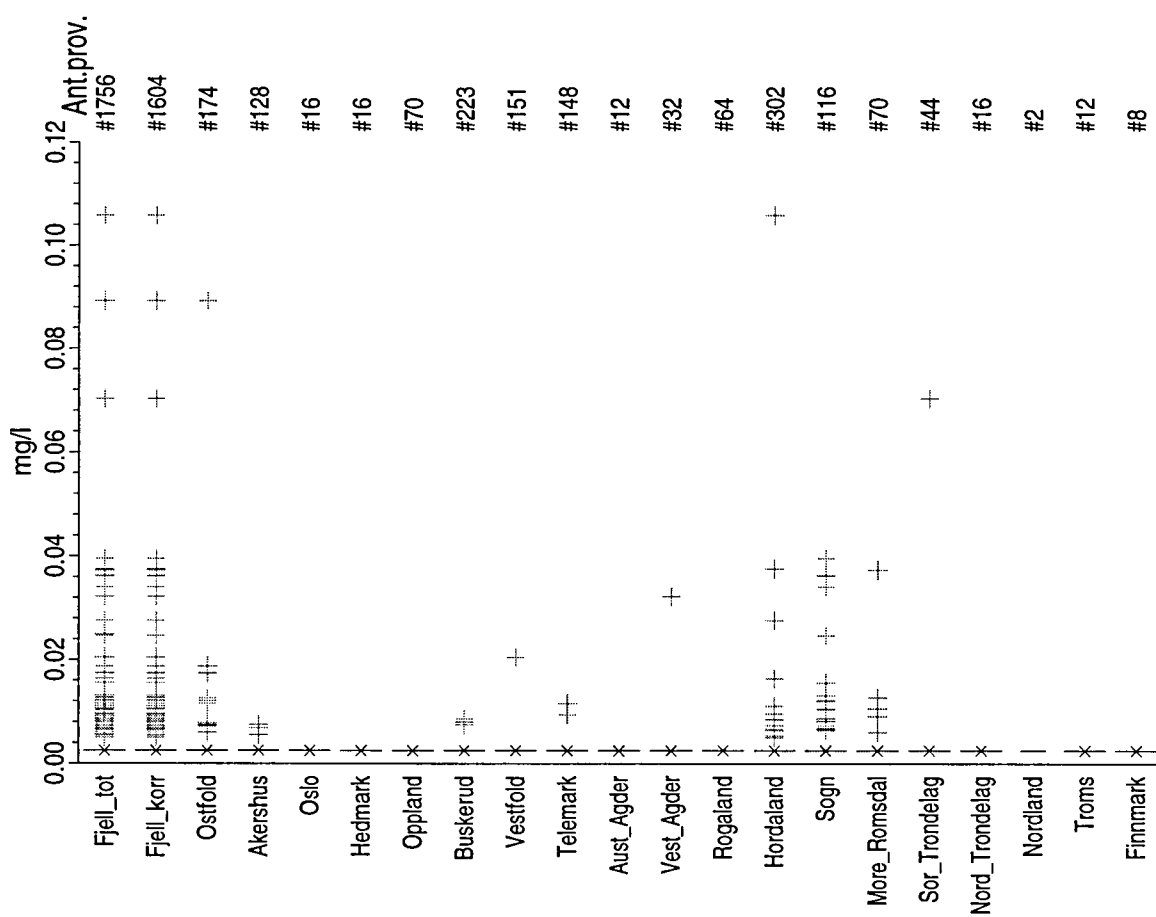
Figur 39a

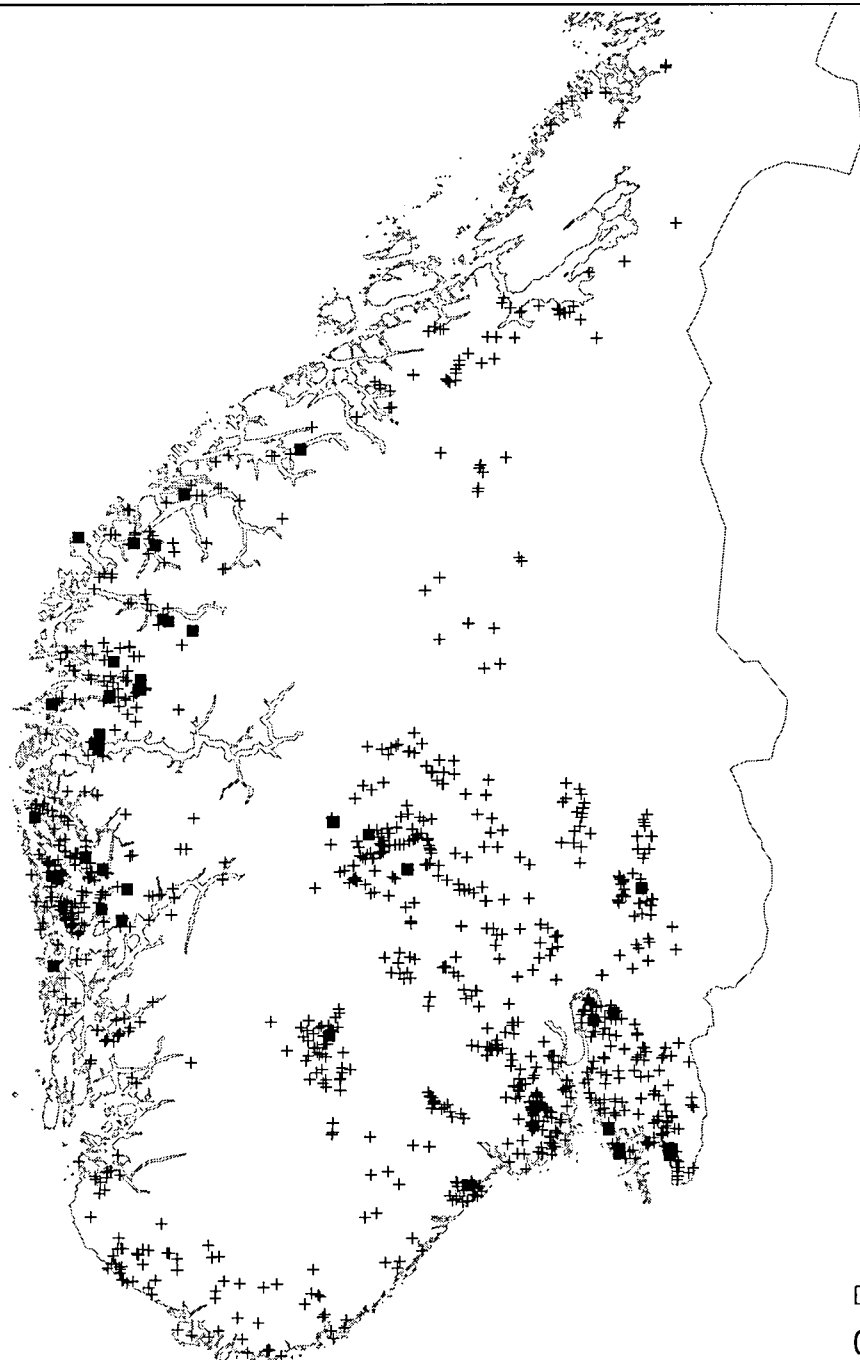
NORGE (Landsomfattende)

Grunnvannskjemi i fjellbronner

TITAN

Fordeling innen hvert fylke

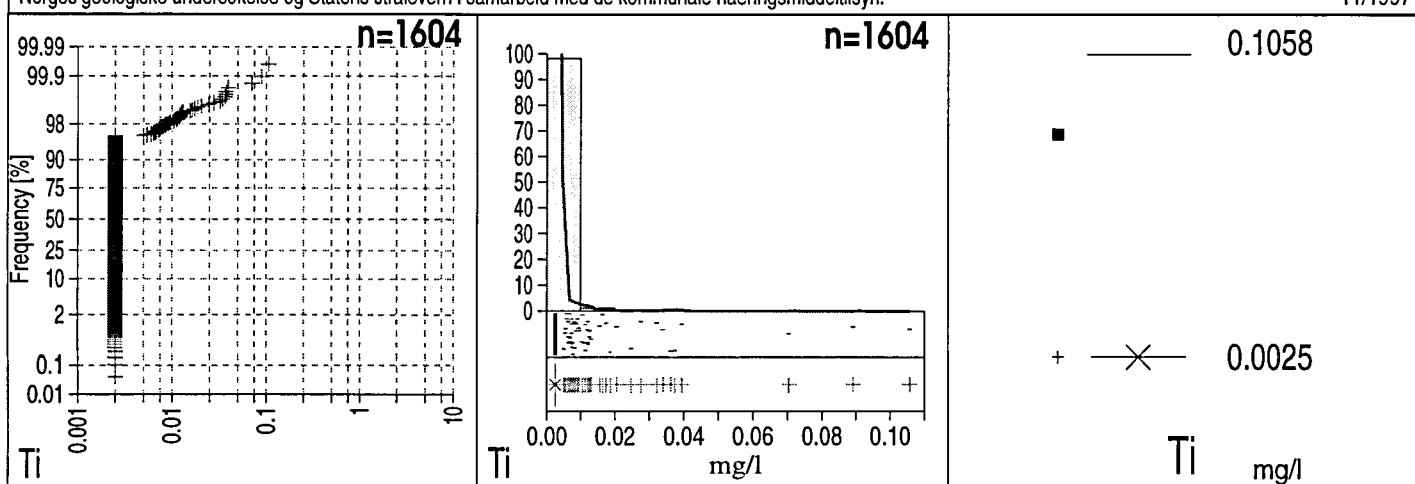


SOR-NORGE*Grunnvannskjemi i fjellbronner***TITAN**

0 50 100 km

Norges geologiske undersøkelse og Statens stralevern i samarbeid med de kommunale næringsmiddeltilsyn.

11/1997



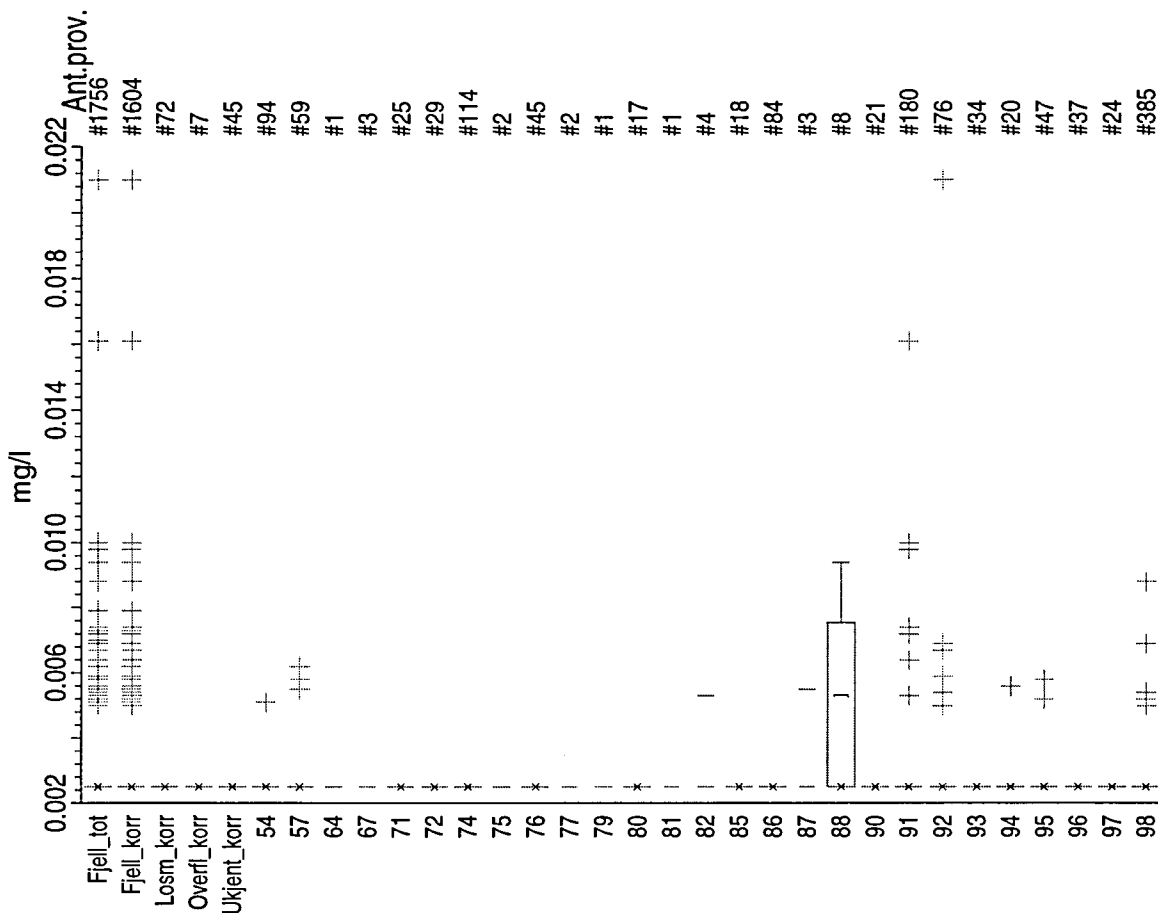
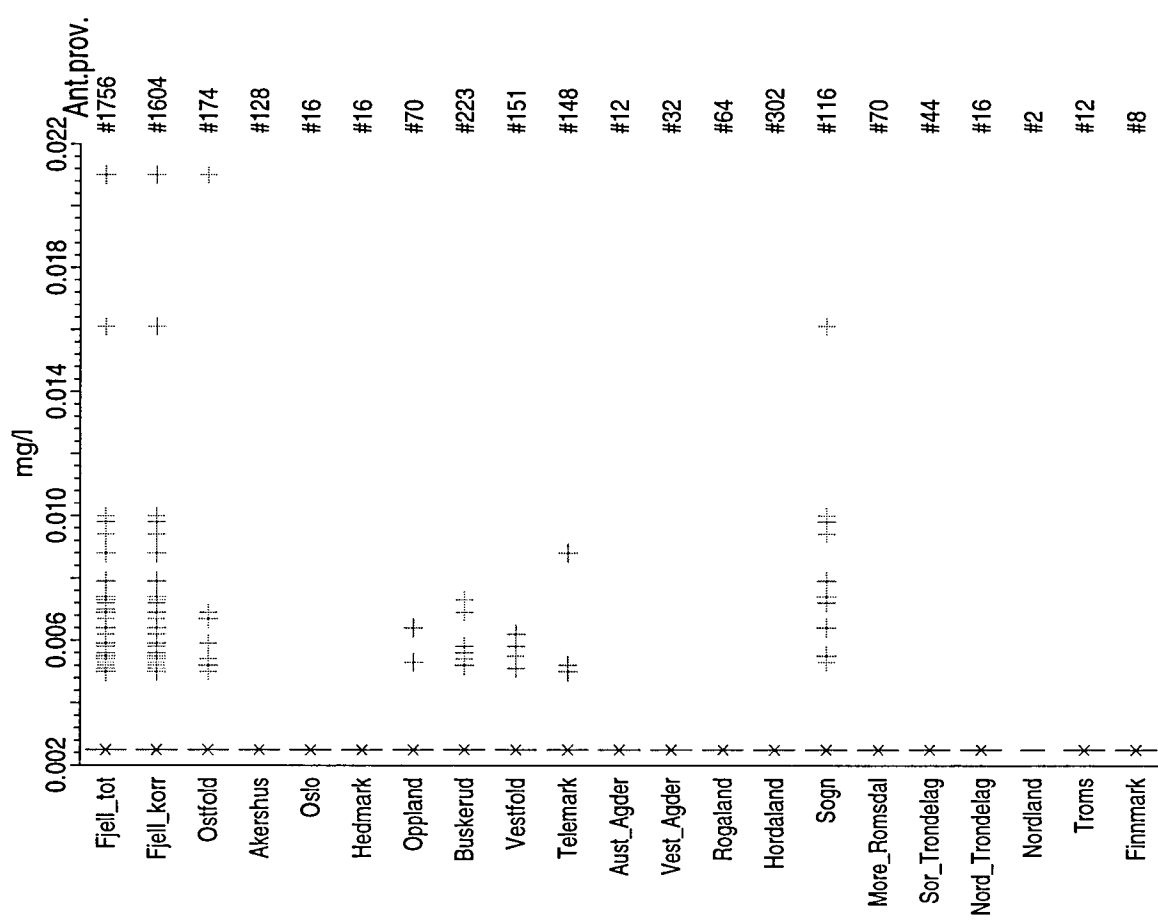
Figur 40a

NORGE (Landsomfattende)

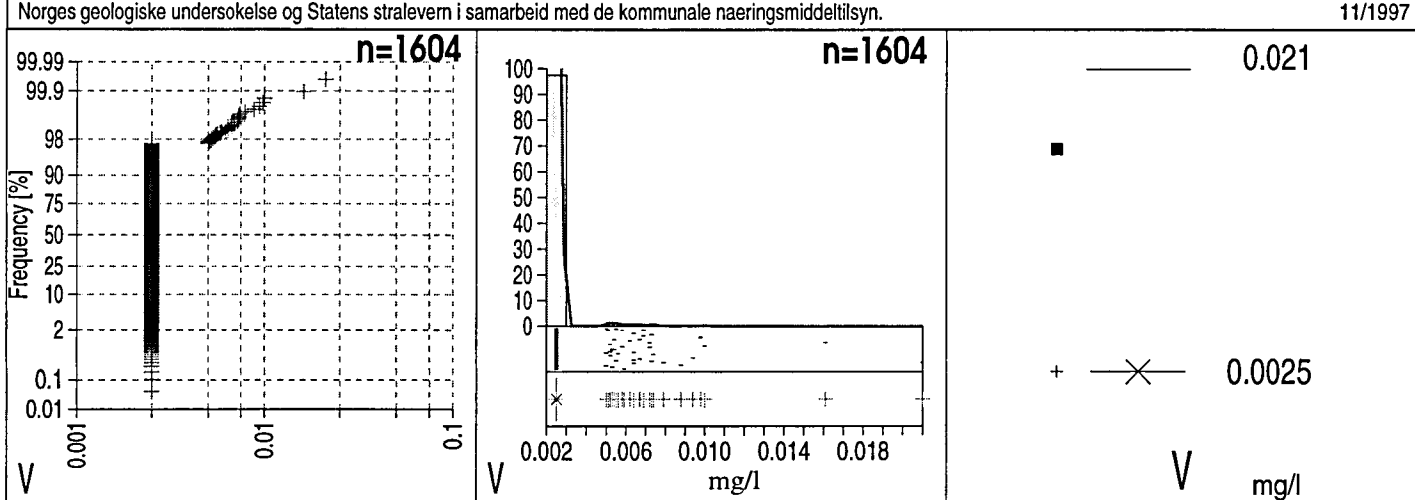
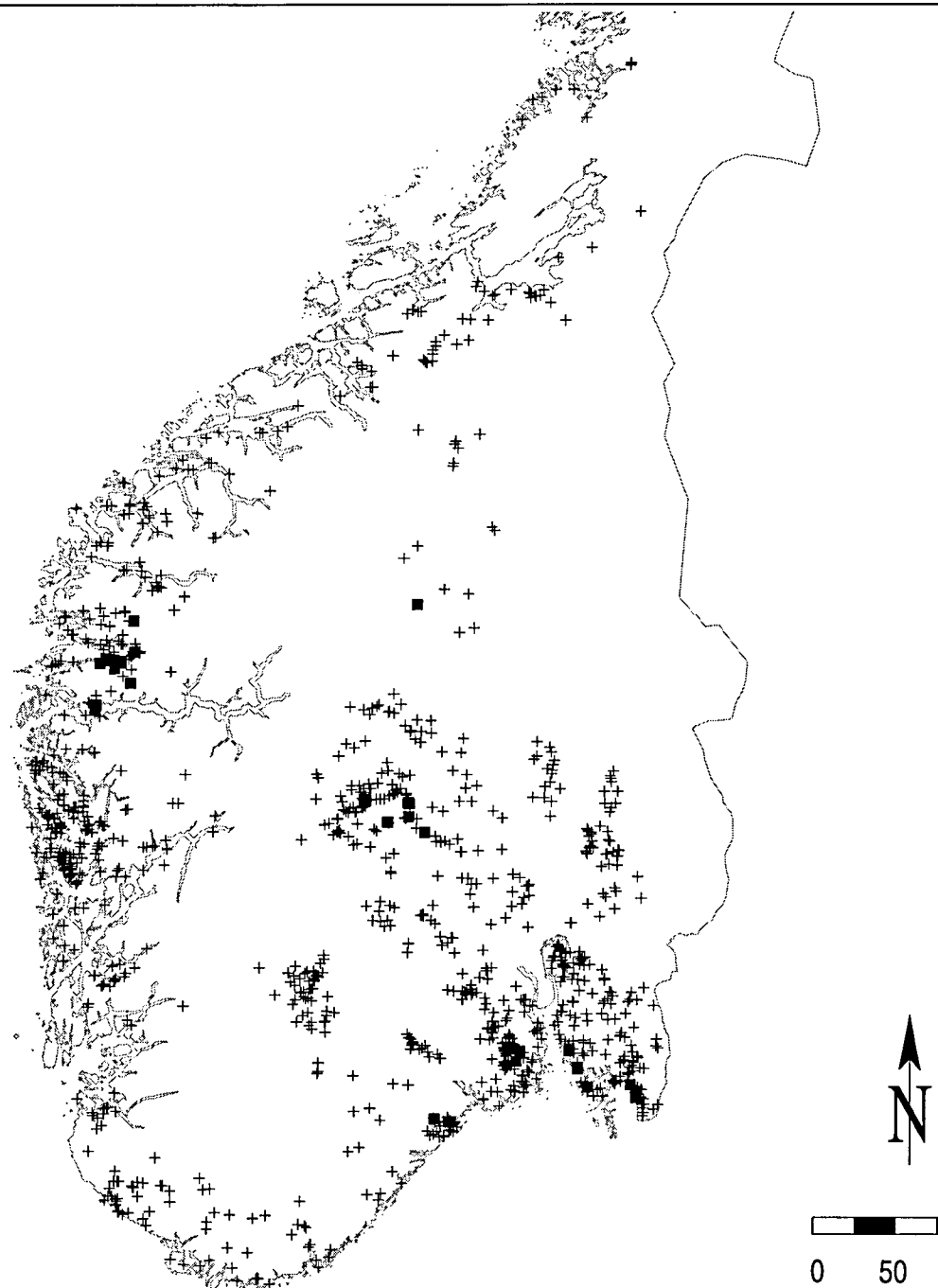
Grunnvannskjemi i fjellbronner

VANADIUM

Fordeling innen hvert fylke



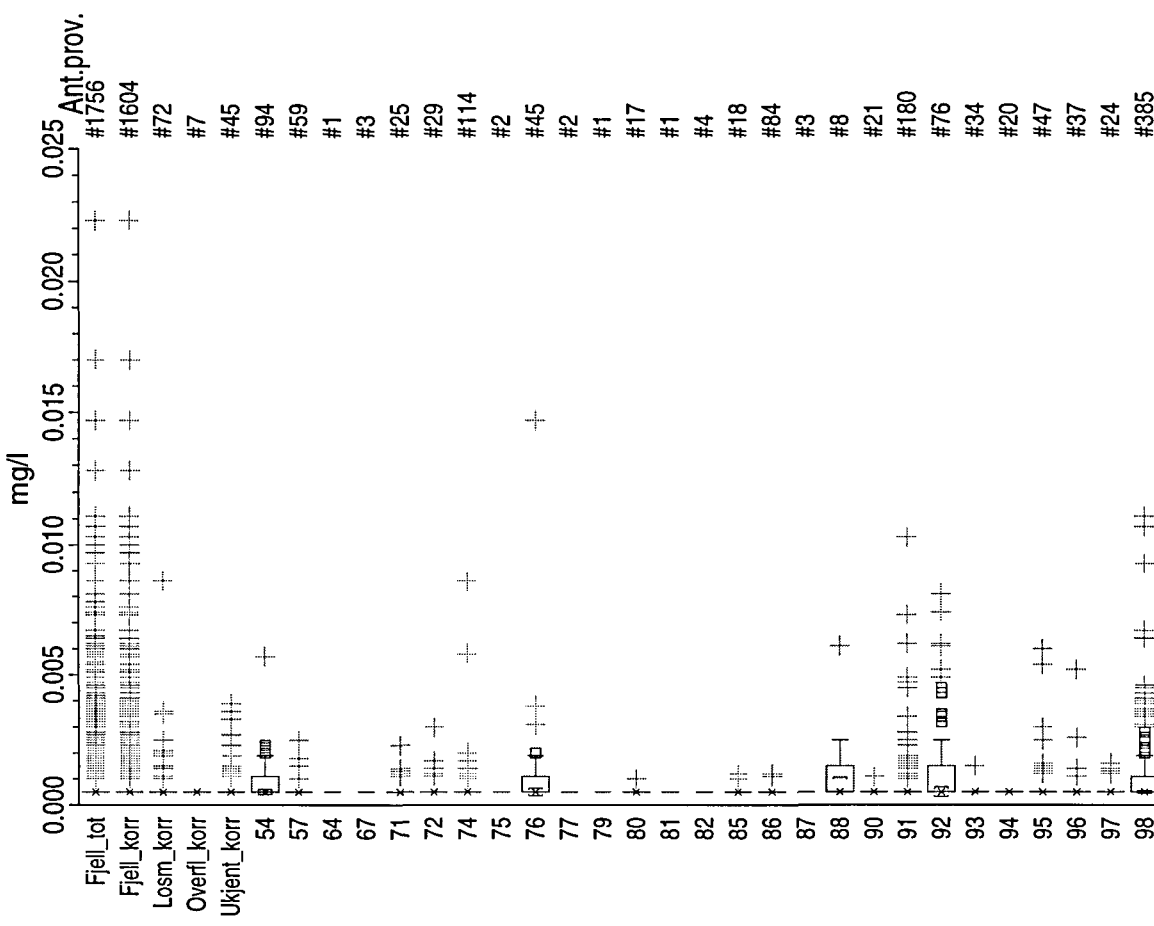
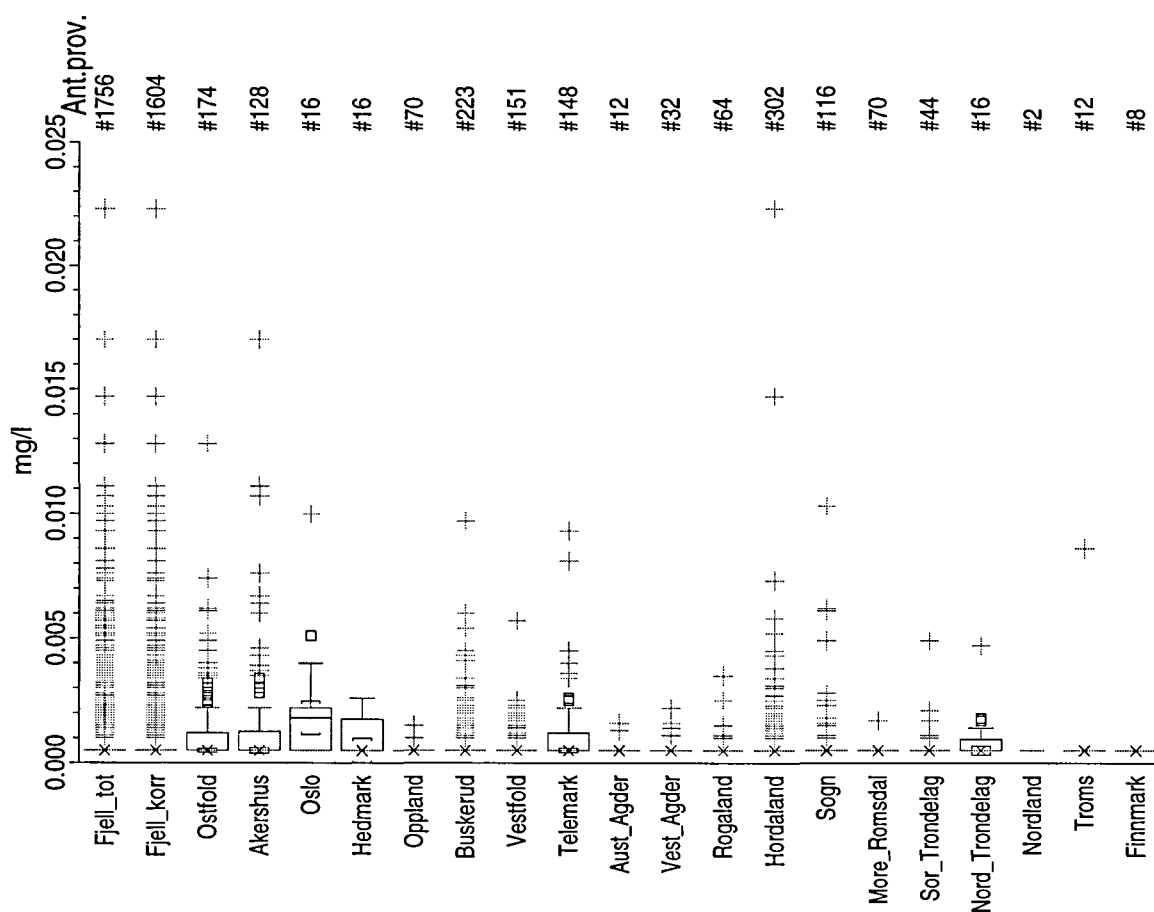
Figur 40c

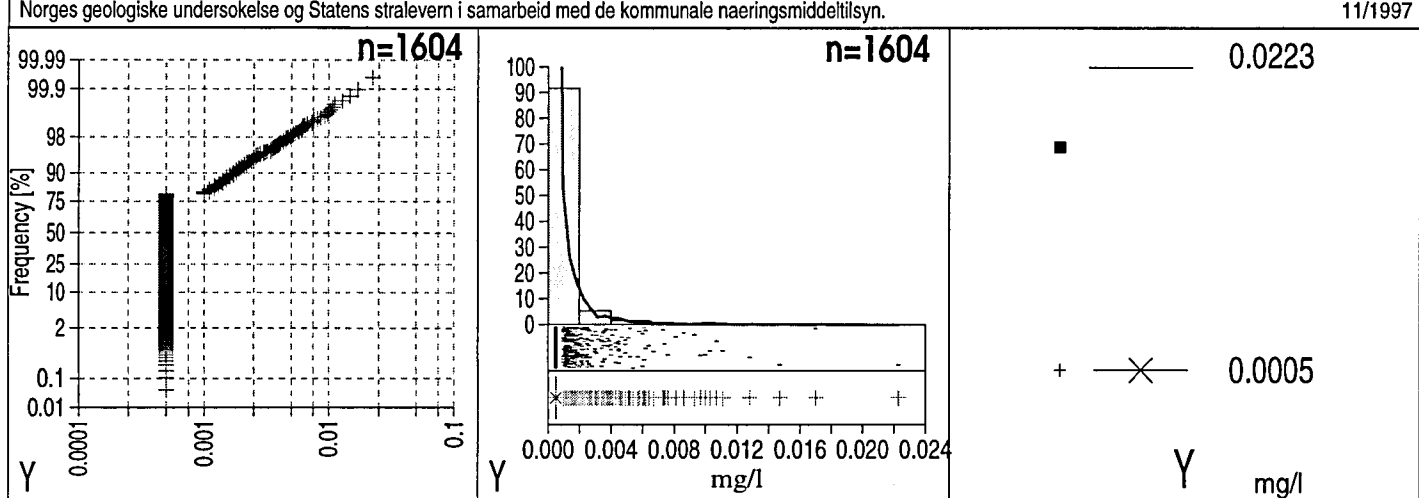
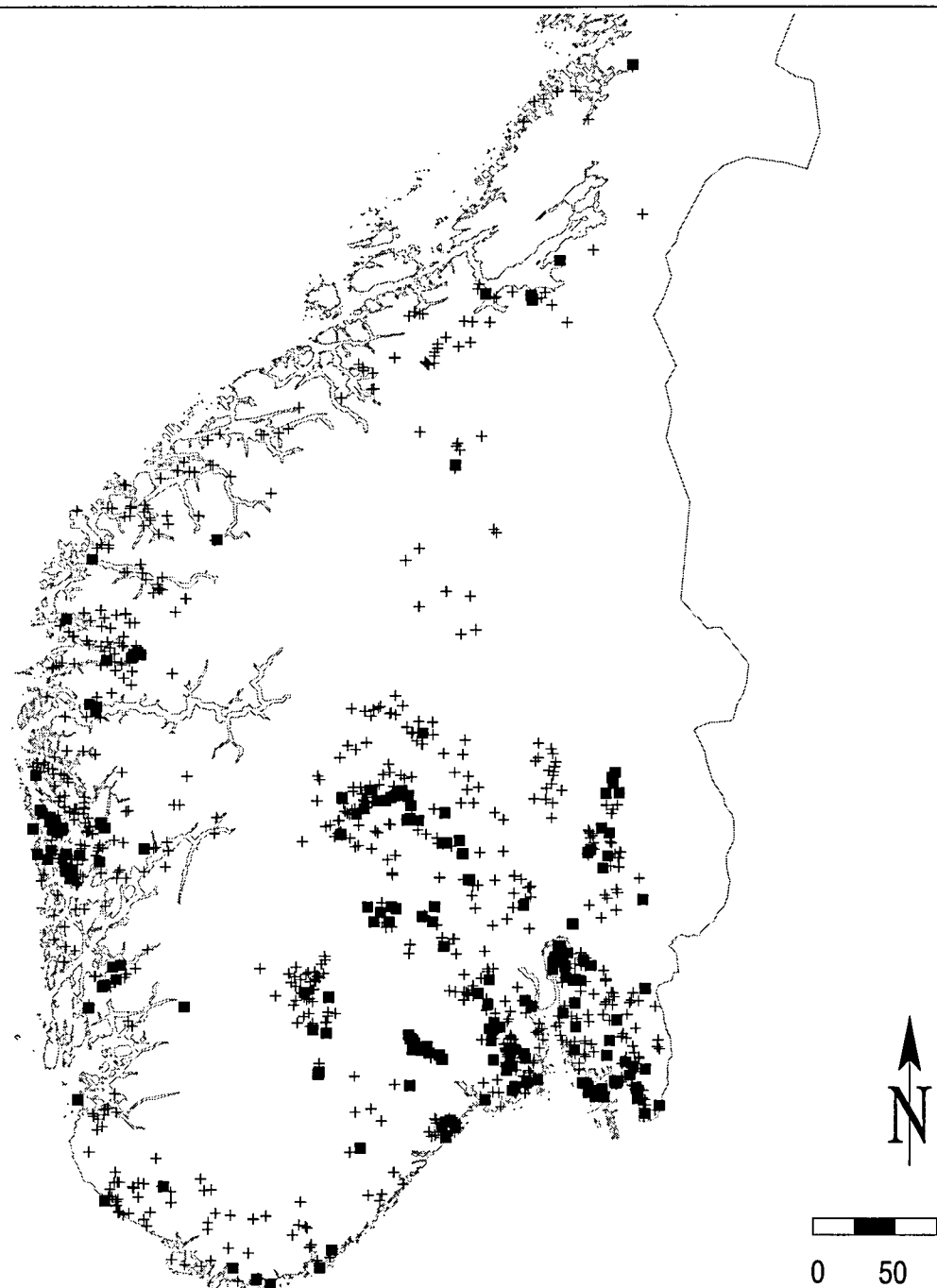
SOR-NORGE*Grunnvannskjemi i fjellbronner***VANADIUM**

Figur 41a

NORGE (Landsomfattende) *Grunnvannskjemi i fjellbronner*

YTTRIUM

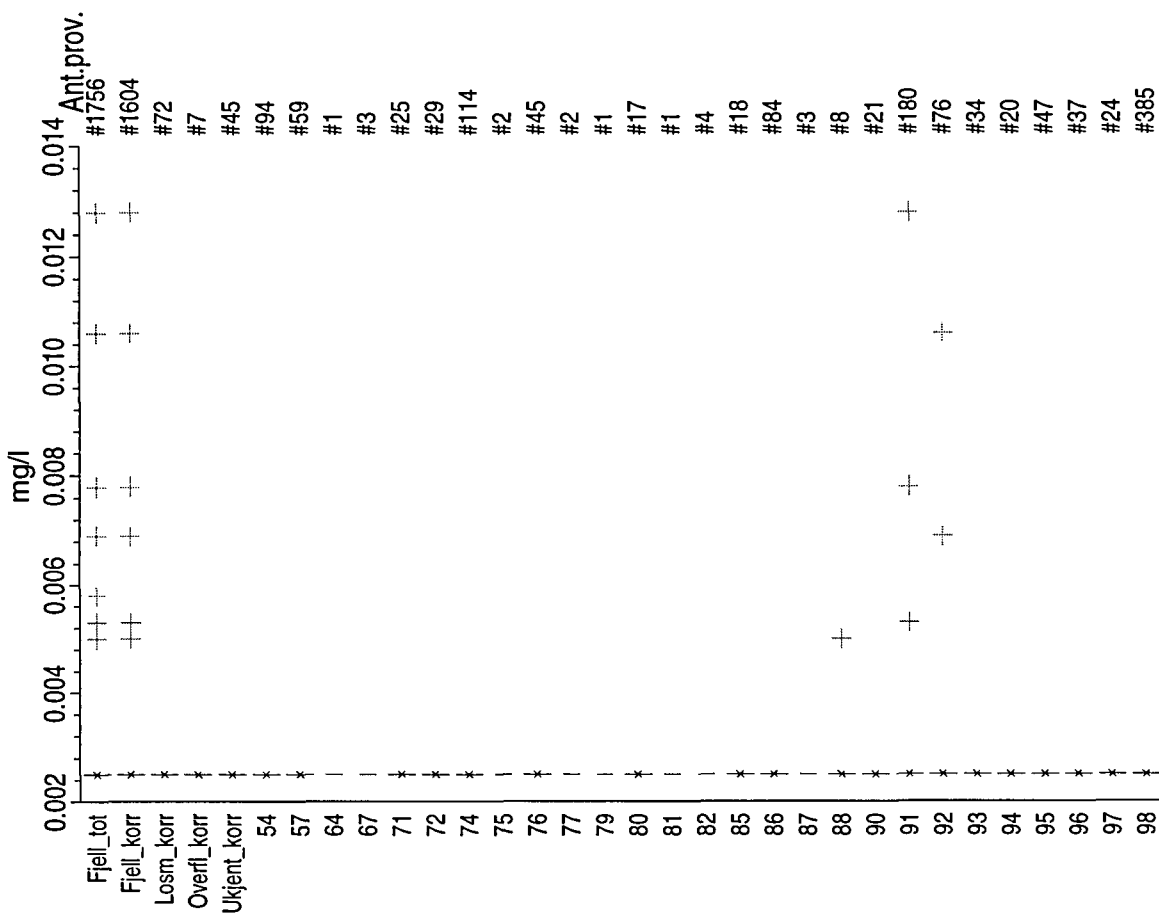
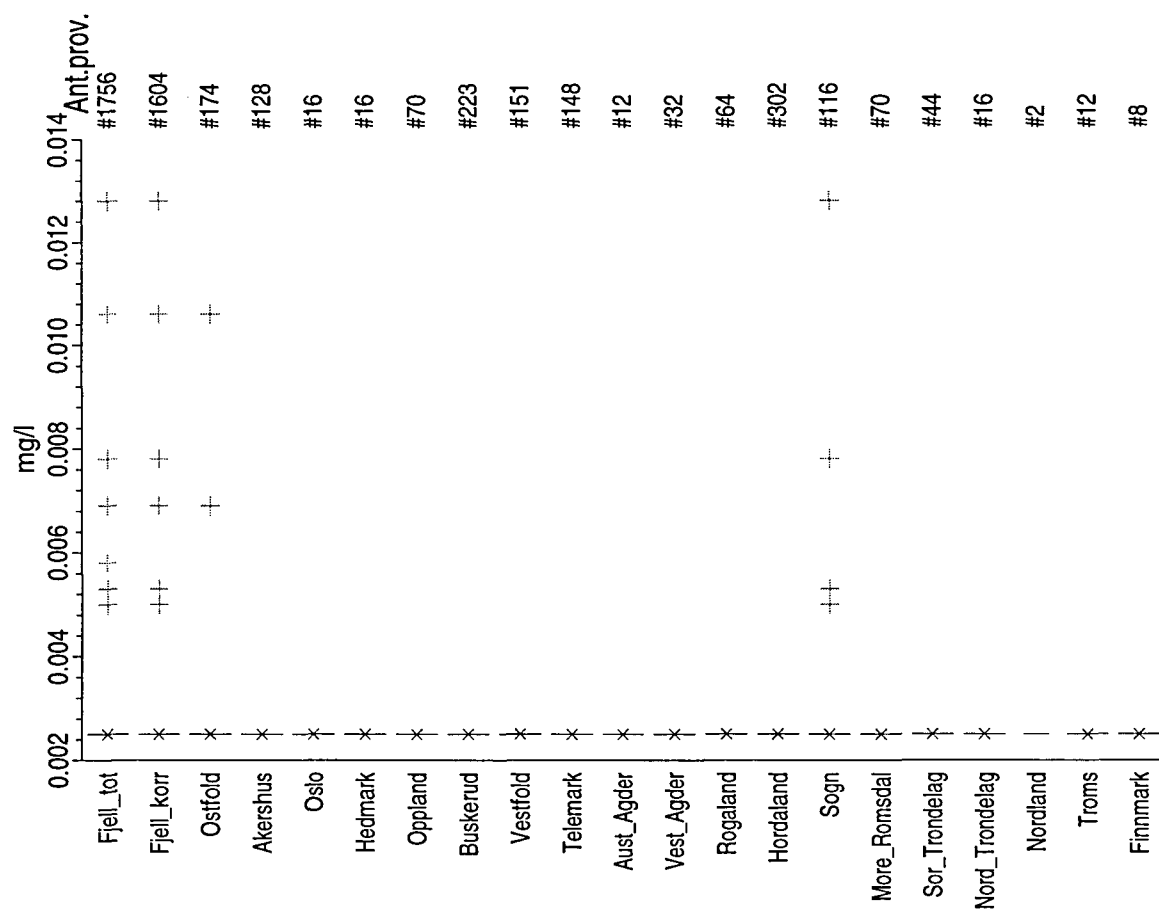


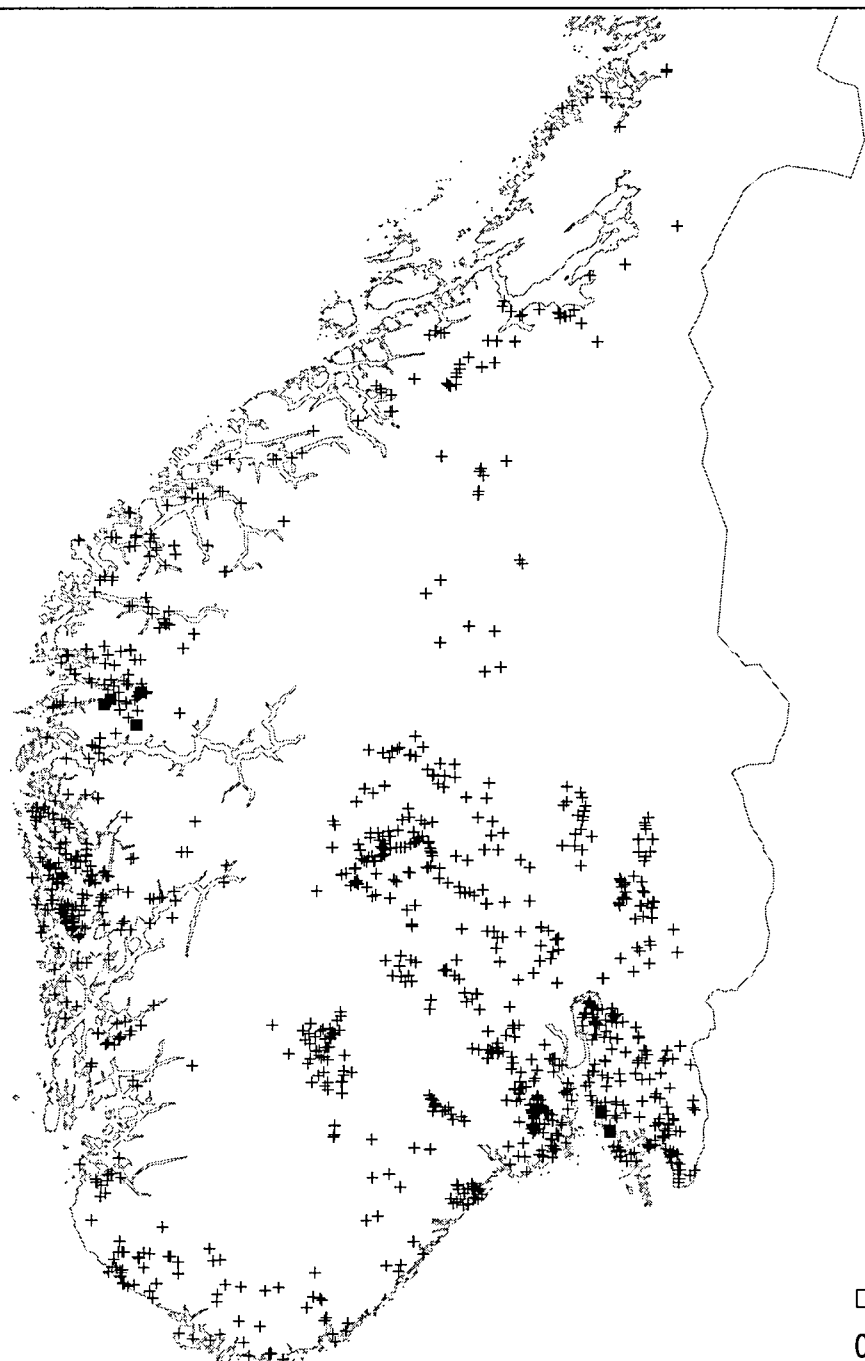
SØR-NORGE*Grunnvannskjemi i fjellbronner***YTTRIUM**

Figur 42a

NORGE (Landsomfattende) *Grunnvannskjemi i fjellbronner*

ZIRKONIUM



SOR-NORGE*Grunnvannskjemi i fjellbronner***ZIRKONIUM**

0 50 100 km

Norges geologiske undersøkelse og Statens stralevern i samarbeid med de kommunale næringsmiddeltilsyn.

11/1997

